

بِسْمِ اللّٰهِ الرَّحْمٰنِ الرَّحِيْمِ  
سُرْهٗ مَرْكَبٌ





دانشکده مهندسی مکانیک و مکاترونیک

رشته مهندسی مکانیک گرایش طراحی کاربردی

پایان نامه کارشناسی ارشد

تحلیل ارتعاشی ورق مدور متقارن محوری ویسکوالاستیک با خیز نسبتاً زیاد به کمک تئوری

تغییر شکل برشی مرتبه اول

نگارنده: رضا ولیزاده

استاد راهنما

دکتر حمیدرضا ایپکچی

شهریور ۱۳۹۵



ما حصل آموخته هایم را تهدیم می کنم به آنان که مرآ سانی شان آرام بخشد آلام زینی ام است

به استوار ترین تکیه گاهیم، دستان پر مریدرم

به سبز ترین گناه زندگیم، چشمان سبز مادرم

که هرچه آموختم در مکتب عشق شما آموختم و هرچه بکوشم قطره ای از دیای بی کران مریانیان را سپس تو انم بکویم.

امروز هستی ام به امید شماست و فرد اکمید باغ بشم رضای شما

بو سه بر دستان پر مردان

پاس بی کران پروردگار یکی ترا که هستی مان بخشد و به طریق علم و دانش رہنمایان شد و به همشنی رهوان علم و دانش مفتخمان نمود و خوش چینی از علم و معرفت را روز یان ساخت.

با تقدیر و مشکر از استاد کر انعام ام جناب آقای دکتر حمید رضا ایپاچی که با نکته های دل اویز و کفتنه های بلند صحیفه های سخن را علم پرور نمود و همواره راهنمای گذاری نگارنده در اتمام و اکمال پایان نامه بوده است.

## تعهد نامه

اینجانب رضا ولی‌زاده دانشجوی دوره کارشناسی ارشد رشته مهندسی مکانیک دانشکده مکانیک  
دانشگاه صنعتی شهرود نویسنده پایان‌نامه تحلیل ارتعاشی ورق مدور متقارن محوری  
ویسکوالاستیک با خیز نسبتاً زیاد به کمک تئوری تغییر شکل برشی مرتبه اول

تحت راهنمایی دکتر حمید رضا ایپک‌چی متعهد می‌شوم.

- تحقیقات در این پایان‌نامه توسط اینجانب انجام شده است و از صحت و اصالت برخوردار است.
- در استفاده از نتایج پژوهش‌های محققان دیگر به مرجع مورد استفاده استناد شده است.
- مطلوب مندرج در پایان‌نامه تاکنون توسط خود یا فرد دیگری برای دریافت هیچ نوع مدرک یا امتیازی در هیچ جا ارائه نشده است.
- کلیه حقوق معنوی این اثر متعلق به دانشگاه صنعتی شهرود می‌باشد و مقالات مستخرج با نام «دانشگاه صنعتی شهرود» و یا «Shahrood University of Technology» به چاپ خواهد رسید.
- حقوق معنوی تمام افرادی که در به‌دست آمدن نتایج اصلی پایان‌نامه تأثیرگذار بوده‌اند در مقالات مستخرج از پایان‌نامه رعایت می‌گردد.
- در کلیه مراحل انجام این پایان‌نامه، در مواردی که از موجود زنده (یا بافت‌های آن‌ها) استفاده شده است ضوابط و اصول اخلاقی رعایت شده است.
- در کلیه مراحل انجام این پایان‌نامه، در مواردی که به حوزه اطلاعات شخصی افراد دسترسی یافته یا استفاده شده است اصل رازداری، ضوابط و اصول اخلاق انسانی رعایت شده است.

### تاریخ امضای دانشجو

## مالکیت نتایج و حق نشر

- کلیه حقوق معنوی این اثر و محصولات آن (مقالات مستخرج، کتاب، برنامه‌های رایانه‌ای، نرم افزارها و تجهیزات ساخته شده است) متعلق به دانشگاه صنعتی شهرود می‌باشد. این مطلب باید به نحو مقتضی در تولیدات علمی مربوطه ذکر شود.
- استفاده از اطلاعات و نتایج موجود در پایان‌نامه بدون ذکر مرجع مجاز نمی‌باشد.

## چکیده

در این پایان نامه، به حل ریاضی معادلات حاکم بر ارتعاشات ورق مدور متقارن محوری تشکیل شده از مواد ویسکوالاستیک با خیز نسبتاً زیاد که تحت نیروی عرضی متقارن قرار دارند پرداخته شده است. رفتار ورق ویسکوالاستیک، به صورت مدل جامد استاندارد خطی در برش و الاستیک در بالک در نظر گرفته شده است. معادلات با استفاده از تئوری تغییر شکل برشی مرتبه اول و اصل همیلتون به دست می‌آیند. معادلات حاکم بر سیستم، شامل چهار معادله دیفرانسیل غیرخطی با مشتقات جزئی و با ضرایب متغیر هستند که به یکدیگر کوپل می‌باشند. برای تحلیل ارتعاشات آزاد و به دست آوردن پاسخ از تئوری اغتشاشات استفاده شده است. حل عددی مسئله به کمک نرمافزار انسیس انجام شده است. یک آنالیز حساسیت انجام شد و اثر پارامترهای هندسی و خواص مکانیکی بر فرکانس و پاسخ مطالعه شد. همچنین مقایسه‌ای بین نتایج تئوری کلاسیک و تغییر شکل برشی و بحثی در زمینه تأثیرات غیرخطی بر نتایج ارائه گردید.

كلمات کلیدی:

ورق مدور ویسکوالاستیک، تئوری تغییر شکل برشی مرتبه اول، تئوری اغتشاشات، خیز نسبتاً زیاد

## فهرست

۱	فصل اول: تاریخچه و مرور مقالات
۲	۱-۱- مقدمه
۲	۲-۱- مواد ویسکوالاستیک
۳	۳-۱- خصوصیات مواد ویسکوالاستیک
۳	۴-۱- رفتار ویسکوالاستیسیتهای خطی
۵	۵-۱- معادلات حاکم بر مواد ویسکوالاستیک
۶	۶-۱- فرضیات متداول در مواد ویسکوالاستیک
۷	۷-۱- مدل‌های مکانیکی مواد ویسکوالاستیک
۸	۷-۱-۱- مدل ماکسول
۸	۷-۱-۲- مدل کلوین-ویت
۸	۷-۱-۳- جامد استاندارد خطی (مدل زنر)
۱۰	۸-۱- اجزای سازه‌ای
۱۱	۹-۱- غیرخطی
۱۲	۱۰-۱- مروری بر تئوری‌های بررسی رفتار ورق‌ها
۱۵	۱۱-۱- مرور مقالات
۲۰	۱۲-۱- جمع‌بندی
۲۳	فصل دوم: استخراج معادلات
۲۴	۱-۲- مقدمه

۲۴ .....	۲-۲-تعریف مسأله .....
۲۶ .....	۲-۳-محاسبه انرژی کرنشی ورق .....
۲۷ .....	۲-۴-محاسبه انرژی جنبشی ورق .....
۲۸ .....	۲-۵-کار نیروی خارجی .....
۲۸ .....	۲-۶-تعیین معادلات حرکت با استفاده از اصل همیلتون .....
۳۰ .....	۲-۷-تعمیم معادلات الاستیک استخراج شده به ورق ویسکوالاستیک .....
۳۱ .....	۲-۸-۱-اعمال مدل ویسکوالاستیک مدل جامد استاندارد خطی نوع اول .....
۳۲ .....	۲-۸-۲-معادله‌ی ورق بر اساس تئوری کلاسیک در حالت ویسکوالاستیک .....
۳۳ .....	۲-۹-جمع‌بندی .....
۳۵ .....	<b>فصل سوم: حل تحلیلی .....</b>
۳۶ .....	۳-۱-مقدمه .....
۳۶ .....	۳-۲-۱-بی‌بعد سازی معادلات .....
۴۰ .....	۳-۲-۲-تحلیل ارتعاشات آزاد .....
۴۴ .....	۳-۲-۳-۱-حل <sup>۳</sup> معادلات مرتبه یک .....
۴۶ .....	۳-۲-۳-۲-حل <sup>۳</sup> معادلات مرتبه دو .....
۵۰ .....	۳-۴-تعیین پاسخ ورق به‌ازای بار عرضی تابع زمان .....
۵۳ .....	۳-۵-جمع‌بندی .....
۵۵ .....	<b>فصل چهارم: حل عددی به‌کمک نرم‌افزار .....</b>
۵۶ .....	۴-۱-مقدمه .....

۵۶ .....	۴-۲-تعیین خصوصیات ویسکوالاستیک براساس سری پرونی .....
۵۷ .....	۴-۳-تعیین مدول رهایش برشی و بالک .....
۵۷ .....	۴-۱-مدول رهایش برشی .....
۵۸ .....	۴-۲-۳-مدول بالک.....
۵۹ .....	۴-۴-معرفی المان ها .....
۵۹ .....	۴-۴-۱-المان Shell 208 .....
۶۰ .....	۴-۴-۲-المان Plane 182 .....
۶۰ .....	۴-۵-تعیین مش بهینه .....
۶۱ .....	۴-۶-حل مدلal.....
۶۲ .....	۴-۷-حل دینامیکی .....
۶۳ .....	۴-۸-جمع‌بندی.....
۶۵ .....	<b>فصل پنجم: نتایج</b>
۶۶ .....	۵-۱-مقدمه .....
۶۶ .....	۵-۲-فرکانس طبیعی .....
۸۲ .....	۵-۳-پاسخ بار دینامیکی .....
۸۷ .....	۵-۴-جمع‌بندی.....
۸۹ .....	<b>فصل ششم: نتیجه‌گیری و پیشنهادها</b>
۹۰ .....	۶-۱-مقدمه .....
۹۰ .....	۶-۲-نتیجه‌گیری .....

۹۲ .....	۶-۳-پیشنهادها
<b>پیوست الف: اصول ویسکوالاستیسیتهای خطی</b>	
۹۴ .....	الف-۱-مقدمه
۹۴ .....	الف-۱-۱-خزش
۹۶ .....	الف-۱-۲-رهايش تنش
۹۹ .....	الف-۱-۳-پاسخ دینامیکی به بارگذاری سینوسی
۱۰۰ .....	الف-۲-اصل جمع آثار بولتزمن
۱۰۱ .....	الف-۳-معرفی مدل‌های مکانیکی مواد ویسکوالاستیک
۱۰۱ .....	الف-۳-۱-مدل ماکسول
۱۰۳ .....	الف-۳-۲-مدل کلوین-ویت
۱۰۵ .....	الف-۳-۳-جامد استاندارد خطی (مدل زنر)
۱۰۸ .....	الف-۳-۴-مدل برگز
۱۰۸ .....	الف-۳-۵-مدل ویچرت
۱۱۱ .....	<b>پیوست ب: معادلات ویسکوالاستیک</b>
۱۲۱ .....	<b>پیوست ج: معادلات مرتبه ۳</b>
۱۳۷ .....	منابع

## فهرست شکل‌ها

شکل (۱-۱) منحنی تنش-کرنش برای الف- مواد الاستیک-پلاستیک ب- مواد ویسکوالاستیک خطی	۴
شکل (۲-۱) مدل ماکسول	۸
شکل (۳-۱) مدل کلوین-ویت	۸
شکل (۴-۱) اولین مدل جامد استاندارد خطی	۹
شکل (۵-۱) دومین مدل جامد استاندارد خطی	۹
شکل (۶-۱) هندسه‌ی اولیه و تغییر شکل یافته یک لبه ورق از دیدگاه تئوری‌های مختلف	۱۵
شکل (۱-۲) هندسه و دستگاه مختصات ورق حلقوی	۲۵
شکل (۱-۴) هندسه‌ی المان Shell 208	۵۹
شکل (۲-۴) هندسه‌ی المان Plane 182	۶۰
شکل (۳-۴) تغییرات زمانی نیروی گسترده	۶۲
شکل (۱-۵) اثر $r_0/h$ بر فرکانس طبیعی بی‌بعد اول برای ورق حلقوی گیردار-گیردار	۷۸
شکل (۲-۵) اثر $r_0/h$ بر فرکانس طبیعی بی‌بعد دوم برای ورق حلقوی گیردار-گیردار	۷۸
شکل (۳-۵) اثر نسبت $r_i/r_0$ بر فرکانس طبیعی بی‌بعد برای ورق حلقوی گیردار-گیردار	۷۹
شکل (۴-۵) اثر $r_0/h$ بر قدر مطلق میرایی برای ورق حلقوی گیردار-گیردار	۷۹
شکل (۵-۵) اثر $r_i/r_0$ بر قدر مطلق میرایی برای ورق حلقوی گیردار-گیردار	۸۰
شکل (۶-۵) شکل مد اول برای ورق حلقوی گیردار-گیردار	۸۰
شکل (۷-۵) شکل مد دوم برای ورق حلقوی گیردار-گیردار	۸۱
شکل (۸-۵) شکل مد اول برای ورق حلقوی ساده-ساده	۸۱
شکل (۹-۵) شکل مد دوم برای ورق حلقوی ساده-ساده	۸۲
شکل (۱۰-۵) پاسخ عرضی ورق در ( $r=0..975\text{ m}$ ) به ازای گام‌های زمانی مختلف	۸۳

شکل (۱۱-۵) پاسخ عرضی ورق در ( $r=0.0975$ m) بهازای بار ۲۷۰۰ پاسکال.....	۸۴
شکل (۱۲-۵) پاسخ عرضی ورق در ( $r=0.0975$ m) بهازای بار ۲۷۰ پاسکال.....	۸۴
شکل (۱۳-۵) پاسخ عرضی ورق در ( $r=0.14$ m).....	۸۵
شکل (۱۴-۵) پاسخ عرضی ورق در ( $r=0.0975$ m)، تئوری برشی مرتبه اول.....	۸۵
شکل (۱۵-۵) پاسخ عرضی ورق در ( $r=0.0975$ m)، حل عددی.....	۸۶
شکل (۱۶-۵) اثر مدول $E_0$ بر پاسخ عرضی ورق در ( $r=0.0975$ m).....	۸۶
شکل (۱۷-۵) اثر ضریب ویسکوزیته ( $\mu$ ) بر پاسخ عرضی در ( $r=0.0975$ m).....	۸۷
شکل (۱۸-۵) پاسخ عرضی ورق الاستیک بر اساس تئوری برشی مرتبه اول در ( $r=0.0975$ m).....	۸۷
شکل (الف-۱) پاسخ الف- جامد الاستیک ایدهآل، ب- مایع ایدهآل به تست خزش.....	۹۴
شکل (الف-۲) پاسخ الف- جامد الاستیک واقعی، ب- مایع واقعی به تست خزش.....	۹۵
شکل (الف-۳) تابع کامپلینس خزشی.....	۹۵
شکل (الف-۴) خزش و بازگشت .....	۹۶
شکل (الف-۵) رهایش تنش و بازگشت .....	۹۷
شکل (الف-۶) پاسخ الف- جامد الاستیک ایدهآل، ب- مایع ایدهآل به تست رهایش .....	۹۷
شکل (الف-۷) پاسخ الف- جامد الاستیک واقعی، ب- مایع واقعی به تست رهایش .....	۹۷
شکل (الف-۸) تابع مدول رهایش تنش .....	۹۸
شکل (الف-۹) بارگذاری دینامیکی .....	۱۰۰
شکل (الف-۱۰) مدل ماکسول .....	۱۰۱
شکل (الف-۱۱) مدل کلوین-ویت .....	۱۰۳
شکل (الف-۱۲) مدل جامد استاندارد خطی نوع اول.....	۱۰۵
شکل (الف-۱۳) مدل جامد استاندارد خطی نوع دوم .....	۱۰۵
شکل (الف-۱۴) تابع خزش برای سه مدل.....	۱۰۷

- شکل (الف-۱۵) تابع رهایش برای سه مدل ..... ۱۰۷
- شکل (الف-۱۶) مدل برگز ..... ۱۰۸
- شکل (الف-۱۷) مدل ویچرت ..... ۱۰۹

## فهرست جداول

جدول (۱-۴) مشخصات هندسی و مکانیکی ورق	۶۰
جدول (۲-۴) مقادیر فرکанс طبیعی عرضی سوم بهازای مشهای مختلف در مدل‌سازی یکبعدی	
بر حسب (Hz)	۶۱
جدول (۳-۴) مقادیر فرکанс طبیعی عرضی سوم بهازای مشهای مختلف در مدل‌سازی دو بعدی	
بر حسب (Hz)	۶۱
جدول (۱-۵) مشخصات هندسی و مکانیکی ورق	۶۶
جدول (۲-۵) فرکانس‌های طبیعی بی‌بعد ورق حلقوی گیردار-گیردار با $r_i/r_o = 0.1$	۶۹
جدول (۳-۵) فرکانس‌های طبیعی بی‌بعد ورق حلقوی گیردار-گیردار با $r_i/r_o = 0.3$	۷۰
جدول (۴-۵) فرکانس‌های طبیعی بی‌بعد ورق حلقوی گیردار-گیردار با $r_i/r_o = 0.5$	۷۱
جدول (۵-۵) فرکانس‌های طبیعی بی‌بعد ورق حلقوی ساده-ساده با $r_i/r_o = 0.3$	۷۳
جدول (۶-۵) فرکانس‌های طبیعی شعاعی بی‌بعد ورق حلقوی گیردار-گیردار با $r_i/r_o = 0.3$	۷۴
جدول (۷-۵) فرکانس‌های طبیعی شعاعی بی‌بعد ورق حلقوی گیردار-گیردار با $r_o/h = 10$	۷۵
جدول (۸-۵) فرکانس‌های طبیعی بی‌بعد ورق حلقوی گیردار-گیردار با $r_i/r_o = 0.3$ و $r_o/h = 10$	
پارامترهای مختلف ویسکوالاستیک $\mu = 7.8843 \times 10^9$	۷۶
جدول (۹-۵) فرکانس‌های طبیعی ورق با شرایط مرزی مختلف بر حسب هرتز با $r_o/h = 10$ و $r_i/r_o = 0.3$	
جدول (۱۰-۵) فرکانس‌های طبیعی بر حسب هرتز ورق حلقوی گیردار-گیردار با $r_o/h = 10$ و $r_i/r_o = 0.3$ و پارامترهای مختلف مدول الاستیسیته $E_0 = 2.4462 \times 10^{10}$	۷۷
جدول (۱۱-۵) مشخصات هندسی و مکانیکی ورق	۸۲

## علائم و اختصارات

$\rho$	چگالی	$r, \theta, z$	مختصه های استوانه ای
$E_0, E_1$	مدول های ویسکوالاستیک	$r_i$	شعاع داخلی
$\mu$	ضریب ویسکوزیته	$r_o$	شعاع خارجی
$c$	کمیت با دیمانسیون سرعت	$h$	ضخامت
$\alpha_i$	مدول تناسب	$u_r, u_\theta, u_z$	مؤلفه های جابجایی
$\tau_i$	زمان رهایش	$u_0, w_0$	مؤلفه های جابجایی صفحه میانی
$\dot{\varepsilon}$	نرخ کرنش برشی	$u_1, w_1$	توابع مجھول با بعد چرخش
$\varepsilon$	پارامتر بی بعد کوچک	$\varepsilon_r, \varepsilon_\theta, \varepsilon_z$	کرنش های نرمال
$m_n$	مقادیر ویژه	$\gamma_{r\theta}, \gamma_{rz}, \gamma_{\theta z}$	کرنش های برشی
$V_n$	بردار ویژه	$\sigma_r, \sigma_\theta, \sigma_z$	تنش های نرمال
$\omega_{tr}$	فرکانس طبیعی عرضی	$\tau_{r\theta}, \tau_{rz}, \tau_{\theta z}$	تنش های برشی
$\omega_{ax}$	فرکانس طبیعی شعاعی	$G$	مدول برشی
$C_1, C_2, C_3, C_4$	ثابت ها در حل عمومی	$K$	مدول بالک
$E$	مدول یانگ	$\nu$	ضریب پواسون
		$K_S$	ضریب تصحیح برشی
		$U^*$	چگالی انرژی کرنشی
		$U$	انرژی کرنشی
		$T$	انرژی جنبشی
		$Q$	بار عرضی گستردگی
		$W$	کار انجام شده توسط نیروی گستردگی
		$N_r, N_\theta, N_z$	منتجه های تنش
		$M_r, M_\theta, M_{rz}$	
		$Q_r, B_r$	



# فصل اول

## تاریخچہ و مرور معالات پ

## ۱-۱- مقدمه

به منظور انجام هرگونه تحلیل مکانیکی برای هر ماده‌ای، شناخت کافی از آن ماده حائز اهمیت است. به همین دلیل در این فصل ابتدا به معرفی مواد ویسکوالاستیک و خواص مکانیکی آن‌ها پرداخته می‌شود. سپس معادلات بنیادین تنش-کرنش، مدل‌های رئولوژیکی مورد استفاده در مدل‌سازی مواد ویسکوالاستیک و فرضیات متداول در تحلیل تنش این مواد بیان شده است. در ادامه توضیح مختصراً درباره‌ی اجزای سازه‌ای داده شده است. سپس به معرفی سیستم‌های غیرخطی و تئوری‌های متداول در بررسی ورق پرداخته و در نهایت مرور مقالات مرتبط با پایان‌نامه آورده شده است.

## ۱-۲- مواد ویسکوالاستیک

دیپینگ (میرایی) پارامتر دینامیکی مهمی برای بررسی ارتعاشات، کنترل صوت، پایداری دینامیکی، دقیق موقعیت، خستگی و مقاومت ضربه است. بسیاری از کاربردها از قبیل سازه‌های بزرگ، پره‌های موتورها، ماشین آلات با سرعت‌های بالا نیازمند وزن سبک و کارایی<sup>۱</sup> دینامیکی بالایی هستند. این ویژگی‌ها و کاربردها در مواد ویسکوالاستیک یافت می‌شود.

ویسکوالاستیک خاصیتی از ماده است که معرف رفتار الاستیک و ویسکوز ماده هنگام تغییر شکل است. حالت جامد الاستیک و سیال ویسکوز، به عنوان دو نوع معمول از مواد ایده‌آلی می‌باشد که در حوزه‌ی مکانیک مورد بررسی قرار می‌گیرند. در جامد الاستیک با حذف تنش، مقدار کرنش به سرعت به مقدار اولیه باز می‌گردد. در سیال ویسکوز، مقاومت جریان برش و کرنش در هنگام اعمال تنش تابع زمان است. مواد ویسکوالاستیک هر دو خاصیت ذکر شده را با هم دارند. در واقع در مواد ویسکوالاستیک، ویسکوزیته یک پدیده اتلاف کننده را به ماده الاستیک اضافه می‌کند [۱]. پلیمرهای غیرمتبلور مانند پلاستیک‌ها و رزین‌های مصنوعی می‌توانند اغلب به عنوان موادی که رفتار ویسکوالاستیک از خود نشان می‌دهند در نظر گرفته شوند. همچنین رفتار مواد متشکل از الیاف مانند

<sup>1</sup> Performance

ابریشم، رایون، سلولز و همچنین شیشه‌ها، سرامیک‌ها، مواد زیستی<sup>۱</sup> مانند پوست و ماهیچه‌ها، غیر فلزات و همچنین فلزات در دماهای بالا می‌توانند با مدل‌های ویسکوالاستیک خطی مدل شوند [2].

### ۱-۳- خصوصیات مواد ویسکوالاستیک

مواد ویسکوالاستیک دارای رفتاری بین مواد الاستیک و ویسکوز می‌باشند. با این وجود، تمایز بین جامد (ماده الاستیک) و سیال (ماده ویسکوز)، یک تمایز مطلق بین دو نوع ماده نمی‌باشد. در محیط واقعی، بسیاری از مواد، به نوعی از این رفتارهای ایده‌آل انحراف دارند. یعنی رفتار ویسکوالاستیک در اکثر مواد وجود دارد، ولی انحراف از حالت الاستیک در برخی از مواد مانند فلزات، استخوان و سنگ-ها ناچیز و در برخی دیگر مانند پلیمرها، چوب‌ها و نسوج بدن زیاد می‌باشد. در این‌گونه مواد، برخلاف مواد الاستیک، رابطه تنش-کرنش (خواص مواد) تابع زمان می‌باشد. حالت میرایی ویسکوالاستیک در بسیاری از مواد پلیمری و شیشه‌ای بروز پیدا می‌کند و ساز و کار میرایی داخلی آن، برای افزایش میرایی، به منظور کاهش ارتعاشات بسیار حائز اهمیت می‌باشد [3].

### ۱-۴- رفتار ویسکوالاستیسیتهای خطی

رفتار بسیاری از جامدات، در کرنش‌های کوچک، با استفاده از قانون هوک در الاستیسیتهای خطی بیان می‌شود. برای مواد الاستیک در یک بعد، رابطه‌ی تنش با کرنش به صورت زیر می‌باشد [4].

$$\sigma = E \varepsilon \quad (1-1)$$

$E$  مدول یانگ است که عکس کامپلینس<sup>۲</sup>  $J$  است ( $E = \frac{1}{J}$ ).

برخلاف مواد الاستیک که تغییر شکل آن در اثر اعمال نیروی خارجی، بعد از حذف نیرو قابل برگشت است، یک ماده ویسکوز تحت اعمال بار خارجی جریان می‌یابد و از رابطه‌ی (۱-۳) پیروی می‌کند [4].

<sup>1</sup> Bio-Material

<sup>2</sup> Compliance

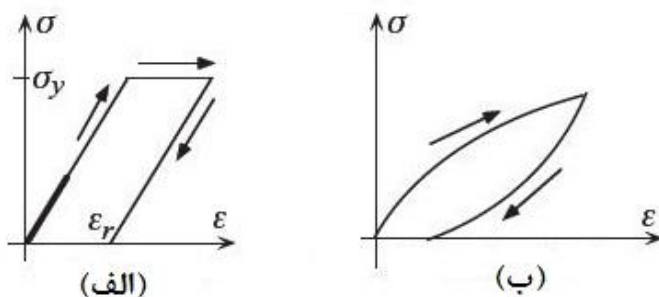
$$\tau = \mu \frac{d\varepsilon}{dt} \quad (2-1)$$

$\mu$  ویسکوزیته‌ی برشی<sup>۱</sup> سیال بوده که واحد آن Pas می‌باشد و در حالت جریان پایا، به صورت نسبت تنش برشی  $\tau$  به نرخ کرنش  $\dot{\varepsilon}$  (رابطه‌ی (۳-۱)) تعریف می‌شود.

$$\mu = \frac{\tau}{\dot{\varepsilon}} \quad (3-1)$$

سفتی<sup>۲</sup> مواد، اغلب با منحنی تنش-کرنش، که از اعمال یک نرخ ثابت کرنش به میله‌ای از جنس ماده-ی مورد نظر به دست می‌آید، نشان داده می‌شود. اگر ماده‌ی الاستیک خطی باشد، منحنی به صورت یک خط مستقیم است که شبیه آن مدول الاستیسیته را نشان می‌دهد، (شکل (۱-۱) (الف)) و در یک مقدار خاص تنش، ماده در آستانه تسلیم قرار می‌گیرد.

در یک ماده‌ی ویسکوالاستیک خطی، تغییرات تنش-کرنش خطی نبوده و شبیه آن نیز در مقایسه با مواد الاستیک کمتر است (شکل (۱-۱) (ب)). علت این پدیده در طی اعمال یک نرخ کرنش ثابت، حساس بودن ماده‌ی ویسکوالاستیک نسبت به زمان است. در جامد ویسکوالاستیک، کرنش پسماند<sup>۳</sup> سرانجام صفر خواهد شد. مواد الاستیک-پلاستیک نسبت به زمان و تغییرات آن حساس نیستند، اما دارای یک تنش تسلیم می‌باشند که معمولاً اگر تنش از تسلیم فراتر رود، بعد از برداشته شدن بار، یک کرنش پسماند باقی می‌ماند.



شکل (۱-۱) منحنی تنش-کرنش برای الف- مواد الاستیک-پلاستیک ب- مواد ویسکوالاستیک خطی [5]

<sup>1</sup> Shear Viscosity

<sup>2</sup> Stiffness

<sup>3</sup> Residual Strain

آزمایش<sup>۱</sup> مواد ویسکوالاستیک، با اعمال یک کرنش یا تنش پله‌ای انجام می‌شود. پاسخ به کرنش پله‌ای، رهایش تنش<sup>۲</sup> و پاسخ به تنش پله‌ای، خزش<sup>۳</sup> می‌باشد [۵].

برخی از پدیده‌هایی که در مواد ویسکوالاستیک اتفاق می‌افتد به شرح زیر است [۶].

۱) اگر تنش ثابت باقی بماند؛ با گذشت زمان، کرنش افزایش می‌باید (خزش).

۲) اگر کرنش ثابت باقی بماند؛ با گذشت زمان، تنش کاهش می‌باید (رهایش).

## ۱-۵-معادلات حاکم بر مواد ویسکوالاستیک

بیان معادلات بنیادین تنش-کرنش در مواد ویسکوالاستیک، به دو شکل کلی انتگرالی و دیفرانسیلی امکان‌پذیر است، که در ادامه به بیان روش دیفرانسیلی پرداخته می‌شود.

معادله‌ی ساختاری برای یک ماده ایزوتropیک که پاسخ آن به مشتقات تنش و کرنش نیز حساس است، به صورت کلی زیر نوشته می‌شود.

$$f(\sigma, \dot{\sigma}, \ddot{\sigma}, \dots, \varepsilon, \dot{\varepsilon}, \ddot{\varepsilon}, \dots) = 0 \quad (4-1)$$

که در آن تنش و کرنش وابسته به زمان می‌باشند. شکل اپراتوری معادله‌ی فوق به صورت زیر است.

$$P(D)\sigma_{ij}(t) = Q(D)\varepsilon_{ij}(t) \quad (5-1)$$

که  $P(D)$  و  $Q(D)$  به صورت زیر تعریف می‌شوند.

$$\begin{aligned} P(D) &= \sum_{r=0}^N P_r \frac{\partial^r}{\partial t^r} \\ Q(D) &= \sum_{r=0}^N Q_r \frac{\partial^r}{\partial t^r} \end{aligned} \quad (6-1)$$

$P_r$  و  $Q_r$  ثابت می‌باشند و به مدل رئولوژیکی انتخابی وابسته‌اند.

<sup>1</sup> Test

<sup>2</sup> Stress Relaxation

<sup>3</sup> Creep

جهت توصیف رفتار ویسکوالاستیک یک سیستم تحت کشش چند محوری، قسمت برشی<sup>۱</sup> و اتساعی<sup>۲</sup> تنش را از هم جدا می‌کنند. این قاعده به دلیل پاسخ متفاوت ماده‌ی ویسکوالاستیک به برش و اتساع (بالک) می‌باشد. با توجه به این نکته، مؤلفه‌های برش و اتساع را می‌توان به صورت زیر جدا کرد.

$$\begin{aligned} P_1 \sigma_{ij}^d &= Q_1 \varepsilon_{ij}^d \\ P_2 \sigma_{ii} &= Q_2 \varepsilon_{ii} \end{aligned} \quad (7-1)$$

بالانویس d معرف بخش انحرافی و  $P_1$ ,  $P_2$ ,  $Q_1$  و  $Q_2$  اپراتورهایی به شکل کلی زیر می‌باشند.

$$P_i = P_0 + P_1 \frac{\partial}{\partial t} + P_2 \frac{\partial^2}{\partial t^2} + \dots + P_n \frac{\partial^n}{\partial t^n} \quad (8-1)$$

و K به ترتیب مدول‌های رهایش برش و بالک می‌باشند و به صورت زیر تعریف می‌شوند.

$$G = \frac{1}{2} \left( \frac{Q_1}{P_1} \right) \quad (9-1)$$

$$K = \frac{1}{3} \left( \frac{Q_2}{P_2} \right)$$

رابطه‌ی مدول الاستیسیته و ضریب پواسون بر حسب مدول رهایش و برش به صورت زیر می‌باشد.

$$\begin{aligned} E &= \frac{9KG}{3K+G} \\ \nu &= \frac{3K-2G}{6K+2G} \end{aligned} \quad (10-1)$$

با جایگذاری رابطه‌ی (9-1) در رابطه‌ی (10-1)، مدول الاستیسیته و ضریب پواسون برای ماده‌ی ویسکوالاستیک، به شکل اپراتوری به دست می‌آید [3].

## ۱-۶- فرضیات متداول در مواد ویسکوالاستیک

از آنجا که جمع‌آوری اطلاعات وابسته به زمان برای خصوصیات مواد ویسکوالاستیک مشکل و زمان‌بر است، برای حل مسائل تحلیل تنش در این حوزه، اعمال فرض‌هایی بر روی خصوصیات ماده ضروری است. بنابراین اغلب برای ماده‌ی ویسکوالاستیک، یکی از خصوصیات مدول برش یا مدول یانگ تعریف

---

<sup>1</sup> Deviatoric

<sup>2</sup> Dilatational

می‌شود و مدول دیگر بر اساس یکی از فرضیات زیر تعیین می‌شود [7].

- ۱) تراکمناپذیری: برای تغییر شکل‌های کوچک در حوزه‌ی مسائل الاستیک خطی، در حالت تراکمناپذیری، ضریب پواسون برابر با  $0.5^{\circ}$  و مدول بالک بی‌نهایت می‌باشد. بنابراین با وجود این شرط، کرنش‌های اتساعی صفر می‌باشد (تغییر حجم قابل صرف نظر باشد).
- ۲) الاستیک در اتساع (بالک): در این حالت مدول بالک، مقدار ثابت  $K_0$  را داشته و  $K(t) = K_0 H(t)$  می‌باشد، که  $H(t)$  تابع پله‌ای<sup>۱</sup> است. این فرض بر این اساس است که تغییرات مدول بالک نسبت به مدول برشی، با دما و زمان بسیار کم است. در این حالت ضریب پواسون، تابعی از زمان است. بنابراین، فرض رفتار الاستیک، برای ماده‌ی ویسکوالاستیک در اتساع، معمولاً فرض مناسبی است.
- ۳) همزمانی<sup>۲</sup> مدول بالک و برشی: در این حالت فرض می‌شود که نسبت مدول بالک به برشی مقدار ثابتی باشد، به‌طوری که  $c_1 G(t) = K(t)$  که  $c_1$  مقداری ثابت است. بنابراین در این حالت وابستگی زمانی این دو یکسان بوده و فقط مقادیر آن‌ها متفاوت می‌باشد. صحت این فرض به شدت وابسته به دماسht است. در این حالت ضریب پواسون یک مقدار ثابت است.

## ۱-۷-مدل‌های مکانیکی مواد ویسکوالاستیک

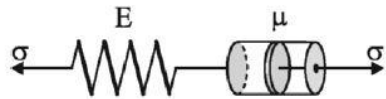
مدل‌سازی پاسخ به تحریک مکانیکی مواد ویسکوالاستیک، توسط مواد الاستیک و ویسکوز، از قبیل فنر و دمپر انجام می‌شود. استفاده از این مدل‌های مکانیکی خطی، ساده‌ترین حالت جهت تفسیر رفتار ویسکوالاستیسیته مواد می‌باشد. فنر رفتار ناگهانی (الاستیک) پاسخ و دمپر حالت تطبیقی (اتلافی) سیستم را شبیه‌سازی می‌کند [8].

<sup>1</sup> Heaviside Step Function

<sup>2</sup> Synchronous

### ۱-۷-۱- مدل ماکسول<sup>۱</sup> [5]

مدل ماکسول شامل فنر و دمپر سری است (شکل (۲-۱)).



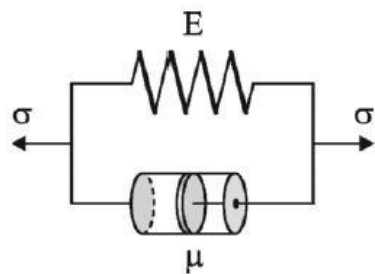
شکل (۲-۱) مدل ماکسول [7]

رابطه‌ی کلی تنش-کرنش برای این مدل، به صورت زیر می‌باشد.

$$\dot{\varepsilon} = \frac{\dot{\sigma}}{E} + \frac{\sigma}{\mu} \quad (11-1)$$

### ۲-۷-۱- مدل کلوین-ویت<sup>۲</sup> [5]

این مدل شامل یک فنر موازی با دمپر است و به خوبی رفتار خزشی را توصیف می‌کند (شکل (۳-۱)).



شکل (۳-۱) مدل کلوین-ویت [7]

رابطه‌ی کلی تنش-کرنش در این مدل به صورت زیر است.

$$\sigma = E \varepsilon + \mu \dot{\varepsilon} \quad (12-1)$$

### ۳-۷-۱- جامد استاندارد خطی (مدل زنر)<sup>۳</sup> [5]

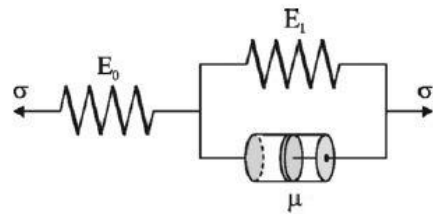
مدل ماکسول، رفتار رهایش تنش و مدل کلوین نیز فقط رفتار خزشی یک جامد و بسکوالاستیک را

<sup>1</sup> Maxwell Model

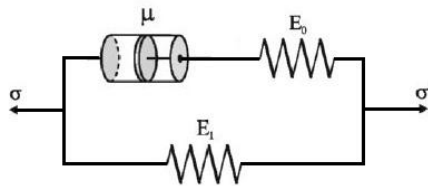
<sup>2</sup> Kelvin-Voigt Model

<sup>3</sup> Standard Solid (Zener) Model

توصیف می‌کند، اما هیچ‌کدام برای ارائه رفتار عمومی جامد ویسکوالاستیک مناسب نیست، زیرا لازم است که مدل، هر دو رفتار رهایش تنش و خزش را با هم توصیف کند. آنچه که به طور معمول جامد استاندارد سه المانی نامیده می‌شود، ترکیبی از المان کلوین-ویت به صورت سری با فنر (شکل (۴-۱)) یا المان ماسکول موازی با فنر (شکل (۵-۱)) است.



شکل (۴-۱) اولین مدل جامد استاندارد خطی [7]



شکل (۵-۱) دومین مدل جامد استاندارد خطی [7]

معادله‌ی بنیادین برای اولین مدل، به صورت زیر است.

$$\left(\frac{1}{E_0} + \frac{1}{E_1}\right)\sigma + \frac{\mu}{E_0 E_1} \dot{\sigma} = \varepsilon + \frac{\mu}{E_1} \dot{\varepsilon} \quad (13-1)$$

برای دومین مدل، معادله‌ی بنیادین به صورت زیر می‌باشد.

$$\sigma \left( \frac{1}{\mu} + \frac{1}{E_1} \right) = \varepsilon \frac{E_0}{\mu} + \dot{\varepsilon} \left( 1 + \frac{E_0}{E_1} \right) \quad (14-1)$$

توضیحات تکمیلی راجع به مواد ویسکوالاستیک و مدل‌های آن در پیوست الف آورده شده است.

## ۱-۸-اجزای سازه‌ای

از لحاظ هندسه و شرایط بارگذاری، سازه‌ها را می‌توان به شش گروه کابل‌ها<sup>۱</sup>، میله‌ها<sup>۲</sup>، تیرها<sup>۳</sup>، غشاها<sup>۴</sup>، ورق‌ها<sup>۵</sup> و پوسته‌ها<sup>۶</sup> تقسیم‌بندی نمود. کابل‌ها ساده‌ترین سازه‌های یک‌بعدی هستند که تنها بار کششی را تحمل می‌کنند و قادر به تحمل بار فشاری و گشتاور خمشی نیستند. رشته نوعی کابل است که در ابتدا مستقیم بوده و دارای پیش‌کشش می‌باشد. میله‌ها نیز سازه‌هایی یک‌بعدی هستند که می‌توانند بارهای محوری و پیچشی را تحمل کنند. میله‌ها و ستون‌ها نوعی سازه‌ی دو نیرویی هستند و خرپا مجموعه‌ای از میله‌ها است. تیرها سازه‌هایی هستند که یکی از ابعاد آن‌ها به مراتب بزرگ‌تر از دو بعد دیگر است و در معرض بارهای عرضی قرار دارند که منجر به خمش آن‌ها می‌شود. در حالت کلی تیر قادر به تحمل نیروهای کششی، فشاری، خمشی، برش عرضی و پیچشی است. به عبارت دیگر کابل‌ها، رشته‌ها، میله‌ها و ستون‌ها نوع خاصی از تیرها هستند [9]. ورق‌ها سازه‌هایی مسطح هستند که دو بعد آن‌ها به مراتب بزرگ‌تر از بعد سوم است و قادرند نیروهای کششی، فشاری، برش صفحه-ای<sup>۷</sup>، خمشی، پیچشی و بارهای برشی عرضی را تحمل کنند ([9], [10]). غشا سازه‌ای دو بعدی است که تنها می‌تواند نیروی کشش و برش صفحه‌ای را تحمل کند. غشا تنها می‌تواند نیروی کشش و برش صفحه‌ای را تحمل کند و قادر به تحمل خمش نمی‌باشد ([9], [10], [11]). پوسته‌ها سازه‌هایی خمیده هستند که دو بعد آن‌ها به مراتب بزرگ‌تر از بعد سوم است و قادرند نیروهای خارج صفحه<sup>۸</sup> را با ایجاد نیروهای صفحه‌ای، تحمل کنند ([9], [11]). پوسته‌ها عمومی‌ترین سازه‌های مهندسی هستند که ورق‌ها و غشاها نوع خاصی از آن‌ها می‌باشند.

<sup>1</sup> Cables

<sup>2</sup> Rods

<sup>3</sup> Beams

<sup>4</sup> Membranes

<sup>5</sup> Plates

<sup>6</sup> Shells

<sup>7</sup> In-plane

<sup>8</sup> Out-of-plane

## ۱-۹-غیرخطی<sup>۱</sup>

سیستم‌های غیرخطی، سیستم‌هایی هستند که اصل جمع آثار در مورد آن‌ها صادق نیست [9]. سیستم هنگامی غیرخطی است که حاصل ضرب متغیرهای وابسته و مشتقات آن‌ها در معادلات حرکت، شرایط مرزی یا روابط سازگاری ظاهر شود. همچنین وجود ناپیوستگی در سیستم، باعث غیرخطی شدن معادلات می‌شود [12]. بررسی مدل‌های خطی به تنها یابرازی در ک رفتار سیستم کافی نیست. زمانی که دامنه نوسانات بزرگ باشد و فرکانس‌های طبیعی وابسته به دامنه‌هایشان باشند، پاسخ‌های خطی نادرست هستند. مدل‌های خطی می‌توانند گمراه کننده باشند؛ زیرا ممکن است یک حل خطی پیش‌بینی کند که سیستم پایدار است در حالی که در واقعیت ناپایدار است [13]. در نظر گرفتن رفتار غیرخطی در مدل‌سازی سازه‌های مهندسی باعث می‌شود مهارت و واقع‌نگری بیشتر در طراحی، تحلیل و کنترل این سازه‌ها اعمال شود. ایوانوفسکی<sup>۲</sup> [14] در سال ۱۹۷۶، نایفه و موک<sup>۳</sup> [15] در سال ۱۹۷۹ و مون<sup>۴</sup> [16] در سال ۱۹۸۷ راجع به انواع مختلف سیستم‌های غیرخطی با جزئیات و همراه با مثال، توضیح داده‌اند. عوامل متعددی سبب ایجاد رفتار غیرخطی می‌شوند که در ادامه توضیح داده خواهد شد [13].

(۱) هندسه: این مشخصه در سیستم‌هایی با تغییر شکل‌های بزرگ و یا سیستم‌هایی که در اثر کمانش<sup>۵</sup> خراب<sup>۶</sup> می‌شوند، مهم است. در تیرها و ورق‌ها، عامل غیرخطی هندسه، ناشی از معادلات غیرخطی کرنش است که در آن جابجایی عرضی با کرنش‌های محوری کوپل است. در نتیجه، کشیدگی صفحه‌ی میانی در تیر یا ورق رخ می‌دهد. برای مثال در میدان جابجایی فن کارمن<sup>۷</sup> (تغییر شکل‌های بزرگ)، عامل غیرخطی در مشتقات آن ظاهر می‌شود. این

<sup>1</sup> Nonlinearity

<sup>2</sup> Iwanowski

<sup>3</sup> Mook

<sup>4</sup> Moon

<sup>5</sup> Buckling

<sup>6</sup> Fail

<sup>7</sup> Von-Karman

غیرخطی در انرژی پتانسیل سیستم ظاهر می‌شود.

۲) **جنس ماده**: یکی دیگر از عوامل جنس ماده است. در واقع این نوع از غیرخطی زمانی رخ می‌دهد که قانون هوک (رابطه‌ی خطی تنش-کرنش) برای ماده‌ی مورد نظر نامعتبر باشد، در این صورت جملات غیرخطی در معادلات ظاهر می‌گردد.

۳) **شرایط مرزی**: جملات غیرخطی ممکن است در شرایط مرزی مسئله ظاهر شوند. برای مثال استفاده از فنر و دمپر غیرخطی در یک سیستم، باعث ایجاد جملات غیرخطی می‌شود.

۴) **بارگذاری**: نوع بارگذاری اعمال شده بر روی سازه نیز، یکی دیگر از عوامل ظاهر شدن جملات غیرخطی در معادلات حرکت می‌باشد.

۵) **استهلاک**: استهلاک اساساً یک پدیده‌ی غیرخطی است. زیرا نیروی استهلاک تابع غیرخطی از جابجایی و سرعت است. استهلاک ویسکوز خطی نوعی ایده‌آل سازی سیستم است. اصطکاک خشک و استهلاک هیسترسیس نمونه‌هایی از استهلاک غیرخطی می‌باشند.

۶) **اینرسی**: غیرخطی اینرسی ناشی از وجود جملات غیرخطی سرعت و شتاب در معادلات حرکت است. انرژی جنبشی سیستم منشأ ایجاد غیرخطی‌های اینرسی است. جملات شتاب کریولیس و جانب مرکز نمونه‌هایی از این نوع غیرخطی می‌باشند.

## ۱۰-۱- مروری بر تئوری‌های بررسی رفتار ورق‌ها

تئوری‌های ورق دو بعدی را می‌توان به دو دسته تقسیم کرد:

۱- تئوری ورق کلاسیک که در آن از اثر تغییر شکل برشی عرضی صرف نظر شده است.

۲- تئوری‌های تغییر شکل برشی ورق

تئوری ورق کلاسیک برای حالت خمش خالص، بر مبنای میدان جابجایی (۱۵-۱) می‌باشد.

$$\begin{aligned} u(x, y, z) &= -z \frac{\partial w_0}{\partial x} \\ v(x, y, z) &= -z \frac{\partial w_0}{\partial y} \\ w(x, y, z) &= w_0(x, y) \end{aligned} \quad (15-1)$$

که در آن  $(u, v, w)$  به ترتیب مؤلفه‌های جابجایی در راستای  $(x, y, z)$  و  $w$  خیز صفحه‌ی میانی (یعنی  $z = 0$ ) می‌باشد. میدان جابجایی مذکور دلالت بر آن دارد که خط مستقیم عمود بر صفحه  $xy$ , پس از تغییر شکل، مستقیم و عمود باقی می‌ماند. در فرض کیرشهف هر دو اثر برش عرضی و نرمال عرضی، یعنی تغییر شکل حاصل از خمش و کشیدگی درون صفحه‌ای صرف نظر شده است.

یک تعداد از تئوری‌های تغییر شکل برشی وجود دارند که ساده‌ترین آن، تئوری تغییر شکل برشی مرتبه اول<sup>۱</sup> است که همچنین به تئوری میندلین<sup>۲</sup> معروف است. این تئوری بر مبنای میدان جابجایی زیر می‌باشد.

$$\begin{aligned} u(x, y, z) &= z \varphi_x(x, y) \\ v(x, y, z) &= z \varphi_y(x, y) \\ w(x, y, z) &= w_0(x, y) \end{aligned} \quad (16-1)$$

که در آن  $\varphi_x$  و  $\varphi_y$  به ترتیب چرخش حول محورهای  $x$  و  $y$  می‌باشند. این تئوری با در نظر گرفتن تغییر شکل عرضی در فرضیات سینماتیکی اش (یعنی کرنش برش عرضی ثابت نسبت به ضخامت)، تئوری کلاسیک را توسعه داده است. در تئوری برشی مرتبه اول، فاکتورهای تصحیح برشی معرفی می‌شوند که اختلاف بین نیروی برشی عرضی واقعی و آنچه که با استفاده از روابط سینماتیکی FSDT به دست می‌آیند را تصحیح می‌کنند. که این پارامترها علاوه بر هندسه‌ی سازه، به بارگذاری و شرایط مرزی ورق نیز وابسته می‌باشد.

در هر دو تئوری برشی مرتبه اول و کلاسیک، حالت تنش را صفحه‌ای در نظر گرفته و از شکل تنش صفحه‌ای کاهش یافته معادله رفتاری استفاده شده است.

<sup>1</sup> First-order Shear Deformation Theory (FSDT)

<sup>2</sup> Mindlin theory

در تئوری‌های مرتبه دو و بالاتر، از چند جمله‌ای مرتبه بالاتر در بسط مربوط به مؤلفه‌های جابجایی استفاده می‌شود. تئوری‌های مرتبه بالاتر، پارامترهای جدیدی معرفی می‌کنند که اغلب تعبیر فیزیکی آن‌ها مشکل می‌باشد. تئوری مرتبه دوم، میدان جابجایی را به صورت زیر در نظر می‌گیرد.

$$\begin{aligned} u(x, y, z) &= z \varphi_x(x, y) + z^2 \psi_x(x, y) \\ v(x, y, z) &= z \varphi_y(x, y) + z^2 \psi_y(x, y) \\ w(x, y, z) &= w_0(x, y) \end{aligned} \quad (17-1)$$

در تئوری برشی مرتبه سوم<sup>۱</sup> ردی میدان جابجایی به صورت زیر فرض می‌شود.

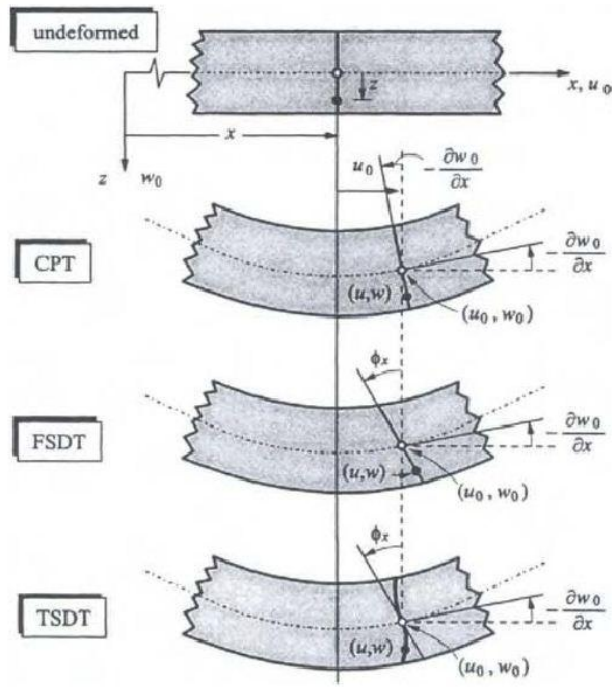
$$\begin{aligned} u(x, y, z) &= z \varphi_x(x, y) - \alpha z^3 \left( \varphi_x + \frac{\partial w_0}{\partial x} \right) \\ v(x, y, z) &= z \varphi_y(x, y) - \alpha z^3 \left( \varphi_y + \frac{\partial w_0}{\partial y} \right) \\ w(x, y, z) &= w_0(x, y) \end{aligned} \quad (18-1)$$

$\alpha = 4/(3h^2)$  می‌باشد و با صفر قرار دادن آن، به تئوری مرتبه اول حاصل می‌شود. میدان جابجایی با

تغییرات مرتبه دوم کرنش برشی عرضی در راستای ضخامت و مقدار صفر تنش‌های برشی در سطوح بالا و پایین ورق، منطبق می‌باشد. برخلاف تئوری مرتبه اول، تئوری مرتبه سوم نیاز به فاکتور تصحیح برشی ندارد. در شکل (۱-۶)، هندسه‌ی اولیه و تغییر شکل یافته یک لبه ورق از دیدگاه تئوری‌های  
مختلف نشان داده شده است.

---

<sup>۱</sup> TSDT



شکل (۶-۱۱) هندسه‌ی اولیه و تغییر شکل یافته یک لبه ورق از دیدگاه تئوری‌های مختلف [17]

علاوه بر سادگی ذاتی و هزینه‌ی محاسباتی پایین، تئوری ورق مرتبه اول اغلب یک توصیف با دقیقیت کافی از پاسخ‌های عمومی (مانند خیز، بار کمانش و فرکانس‌های طبیعی ارتعاشات) برای ورق‌های نازک یا ضخیم متوسط، فراهم می‌آورد. از این‌رو از این روش برای تعیین پاسخ‌های عمومی استفاده می‌شود. تئوری مرتبه سوم، نسبت به مرتبه اول، علی‌رغم افزایش زیاد هزینه محاسباتی، دقیقیت نسبی را به میزان کمی افزایش می‌دهد [17].

### ۱۱-۱ - مروع مقالات

چو و هرمان<sup>۱</sup> [18] ارتعاشات آزاد غیرخطی با دامنه‌ی زیاد ورق‌های مستطیل شکل الاستیک، با تئوری ون-کارمن را با استفاده از تئوری اغتشاشات حل کردند. یاماکی<sup>۲</sup> [19] با فرض اینکه می‌توان از نیروهای اینرسی طولی و دورانی صرف نظر کرد و با استفاده از حل تقریبی گالرکین، تأثیر دامنه‌ی بزرگ بر ارتعاشات آزاد و اجباری ورق‌های مستطیلی و دایروی متقارن محوری، در حالت الاستیک و با

<sup>1</sup> Chu and Herrmann

<sup>2</sup> Yamaki

شرایط مرزی مختلف را بررسی کرد. لیسا<sup>۱</sup> [20] ارتعاشات خطی ورقهای دایروی و حلقوی را به طور جامع مورد بررسی و مطالعه قرار داد. وی از تئوری کلاسیک برای به دست آوردن معادلات و از بسط فوریه و توابع بسل برای حل<sup>۲</sup> معادلات استفاده کرده است. رابرتсон<sup>۳</sup> [21] ارتعاش اجباری ورق مدور متقارن محوری ویسکوالاستیک با به کارگیری روش ویلیامز (الگوریتم فاکتورگیری عددی) و با در نظر گرفتن چرخشها و اثر برش را بررسی کرد. کونگ و پاو<sup>۴</sup> [22] ارتعاشات خمشی غیرخطی ورق دایروی الاستیک، با شرط مرزی گیردار را با استفاده از روش گالرکین و با در نظر گرفتن یک جمله از بسط، مورد مطالعه قرار دادند و سپس نتایج تحلیلی خود را با نتایج آزمایشگاهی مقایسه کردند. آن‌ها از تئوری سه‌بعدی غیرخطی الاستیسیته برای به دست آوردن معادلات حاکم، استفاده کردند. رفیلد<sup>۵</sup> [23] با استفاده از اصل همیلتون معادلات حاکم بر ورق دایروی الاستیک را به دست آورد و ارتعاشات اجباری با دامنه زیاد را با استفاده از روش گالرکین بررسی کرد و پاسخ ورق دایروی را به دست آورد. سریدهار<sup>۶</sup> و همکاران [24] ارتعاشات غیرخطی اجباری ورق دایروی الاستیک در حالت متقارن محوری را با استفاده از تئوری کلاسیک ورق‌ها و به کمک روش اغتشاشات بررسی کردند. آلوار<sup>۷</sup> و ناس [25] پاسخ دینامیکی غیرخطی ورقهای دایروی تحت بارهای گذرا را با استفاده از تئوری کلاسیک بررسی نمودند. چند جمله‌ای‌های چیزیف برای حرکت‌های با دامنه‌ی زیاد تحت بارهای گذرا با در نظر گرفتن میرایی و نامیرایی به کار گرفته شد. همچنین معادلات غیرخطی به‌وسیله‌ی بسط تیلور خطی شد. سریدهار و همکاران [26] ارتعاشات غیرخطی اجباری ورق دایروی الاستیک در حالت نامتقارن را با استفاده از تئوری کلاسیک ورق‌ها و به کمک روش اغتشاشات بررسی کردند. ناگایا<sup>۸</sup> [27] ارتعاشات خطی ورق مدور ویسکوالاستیک با مرزهای داخلی دایره‌ای خارج از مرکز، با استفاده از تئوری

---

<sup>1</sup> Leissa

<sup>2</sup> Robertson

<sup>3</sup> Kung and Pao

<sup>4</sup> Rehfield

<sup>5</sup> Sridhar

<sup>6</sup> Alwar and Nath

<sup>7</sup> Nagaya

کلاسیک برای شرایط مرزی مختلف را به کمک روش عددی مطالعه کرد. بیلی و چن<sup>۱</sup> [28] مدهای طبیعی ورق مدور ویسکوالاستیک خطی با لبه‌های آزاد با گسترش تئوری خمش کلاسیک ورق‌های نازک و در نظر گرفتن اثر اتلاف مکانیکی و چرخش بدون در نظر گرفتن اثر برش را به دست آوردند. وانگ و تی سای<sup>۲</sup> [29] تحلیل دینامیکی و نیمه استاتیکی ورق‌های ویسکوالاستیک میندلین، با در نظر گرفتن مدل ماکسول و استاندارد جامد خطی مسائل مختلفی را بررسی کردند. روش حل آن‌ها ترکیبی از روش‌های المان محدود و نیومارک بود. وینسل<sup>۳</sup> [30] با مرور کلی، کارهای انجام شده برای ورق توپر و حلقوی الاستیک را بر اساس تئوری برشی و کلاسیک ارائه کرد، وی اثر شرایط مرزی، خواص مکانیکی و ابعاد هندسی ورق بر فرکانس طبیعی را بررسی نمود. سدرباوم و ابوالدی<sup>۴</sup> [31] پاسخ دینامیکی ورق‌های چند لایه تحت بار ضربه‌ای را بررسی کردند. آن‌ها با استفاده از مدل ویسکوالاستیک بولتزمن و با استفاده از روش تحلیلی تبدیل فوریه در محدوده‌ی فرکانسی تحلیل را انجام دادند؛ تئوری ورق مورد استفاده‌ی آن‌ها تئوری برشی مرتبه اول بود. ابوالدی و همکاران [32] به بررسی پایداری دینامیکی یک صفحه‌ی نازک ویسکوالاستیک تحت بار هارمونیک درونصفحه‌ای با در نظر گرفتن تغییر شکل‌های کوچک، با استفاده از اصل لیاپانوف پرداختند. هادیان و نایفه<sup>۵</sup> [33] با استفاده از معادلات فن-کارمن در مختصات قطبی و در نظر گرفتن تئوری کلاسیک، به کمک روش مقیاس‌های چندگانه پاسخ مدهای متقارن ورق‌های مدور الاستیک را با در نظر گرفتن اثر میرایی با معرفی جمله‌ی اتلاف، بررسی کردند. سدرباوم و دراوشی<sup>۶</sup> [34] پایداری ورق‌های مدور ویسکوالاستیک با هندسه‌ی غیرخطی که در معرض بار شعاعی و ممان خمشی در لبه‌ها هستند را بررسی کردند. آن‌ها از روش عددی رانج کوتای مرتبه چهار برای حل معادلات استفاده کردند. لیو<sup>۷</sup> و همکاران [35] مرور جامعی بر مطالعات انجام شده در زمینه‌ی ارتعاشات آزاد ورق مدور ضخیم در حالت الاستیک و با

<sup>1</sup> Bailey and Chen

<sup>2</sup> Wang and Tsai

<sup>3</sup> Weisensel

<sup>4</sup> Cederbaum and Aboudi

<sup>5</sup> Hadian and Nayfeh

<sup>6</sup> Drawshi

<sup>7</sup> Liew

شکل‌های مختلف که از تئوری کلاسیک و تئوری تغییر شکل برشی مرتبه اول استفاده کرده‌اند، داشتند. رومانلی<sup>۱</sup> و همکاران [36] ارتعاشات خطی ورق حلقوی الاستیک را بررسی نمودند. آن‌ها با استفاده از تئوری کلاسیک ورق‌ها و استفاده از روش کوادراتور دیفرانسیلی<sup>۲</sup> فرکانس‌های ورق را به‌دست آوردند. اسماعیل‌زاده و جلالی [37] ارتعاشات غیرخطی ورق‌های مستطیلی ویسکوالاستیک با شرط مرزی ساده و با در نظر گرفتن مدل کلوین-ویت و تئوری کلاسیک را مطالعه کردند، آن‌ها معادله‌ی به‌دست آمده از اصل همیلتون را به‌کمک روش بوبنوف-گالرکین<sup>۳</sup> حل نمودند. توژ<sup>۴</sup> و همکاران [38] به‌کمک روش اغتشاشات، ارتعاشات اجباری غیرخطی نامتقارن ورق‌های دایروی با شرایط مرزی آزاد را مطالعه کردند و در سال بعد نتایج خود را با نتایج به‌دست آمده از روش آزمایشگاهی [39] مقایسه کردند. لی و یو<sup>۵</sup> [40] ارتعاشات غیرخطی نامتقارن یک ورق دایروی با شرط مرزی گیردار و روی بستر الاستیک را به‌کمک روش اغتشاشات حل و پدیده رزونانس داخلی را مطالعه کردند. صالحی و آقایی [41] رهایش دینامیکی با تغییر شکل‌های بزرگ ورق‌های دور ویسکوالاستیک نامتقارن، با در نظر گرفتن برش عرضی و تئوری تغییر شکل برشی مرتبه سوم و با فرض مدل جامد استاندارد خطی را ارائه کردند، معادلات غیرخطی به‌دست آمده با ترکیب روش رهایش پویا<sup>۶</sup> و تفاضل محدود حل شدند. الله‌وردی‌زاده و همکاران [42] اولین محققینی بودند که روابط حاکم بر ارتعاشات غیرخطی متقارن محوری ورق‌های نازک دایروی هدفمند<sup>۷</sup> را بر اساس معادلات دینامیکی فن کارمن، فرمول‌بندی کردند و اثرات دامنه ارتعاش و کسر حجمی را بر تنش اعمالی در ورق بررسی کردند. آن‌ها از تئوری کیرشهف ورق‌ها و آنالیز عددی برای به‌دست آوردن معادلات و حل آن‌ها استفاده کردند. شوشتري و خادم [43] ارتعاشات غیرخطی ورق مستطیل شکل ویسکوالاستیک (مدل کلوین-ویت) را بر اساس تئوری تغییر شکل برشی مرتبه اول بررسی کردند. آن‌ها با استفاده از روش گالرکین

<sup>1</sup> Romanelli

<sup>2</sup> DQM

<sup>3</sup> Bubnov-Galerkin method

<sup>4</sup> Touzé

<sup>5</sup> Lee and Yeo

<sup>6</sup> Dynamic relaxation

<sup>7</sup> FGM

و نیز روش مقیاس‌های چندگانه یک حل<sup>۱</sup> عمومی به دست آوردن. گوپتا<sup>۲</sup> [44] تحلیل ارتعاشی ورق مستطیلی ویسکوالاستیک با ضخامت متغیر خطی در یک جهت و تغییر شکل پارabolیک در جهت دیگر را با در نظر گرفتن مدل کلوین ارائه کرد. تئوری کلاسیک و روش ریلی ریتز برای به دست آوردن معادله و فرکانس‌ها مورد استفاده قرار گرفتند. گوپتا و کومار<sup>۳</sup> [45] ارتعاشات آزاد خطی، ورق دایروی ناهمگن ویسکوالاستیک (مدل کلوین-ویت)، که ضخامت آن در جهت شعاع به صورت خطی تغییر می‌کند و در معرض یک توزیع دمای خطی در این جهت می‌باشد را با استفاده از تئوری کلاسیک و به کمک روش تقریبی ریلی ریتز بررسی کردند. آسیه و الطاهر<sup>۴</sup> [46] رفتار ورق‌های مستطیلی ویسکوالاستیک کامپوزیتی و ویسکوالاستیک ایزوتروپ را تحت بار گذرا بررسی نمودند. آن‌ها پاسخ را با استفاده از مدل ویچرت و تئوری میندلین، با روش المان محدود بررسی کردند. جلالی و اسماعیل-زاده خادم [47] ارتعاشات غیرخطی و پایداری دینامیکی یک میکروورق مربعی ویسکوالاستیک (مدل کلوین-ویت) کامپوزیتی تقویت شده با نانوتیوب کربن، تحت بار الکترواستاتیکی را مورد بررسی قرار دادند. معادلات حرکت غیرخطی میکروورق با استفاده از روش نیوتون و تئوری فن-کارمن استخراج شده و با به کارگیری ترکیبی از روش گالرکین و تئوری مقیاس‌های چندگانه معادله‌ها حل شده‌اند. خلفی و روس<sup>۵</sup> [48] برای به دست آوردن پاسخ گذرای ورق مستطیلی لایه‌ای ویسکوالاستیک، هسته‌ی ویسکوالاستیک را به صورت سری پرونی مدل کردند. آن‌ها معادله‌ی حرکت را از معادلات لاغرانژ به دست آوردن؛ همچنین معادله‌ی حرکت را با استفاده از تبدیل فوریه حل کردند. آن‌ها تنها برش عرضی را مد نظر قرار دادند و از تنش‌های نرمال نیز صرف نظر کردند. شریعت و همکاران [49] ارتعاشات آزاد ورق مدور ویسکوالاستیک ضخامت متغیر از ماده‌ی ناهمگن با بستر الاستیک در لبه‌ی ورق را بررسی کردند. در این تحقیق فرض شد خواص ویسکوالاستیک ورق در جهت ضخامت و شعاع متغیر است، معادلات به دست آمده به وسیله‌ی سری‌های توانی حل شده است. آن‌ها از تئوری

---

<sup>1</sup> Gupta

<sup>2</sup> Kumar

<sup>3</sup> Assie and Eltaher

<sup>4</sup> Khalfi and Ross

کلاسیک استفاده کردند. چن و لی<sup>۱</sup> [50] به بررسی پاسخ زیاد ورق‌های پیزوالکتریک با استفاده از تعاریف فن کارمن با روش عددی پرداختند. نشیر و قاهری [51] ارتعاشات اجباری غیرخطی نامتقارن ورق‌های نازک دایروی از جنس مواد هدفمند را با استفاده از تئوری کلاسیک ورق‌ها و روش اغتشاشات مورد بررسی قرار دادند. یونسیان و نوروزی [52] آنالیز فرکانسی غیرخطی، بر روی ورق‌های مستطیلی ویسکوالاستیک (مدل میرایی سازه کلوین) در معرض جریان مافوق صوت و نیروهای خارجی، با استفاده از روش مقیاس‌های چندگانه انجام دادند. آن‌ها از تئوری الاستیسیته برای این آنالیز استفاده کردند. سوامیناثان<sup>۲</sup> و همکاران [53] مرور جامعی بر روی انواع روش‌های (تحلیلی و عددی) به کار گرفته شده برای آنالیز تنش، ارتعاشات و کمانش ورق‌های هدفمند انجام دادند. امابیلی<sup>۳</sup> [54] ارتعاشات غیرخطی ورق مستطیلی ویسکوالاستیک (مدل کلوین-ویت) را با استفاده از روش عددی حل کرد. وی با فرض نازک بودن ورق از تغییر شکل برشی و اینرسی دورانی صرف نظر کرده است.

## ۱۲-۱ جمع‌بندی

در این فصل، ابتدا به معرفی مواد ویسکوالاستیک، رفتار و ویژگی‌های این مواد، معادلات بنیادین تنش-کرنش در شکل دیفرانسیلی و معرفی مدل‌های رئولوژیکی این مواد پرداخته شد. سپس انواع اجزای سازه‌ای و غیرخطی‌ها معرفی شد. سپس به معرفی تئوری‌های متدالول در بررسی ورق و در نهایت به مرور مقالات مرتبط با پایان‌نامه پرداخته شد. مرور مقالات نشان می‌دهد تحقیق‌های زیادی در زمینه ارتعاشات خطی و غیرخطی ورق‌های مستطیلی و دایروی در حالت متقارن و نامتقارن، برای مواد در حالت الاستیک، ویسکوالاستیک و FGM انجام شده است. برای ارتعاشات غیرخطی ورق‌های مستطیلی و دایروی در حالت متقارن و نامتقارن برای مواد الاستیک و FGM با استفاده از تئوری‌های مختلف و روش‌های تحلیلی و عددی، مطالعات زیادی انجام شده است. همچنین ارتعاشات خطی

<sup>1</sup> Chen and Li

<sup>2</sup> Swaminathan

<sup>3</sup> Amabili

ورق‌های دایروی از جنس ویسکوالاستیک را با استفاده از تئوری‌ها و روش‌های مختلف بررسی کرده‌اند. از مطالعات انجام شده می‌توان نتیجه گرفت، در بیشتر مواردی که از تئوری کلاسیک استفاده کرده‌اند از روشن تحلیلی برای حل بهره برده‌اند ولی در تحقیقاتی که با استفاده از تئوری تغییر شکل برشی انجام شده از روش عددی برای حل استفاده کرده‌اند. در این پایان‌نامه، به صورت تحلیلی به بررسی ارتعاشات آزاد و اجباری ورق مدور ویسکوالاستیک با خیز نسبتاً زیاد و استفاده از تئوری تغییر شکل برشی مرتبه اول پرداخته می‌شود.



# فصل دوم

## استخراج معادلات

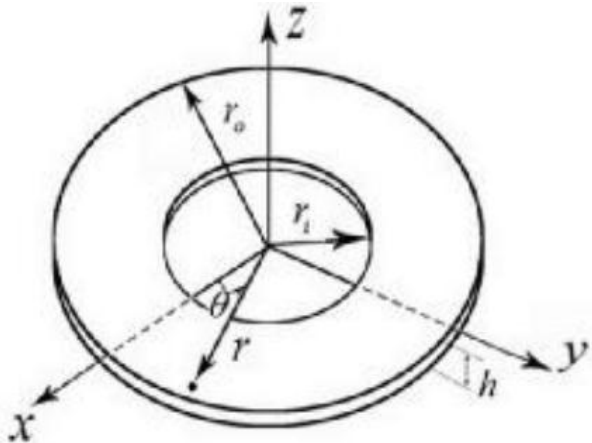
## ۱-۲- مقدمه

در این فصل، ابتدا به استخراج معادلات حرکت ورق الاستیک با در نظر گرفتن خیز نسبتاً زیاد، با استفاده از اصل همیلتون پرداخته خواهد شد. سپس با در نظر گرفتن رفتار ماده به صورت ویسکوالاستیک در برش و الاستیک در اتساع، معادلات به دست آمده برای ماده‌ی ویسکوالاستیک، تعمیم داده می‌شود. معادلات به دست آمده بر اساس تئوری تغییر شکل برشی مرتبه اول خواهد بود و دارای فرضیات زیر است.

- ورق همگن و همسانگرد است؛
- خیز نسبتاً زیاد و از روابط فن کارمن برای تعیین کرنش-جابجایی استفاده می‌شود؛
- سازه متقارن محوری است؛
- رابطه تنش-کرنش، خطی فرض می‌شود.

## ۲-۲- تعریف مسئله

مطابق شکل (۱-۲) ورقی حلقوی با شعاع داخلی  $r_i$ ، شعاع خارجی  $r_o$ ، ضخامت  $h$  و چگالی  $\rho$  مفروض است. ورق تحت بار عرضی دینامیکی بر واحد سطح  $(r,t)$  قرار دارد. فرمول بندی مسئله بر اساس دستگاه مختصات قطبی  $(z, r, \theta)$  بوده که در آن  $r$  جهت شعاع،  $\theta$  زاویه‌ی چرخش حول محور  $z$ ، و جهت  $z$  نیز در راستای عمود بر سطح ورق و از سطح میانی می‌باشد.



شکل (۱-۲) هندسه و دستگاه مختصات ورق حلقی

بر اساس تئوری تغییر شکل برشی مرتبه اول، میدان جابجایی به صورت زیر در نظر گرفته شده است.

$$\begin{aligned} u_r(r, z, t) &= u_0(r, t) + z u_1(r, t) \\ u_\theta(r, z, t) &= 0 \\ u_z(r, z, t) &= w_0(r, t) + z w_1(r, t) \end{aligned} \quad (1-2)$$

که در آن  $u_r$ ،  $u_\theta$  و  $u_z$  سه مؤلفه‌ی جابه‌جایی به ترتیب در راستای  $r$ ،  $\theta$  و  $z$  می‌باشند.  $u_0$  و  $w_0$  دارای

بعد طول بوده و بیانگر جابه‌جایی صفحه‌ی میانی بوده که مجهول هستند و باید تعیین شوند.  $u_1$  تابعی بی‌بعد بوده و معرف چرخش حول محور  $x$  می‌باشد (بیانگر تابع  $\varphi_x$  در شکل (۶-۱۱) است) و  $w_1$  نیز تابعی بی‌بعد بوده که معادل با کرنش عرضی ( $\epsilon_z$ ) در حالت خیز کوتاه است؛ همچنین این توابع، همانند  $u_0$  و  $w_0$  مجهول می‌باشند. با در نظر گرفتن حرکت به صورت متقارن محوری، مؤلفه‌ی جابه‌جایی در جهت  $\theta$  صفر خواهد بود. با استفاده از فرض فن-کارمن برای روابط کرنش-جابجایی، کرنش‌ها در حالت متقارن محوری به صورت زیر می‌باشند [55].

$$\begin{aligned} \epsilon_r &= \frac{\partial u_r}{\partial r} + \frac{1}{2} \left( \frac{\partial u_z}{\partial r} \right)^2; \epsilon_\theta = \frac{u_r}{r}; \epsilon_z = \frac{\partial u_z}{\partial z} + \frac{1}{2} \left( \frac{\partial u_z}{\partial z} \right)^2 \\ \gamma_{rz} &= \frac{\partial u_r}{\partial z} + \frac{\partial u_z}{\partial r} + \left( \frac{\partial u_z}{\partial r} \frac{\partial u_z}{\partial z} \right); \gamma_{r\theta} = 0; \gamma_{\theta z} = 0 \end{aligned} \quad (2-2)$$

بر اساس قانون هوک، رابطه‌ی تنش-کرنش یک جامد سه‌بعدی ایزوتروپیک الاستیک، به صورت

رابطه‌ی (۳-۲) می‌باشد [7].

$$\begin{aligned}\sigma_r &= (K - \frac{2G}{3})(\varepsilon_r + \varepsilon_\theta + \varepsilon_z) + 2G\varepsilon_r; \quad \sigma_\theta = (K - \frac{2G}{3})(\varepsilon_r + \varepsilon_\theta + \varepsilon_z) + 2G\varepsilon_\theta \\ \sigma_z &= (K - \frac{2G}{3})(\varepsilon_r + \varepsilon_\theta + \varepsilon_z) + 2G\varepsilon_z; \quad \tau_{r\theta} = G\gamma_{r\theta} \\ \tau_{\theta z} &= G\gamma_{\theta z}; \quad \tau_{rz} = G\gamma_{rz}\end{aligned}\tag{۳-۲}$$

که در آن  $K$  مدول بالک و  $G$  مدول برشی می‌باشد.

بر اساس میدان جابه‌جایی، میدان کرنش به صورت زیر تعیین می‌شود.

$$\begin{aligned}\varepsilon_r &= \frac{\partial u_0}{\partial r} + z \frac{\partial u_1}{\partial r} + \frac{1}{2} \left( \frac{\partial w_0}{\partial r} + z \frac{\partial w_1}{\partial r} \right)^2; \quad \varepsilon_\theta = \frac{u_0 + zu_1}{r} \\ \varepsilon_z &= w_1 + \frac{1}{2} (w_1)^2; \quad \gamma_{rz} = u_1 + (1+w_1) \left( \frac{\partial w_0}{\partial r} + z \frac{\partial w_1}{\partial r} \right) \\ \gamma_{r\theta} &= \gamma_{\theta z} = 0\end{aligned}\tag{۴-۲}$$

### ۳-۲-محاسبه‌ی انرژی کرنشی ورق

چگالی انرژی کرنشی به صورت زیر تعریف می‌شود [56].

$$U^* = \sigma_r \varepsilon_r + \sigma_\theta \varepsilon_\theta + \sigma_z \varepsilon_z + \tau_{rz} \gamma_{rz} + \tau_{r\theta} \gamma_{r\theta} + \tau_{\theta z} \gamma_{\theta z}\tag{۵-۲}$$

تغییرات<sup>۱</sup> چگالی انرژی کرنشی با جایگذاری مقادیر صفر برخی از مؤلفه‌های تنش، عبارت است از:

$$\delta U^* = \sigma_r \delta \varepsilon_r + \sigma_\theta \delta \varepsilon_\theta + \sigma_z \delta \varepsilon_z + \tau_{rz} \delta \gamma_{rz}\tag{۶-۲}$$

با جایگذاری مؤلفه‌های میدان کرنش (۴-۲) در (۶-۲) نتیجه می‌شود.

$$\begin{aligned}\delta U^* &= \sigma_r \delta \left( \frac{\partial u_0}{\partial r} + z \frac{\partial u_1}{\partial r} + \frac{1}{2} \left( \frac{\partial w_0}{\partial r} + z \frac{\partial w_1}{\partial r} \right)^2 \right) + \sigma_\theta \delta \left( \frac{u_0 + zu_1}{r} \right) + \\ &\quad \sigma_z \delta \left( w_1 + \frac{1}{2} (w_1)^2 \right) + \tau_{rz} \delta \left( u_1 + (1+w_1) \left( \frac{\partial w_0}{\partial r} + z \frac{\partial w_1}{\partial r} \right) \right)\end{aligned}\tag{۷-۲}$$

انرژی کرنشی ورق با انتگرال‌گیری چگالی انرژی کرنشی بر روی حجم، مطابق رابطه‌ی (۸-۲) به دست می‌آید.

---

<sup>۱</sup> Variation

$$\delta U = \int_0^{2\pi} \int_{r_i}^{r_o} \left[ \left[ N_r \frac{\partial(\delta u_0)}{\partial r} + M_r \frac{\partial(\delta u_1)}{\partial r} + \left( N_r \frac{\partial w_0}{\partial r} + M_r \frac{\partial w_1}{\partial r} \right) \frac{\partial(\delta w_0)}{\partial r} \right. \right. \\ \left. \left. + \left( M_r \frac{\partial w_0}{\partial r} + B_r \frac{\partial w_1}{\partial r} \right) \frac{\partial(\delta w_1)}{\partial r} \right] + [N_\theta \delta u_0 + M_\theta \delta u_1] + N_z [1+w_1] \delta w_1 \right. \\ \left. + \left[ Q_r \delta u_1 + \left( Q_r \frac{\partial w_0}{\partial r} + M_z \frac{\partial w_1}{\partial r} \right) \delta w_1 + (1+w_1) \left( Q_r \frac{\partial(\delta w_0)}{\partial t} + M_z \frac{\partial(\delta w_1)}{\partial t} \right) \right] \right] r dr d\theta \quad (8-2)$$

در محاسبه‌ی انرژی کرنشی، از منتجه‌های تنش که به صورت زیر تعریف می‌شوند، استفاده می‌شود.

$$(N_r, N_\theta, N_z) = \int_{-\frac{h}{2}}^{\frac{h}{2}} (\sigma_r, \sigma_\theta, \sigma_z) dz ; \quad (M_r, M_\theta) = \int_{-\frac{h}{2}}^{\frac{h}{2}} z (\sigma_r, \sigma_\theta) dz \quad (9-2)$$

$$(B_r) = \int_{-\frac{h}{2}}^{\frac{h}{2}} z^2 \sigma_r dz ; \quad (Q_r, M_z) = Ks \int_{-\frac{h}{2}}^{\frac{h}{2}} (1, z) \tau_z dz$$

$Ks$  ضریب تصحیح برشی می‌باشد و در این تحقیق برابر  $\frac{5}{6}$  در نظر گرفته می‌شود [57].

#### ۴-۲-محاسبه‌ی انرژی جنبشی ورق

انرژی جنبشی ورق، از رابطه‌ی زیر محاسبه می‌شود [58].

$$T = \frac{1}{2} \int_0^{2\pi} \int_{r_i}^{r_o} \int_{-\frac{h}{2}}^{\frac{h}{2}} \rho \left[ \left( \frac{\partial u_r}{\partial t} \right)^2 + \left( \frac{\partial u_\theta}{\partial t} \right)^2 + \left( \frac{\partial u_z}{\partial t} \right)^2 \right] r dz dr d\theta \quad (10-2)$$

با جایگذاری میدان جابه‌جایی (10-2) در رابطه‌ی (1-2) و انتگرال‌گیری از آن، انرژی جنبشی به-

صورت زیر به دست می‌آید.

$$T = \frac{1}{2} \rho \int \left[ \left( \frac{\partial u_0}{\partial t} \right)^2 h + \left( \frac{\partial w_0}{\partial t} \right)^2 h + \left( \frac{\partial u_1}{\partial t} \right)^2 \frac{h^3}{12} + \left( \frac{\partial w_1}{\partial t} \right)^2 \frac{h^3}{12} \right] 2\pi r dr \quad (11-2)$$

## ۵-کار نیروی خارجی

کار ناشی از تحریک عرضی  $Q$  که بر روی سطح ورق یعنی  $z = \frac{h}{2}$  اعمال می‌شود به صورت زیر است

.[58]

$$W = \int_0^{2\pi} \int_{r_i}^{r_o} r Q(r, t) u_z dr d\theta \quad (12-2)$$

## ۶-تعیین معادلات حرکت با استفاده از اصل همیلتون

با استفاده از اصل همیلتون در بازه‌ی زمانی  $(t_1, t_2)$  نتیجه می‌شود [58].

$$\delta \int_{t_1}^{t_2} L dt = 0 ; \quad L = T - U + W \quad (13-2)$$

با به کارگیری روابط (۸-۲) تا (۱۳-۲) معادلات حرکت، برحسب منتجه‌های تنش ورق الاستیک به صورت روابط زیر حاصل می‌شود.

$$\begin{aligned} \delta u_0 : & -\rho rh \frac{\partial^2 u_0}{\partial t^2} + \frac{d(rN_r)}{dr} - N_\theta = 0 \\ \delta u_1 : & -\rho r \frac{h^3}{12} \frac{\partial^2 u_1}{\partial t^2} + \frac{d(rM_r)}{dr} - M_\theta - rQ_r = 0 \\ \delta w_0 : & -\rho rh \frac{\partial^2 w_0}{\partial t^2} + \frac{d \left[ r \left( (1+w_1)Q_r + N_r \frac{\partial w_0}{\partial r} + M_r \frac{\partial w_1}{\partial r} \right) \right]}{dr} - rQ(r, t) = 0 \\ \delta w_1 : & -\rho r \frac{h^3}{12} \frac{\partial^2 w_1}{\partial t^2} - r \left( Q_r \frac{\partial w_0}{\partial r} + M_r \frac{\partial w_1}{\partial r} \right) - rN_z (1+w_1) + \\ & \frac{d \left[ r \left( (1+w_1)M_r + M_r \frac{\partial w_0}{\partial r} + B_r \frac{\partial w_1}{\partial r} \right) \right]}{dr} - \frac{h}{2} rQ(r, t) = 0 \end{aligned} \quad (14-2)$$

با جایگذاری منتجه‌های تنش (۹-۲) در (۱۴-۲)، معادلات حرکت برحسب مؤلفه‌های جابه‌جاوی به دست می‌آید.

$$\begin{aligned}
& \left( r \left( \frac{K}{12} + \frac{G}{9} \right) \left( \frac{\partial w_1}{\partial r} \right) \left( \frac{\partial^2 w_1}{\partial r^2} \right) + \frac{G}{12} \left( \frac{\partial w_1}{\partial r} \right)^2 \right) h^3 + \left( r \left( K + \frac{4G}{3} \right) \left( \frac{\partial^2 u_0}{\partial r^2} \right) \right. \\
& - \rho r \left( \frac{\partial^2 u_0}{\partial t^2} \right) + r \left( K + \frac{4G}{3} \right) \left( \frac{\partial w_0}{\partial r} \right) \left( \frac{\partial^2 w_0}{\partial r^2} \right) + \left( K + \frac{4G}{3} \right) \left( \frac{\partial u_0}{\partial r} \right) + G \left( \frac{\partial w_0}{\partial r} \right)^2 \\
& \left. + r \left( K - \frac{2G}{3} \right) (1+w_1) \left( \frac{\partial w_1}{\partial r} \right) - \left( K - \frac{2G}{3} \right) \frac{u_0}{r} - \frac{2Gu_0}{r} \right) h = 0
\end{aligned} \tag{الـ ١٥-٢}$$

$$\begin{aligned}
& \left( \frac{1}{12} r \left( K + \frac{4G}{3} \right) \left( \frac{\partial^2 u_1}{\partial r^2} \right) - \frac{1}{12} \rho r \left( \frac{\partial^2 u_1}{\partial t^2} \right) + \frac{1}{12} r \left( K + \frac{4G}{3} \right) \left( \frac{\partial w_1}{\partial r} \right) \left( \frac{\partial^2 w_0}{\partial r^2} \right) \right. \\
& + \frac{1}{12} r \left( K + \frac{4G}{3} \right) \left( \frac{\partial w_0}{\partial r} \right) \left( \frac{\partial^2 w_1}{\partial r^2} \right) + \left( \frac{K}{12} + \frac{G}{9} \right) \left( \frac{\partial u_1}{\partial r} \right) - \frac{1}{6} \frac{Gu_1}{r} \\
& \left. + \frac{G}{6} \left( \frac{\partial w_0}{\partial r} \right) \left( \frac{\partial w_1}{\partial r} \right) - \frac{1}{12} \left( K - \frac{2G}{3} \right) \frac{u_1}{r} \right) h^3 \\
& + \left( -rKsG (1+w_1) \left( \frac{\partial w_0}{\partial r} \right) - rKsGu_1 \right) h = 0
\end{aligned} \tag{الـ ١٥-٣}$$

$$\begin{aligned}
& \left( \frac{r}{12} \left( K + \frac{4}{3}G \right) \left( \frac{\partial w_1}{\partial r} \right) \left( \frac{\partial^2 u_1}{\partial r^2} \right) + r \left( \frac{K}{8} + \frac{G}{6} \right) \left( \frac{\partial w_1}{\partial r} \right)^2 \left( \frac{\partial^2 w_0}{\partial r^2} \right) + \right. \\
& \left( r \left( \frac{K}{12} + \frac{G}{9} \right) \left( \frac{\partial u_1}{\partial r} \right) + r \left( \frac{K}{4} + \frac{G}{3} \right) \left( \frac{\partial w_1}{\partial r} \right) \left( \frac{\partial w_0}{\partial r} \right) + \frac{1}{12} \left( K - \frac{2}{3}G \right) u_1 \right) \left( \frac{\partial^2 w_1}{\partial r^2} \right) \\
& \left. + \left( \frac{K}{6} + \frac{G}{18} \right) \left( \frac{\partial w_1}{\partial r} \right) \left( \frac{\partial u_1}{\partial r} \right) + \left( \frac{K}{8} + \frac{G}{6} \right) \left( \frac{\partial w_1}{\partial r} \right)^2 \left( \frac{\partial w_0}{\partial r} \right) \right) h^3 + \\
& \left( r \left( K + \frac{4}{3}G \right) \left( \frac{\partial w_0}{\partial r} \right) \left( \frac{\partial^2 u_0}{\partial r^2} \right) + \left( r \left( K + \frac{4}{3}G \right) \left( \frac{\partial u_0}{\partial r} \right) + r \left( \frac{3K}{2} + 2G \right) \left( \frac{\partial w_0}{\partial r} \right)^2 + r (1+w_1)^2 KsG + \right. \right. \\
& \left. \left( K - \frac{2}{3}G \right) \left( \frac{w_1^2}{2} + \frac{u_0}{r} + w_1 \right) \right) \left( \frac{\partial^2 w_0}{\partial r^2} \right) - \rho r \left( \frac{\partial^2 w_0}{\partial t^2} \right) + \left( 2K + \frac{2}{3}G \right) \left( \frac{\partial w_0}{\partial r} \right) \left( \frac{\partial u_0}{\partial r} \right) + rKsG(1+w_1) \left( \frac{\partial u_1}{\partial r} \right) \\
& + \left( \frac{K}{2} + \frac{2G}{3} \right) \left( \frac{\partial w_0}{\partial r} \right)^3 + \left( r \left( 2(1+w_1)KsG + \left( K - \frac{2}{3}G \right) (1+w_1) \right) \left( \frac{\partial w_1}{\partial r} \right) + (1+w_1)^2 KsG + \right. \\
& \left. \left( K - \frac{2}{3}G \right) \left( \frac{w_1^2}{2} + w_1 \right) \right) \left( \frac{\partial w_0}{\partial r} \right) + (1+w_1)KsGu_1 + rKsGu_1 \left( \frac{\partial w_1}{\partial r} \right) \right) h - rQ = 0
\end{aligned} \tag{الـ ١٥-٤}$$

$$\begin{aligned}
& \left( r \left( \frac{3K}{160} + \frac{G}{40} \right) \left( \frac{\partial w_1}{\partial r} \right)^2 \left( \frac{\partial^2 w_1}{\partial r^2} \right) + \left( \frac{K}{160} + \frac{G}{120} \right) \left( \frac{\partial w_1}{\partial r} \right)^3 \right) h^5 + \\
& \left( r \left( \frac{K}{12} + \frac{G}{9} \right) \left( \frac{\partial w_1}{\partial r} \right) \left( \frac{\partial^2 u_0}{\partial r^2} \right) + \frac{r}{12} \left( K + \frac{4G}{3} \right) \left( \frac{\partial w_0}{\partial r} \right) \left( \frac{\partial^2 u_1}{\partial r^2} \right) + \right. \\
& \left. \left( r \left( \frac{K}{12} + \frac{G}{9} \right) \left( \frac{\partial u_1}{\partial r} \right) + r \left( \frac{K}{4} + \frac{G}{3} \right) \left( \frac{\partial w_1}{\partial r} \right) \left( \frac{\partial w_0}{\partial r} \right) + \frac{1}{12} \left( K - \frac{2G}{3} \right) u_1 \right) \left( \frac{\partial^2 w_0}{\partial r^2} \right) \right. \\
& \left. + \left( r \left( \frac{K}{12} + \frac{G}{9} \right) \left( \frac{\partial u_0}{\partial r} \right) + r \left( \frac{K}{8} + \frac{G}{6} \right) \left( \frac{\partial w_0}{\partial r} \right)^2 \right. \right. \\
& \left. \left. + r \left( \frac{(1+w_1)^2 K s G}{12} + \frac{\left( K - \frac{2G}{3} \right)}{12} \left( \frac{w_1^2 u_0}{2r} + w_1 \right) \right) \right) \left( \frac{\partial^2 w_1}{\partial r^2} \right) + \left( \frac{K}{8} + \frac{G}{6} \right) \left( \frac{\partial w_1}{\partial r} \right) \left( \frac{\partial w_0}{\partial r} \right)^2 \right) \right. \\
& \left. - \frac{1}{12} \rho r \left( \frac{\partial^2 w_1}{\partial t^2} \right) + \left( \frac{K}{6} + \frac{G}{18} \right) \left( \frac{\partial w_1}{\partial r} \right) \left( \frac{\partial u_0}{\partial r} \right) + \left( \frac{K}{6} + \frac{G}{18} \right) \left( \frac{\partial w_0}{\partial r} \right) \left( \frac{\partial u_1}{\partial r} \right) \right) \\
& + r (1+w_1) \left( \frac{K s G}{6} + \frac{1}{12} \left( K - \frac{2G}{3} \right) - \frac{K s G}{12} - \frac{1}{24} \left( K - \frac{2G}{3} \right) \right) \left( \frac{\partial w_1}{\partial r} \right)^2 \\
& + \left( \frac{1}{12} \left( K - \frac{2G}{3} \right) \left( \frac{1}{2} w_1^2 + w_1 \right) + \frac{(1+w_1)^2}{12} K s G \right) \left( \frac{\partial w_1}{\partial r} \right) h^3 \\
& - \left( r (1+w_1) \left( \left( K - \frac{2G}{3} \right) \left( \frac{\partial u_0}{\partial r} \right) + \left( K s G + \left( \frac{K}{2} - \frac{G}{3} \right) \right) \left( \frac{\partial w_0}{\partial r} \right)^2 \right) + r K s G u_1 \left( \frac{\partial w_0}{\partial r} \right) \right. \\
& \left. + \frac{r Q}{2} + r (1+w_1) \left( \left( K - \frac{2G}{3} \right) \left( \frac{w_1^2}{2} + \frac{u_0}{r} + w_1 \right) + 2G \left( w_1 + \frac{1}{2} w_1^2 \right) \right) \right) h = 0
\end{aligned} \tag{۱۵-۲}$$

## ۷-۲-تعمیم معادلات الاستیک استخراج شده به ورق ویسکوالاستیک

همان‌گونه که در فصل اول بیان شد، مرسوم است جهت توصیف رفتار ماده‌ی ویسکوالاستیک یک سیستم، اثر مؤلفه‌ی برشی را از مؤلفه‌ی تغییر حجم خالص جدا کنند. زیرا بخش‌های برشی و حجمی تنش، رفتارهای رهایش متفاوتی را دنبال می‌کنند. در این پایان‌نامه رفتار ماده در بالک (اتساع)، الاستیک و در برش، ویسکوالاستیک در نظر گرفته می‌شود.

## ۱-۷-۲ - اعمال مدل ویسکوالاستیک مدل جامد استاندارد خطی نوع اول

برای مدل سازی ویسکوالاستیک از مدل جامد استاندارد خطی نوع اول استفاده شده است. شکل (۴-۱) و رابطه‌ی تنش و کرنش آن مطابق رابطه‌ی (۱۳-۱) است. در این حالت اپراتورهای  $P_1$  و  $Q_1$  در رابطه‌ی (۷-۱) (رابطه‌ی بین  $P_1, Q_1, P_2, Q_2, G$  و  $K$ ) به صورت زیر تعریف می‌شوند.

$$P_1 = \left( \frac{1}{E_0} + \frac{1}{E_1} \right) + \frac{\tau}{E_0} D; Q_1 = 2(1 + \tau D) \quad (16-2)$$

که  $\tau$  زمان رهایش و  $D$  اپراتور مشتق زمانی ( $D = \frac{\partial}{\partial t}$ ) می‌باشد. اپراتورهای  $P_2$  و  $Q_2$  نیز به-

صورت زیر تعریف می‌شوند.

$$\begin{aligned} P_2 &= 1 \\ Q_2 &= 3K_0 \end{aligned} \quad (17-2)$$

$K_0$  مدول بالک می‌باشد. بنابراین رابطه‌ی  $K$  و  $G$  و اپراتورها به صورت زیر است.

$$G = \frac{1}{2} \frac{Q_1}{P_1} = \frac{(1 + \tau D)}{\left( \frac{1}{E_0} + \frac{1}{E_1} \right) + \frac{\tau}{E_0} D} \quad (18-2)$$

$$K = \frac{1}{3} \frac{Q_2}{P_2} = K_0$$

متغیرهای  $G_0^*$  و  $G_1^*$  را می‌توان به صورت زیر تعریف کرد.

$$G_0^* = K \left( \frac{1}{E_0} + \frac{1}{E_1} \right); G_1^* = \frac{K}{E_0} \quad (19-2)$$

با اعمال اپراتورهای (۱۶-۲) و (۱۷-۲) و استفاده از رابطه‌ی (۱۸-۲) در معادلات (۱۵-۲)، معادلات حرکت ورق ویسکوالاستیک به دست می‌آید. به دلیل حجم زیاد معادلات، در اینجا شکل اپراتوری آن‌ها نوشته شده است. اصل معادلات در پیوست ب آورده شده است.

$$\begin{aligned}
 L_1(u_0, w_0, w_1, r, t, \partial/\partial t, \partial^2/\partial t^2, \partial^3/\partial t^3, \partial/\partial r, \partial^2/\partial r^2, \partial^2/\partial r\partial t, \partial^3/\partial r^2\partial t) &= 0 \\
 L_2(u_1, w_0, w_1, r, t, \partial/\partial t, \partial^2/\partial t^2, \partial^3/\partial t^3, \partial/\partial r, \partial^2/\partial r^2, \partial^2/\partial r\partial t, \partial^3/\partial r^2\partial t) &= 0 \\
 L_3(u_0, u_1, w_0, w_1, r, t, Q, \partial/\partial t, \partial^2/\partial t^2, \partial^3/\partial t^3, \partial/\partial r, \partial^2/\partial r^2, \partial^2/\partial r\partial t, \partial^3/\partial r^2\partial t) &= 0 \\
 L_4(u_0, u_1, w_0, w_1, r, t, Q, \partial/\partial t, \partial^2/\partial t^2, \partial^3/\partial t^3, \partial/\partial r, \partial^2/\partial r^2, \partial^2/\partial r\partial t, \partial^3/\partial r^2\partial t) &= 0
 \end{aligned} \tag{۲۰-۲}$$

معادلات حاضر، شامل چهار معادله‌ی دیفرانسیل با مشتقات جزئی و ضرایب متغیر هستند، که با یکدیگر کوپل می‌باشند. شرایط مرزی به دست آمده با استفاده از اصل همیلتون بر حسب منتجه‌های تنش برای ورق به صورت زیر خواهد بود.

$$\begin{aligned}
 [rN_r \delta u_0]_{r_i}^{r_o} &= 0, \left[ r \left( N_r \frac{\partial w_0}{\partial r} + M_r \frac{\partial w_1}{\partial r} + (1+w_1)Q_r \right) \delta w_0 \right]_{r_i}^{r_o} = 0 \\
 [rM_r \delta u_1]_{r_i}^{r_o} &= 0, \left[ r \left( M_r \frac{\partial w_0}{\partial r} + B_r \frac{\partial w_1}{\partial r} + (1+w_1)M_{rz} \right) \delta w_1 \right]_{r_i}^{r_o} = 0
 \end{aligned} \tag{۲۱-۲}$$

از رابطه‌ی (۲۱-۲) شرایط مرزی مختلف را می‌توان استخراج نمود.

شرط مرزی لبه‌ی گیردار:

$$at \quad r = r_i \text{ and } r = r_o; u_0 = 0, u_1 = 0, w_0 = 0, w_1 = 0 \tag{۲۲-۲}$$

شرط مرزی لبه‌ی ساده:

$$at \quad r = r_i \text{ and } r = r_o; u_0 = 0, rM_r = 0, w_0 = 0, \frac{\partial w_1}{\partial r} = 0 \tag{۲۳-۲}$$

## ۲-۸-۲-معادله‌ی ورق بر اساس تئوری کلاسیک در حالت ویسکوالاستیک

معادله‌ی ورق مدور الاستیک بر اساس تئوری کلاسیک به صورت رابطه‌ی (۲۴-۲) می‌باشد [10].

$$\rho h \frac{\partial^2 w_0}{\partial t^2} + D \nabla^4 w_0 = 0 \tag{۲۴-۲}$$

در رابطه‌ی (۲۴-۲)،  $D$  سفتی خمشی<sup>۱</sup> و  $\nabla$  اپراتور لاپلاسین می‌باشد که در مختصات قطبی برای حالت متقارن محوری به صورت زیر است.

$$D = \frac{Eh^3}{12(1-\nu^2)} \quad (25-2)$$

$$\nabla^4(\bullet) = \nabla^2 \nabla^2(\bullet); \nabla^2(\bullet) = \frac{\partial^2(\bullet)}{\partial r^2} + \frac{\partial(\bullet)}{r \partial r}$$

با جایگذاری روابط (۱۰-۱) در معادله‌ی (۲۴-۲) و به کارگیری روابط (۱۶-۲) تا (۱۹-۲) معادله‌ی ویسکوالاستیک برای تئوری کلاسیک به صورت زیر به دست می‌آید.

$$\begin{aligned} & \rho \tau^2 \left( \frac{4}{3} G_1^* + G_1^{*2} \right) \frac{\partial^4 w_0}{\partial t^4} + \rho \tau \left( 2G_0^* \left( G_1^* + \frac{2}{3} \right) + \frac{4}{3} G_1^* \right) \frac{\partial^3 w_0}{\partial t^3} \\ & + \rho G_0^* \left( \frac{4}{3} + G_0^* \right) \frac{\partial^2 w_0}{\partial t^2} + \frac{K_0 h^2}{3} \left( \frac{1}{3} + G_0^* \right) \nabla^4 w_0 + \\ & \frac{K_0 h^2 \tau}{3} \left( \tau \left( \frac{1}{3} + G_1^* \right) \frac{\partial^2 (\nabla^4 w_0)}{\partial t^2} + \left( G_1^* + G_0^* + \frac{2}{3} \right) \frac{\partial (\nabla^4 w_0)}{\partial t} \right) = 0 \end{aligned} \quad (26-2)$$

## ۹-۲- جمع‌بندی

در این فصل، ابتدا معادلات ورق مدور الاستیک براساس تئوری تغییر شکل برشی مرتبه اول و با در نظر گرفتن خیز نسبتاً زیاد استخراج شد. سپس با اعمال اپراتورهای ویسکوالاستیک با در نظر گرفتن مدل جامد استاندارد خطی نوع اول، معادلات ورق ویسکوالاستیک به دست می‌آید. در معادلات حرکت، جملات غیرخطی هندسی مربوط به روابط کرنش-جابجایی فن کارمن ظاهر می‌شوند. معادلات به دست آمده، شامل چهار معادله دیفرانسیل ضریب متغیر با مشتق‌های جزئی نسبت به زمان و مکان هستند، که هر چهار معادله بهم کوپل می‌باشند.

---

<sup>۱</sup> Flexural rigidity



# فصل سوم

## حل تحلیلی

### ۱-۳- مقدمه

در فصل قبل، معادلات حاکم بر ارتعاشات غیرخطی ورق مدور ویسکوالاستیک، براساس تئوری تغییر شکل برشی مرتبه اول، استخراج شد. معادلات به صورت یک دستگاه معادله دیفرانسیل، شامل چهار معادله دیفرانسیل ضریب متغیر غیرخطی با مشتقات جزئی نسبت به متغیرهای زمان و مکان بوده که به یکدیگر کوپل هستند. برای حل این معادلات، از تئوری اغتشاشات استفاده می‌شود. برای این منظور ابتدا معادلات بی‌بعد می‌شود. پس از بی‌بعد سازی، فرکانس‌های طبیعی سیستم تعیین شده و سپس پاسخ دینامیکی ورق به‌دست می‌آید.

### ۲-۳- بی‌بعد سازی معادلات

پارامترهای بی‌بعد به صورت زیر تعریف می‌شوند.

$$r^* = \frac{r}{r_o}, \quad h^* = \frac{h}{h_0}, \quad t^* = \frac{t}{t_0}, \quad u_0^* = \frac{u_0}{h_0}, \quad u_1^* = u_1, \quad w_0^* = \frac{w_0}{h_0}, \quad w_1^* = w_1 \quad (1-3)$$

$h^*$  و  $t^*$  و  $r^*$  به ترتیب شعاع، زمان و ضخامت بی‌بعد هستند.  $w_0^*$ ،  $u_0^*$  و  $w_1^*$  به ترتیب مؤلفه‌های بی‌بعد  $w_0$ ،  $u_0$  و  $w_1$  می‌باشند.  $h_0$  و  $t_0$  شاخص‌های ضخامت و زمان هستند که مقادیر آن‌ها به صورت  $c = \sqrt{K_0/\rho}$  در نظر گرفته شده است.  $c$  معرف سرعت موج بوده و به صورت  $h_0 = r_o/c$  تعریف شده است.  $r_o$  شعاع خارجی می‌باشد.

با اعمال پارامترهای بی‌بعد فوق در معادلات، شکل بی‌بعد معادلات به‌دست می‌آید. در معادلات به‌دست آمده پارامترهای بی‌بعد جدید به صورت زیر تعریف می‌شوند.

$$e = \frac{\rho h_0^2}{K_0 t_0^2}, \quad \varepsilon = \frac{h_0}{r_o}, \quad \beta = \frac{\tau}{t_0}, \quad Q^* = \frac{Q}{\varepsilon K_0}, \quad \omega^* = \omega t_0 \quad (2-3)$$

$\varepsilon$  پارامتری کوچک بوده و به عنوان پارامتر اغتشاش در نظر گرفته می‌شود. از تغییر متغیر  $r^* = 1 + \varepsilon X$  به منظور ثابت شدن ضرایب متغیر استفاده می‌کنیم. در نهایت معادلات بی‌بعد شده،

شامل چهار معادله دیفرانسیل جزئی غیرخطی کوپل بهم با ضرایب ثابت و بهشکل زیر است. در این پایان نامه برای ساده نویسی، بهجای  $\omega^*$  از  $\omega$  استفاده می‌شود.

$$\begin{aligned}
 eq1: & (f_1 X^2 + f_2 X - f_3) \varepsilon^2 + (2f_1 X + f_2) \varepsilon + f_1 = 0 \\
 f_1 = & -72e \frac{\partial^2 g_1[u_0^*]}{\partial t^{*2}} + 12 \frac{\partial^2 g_2[w_0^*]}{\partial X^2} \frac{\partial w_0^*}{\partial X} + \left( h^{*2} \frac{\partial^2 g_2[w_1^*]}{\partial X^2} + 12g_3[w_1^*] \right) \frac{\partial w_1^*}{\partial X} \\
 & + 12g_5[w_0^*] + h^{*2}g_5[w_1^*] + 12 \frac{\partial^2 g_2[u_0^*]}{\partial X^2} + 12 \frac{\partial g_3[w_1^*]}{\partial X} + 12\beta b_1 w_1^* \frac{\partial^2 w_1^*}{\partial X \partial t^*} \\
 f_2 = & 12 \frac{\partial g_2[u_0^*]}{\partial X} + 72g_6[w_0^*] + 6h^{*2}g_6[w_1^*] \\
 f_3 = & 12g_2[u_0^*]
 \end{aligned} \tag{۳-۳}$$

$$\begin{aligned}
 eq2: & (f_4 X^2 + f_5 X - f_6) \varepsilon^2 + (2f_4 X + f_5) \varepsilon + f_4 = 0 \\
 f_4 = & -3h^{*2}e \frac{\partial^2 g_1[u_1^*]}{\partial t^{*2}} + \frac{h^{*2}}{2} \left( \frac{\partial^2 g_2[w_0^*]}{\partial X^2} \frac{\partial w_1^*}{\partial X} + \frac{\partial^2 g_2[w_1^*]}{\partial X^2} \frac{\partial w_0^*}{\partial X} + g_{21}[w_0^*, w_1^*] \right. \\
 & \left. + \frac{\partial^2 g_2[u_1^*]}{\partial X^2} \right) - 36Ks \left( g_4[u_1^*] + g_4[w_1^*] \frac{\partial w_0^*}{\partial X} + \frac{\partial g_4[w_0^*]}{\partial X} + \beta w_1^* \frac{\partial^2 w_0^*}{\partial X \partial t^*} \right) \\
 f_5 = & h^{*2} \left( 6 \frac{\partial g_4[w_1^*]}{\partial X} \frac{\partial w_0^*}{\partial X} + \frac{1}{2} \frac{\partial g_2[u_1^*]}{\partial X} + 6\beta \frac{\partial^2 w_0^*}{\partial t^* \partial X} \frac{\partial w_1^*}{\partial X} \right) \\
 f_6 = & \frac{h^{*2}}{2} g_2[u_1^*]
 \end{aligned} \tag{۴-۳}$$

$$eq3: (f_7 X + f_8) \varepsilon + f_7 = 0$$

$$\begin{aligned}
f_7 &= -72h^*e \frac{\partial^2 g_1[w_0^*]}{\partial t^{*2}} - 72g_1[Q^*(X, t^*)] + 12g_{21}[w_0^*, u_0^*] + h^{*2}g_{21}[w_1^*, u_1^*] \\
&\quad + \left( h^{*3} \frac{\partial^2 g_2[w_1^*]}{\partial X^2} + 72h^*Ks g_4[w_1^*] \right) \frac{\partial u_1^*}{\partial X} + 72h^*Ks \left( \frac{\partial g_4[u_1^*]}{\partial X} + u_1^* \frac{\partial g_4[w_1^*]}{\partial X} \right) \\
&\quad + \left( 18h^* \left( \frac{\partial w_0^*}{\partial X} \right)^2 + \frac{3}{2}h^{*3} \left( \frac{\partial w_1^*}{\partial X} \right)^2 + 12h^* \frac{\partial u_0^*}{\partial X} \right) \frac{\partial^2 g_2[w_0^*]}{\partial X^2} + 12h^*g_{15}[w_1^*] \frac{\partial^2 w_0^*}{\partial X^2} \frac{\partial w_1^*}{\partial t^*} \\
&\quad + \left( 3h^{*3}g_5[w_1^*] + 36h^*g_5[w_0^*] + 12h^* \frac{\partial^2 g_2[u_0^*]}{\partial X^2} + 12h^*g_{15}[w_1^*] \frac{\partial^2 w_1^*}{\partial X \partial t^*} \right) \frac{\partial w_0^*}{\partial X} \\
&\quad + \left( 3h^{*3} \frac{\partial^2 g_2[w_1^*]}{\partial X^2} + 12h^* \left( 12Ks(g_4[w_1^*] - 1) + g_3[w_1^*] + b_0 \right) \right) \frac{\partial w_1^*}{\partial X} \frac{\partial w_0^*}{\partial X} \\
&\quad + \left( h^{*3} \frac{\partial^2 g_2[u_1^*]}{\partial X^2} + 3h^{*2}g_{21}[w_0^*, w_1^*] + 12h^*g_{15}[w_1^*] \frac{\partial^2 w_0^*}{\partial X \partial t^*} \right) \frac{\partial w_1^*}{\partial X} \\
&\quad + 72h^*Ks \left( \beta w_1^* \frac{\partial^2 u_1^*}{\partial X \partial t^*} + (1+w_1^*)^2 \frac{\partial^2 g_4[w_0^*]}{\partial X^2} \right) + 6h^*w_1^*(2+w_1^*) \frac{\partial^2 g_3[w_0^*]}{\partial X^2} \tag{Δ-Γ} \\
f_8 &= 48h^* \left( \frac{\partial g_2[w_0^*]}{\partial X} + 3 \frac{\partial g_1[w_0^*]}{\partial X} \right) \frac{\partial u_0^*}{\partial X} + 6h^*w_1^*(2+w_1^*) \frac{\partial g_3[w_0^*]}{\partial X} \\
&\quad + 4h^{*3} \left( \frac{\partial g_2[w_1^*]}{\partial X} + 3 \frac{\partial g_1[w_1^*]}{\partial X} \right) \frac{\partial u_1^*}{\partial X} + 72h^*Ks(1+w_1^*)^2 \frac{\partial g_4[w_0^*]}{\partial X} \\
&\quad + \frac{3}{2}h^{*3} \frac{\partial^2 g_2[w_0^*]}{\partial X^2} \left( \frac{\partial w_1^*}{\partial X} \right)^2 + 72h^*Ks(u_1^*g_4[w_1^*] + g_4[u_1^*]) \\
&\quad + 12h^*u_0^* \frac{\partial^2 g_3[w_0^*]}{\partial X^2} + h^{*3}u_1^* \frac{\partial^2 g_3[w_1^*]}{\partial X^2} + 6h^* \frac{\partial g_2[w_0^*]}{\partial X} \left( \frac{\partial w_0^*}{\partial X} \right)^2 \\
&\quad + 12h^*g_{15}[w_1^*] \frac{\partial w_1^*}{\partial t^*} \frac{\partial w_0^*}{\partial X} + 4\beta h^*(1+3G_1^*) \left( h^{*2} \frac{\partial^2 u_1^*}{\partial X \partial t^*} \frac{\partial w_1^*}{\partial X} + 12 \frac{\partial^2 u_0^*}{\partial X \partial t^*} \frac{\partial w_0^*}{\partial X} \right) \\
&\quad + 3\beta h^{*3}a_1 \frac{\partial^2 w_1^*}{\partial X \partial t^*} \frac{\partial w_1^*}{\partial X} \frac{\partial w_0^*}{\partial X} + 12\beta h^* \left( h^{*2}b_1 \frac{\partial^2 w_1^*}{\partial X^2} + 6Ks w_1^* \right) \frac{\partial u_1^*}{\partial t^*} \\
&\quad + 12\beta h^* \left( b_1 \frac{\partial^2 w_0^*}{\partial X^2} \frac{\partial u_0^*}{\partial t^*} + a_1 \frac{\partial^2 w_0^*}{\partial X \partial t^*} \left( \frac{\partial w_0^*}{\partial X} \right)^2 \right)
\end{aligned}$$

$$eq4: (f_9 X + f_{10}) \varepsilon + f_9 = 0$$

$$\begin{aligned}
f_9 = & -120h^{*2}e \frac{\partial^2 g_1[w_1^*]}{\partial t^{*2}} - 720g_1[Q^*(X, t^*)] + 20h^*g_{21}[w_0^*, u_1^*] \\
& + 10h^{*2} \left( w_1^* (2+w_1^*) \frac{\partial^2 g_3[w_1^*]}{\partial X^2} + 12Ks(1+w_1^*)^2 \frac{\partial^2 g_4[w_1^*]}{\partial X^2} \right) - 1440g_4[u_1^*] \frac{\partial w_0^*}{\partial X} \\
& + 20h^*g_{21}[w_1^*, u_0^*] + 20h^{*2} \frac{\partial^2 g_2[w_0^*]}{\partial X^2} \frac{\partial u_1^*}{\partial X} + 20 \left( h^{*2} \frac{\partial^2 g_2[w_1^*]}{\partial X^2} - 12g_3[w_1^*] \right) \frac{\partial u_0^*}{\partial X} \\
& + \left( 30h^{*2} \frac{\partial^2 g_2[w_1^*]}{\partial X^2} - 120g_3[w_1^*] - 1440Ks g_4[w_1^*] - 120(b_0 + 12Ks) \right) \left( \frac{\partial w_0^*}{\partial X} \right)^2 \\
& + h^{*2} \left( 20 \frac{\partial^2 g_2[u_0^*]}{\partial X^2} + 9h^{*2}g_5[w_1^*] + 60g_5[w_0^*] \right) \frac{\partial w_1^*}{\partial X} - 240 \frac{\partial g_3[u_0^*]}{\partial X} \\
& + 20h^* \left( h^* \left( 3 \frac{\partial^2 g_2[w_0^*]}{\partial X^2} \frac{\partial w_1^*}{\partial X} + \frac{\partial^2 g_2[u_1^*]}{\partial X^2} \right) + 3g_{21}[w_1^*, w_0^*] \right) \frac{\partial w_0^*}{\partial X} \\
& + h^{*2} \left( \frac{9}{2}h^{*2} \frac{\partial^2 g_2[w_1^*]}{\partial X^2} + 10g_3[w_1^*] + 120Ks g_4[w_1^*] + 10(b_0 + 12Ks) \right) \left( \frac{\partial w_1^*}{\partial X} \right)^2 \\
& + \left( 20h^{*2} \left( \frac{\partial^2 w_1^*}{\partial X \partial t^*} \frac{\partial w_1^*}{\partial X} + \frac{\partial^2 w_1^*}{\partial X^2} \frac{\partial w_1^*}{\partial t^*} \right) - 240 \frac{\partial^2 w_0^*}{\partial X \partial t^*} \frac{\partial w_0^*}{\partial X} \right) g_{15}[w_1^*] \\
& - 120(w_1^{*2} + 3w_1^* + 2)g_2[w_1^*] - 120\beta a_1 w_1^* (2w_1^* + 3) \frac{\partial w_1^*}{\partial t^*} \\
& - 240\beta \left( b_1 w_1^* \frac{\partial^2 u_0^*}{\partial X \partial t^*} + 6Ks u_1^* \frac{\partial^2 w_0^*}{\partial X \partial t^*} \right) \\
f_{10} = & 10h^{*2} \left( 3 \frac{\partial g_2[w_1^*]}{\partial X} \left( \frac{\partial w_0^*}{\partial X} \right)^2 + 2 \left( u_0^* \frac{\partial^2 g_3[w_1^*]}{\partial X^2} + u_1^* \frac{\partial^2 g_3[w_0^*]}{\partial X^2} \right) \right) \\
& - 240(u_0^* g_3[w_1^*] + g_3[u_0^*]) + \frac{3}{2}h^{*4} \frac{\partial g_2[w_1^*]}{\partial X} \left( \frac{\partial w_1^*}{\partial X} \right)^2 \\
& + 80h^{*2} \left( \left( \frac{\partial g_4[w_1^*]}{\partial X} + 3g_1[w_1^*] \right) \frac{\partial u_0^*}{\partial X} + \left( \frac{\partial g_4[w_0^*]}{\partial X} + 3g_1[w_0^*] \right) \frac{\partial u_1^*}{\partial X} \right) \\
& + 10h^{*2} \left( 12Ks(1+w_1^*)^2 \frac{\partial g_4[w_1^*]}{\partial X} + w_1^* (2+w_1^*) \frac{\partial g_3[w_1^*]}{\partial X} \right) \\
& + 20h^{*2}g_{15}[w_1^*] \frac{\partial w_1^*}{\partial X} \frac{\partial w_1^*}{\partial t^*} + 80\beta h^{*2} (1+3G_1^*) \left( \frac{\partial^2 u_1^*}{\partial X \partial t^*} \frac{\partial w_0^*}{\partial X} + \frac{\partial^2 u_0^*}{\partial X \partial t^*} \frac{\partial w_1^*}{\partial X} \right) \\
& + 20\beta b_1 \left( h^{*2} \frac{\partial^2 w_0^*}{\partial X^2} \frac{\partial u_1^*}{\partial t^*} + \left( h^{*2} \frac{\partial^2 w_1^*}{\partial X^2} - 12w_1^* \right) \frac{\partial u_0^*}{\partial t^*} \right) \\
& + 3\beta h^{*2} a_1 \left( 20 \frac{\partial^2 w_0^*}{\partial X \partial t^*} \frac{\partial w_1^*}{\partial X} \frac{\partial w_0^*}{\partial X} + h^{*2} \frac{\partial^2 w_1^*}{\partial X \partial t^*} \left( \frac{\partial w_1^*}{\partial X} \right)^2 \right)
\end{aligned}$$

که در این روابط:

$$\begin{aligned}
 a_0 &= 8 + 6G_0^*; a_1 = 8 + 6G_1^*; b_0 = -4 + 6G_0^*; b_1 = -4 + 6G_1^* \\
 g_1[\bullet] &= G_0^*(\bullet) + \beta G_1^* \frac{\partial(\bullet)}{\partial t^*}; g_2[\bullet] = a_0(\bullet) + \beta a_1 \frac{\partial(\bullet)}{\partial t^*} \\
 g_3[\bullet] &= b_0(\bullet) + \beta b_1 \frac{\partial(\bullet)}{\partial t^*}; g_4[\bullet] = \beta \frac{\partial(\bullet)}{\partial t^*} + (\bullet); g_5[\bullet] = \beta a_1 \frac{\partial^2(\bullet)}{\partial X \partial t^*} \frac{\partial^2(\bullet)}{\partial X^2} \\
 g_6[\bullet] &= \left( \frac{\partial(\bullet)}{\partial X} + 2\beta \frac{\partial^2(\bullet)}{\partial X \partial t^*} \right) \frac{\partial(\bullet)}{\partial X}; g_{15}[\bullet] = \beta(b_1 + 12Ks)(1 + \bullet) \\
 g_{21}[\bullet, \Delta] &= \beta h^* a_1 \left( \frac{\partial^2(\bullet)}{\partial X \partial t^*} \frac{\partial^2(\Delta)}{\partial X^2} + \frac{\partial^2(\Delta)}{\partial X \partial t^*} \frac{\partial^2(\bullet)}{\partial X^2} \right)
 \end{aligned} \quad (7-3)$$

در معادلات حاضر  $G_0^*$  و  $G_1^*$  در فصل قبل تعریف شده‌اند. بار فشاری  $Q^*$ , بر روی سطح ورق اعمال می‌شود. با روش مشابه، معادله‌ی بی بعد شده برای ورق بر اساس تئوری کلاسیک به صورت زیر است.

$$\begin{aligned}
 (f_1 X^3 + f_2 X^2 + f_3 X + f_4) \varepsilon^3 + (3f_1 X^2 + 2f_2 X + f_3) \varepsilon^2 + (3f_1 X + f_2) \varepsilon + f_1 &= 0 \\
 f_1 &= e \left( 9 \left( \frac{4}{3} G_0^* + G_0^{*2} \right) \frac{\partial^2 w_0^*}{\partial t^{*2}} + 12\beta \left( \frac{3}{2} G_0^* G_1^* + G_1^* + G_0^* \right) \frac{\partial^3 w_0^*}{\partial t^{*3}} + 9\beta^2 \left( \frac{4}{3} G_1^* + G_1^{*2} \right) \frac{\partial^4 w_0^*}{\partial t^{*4}} \right) + \frac{\partial^3 f_4}{\partial X^3} \\
 f_2 &= 2 \frac{\partial^2 f_4}{\partial X^2}; f_3 = -\frac{\partial f_4}{\partial X} \\
 f_4 &= h^{*2} \left( 3G_0^* + 1 \right) \frac{\partial w_0^*}{\partial X} + \beta h^{*2} \left( 3(G_1^* + G_0^*) + 2 \right) \frac{\partial^2 w_0^*}{\partial t^* \partial X} + \beta^2 h^{*2} \left( 3G_0^* + 1 \right) \frac{\partial^3 w_0^*}{\partial t^{*2} \partial X}
 \end{aligned} \quad (8-3)$$

### ۳-۳- تحلیل ارتعاشات آزاد

در تحلیل فرکانسی بار عرضی تأثیری بر فرکانس طبیعی نخواهد داشت. برای حل معادلات از روش مقیاس‌های چندگانه در تئوری اغتشاشات استفاده می‌گردد [59]. در ابتدا مؤلفه‌های دامنه‌ی ارتعاشات به صورت زیر در نظر گرفته می‌شود.

$$\begin{aligned}
 u_0^*(X, t^*; \varepsilon) &= \varepsilon(u_{00}(X, T_0, T_1) + \varepsilon u_{01}(X, T_0, T_1)) \\
 u_1^*(X, t^*; \varepsilon) &= \varepsilon(u_{10}(X, T_0, T_1) + \varepsilon u_{11}(X, T_0, T_1)) \\
 w_0^*(X, t^*; \varepsilon) &= \varepsilon(w_{00}(X, T_0, T_1) + \varepsilon w_{01}(X, T_0, T_1)) \\
 w_1^*(X, t^*; \varepsilon) &= \varepsilon(w_{10}(X, T_0, T_1) + \varepsilon w_{11}(X, T_0, T_1))
 \end{aligned} \quad (9-3)$$

که  $T_1 = \varepsilon t^*$  و  $T_0 = t^*$  است. با توجه به این تعریف‌ها، اپراتورهای مشتق زمانی به صورت زیر تعریف می‌شوند.

$$\begin{aligned}\frac{\partial}{\partial t^*} &= \frac{\partial}{\partial T_0} + \varepsilon \frac{\partial}{\partial T_1} \\ \frac{\partial^2}{\partial t^{*2}} &= \frac{\partial^2}{\partial T_0^2} + 2\varepsilon \frac{\partial^2}{\partial T_0 \partial T_1} \\ \frac{\partial^3}{\partial t^{*3}} &= \frac{\partial^3}{\partial T_0^3} + 3\varepsilon \frac{\partial^3}{\partial T_0^2 \partial T_1}\end{aligned}\quad (10-3)$$

با جایگذاری روابط (۹-۳) و (۱۰-۳) در معادلات (۳-۳) تا (۶-۳) و جداسازی معادلات براساس مرتبه‌های  $\varepsilon^1$  و  $\varepsilon^2$ ، معادلات زیر حاصل می‌شود.

معادلات مرتبه یک:

$$eq_1: -72e \frac{\partial^2 g_1[u_{00}]}{\partial T_0^2} + 12 \frac{\partial g_3[w_{10}]}{\partial X} + 12 \frac{\partial^2 g_2[u_{00}]}{\partial X^2} = 0 \quad (11-3)$$

$$eq2: -3eh^{*2} \frac{\partial^2 g_1[u_{10}]}{\partial T_0^2} + \frac{h^{*2}}{2} \frac{\partial^2 g_2[u_{10}]}{\partial X^2} - 36Ks \left( g_4[u_{10}] + \frac{\partial g_4[w_{00}]}{\partial X} \right) = 0 \quad (12-3)$$

$$eq3: -72eh^* \frac{\partial^2 g_1[w_{00}]}{\partial T_0^2} - 72g_1[Q^*] + 72h^* Ks \left( \frac{\partial g_4[u_{10}]}{\partial X} + \frac{\partial^2 g_4[w_{00}]}{\partial X^2} \right) = 0 \quad (13-3)$$

$$\begin{aligned}eq4: -120eh^{*2} \frac{\partial^2 g_1[w_{10}]}{\partial T_0^2} - 720g_1[Q^*] - 240 \left( \frac{\partial g_3[u_{00}]}{\partial X} + g_2[w_{10}] \right) \\ + 120h^{*2} Ks \frac{\partial^2 g_4[w_{10}]}{\partial X^2} = 0\end{aligned}\quad (14-3)$$

معادلات مرتبه دو:

$$\begin{aligned}
eq_1 : & -72e \frac{\partial^2 g_1[u_{01}]}{\partial T_0^2} + 12 \left( \frac{\partial g_3[w_{11}]}{\partial X} + \frac{\partial^2 g_2[u_{01}]}{\partial X^2} \right) - 144e g_{10}[u_{00}] \\
& + \left( -144e \frac{\partial^2 g_1[u_{00}]}{\partial T_0^2} + 24 \left( \frac{\partial^2 g_2[u_{00}]}{\partial X^2} + \frac{\partial g_3[w_{10}]}{\partial X} \right) \right) X + 12 \frac{\partial g_2[u_{00}]}{\partial X} \\
& + 12 \frac{\partial^2 g_2[w_{00}]}{\partial X^2} \frac{\partial w_{00}}{\partial X} + 12\beta \left( b_1 g_{11}[w_{10}] + a_1 \frac{\partial g_{11}[u_{00}]}{\partial X} \right) + 12g_5[w_{00}]
\end{aligned} \tag{15-3)$$

$$\begin{aligned}
eq_2 : & -3eh^{*2} \frac{\partial^2 g_1[u_{11}]}{\partial T_0^2} + \frac{h^{*2}}{2} \frac{\partial^2 g_2[u_{11}]}{\partial X^2} - 36Ks \left( g_4[u_{11}] + \frac{\partial g_4[w_{01}]}{\partial X} \right) - 6eh^{*2} g_{10}[u_{10}] \\
& + \left( \frac{h^{*2}}{2} \frac{\partial^2 g_2[w_{10}]}{\partial X^2} - 36Ks g_4[w_{10}] \right) \frac{\partial w_{00}}{\partial X} - 36Ks \left( \beta \left( w_{10} \frac{\partial^2 w_{00}}{\partial X \partial T_0} + \frac{\partial u_{10}}{\partial T_1} \right) + g_{11}[w_{00}] \right) \\
& + \left( -6eh^{*2} \frac{\partial^2 g_1[u_{10}]}{\partial T_0^2} + h^{*2} \frac{\partial^2 g_2[u_{10}]}{\partial X^2} - 72Ks \left( \frac{\partial g_4[w_{00}]}{\partial X} + g_4[u_{10}] \right) \right) X
\end{aligned} \tag{16-3)$$

$$\begin{aligned}
eq_3 : & -72eh^* \frac{\partial^2 g_1[w_{01}]}{\partial T_0^2} + 72h^* Ks \left( \frac{\partial g_4[u_{11}]}{\partial X} + \frac{\partial^2 g_4[w_{01}]}{\partial X^2} \right) - 144eh^* g_{10}[w_{00}] \\
& + \left( -72eh^* \frac{\partial^2 g_1[w_{00}]}{\partial T_0^2} - 72g_1[Q^*] + 72h^* Ks \left( \frac{\partial g_4[u_{10}]}{\partial X} + \frac{\partial^2 g_4[w_{00}]}{\partial X^2} \right) \right) X \\
& + 12h^* \frac{\partial^2 g_2[w_{00}]}{\partial X^2} \frac{\partial u_{00}}{\partial X} + h^{*3} \left( \frac{\partial^2 g_2[u_{10}]}{\partial X^2} \frac{\partial w_{10}}{\partial X} + \frac{\partial^2 g_2[w_{10}]}{\partial X^2} \frac{\partial u_{10}}{\partial X} \right) \\
& + 72h^* Ks \left( u_{10} \frac{\partial g_4[w_{10}]}{\partial X} + \frac{\partial g_4[w_{00}]}{\partial X} + g_4[u_{10}] \right) + h^{*2} g_{21}[w_{10}, u_{10}]
\end{aligned} \tag{17-3)$$

$$\begin{aligned}
& + 12h^* \left( \frac{\partial^2 g_2[u_{00}]}{\partial X^2} + \frac{\partial g_3[w_{10}]}{\partial X} + 12Ks \frac{\partial g_4[w_{10}]}{\partial X} \right) \frac{\partial w_{00}}{\partial X} + 72Ks g_{22}[w_{10}, u_{10}] \\
& + 12\beta h^* (b_1 + 12Ks) \left( \frac{\partial^2 w_{00}}{\partial X \partial T_0} \frac{\partial w_{10}}{\partial X} + \frac{\partial^2 w_{00}}{\partial X^2} \frac{\partial w_{10}}{\partial T_0} \right) + 12g_{21}[w_{00}, u_{00}] \\
& + 12h^* w_{10} \left( \frac{\partial^2 g_3[w_{00}]}{\partial X^2} + 6Ks \left( 2 \frac{\partial^2 g_4[w_{00}]}{\partial X^2} + \frac{\partial g_4[u_{10}]}{\partial X} \right) \right) \\
& + 72\beta h^* Ks \left( \frac{\partial g_{11}[w_{00}]}{\partial X} + g_{11}[u_{10}] \right) = 0
\end{aligned}$$

$$\begin{aligned}
eq4: & -120eh^{*2} \frac{\partial^2 g_1[w_{11}]}{\partial T_0^2} - 240 \left( \frac{\partial g_3[u_{01}]}{\partial X} + g_2[w_{11}] \right) + 120h^{*2}Ks \frac{\partial^2 g_4[w_{11}]}{\partial X^2} \\
& + \left( -120eh^{*2} \frac{\partial^2 g_1[w_{10}]}{\partial T_0^2} - 720g_1[Q^*] - 240 \left( \frac{\partial g_3[u_{00}]}{\partial X} + g_2[w_{10}] \right) + \right. \\
& \left. 120h^{*2}Ks \frac{\partial^2 g_4[w_{10}]}{\partial X^2} \right) X - 240eh^{*2}g_{10}[w_{10}] - 240\beta b_1 g_{11}[u_{00}] + \\
& 20h^{*2} \left( \frac{\partial^2 g_2[w_{00}]}{\partial X^2} \frac{\partial u_{10}}{\partial X} + \frac{\partial^2 g_2[u_{10}]}{\partial X^2} \frac{\partial w_{00}}{\partial X} + \frac{\partial^2 g_2[u_{00}]}{\partial X^2} \frac{\partial w_{10}}{\partial X} + \frac{\partial^2 g_2[w_{10}]}{\partial X^2} \frac{\partial u_{00}}{\partial X} \right) \\
& + 120\beta h^{*2}Ks \frac{\partial g_{11}[w_{10}]}{\partial X} - 240\beta a_1 \frac{\partial w_{10}}{\partial T_1} - 240g_3[w_{10}] \frac{\partial u_{00}}{\partial X} - 240g_3[u_{00}] \\
& + 20h^* (g_{21}[u_{00}, w_{10}] + g_{21}[w_{00}, u_{10}]) - 1440Ks \frac{\partial g_4[w_{00}]}{\partial X} u_{10} - 360g_{16}[w_{10}] w_{10} \\
& + 20h^{*2} \left( \frac{\partial^2 g_3[w_{10}]}{\partial X^2} + 12Ks \frac{\partial^2 g_4[w_{10}]}{\partial X^2} \right) w_{10} + 120h^{*2}Ks \frac{\partial g_4[w_{10}]}{\partial X} \\
& - 120g_{15}[w_{00}] + 10h^{*2}g_{15}[w_{10}] + 20\beta h^{*2}(b_1 + 12Ks) \frac{\partial^2 w_{10}}{\partial X^2} \frac{\partial w_{10}}{\partial T_0} \\
& - 240\beta \left( w_{10}b_1 \frac{\partial^2 u_{00}}{\partial X \partial T_0} + 6Ks \frac{\partial u_{10}}{\partial T_0} \frac{\partial w_{00}}{\partial X} \right) = 0
\end{aligned} \tag{١٨-٣}$$

که در آن:

$$\begin{aligned}
a_0 &= 8 + 6G_0^*; a_1 = 8 + 6G_1^*; b_0 = -4 + 6G_0^*; b_1 = -4 + 6G_1^* \\
g_1[\bullet] &= G_0^*(\bullet) + \beta G_1^* \frac{\partial(\bullet)}{\partial T_0}; g_2[\bullet] = a_0(\bullet) + \beta a_1 \frac{\partial(\bullet)}{\partial T_0}; g_3[\bullet] = b_0(\bullet) + \beta b_1 \frac{\partial(\bullet)}{\partial T_0} \\
g_4[\bullet] &= (\bullet) + \beta \frac{\partial(\bullet)}{\partial T_0}; g_5[\bullet] = \beta a_1 \frac{\partial^2(\bullet)}{\partial X \partial T_0} \frac{\partial^2(\bullet)}{\partial X^2}; \\
g_{10}[\bullet] &= G_0^* \frac{\partial^2(\bullet)}{\partial T_0 \partial T_1} + \frac{3}{2} \beta G_1^* \frac{\partial^3(\bullet)}{\partial T_0^2 \partial T_1}; g_{11}[\bullet] = \frac{\partial^2(\bullet)}{\partial X \partial T_1} \\
g_{15}[\bullet] &= \left[ (b_0 + 12Ks) \frac{\partial(\bullet)}{\partial X} + 2\beta(b_1 + 12Ks) \frac{\partial^2(\bullet)}{\partial X \partial T_0} \right] \frac{\partial(\bullet)}{\partial X} \\
g_{16}[\bullet] &= a_0(\bullet) + 2\beta a_1 \frac{\partial(\bullet)}{\partial T_0}; g_{21}[\bullet, \Delta] = \beta h^* a_1 \left( \frac{\partial^2(\bullet)}{\partial X \partial T_0} \frac{\partial^2(\Delta)}{\partial X^2} + \frac{\partial^2(\Delta)}{\partial X \partial T_0} \frac{\partial^2(\bullet)}{\partial X^2} \right) \\
g_{22}[\bullet, \Delta] &= \beta h^* \left( \frac{\partial(\bullet)}{\partial X} \frac{\partial(\Delta)}{\partial T_0} + \frac{\partial(\Delta)}{\partial X} \frac{\partial(\bullet)}{\partial T_0} \right)
\end{aligned} \tag{١٩-٣}$$

معادلات (۱۱-۳) تا (۱۴-۳)، شامل دو دستگاه معادله دیفرانسیل همگن با ضرایب ثابت دو به دو کوپل شده به یکدیگر می‌باشند. به این ترتیب، تغییر متغیر تعریف شده، توانسته است معادلات را به معادلاتی با ضرایب ثابت تبدیل کند. از حلّ معادلات (۱۱-۳) و (۱۴-۳) فرکانس‌های شعاعی خطی و از حلّ معادلات (۱۲-۳) و (۱۳-۳) فرکانس‌های عرضی خطی به دست می‌آیند.

### ۱-۳-۳- حلّ معادلات مرتبه یک

حلّ معادلات (۱۲-۳) و (۱۳-۳) را می‌توان به صورت زیر نوشت.

$$\begin{Bmatrix} u_{10}(X, T_0, T_1) \\ w_{00}(X, T_0, T_1) \end{Bmatrix} = \sum_{n=1}^4 C_n(T_1) \{V_n\} \exp(m_n X + i \omega_n T_0); \quad \{V_n\} = \begin{Bmatrix} A_2 \\ A_3 \end{Bmatrix} \quad (۲۰-۳)$$

که  $\omega_n$  فرکانس طبیعی بی‌بعد عرضی،  $m_n$  مقادیر ویژه و  $\{V_n\}$  بردارهای ویژه می‌باشند. با جایگذاری رابطه‌ی (۲۰-۳) در (۱۲-۳) و (۱۳-۳) یک دستگاه معادله‌ی جبری به صورت زیر به دست می‌آید.

$$\begin{aligned} \begin{bmatrix} a_{11} & a_{12} \\ a_{21} & a_{22} \end{bmatrix} \begin{Bmatrix} A_2(T_1) \\ A_3(T_1) \end{Bmatrix} &= \begin{Bmatrix} 0 \\ 0 \end{Bmatrix} \\ a_{11} &= 3h^{*2} \left( m^2 + e \omega_{tr}^2 \right) \left[ G_0^* + I \omega_{tr} \beta G_1^* \right] + (1 + I \omega_{tr} \beta) \left[ 4h^{*2} m^2 - 36Ks \right] \\ a_{12} &= -36mKs (1 + I \omega_{tr} \beta) \\ a_{21} &= 72h^* mKs (1 + I \omega_{tr} \beta) \\ a_{22} &= 72h^* m^2 Ks (1 + I \omega_{tr} \beta) + 72h^* e \omega_{tr}^2 \left[ G_0^* + I \omega_{tr} \beta G_1^* \right] \end{aligned} \quad (۲۱-۳)$$

برای وجود جواب غیر صفر، دترمینان ماتریس ضرایب رابطه‌ی (۲۱-۳) باید صفر شود. معادله‌ی به دست آمده، معادله‌ی تفرق است و از حلّ آن چهار مقدار ویژه‌ی ( $n=1..4$ ) بر حسب  $\omega_{tr}$  به دست می‌آید. بردارهای ویژه نیز از رابطه‌ی (۲۱-۳) به دست می‌آیند. بردارهای  $\{V_n\}$ ، بردارهای ویژه‌ی متناظر با  $m_n$  هاستند. پس از یافتن بردارهای ویژه و مقادیر ویژه، حلّ کلی به صورت رابطه‌ی (۲۰-۳) است.

با اعمال شرایط مرزی، یک دستگاه معادله‌ی جبری همگن به صورت  $[a] \{C(T1)\} = \{0\}$  نتیجه

می‌شود که بردار  $\{C(T1)\}$  شامل ثابت‌های  $C_1, C_2, C_3$  و  $C_4$  بوده و ماتریس  $[a]$  شامل ضرایب معادله‌ها است. برای به دست آوردن جواب غیر صفر دترمینان ماتریس ضرایب، ماتریس  $[a]$  باید مساوی صفر شود که در نهایت یک معادله‌ی جبری پیچیده برحسب  $\omega_{tr}$  به دست می‌آید. ریشه‌های این معادله فرکانس‌های طبیعی بی‌بعد عرضی را می‌دهند که این معادله به وسیله‌ی روش عددی تنصیف فاصله<sup>۱</sup> حل شده است. در این صورت، از چهار معادله فوق، فقط سه معادله مستقل بوده و می‌توان  $C_1$  را برحسب  $C_3$  به دست آورد.

$$\begin{Bmatrix} u_{10}(X, T_0, T_1) \\ w_{00}(X, T_0, T_1) \end{Bmatrix} = C_4(T_1) \begin{Bmatrix} y_2(X) \\ y_3(X) \end{Bmatrix} e^{(i\omega_{tr}T_0)} + C.C. \quad (22-3)$$

که در این رابطه،  $C.C.$  بیانگر قسمت مزدوج مختلط می‌باشد. با اعمال روش ارائه شده برای ورق بر اساس تئوری کلاسیک، فرکانس‌های طبیعی تئوری کلاسیک نیز به دست می‌آیند.

با جایگذاری رابطه‌ی (22-3) در معادلات (16-۳) و (17-۳)، قسمت ناهمگن معادلات مرتبه دو به صورت زیر خواهد بود.

$$\begin{aligned} eq2: & \left( K_{21}C_4(T_1) + K_{22} \frac{dC_4(T_1)}{dT_1} \right) e^{(i\omega_{tr}T_0)} + NST + C.C. \\ K_{21} = & h^{*2} \left( 4(1+I\beta\omega_{tr}) + 3(G_0^* + I\beta G_1^*\omega_{tr}) \right) \left( \left( \frac{dy_2}{dX} \right) + 2X \left( \frac{d^2y_2}{dX^2} \right) \right) \\ & - 72KsX(1+I\beta\omega_{tr}) \left( \frac{dy_3}{dX} \right) + \left( -72Ks(1+I\beta\omega_{tr}) + 6h^{*2}e\omega_{tr}^2(G_0^* + I\beta G_1^*\omega_{tr}) \right) Xy_2 \\ K_{22} = & -36Ks\beta \left( \frac{dy_3}{dX} \right) + h^{*2}\beta(3G_1^* + 4) \left( \frac{d^2y_2}{dX^2} \right) + h^{*2}e\omega_{tr}y_2(9\beta G_1^*\omega_{tr} - 6IG_0^*) - 36Ks\beta y_2 \end{aligned} \quad (23-3)$$

---

<sup>۱</sup> Bisection

$$\begin{aligned}
eq3: & \left( K_{31} C_4(T_1) + K_{32} \frac{dC_4(T_1)}{dT_1} \right) e^{(i \omega_n T_0)} + NST + C.C. \\
K_{31} = & 72h^* Ks (1 + I \beta \omega_n) \left( X \left( \frac{dy_2}{dX} \right) + \left( \frac{d^2 y_3}{dX^2} \right) \right) + \left( \frac{dy_3}{dX} \right) \\
& + 72h^* \left( Ks (1 + I \beta \omega_n) y_2 + e \omega_n^2 X (G_0^* + I \omega_n \beta G_1^*) y_3 \right) \\
K_{32} = & 72h^* Ks \beta \left( \left( \frac{dy_2}{dX} \right) + \left( \frac{d^2 y_3}{dX^2} \right) \right) + 2h^* e y_3 (108 \beta G_1^* \omega_n^2 - 72 I G_0^* \omega_n)
\end{aligned} \tag{۲۴-۳}$$

در روابط (۲۳-۳) و (۲۴-۳)،  $NST$  معرف جمله‌های غیر سکولار می‌باشد.

### ۲-۳-۳- حل معادلات مرتبه دو

برای حل معادلات مرتبه دو، ابتدا باید با استفاده از شرط حل پذیری، سکولاریتی معادلات را حذف و سپس معادلات ناهمگن را حل کرد. با تعیین تابع  $C_4(T_1)$ ، که در حل معادلات مرتبه یک مجهول بود، سکولاریتی معادلات حذف خواهد شد.

### ۱-۲-۳- تعیین $C_4(T_1)$

در این قسمت با استفاده از شرایط حل پذیری تابع  $C_4(T_1)$  تعیین می‌شود. به صورتی که دو تابع الحاقی  $\phi_2$  و  $\phi_3$  در معادلات مرتبه یک (۱۲-۳) و (۱۳-۳) ضرب نموده و دو معادله با هم جمع شده و انتگرال گرفته می‌شود. در این حالت چون سیستم خود الحاق نیست لذا با دستگاه معادلات سروکار داشته و نمی‌توان به جای توابع الحاقی از شکل مدها استفاده نمود. معادلات (۱۲-۳) و (۱۳-۳) با توجه به رابطه‌ی (۲۲-۳) به صورت زیر در می‌آید [59].

$$Eq2: b_1 \frac{d^2 y_2(X)}{dX^2} + b_2 \frac{dy_3(X)}{dX} + b_3 y_2(X) = 0 \tag{۲۵-۳}$$

$$Eq3: d_1 \frac{d^2 y_3(X)}{dX^2} + d_2 \frac{dy_2(X)}{dX} + d_3 y_3(X) = 0 \tag{۲۶-۳}$$

که

$$\begin{aligned} b_1 &= h^{*2} \left[ (4 + 3G_0^*) + I\beta\omega_{tr} (4 + 3G_1^*) \right] \\ b_2 &= -36Ks (1 + I\beta\omega_{tr}) \\ b_3 &= -36Ks (1 + I\beta\omega_{tr}) + 3h^{*2}e \omega_{tr}^2 (G_0^* + I\beta\omega_{tr} G_1^*) \end{aligned} \quad (27-3)$$

$$\begin{aligned} d_1 &= 72h^{*2}Ks (1 + I\beta\omega_{tr}) \\ d_2 &= 72h^{*2}Ks (1 + I\beta\omega_{tr}) \\ d_3 &= 72h^*e \omega_{tr}^2 (G_0^* + I\beta\omega_{tr} G_1^*) \end{aligned} \quad (28-3)$$

خواهیم داشت.

$$\begin{aligned} \int_{X_i}^{X_o} (\phi_2 \times Eq2 + \phi_3 \times Eq3) dX &= \int_{X_i}^{X_o} \left( b_1 \frac{d^2\phi_2}{dX^2} - d_2 \frac{d\phi_3}{dX} + b_3 \phi_2 \right) y_2 dX \\ &+ \int_{X_i}^{X_o} \left( d_1 \frac{d^2\phi_3}{dX^2} - b_2 \frac{d\phi_2}{dX} + d_3 \phi_3 \right) y_3 dX + b_1 \left[ \phi_2 \frac{dy_2}{dX} - y_2 \frac{d\phi_2}{dX} \right]_{X_i}^{X_o} + [b_2 \phi_2 y_3]_{X_i}^{X_o} \\ &+ d_1 \left[ \phi_3 \frac{dy_3}{dX} - y_3 \frac{d\phi_3}{dX} \right]_{X_i}^{X_o} + [d_2 \phi_3 y_2]_{X_i}^{X_o} = 0 \end{aligned} \quad (29-3)$$

با توجه به معادله‌ی بالا توابع  $\phi_2$  و  $\phi_3$  باید به ازای تمام مقادیر  $y_2$  و  $y_3$  برقرار باشند، لذا ضرایب آن‌ها در انتگرال برابر صفر انتخاب می‌شود.

$$\left( b_1 \frac{d^2\phi_2}{dX^2} - d_2 \frac{d\phi_3}{dX} + b_3 \phi_2 \right) y_2 = 0 \quad (30-3)$$

$$\left( d_1 \frac{d^2\phi_3}{dX^2} - b_2 \frac{d\phi_2}{dX} + d_3 \phi_3 \right) y_3 = 0 \quad (31-3)$$

با توجه به شرایط مرزی ورق حلقوی دو سر گیردار و دو سر ساده، شرایط مرزی لازم برای حل دو معادله‌ی کوپل به هم (30-3) و (31-3) را می‌توان از معادله‌ی (29-3) به صورت رابطه‌ی (32-3) برای شرط مرزی دو سر گیردار و رابطه‌ی (33-3) برای شرط مرزی دو سر ساده در نظر گرفت.

$$\begin{aligned} \text{at } X = X_i, X_o &\quad \phi_2 = 0 \\ \text{at } X = X_i, X_o &\quad \phi_3 = 0 \end{aligned} \quad (32-3)$$

$$\begin{aligned} \text{at } X = X_i, X_o & \quad \frac{d\phi_2}{dX} = 0 \\ \text{at } X = X_i, X_o & \quad \phi_3 = 0 \end{aligned} \quad (33-3)$$

حل دو معادله کوپل بهم را می‌توان به صورت زیر در نظر گرفت.

$$\begin{Bmatrix} \phi_2 \\ \phi_3 \end{Bmatrix} = \sum_{n=1}^4 C_n \{V_n\} \exp(m_n X); \quad \{V_n\} = \begin{Bmatrix} A_2 \\ A_3 \end{Bmatrix} \quad (34-3)$$

که  $m_n$  مقادیر ویژه و  $\{V_n\}$  بردارهای ویژه می‌باشند. با جایگذاری رابطه (34-3) در (30-3) و (31-3) یک دستگاه معادله جبری به صورت رابطه (35-3) به دست می‌آید.

$$\begin{bmatrix} b_3 + b_1 m^2 & -d_2 m \\ -b_2 m & d_3 + d_1 m^2 \end{bmatrix} \begin{Bmatrix} A_2 \\ A_3 \end{Bmatrix} = \begin{Bmatrix} 0 \\ 0 \end{Bmatrix} \quad (35-3)$$

برای وجود جواب غیر صفر دترمینان ماتریس ضرایب رابطه (35-3) باید صفر شود. معادله به دست آمده، معادله تفرق است و از حل آن چهار مقدار ویژه (35-3) به دست آورده‌ایم. بر حسب  $\omega_{tr}$  به دست می‌آید که همان فرکانس طبیعی است که در مرحله قبلی به دست آورده‌ایم. بردارهای ویژه نیز از رابطه (35-3) به دست می‌آیند. بردارهای  $\{V_n\}$ ، بردارهای ویژه متناظر با  $m_n$  ها هستند. پس از یافتن بردارهای ویژه و مقادیر ویژه، حل کلی به صورت رابطه (34-3) است. با اعمال شرایط مرزی توابع الحاقی، می‌توان ثابت‌های دیگر را بر حسب یک ثابت دیگر به دست آورد.

پس از تعیین توابع الحاقی، ابتدا تابع  $\phi_2$  را در معادله (23-3) و تابع  $\phi_3$  را در معادله (24-3) ضرب و سپس با هم جمع کرده و در پایان انتگرال گرفته می‌شود.

$$\int_{X_i}^{X_o} (\phi_2 \times e_2 + \phi_3 \times e_3) dX = \int_{X_i}^{X_o} (\phi_2 \times f_2 + \phi_3 \times f_3) dX \quad (36-3)$$

$f_3$  و  $f_2$  در رابطه (36-3) شامل جملات سکولار موجود در قسمت ناهمگن معادلات مرتبه دو است. زیرا  $C_4(T_1)$  از صفر کردن جملات سکولار به دست می‌آید. قسمت همگن معادلات مرتبه دو به دلیل این‌که مشابه قسمت همگن معادلات مرتبه یک می‌باشد، در این رابطه برابر صفر می‌شود، همچنین

به جز سکولاریتی، بقیه‌ی قسمت ناهمگن نیز صفر می‌شود.

لذا با انتگرال گیری از سمت راست رابطه‌ی (۳۶-۳)، معادله‌ی زیر حاصل می‌شود.

$$\left[ \frac{dC_4(T_1)}{dT_1} - k C_4(T_1) \right] e^{i \omega_r T_0} = 0 \quad (37-3)$$

$$k = \frac{Q}{W} \quad (38-3)$$

$$Q = \int_{X_i}^{X_o} (\phi_2 \times K_{21} + \phi_3 \times K_{31}) dX, \quad W = \int_{X_i}^{X_o} (K_{22} \times \phi_2 + K_{32} \times \phi_3) dX \quad (39-3)$$

معادله‌ی (۳۷-۳) یک معادله‌ی خطی مرتبه اول می‌باشد، که حل آن به صورت زیر می‌باشد.

$$C_4(T_1) = C_0 e^{kT_1} \quad (40-3)$$

در رابطه‌ی (۴۰-۳)،  $k$  دارای مقداری ثابت و در حالت کلی به صورت عددی مختلط می‌باشد. با

استفاده از رابطه‌ی (۴۰-۳)، رابطه‌ی (۲۲-۳) به صورت زیر تبدیل خواهد شد.

$$\begin{Bmatrix} u_{10}(X, T_0, T) \\ w_{00}(X, T_0, T) \end{Bmatrix} = C_0 \begin{Bmatrix} y_2(X) \\ y_3(X) \end{Bmatrix} e^{(kT_1 + i\omega_r T_0)} + C.C. = C_0 \begin{Bmatrix} y_2(X) \\ y_3(X) \end{Bmatrix} e^{(\alpha + i\omega_{NL})T_0} + C.C. \quad (41-3)$$

در رابطه‌ی (۴۱-۳)،  $\alpha$  معرف کاهش نرخ دامنه‌ی نوسانات است که در این متن آن را میرایی می‌نماییم. حل معادلات مرتبه یک (۱۱-۳) و (۱۴-۳) و همچنین روند حذف سکولاریتی معادلات مرتبه دو (۱۵-۳) و (۱۸-۳) همانند روش ذکر شده می‌باشد.

با تعیین  $C_4(T_1)$ ، سکولاریتی معادلات مرتبه دو حذف می‌شود. اکنون حل معادلات (۲۳-۳) و (۲۴-۳) را به صورت زیر در نظر می‌گیریم.

$$\begin{Bmatrix} u_{11}(X, T_0, T_1) \\ w_{01}(X, T_0, T_1) \end{Bmatrix} = \begin{Bmatrix} au_1(X) \\ aw_1(X) \end{Bmatrix} e^{i(\omega_{ax} + \omega_r)T_0} + \begin{Bmatrix} au_2(X) \\ aw_2(X) \end{Bmatrix} e^{i(\omega_{ax} - \omega_r)T_0} \quad (42-3)$$

با جایگذاری رابطه‌ی (۴۲-۳) در معادلات (۲۳-۳) و (۲۴-۳)، چهار معادله‌ی مرتبه دو به دست می‌آید

که دارای جواب عمومی و خصوصی می‌باشد. جواب عمومی همانند مرتبه یک تعیین می‌شود و جواب خصوصی نیز به شکل نمایی در نظر گرفته می‌شود. با اعمال شرایط مرزی، ثابت‌های مسأله نیز به دست می‌آید. حل کلی معادلات (۳-۳) تا (۶-۳)، به صورت روابط (۹-۳) می‌باشد.

#### ۴-۳-تعیین پاسخ ورق بهازی بار عرضی تابع زمان

برای تعیین پاسخ، همانند تعیین فرکانس، از روش مقیاس‌های چندگانه در تئوری اغتشاشات استفاده شده است. در این پایان‌نامه، پاسخ برای ورق حلقوی با تکیه‌گاه ساده‌ساده محاسبه شده است.

حل معادلات مرتبه اول به صورت زیر در نظر گرفته می‌شود.

$$\begin{aligned} u_{10}(X, T_0, T_1) &= \sum_{m=1}^{\infty} A_{2m}(T_0, T_1) \cos\left(\frac{m\pi X}{L}\right) \\ w_{00}(X, T_0, T_1) &= \sum_{m=1}^{\infty} A_{3m}(T_0, T_1) \sin\left(\frac{m\pi X}{L}\right) \end{aligned} \quad (43-3)$$

که

$$\begin{aligned} L &= X_o - X_i \\ X_i &= \frac{r_i^* - 1}{\varepsilon}; \quad X_o = \frac{r_o^* - 1}{\varepsilon} \end{aligned} \quad (44-3)$$

با جایگذاری حل به صورت روابط (۴۳-۳) در معادلات (۱۲-۳) و (۱۳-۳) نتیجه می‌شود.

$$\begin{aligned} \sum_{m=1}^{\infty} P_{2m} \cos\left(\frac{m\pi X}{L}\right) &= F_2 \\ \sum_{m=1}^{\infty} P_{3m} \sin\left(\frac{m\pi X}{L}\right) &= F_3 \end{aligned} \quad (45-3)$$

که در آن  $P_{2m}$  و  $P_{3m}$  عباراتی بر حسب  $A_{3m}(T_0, T_1)$  و  $A_{2m}(T_0, T_1)$  و مشتقات آن‌ها و  $F_2 = 0$  و  $F_3 = Q^*$  می‌باشند. با استفاده از بسط فوریه از روابط (۴۵-۳) می‌توان مقادیر  $P_{2m}$  و  $P_{3m}$  را به صورت زیر به دست آورد.

$$\begin{aligned} P_{2m} &= \frac{2}{L} \int_{X_i}^{X_o} F_2 \cos\left(\frac{m\pi X}{L}\right) dX \\ P_{3m} &= \frac{2}{L} \int_{X_i}^{X_o} F_3 \sin\left(\frac{m\pi X}{L}\right) dX \end{aligned} \quad (46-3)$$

رابطه‌ی (46-3) شامل دو معادله دیفرانسیل می‌باشد، که دو به دو کوپل بهم هستند و حل عمومی آن‌ها به صورت رابطه‌ی (47-3) در نظر گرفته می‌شود.

$$\begin{aligned} A_{2m}(T_0, T_1) &= \sum_{j=1}^6 c_j(T_1) e^{i\alpha_j T_0} \\ A_{3m}(T_0, T_1) &= \sum_{j=1}^6 b_j(T_1) e^{i\alpha_j T_0} \end{aligned} \quad (47-3)$$

که  $\alpha_j$  فرکانس‌های طبیعی عرضی و  $c_j(T_1)$  و  $b_j(T_1)$  ضرایب مجھولی هستند که بعداً از حذف جملات سکولار محاسبه می‌شوند. روند حل برای معادلات (11-3) و (14-3) نیز به همین ترتیب می‌باشد.

حل بخش همگن معادلات مرتبه دو به صورت زیر در نظر گرفته می‌شود.

$$\begin{aligned} u_{11}(X, T_0, T_1) &= \sum_{m=1}^{\infty} A_{22m}(T_0, T_1) \cos\left(\frac{m\pi X}{L}\right) \\ w_{01}(X, T_0, T_1) &= \sum_{m=1}^{\infty} A_{33m}(T_0, T_1) \sin\left(\frac{m\pi X}{L}\right) \end{aligned} \quad (48-3)$$

با جایگذاری رابطه‌ی (48-3) به عنوان حل بخش همگن و استفاده از روابط (43-3) و (47-3) در معادلات مرتبه دو، معادلات مرتبه دو به شکل زیر تبدیل خواهند شد.

$$\begin{aligned} \sum_{m=1}^{\infty} P_{22m} \cos\left(\frac{m\pi X}{L}\right) &= F_{22} \\ \sum_{m=1}^{\infty} P_{33m} \sin\left(\frac{m\pi X}{L}\right) &= F_{33} \end{aligned} \quad (49-3)$$

که در آن  $P_{22m}$  و  $P_{33m}$  عباراتی برحسب  $A_{33m}(T_0, T_1)$ ،  $A_{22m}(T_0, T_1)$  و مشتقات آن‌ها هستند.

و  $F_{33}$  عبارت‌هایی شامل  $\cos\left(\frac{m\pi X}{L}\right)$  و  $\sin\left(\frac{m\pi X}{L}\right)$  که  $e^{i\alpha_j T_0}$  باز

روابط سری فوریه، به صورت زیر به دست می‌آیند.

$$\begin{aligned} P_{22m} &= \frac{2}{L} \int_{X_i}^{X_o} F_{22} \cos\left(\frac{m\pi X}{L}\right) dX \\ P_{33m} &= \frac{2}{L} \int_{X_i}^{X_o} F_{33} \sin\left(\frac{m\pi X}{L}\right) dX \end{aligned} \quad (50-3)$$

جملات  $e^{i\alpha_j T_0}$  برای معادلات دوم و سوم، جملاتی سکولار محسوب می‌شوند. قبل از تعیین حل خصوصی، سکولاریتی مسأله باید از بین برود. بدین منظور از شرط حل پذیری استفاده می‌شود [59]. حل خصوصی معادلات به صورت رابطه‌ی (51-3) در نظر گرفته می‌شود.

$$\begin{aligned} A_{22m}(T_0, T_1) &= \sum_{j=1}^6 P_{2j}(T_1) e^{i\alpha_j T_0} \\ A_{33m}(T_0, T_1) &= \sum_{j=1}^6 Q_{2j}(T_1) e^{i\alpha_j T_0} \end{aligned} \quad (51-3)$$

با جایگذاری رابطه‌ی (51-3) در (50-3) نتیجه می‌شود.

$$\begin{aligned} \sum_{j=1}^6 P_{2j}(T_1) e^{i\alpha_j T_0} &= K_2 \\ \sum_{j=1}^6 Q_{2j}(T_1) e^{i\alpha_j T_0} &= K_3 \end{aligned} \quad (52-3)$$

عبارت‌هایی شامل جمله‌ی  $e^{i\alpha_j T_0}$  ( $j = 1..6$ ) و جمله‌های نمایی دیگری هستند. با برابر صفر قرار دادن دترمینان ضرایب جمله‌ی (51-3) (جمله‌ی سکولار)، به تعداد جملات مجهول، معادله دیفرانسیل مرتبه یک به دست می‌آید، که با حل این معادلات و استفاده از شرایط اولیه، ضرایب مجهول  $b_j(T_1)$  و  $c_j(T_1)$  در معادلات (47-3) به دست می‌آیند. با جایگذاری ضرایب به دست آمده در معادلات مرتبه دوم و حذف جمله‌های سکولار، می‌توان معادلات مرتبه دو را نیز حل کرد.

### **۳-۵-جمع‌بندی**

در این فصل، نخست به بی‌بعد سازی معادلات پرداخته شد. سپس، روش تعیین فرکانس‌های طبیعی بی‌بعد و روند حذف سکولاریتی بیان شد و در نهایت پاسخ ورق بهازای بار عرضی تابع زمان تعیین شد. با استفاده از روش مقیاس‌های چندگانه، حل تحلیلی بهدست آمد. در فصل پنجم نتایج حاصل از این فصل ارائه خواهد شد.



## فصل چهارم

حل عددی به گام نرم افزار

## ۱-۴- مقدمه

در این فصل حل عددی مسئله، شامل حل مدار و حل دینامیکی یا گذرا با استفاده از المان‌های یک و دو بعدی ارائه خواهد شد. برای حل اجزای محدود مسئله، از نرم‌افزار انسیس<sup>۱</sup> استفاده شده است. در ابتدای فصل به تعیین خصوصیات ویسکوالاستیک با استفاده از سری پرونی پرداخته شده است. سپس المان‌های مورد استفاده در تحلیل معرفی شده‌اند. در بخش بعد آنالیز حساسیت مش انجام شده و اندازه‌ی مش بهینه در مدل‌سازی یک و دو بعدی تعیین شده است و در نهایت به بیان مراحل حل مدار و تعیین پاسخ به کمک حل دینامیکی پرداخته شده است.

## ۴-۲- تعیین خصوصیات ویسکوالاستیک براساس سری پرونی [۶۰]

برای تعیین خصوصیات ویسکوالاستیک ماده، از مدول رهایش بالک و برشی استفاده می‌شود. در نرم-افزار انسیس این توابع را می‌توان بر حسب جملاتی از سری توانی پرونی به صورت زیر بیان کرد.

$$G = G_{\infty} + \sum_{i=1}^{n_G} G_i e^{\left(\frac{-t}{\tau_i^G}\right)} \quad (1-4)$$
$$K = K_{\infty} + \sum_{i=1}^{n_K} K_i e^{\left(\frac{-t}{\tau_i^K}\right)}$$

مدول الاستیک برشی،  $G_{\infty}$  و  $K_{\infty}$  مدول الاستیک بالک،  $K_i$  و  $\tau_i^G$  زمان رهایش برای هر کدام از اجزای سری پرونی است. مدول‌های تناسبی<sup>۲</sup> به صورت زیر معرفی می‌شوند.

$$\alpha_i^G = \frac{G_i}{G_0}, \quad \alpha_i^K = \frac{K_i}{K_0} \quad (2-4)$$

که در آن:

$$G_0 = G_{\infty} + \sum_{i=1}^{n_G} G_i; \quad K_0 = K_{\infty} + \sum_{i=1}^{n_K} K_i \quad (3-4)$$

<sup>1</sup> Ansys

<sup>2</sup> Relative moduli

توابع رهایش و بالک را می‌توان به شکل زیر بازنویسی کرد.

$$G = G_0 \left( \alpha_{\infty}^G + \sum_{i=1}^{n_G} \alpha_i^G e^{\left( \frac{-t}{\tau_i^G} \right)} \right) \quad (4-4)$$

$$K = K_0 \left( \alpha_{\infty}^K + \sum_{i=1}^{n_K} \alpha_i^K e^{\left( \frac{-t}{\tau_i^K} \right)} \right)$$

در اینجا  $G_0$  و  $K_0$  به ترتیب مدول برشی و مدول بالک در بارگذاری سریع یا مدول آنی و  $\alpha_{\infty}^G$  و  $\alpha_{\infty}^K$  مدول مربوط به بارگذاری‌های کند یا مدول نهایی می‌باشد. تعداد جملات سری پرونی برای برش  $n_G$  و برای رفتار بالک  $n_K$  است که لازم نیست این دو مشابه باشند. این مطلب در مورد زمان‌های رهایش  $\tau_i^G$  و  $\tau_i^K$  نیز صادق است.

#### ۴-۳-۱- تعیین مدول رهایش برشی و بالک

بر اساس فرضیات فصل دوم، رفتار ماده در برش ویسکوالاستیک بوده و برای مدل‌سازی این رفتار از اولین مدل جامد استاندارد خطی استفاده می‌شود و مدول رهایش  $G$  به صورت تابعی از زمان تعیین می‌شود. همچنین رفتار ماده در نظر گرفته شده و بدین ترتیب مدول بالک  $K$  عددی ثابت و بدون وابستگی به زمان است.

#### ۴-۳-۲- مدول رهایش برشی

یکی از بهترین روش‌های تعیین خصوصیات مواد ویسکوالاستیک در انسیس استفاده از سری پرونی است. روش‌های مختلفی برای تعیین این سری در انسیس وجود دارد. اولین روش این است که داده‌های مدول رهایش برشی نسبت به زمان، که از آزمایش رهایش به دست آمده است، را به طور مستقیم وارد انسیس کرد. در این صورت نرمافزار سری پرونی را بر این داده‌ها منطبق می‌کند. انسیس در هنگام انطباق تابع نمایی داده‌ها،  $G_0$  و  $\alpha_i^G$  را به ترتیب اولین و آخرین داده در نظر می‌گیرد و مقدار  $\tau_i^G$  را محاسبه می‌کند ولی بعد از آن،  $G_0$  و  $\alpha_i^G$  را در حافظه نگه نمی‌دارد. از این‌رو انسیس مدول آنی

$G_0$  را با استفاده از مدول الاستیک  $E$  و ضریب پواسون  $\nu$  و براساس فرمول زیر محاسبه می‌کند.

$$G_0 = \frac{E}{2(1+\nu)} \quad (5-4)$$

نکته دیگر این است که در داده‌های آزمایشگاهی، در صورتی که آخرین داده صفر باشد، مدول رهایش المان ماسکوول به دست می‌آید.

با توجه به این که در حل تحلیلی مسئله از مدل جامد استاندارد برای شبیه‌سازی رفتار برشی ماده استفاده شده است، ضرایب سری پرونی به صورت زیر تعیین گردیده است.

$$G = G_\infty + G_i e^{\left(\frac{-t}{\tau_i^G}\right)} \quad (6-4)$$

که در آن:

$$G_i = \frac{E_0^2}{E_0 + E_1}, \quad \tau_i^G = \frac{\mu}{E_0 + E_1}, \quad G_\infty = \frac{E_0 E_1}{E_0 + E_1} \quad (7-4)$$

مقدار مدول برشی آنی  $G_0$  نیز با قرار دادن  $t = 0$  در رابطه‌ی (4-4) به صورت زیر تعیین شده است.

$$G_0 = E_0 \quad (8-4)$$

در نتیجه ضرایب سری پرونی رابطه‌ی (4-4) از روابط (7-4)، (8-4) و (2-4) تعیین می‌شود.

بنابراین ضرایب سری پرونی مورد نظر  $\alpha$  و  $\beta$  به طور مستقیم وارد انسیس می‌شود ولی  $G_0$  را نمی‌توان وارد انسیس کرد و همان‌طور که قبلاً اشاره شد، انسیس این مقدار را بر حسب مدول الاستیک  $E$  و ضریب پواسون  $\nu$  محاسبه می‌کند.

### ۴-۳-۲- مدول بالک

با توجه به این که رفتار ماده در بالک الاستیک در نظر گرفته می‌شود، برای حالت بالک سری پرونی تعریف نمی‌شود و با وارد کردن مدول الاستیک و ضریب پواسون، انسیس مقدار مدول بالک را بر

اساس رابطه‌ی زیر محاسبه می‌کند.

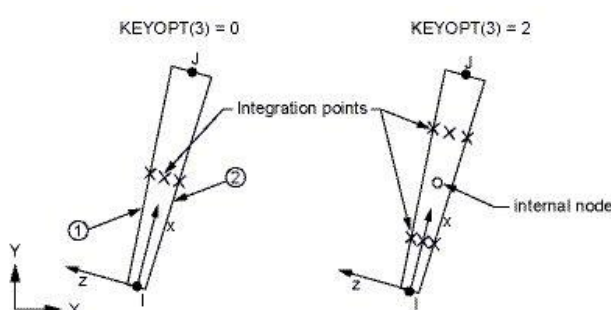
$$K = \frac{E}{3(1-2\nu)} \quad (9-4)$$

#### ۴-۴-۴-معرفی المان‌ها

در این پایان‌نامه در تحلیل یکبعدی از المان 208 و در تحلیل دوبعده از المان 182 Shell 208 و در تحلیل دوبعده از المان 182 استفاده شده است که در ادامه توضیح مختصری در مورد این المان‌ها داده شده است [60].

##### ۱-۴-۴-المان 208

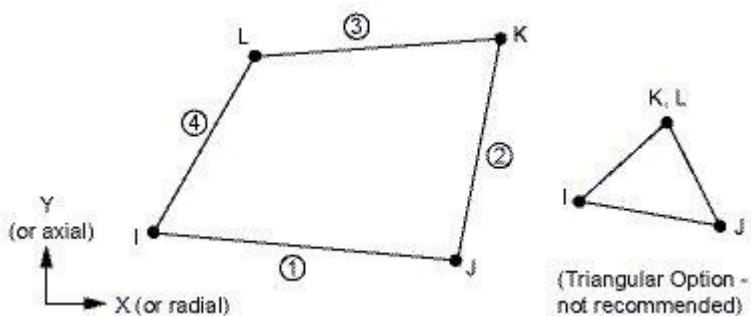
این المان برای تحلیل پوسته‌های متقارن محوری نازک تا نسبتاً ضخیم مناسب است، مانند مخازن نفت، لوله‌ها و برج‌های خنک کننده. این المان دارای دو گره با سه درجه آزادی در هر گره می‌باشد، جابجایی در جهت‌های x و y و چرخش حول محور z. این المان امکان در نظر گرفتن اثرات کرنش بزرگ، تغییر شکل برشی عرضی، هایپرالاستیک و لایه‌ها را در مدل فراهم می‌کند. در مسائل کرنش کوچک با جابجایی متقارن محوری خالص، از کرنش‌های برشی عرضی صرف نظر می‌شود. همچنین این المان قابلیت تحلیل مواد ویسکوالاستیک سری پرونی را نیز دارد. شکل (۱-۴) هندسه‌ی این المان را نمایش می‌دهد.



شکل (۱-۴) هندسه‌ی المان 208 [60]

## ۲-۴-۴-المان 182

المان 182 برای مدل‌سازی سازه‌های دوبعدی استفاده می‌شود. این المان می‌تواند به عنوان المان صفحه‌ای (تنش صفحه‌ای، کرنش صفحه‌ای) یا المان متقارن محوری استفاده شود. این المان با چهار گره دارای دو درجه‌ی آزادی در هر گره تعریف می‌شود، همچنین دارای قابلیت تحلیل پلاستیک، ویسکوالاستیک، هایپرالاستیک، تغییر شکل‌های بزرگ و کرنش‌های بزرگ می‌باشد. شکل (۲-۴) هندسه‌ی این المان را نمایش می‌دهد.



[60] هندسه‌ی المان 182

## ۴-۵-تعیین مش بهینه

در این پایان‌نامه ورقی با ابعاد و خواص مکانیکی مطابق جدول (۱-۴)، ارائه شده است.

برای مدل‌سازی، ورق حلقوی شکل با شرایط مرزی دو سر گیردار مدنظر قرار گرفته است. پس از تعریف خواص مکانیکی و ابعاد ورق، مشبندی صورت می‌گیرد.

جدول (۱-۴) مشخصات هندسی و مکانیکی ورق [61]

$r_o = 0.2$	شعاع خارجی (m)
$r_i = 0.06$	شعاع داخلی (m)
$h = 0.004$	ضخامت (m)
$E_0 = 2.4462e9, E_1 = 2.9078e9$	مدول‌های ویسکوالاستیک (Pa)

---

$\mu = 7.8843e9$  ضریب ویسکوالاستیک (Pa.s)

$\nu = 0.3$  ضریب پواسون

$\rho = 0.22$  چگالی ( $\text{Kg/m}^2$ )

---

باید به این نکته توجه شود که چگالی ذکر شده در جدول، چگالی سطحی است و برای مدل‌سازی باید به ضخامت تقسیم شود.

در تحلیل یک بعدی از المان متقارن محوری 208 Shell استفاده شده است. آنالیز مدار به ازای تعداد المان‌های مختلف انجام و فرکانس‌های طبیعی عرضی سوم در جدول (۲-۴) گزارش شده است. بر اساس این جدول مش بهینه به ازای ۹۰۰ المان حاصل می‌شود.

جدول (۲-۴) مقادیر فرکانس طبیعی عرضی سوم به ازای مش‌های مختلف در مدل‌سازی یک بعدی بر حسب (Hz)

تعداد المان	فرکانس
۱۶۰۰	۱۰۰۰
۹۰۰	۹۰۰
۸۰۰	۸۰۰
۴۰۰	۴۰۰
۳۰۰	۳۰۰
۲۰۰	۲۰۰
۱۰۰	۱۰۰
۵۰	۵۰

در تحلیل دو بعدی با المان 182 Plane، فرکانس‌های طبیعی عرضی سوم برای تعداد المان‌های مختلف در جدول (۳-۴) گزارش شده است. بر اساس این جدول مش بهینه به ازای تقریباً ۷۰۰۰ المان حاصل می‌شود.

جدول (۳-۴) مقادیر فرکانس طبیعی عرضی سوم به ازای مش‌های مختلف در مدل‌سازی دو بعدی بر حسب (Hz)

تعداد المان	فرکانس
۸۰۰۰	۷۵۰۰
۷۰۰۰	۷۰۰۰
۶۵۰۰	۶۵۰۰
۶۰۰۰	۶۰۰۰
۵۵۰۰	۵۵۰۰
۵۰۰۰	۵۰۰۰
۴۰۰۰	۴۰۰۰
۳۰۰۰	۳۰۰۰

## ۶-۴- حل مدار

از آنالیز مدار<sup>۱</sup> جهت تعیین فرکانس‌های طبیعی و شکل مدار آن، در فرکانس مورد نظر استفاده می‌-

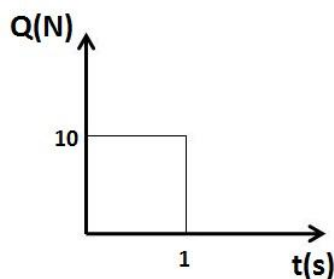
---

<sup>1</sup> Modal

شود. مقدار فرکانس طبیعی هر سازه بستگی به شکل، جنس و تکیه‌گاه‌های آن سازه دارد. در عین حال، مقدار بارگذاری‌ها و نوع آن نیز می‌تواند در مقدار فرکانس طبیعی مؤثر باشد. بهمین دلیل نرم-افزار دو نوع آنالیز مدار (بدون تنش و پیش تنش) را ارائه کرده است. با توجه به این که بارگذاری عرضی تأثیری در فرکانس طبیعی ندارد، در این پایان‌نامه از روش بدون تنش استفاده شده است.

#### ۷-۴- حل دینامیکی

به کمک این تحلیل می‌توان به محاسبه‌ی پاسخ دینامیکی یک سازه تحت تأثیر بارگذاری‌های وابسته به زمان پرداخت. برای تحلیل یک مدل وابسته به زمان، باید تحلیل المان محدود از نوع گذرا<sup>۱</sup> انتخاب شود. در این تحلیل از روش کامل<sup>۲</sup> برای انجام محاسبات ماتریسی استفاده شده است. در این روش، ماتریس کامل سیستم تشکیل شده و پاسخ آن محاسبه می‌شود. این روش قدرتمندترین روش بین روش‌های موجود است زیرا قادر است خواص غیرخطی نظیر پلاستیسیته و تغییر شکل بزرگ را منظور کند. نمودار نیرو برحسب زمان مطابق شکل زیر می‌باشد.



شکل (۳-۴) تغییرات زمانی نیروی گسترده

تغییرات نیرو برحسب زمان را می‌توان به دو قسمت مجزا تقسیم نمود. هر یک از این قسمت‌ها یک مرحله‌ی بارگذاری<sup>۳</sup> نامیده می‌شود. هنگام تحلیل المان محدود، هر یک از مراحل بارگذاری، به بخش-های کوچک‌تر تقسیم می‌شوند تا دقت حاصل از تحلیل افزایش یابد. به این بخش‌های کوچک‌تر، گام-

<sup>1</sup> Transient

<sup>2</sup> Full Method

<sup>3</sup> Load Step

های بارگذاری<sup>۱</sup> گفته می‌شود. در تحلیل دینامیکی شیوه‌های تغییر نیرو به دو صورت خطی<sup>۲</sup> و پله‌ای<sup>۳</sup> است.

هر یک از مراحل بارگذاری باید جداگانه تعریف و در فایل‌های مستقل ذخیره شوند. از نخستین مرحله بارگذاری شروع کرده و مقادیر کلیه نیروها، قیدها و ... مشابه حالت استاتیکی تعریف می‌شوند. پس از اتمام تعریف بارگذاری، باید لحظه‌ی پایان این مرحله از بارگذاری مشخص شود.

طول بازه‌ی زمانی، گام زمانی<sup>۴</sup> نامیده می‌شود. افزایش گام زمانی علاوه بر افزایش زمان، حجم محاسبات را بالا برد و می‌تواند خطاها عددي را نیز افزایش دهد لذا افزایش تعداد گام‌ها به هر مقدار دلخواه منطقی نیست. در واقع با توجه به دقیق قابل قبول، برای تعداد گام‌های تحلیل، عدد بهینه‌ای وجود دارد. در یک تحریک ایده‌آل که همه مدهای سازه تحریک می‌شوند؛ پاسخ ورق شامل همه فرکانس‌ها می‌باشد. هرچند تولید تحریک ایده‌آل به صورت عددي ممکن نیست. اندازه‌ی گام‌های زمانی به صورت زیر تعیین می‌گردد [60].

$$Time Step = \frac{1}{20f} \quad (10-4)$$

که در آن  $f$ ، بزرگ‌ترین فرکانس طبیعی سازه است. گام‌های زمانی باید به گونه‌ای انتخاب شوند که ۲۰ نقطه‌ی مجزا در هر دوره‌ی بزرگ‌ترین فرکانس طبیعی ایجاد شود. لازم به ذکر است که پیش از تحلیل دینامیکی، باید تحلیل مдал به منظور شناخت رفتار دینامیکی سازه و تعیین فرکانس‌های آن صورت گیرد. در این پایان‌نامه، با استفاده از سعی و خطا گام زمانی بهینه به دست می‌آید.

#### ۴-۸- جمع‌بندی

در این فصل روند حل عددي یک بعدی و دو بعدی مسئله ارائه شد. در ابتدای فصل به چگونگی تعیین

<sup>1</sup> Loading Substeps

<sup>2</sup> Ramped

<sup>3</sup> Stepped

<sup>4</sup> Time Step

خصوصیات مواد ویسکوالاستیک (مدول رهایش برشی و بالک) براساس سری پرداخته شد. سپس المان‌های به کار رفته در تحلیل معرفی شد. در بخش بعد به بررسی حساسیت مش پرداخته شد و اندازه‌ی مش بهینه در دو مدل‌سازی یک و دو بعدی تعیین گردید. در نهایت به بیان مراحل حل مدل مسئله و تعیین پاسخ به کمک حل دینامیکی پرداخته شد. در فصل پنجم نتایج حاصل از این فصل ارائه خواهد شد.

فصل پنجم

نتیجہ

## ۱-۵- مقدمه

در این فصل به بیان و بررسی نتایج حاصل از روش‌های ارائه شده در فصل‌های سوم و چهارم پرداخته خواهد شد. محاسبات ریاضی در محیط Maple 16 انجام شده است. ابتدا نتایج مربوط به فرکانس‌های طبیعی بی‌بعد در حالت خطی و غیرخطی و همچنین میرایی ارائه شده و تأثیر پارامترهای مختلف هندسی و شرایط مرزی بر فرکانس طبیعی بی‌بعد و میرایی بررسی شده است، سپس نتایج با حل ارائه شده‌ی تئوری کلاسیک برای ورق ویسکوالاستیک و حل دقیق تئوری کلاسیک برای ورق الاستیک و حل عددی توسط دیگر مراجع مقایسه می‌شود. در نهایت به بیان نتایج پاسخ پرداخته می‌شود.

## ۲-۵- فرکانس طبیعی

برای تحلیل فرکانسی، از ورقی با مشخصات هندسی و خواص مکانیکی زیر استفاده شده است.

جدول (۱-۵) مشخصات هندسی و مکانیکی ورق

$r_o = 0.2$	شعاع خارجی ورق حلقوی (m)
$r_o = 0.2$	شعاع خارجی ورق توپر (m)
$E_0 = 2.4462e9, E_1 = 2.9078e9$	مدول‌های ویسکوالاستیک (Pa)
$\mu = 0.8843e9$	ضریب ویسکوالاستیک (Pa.s)
$\nu = 0.3$	ضریب پواسون
$\rho = 0.22$	چگالی ( $\text{Kg/m}^2$ )

نتایج به دست آمده برای ورق ویسکوالاستیک می‌تواند برای ورق الاستیک نیز با قرار دادن  $0 \rightarrow \tau$  به دست آید. در این حالت، باید از رابطه‌ی زیر استفاده شود.

$$K_0 = \frac{2}{3} G_s \frac{1+\nu}{1-2\nu}; \left\{ \begin{array}{l} \mu \neq 0 \rightarrow G_s = E_0 \\ \mu = 0 \rightarrow G_s = \frac{E_0 E_1}{E_0 + E_1} \end{array} \right\}; E = 2G_s(1+\nu) \quad (1-5)$$

نتایج به دست آمده بر اساس تئوری برشی با روش‌های عددی، نتایجی که توسط مرجع [62] با استفاده از تئوری کلاسیک و روش المان محدود برای ورق الاستیک ارائه شده و همچنین حل دقیق ورق مدور بر اساس تئوری کلاسیک که برحسب تابع بسل تعریف می‌شود [20] مقایسه شده است.

فرکانس بی بعد مرتبه یک است و  $\omega_{NL}$  فرکانس بی بعد غیرخطی است که در حل معادلات مرتبه دو اصلاح می‌شود و نسبت آن به فرکانس خطی در جدول درج شده است.  $\alpha$  بیانگر میرایی می‌باشد. CPT نتایج به دست آمده‌ی تئوری کلاسیک برای ورق ویسکوالاستیک است. حل FE فقط مربوط به خیز کوچک<sup>۱</sup> می‌باشد. درصد اختلاف به صورت قدر مطلق  $(A_{FE} - A_l) / A_{FE} * 100$  می‌باشد که نتایج المان محدود و  $A_l$  نتایج حل ارائه شده را بیان می‌دارند.

فرکانس‌ها در مرتبه دو وابسته به  $\epsilon$  هستند. برای مشاهده وابستگی فرکانس به دامنه باید بسط را تا مرتبه ۳ نوشت. معادلات مرتبه‌ی سه در پیوست ج نوشته شده است.

در جدول (۴-۵) تا (۲-۵) فرکانس‌های طبیعی بی بعد خطی، نسبت فرکانس غیرخطی به خطی و میرایی، برای ورق حلقوی دو سر گیردار ویسکوالاستیک و الاستیک با  $r_i / r_o = 0.1, 0.3, 0.5$  و نسبت‌های مختلف  $r_o / h$  که از روش‌های مختلف به دست آمده و همچنین درصد اختلاف آن‌ها با حل FE و مرجع [20] و [62] ارائه شده است.

با توجه به این جدول‌ها می‌توان دریافت که:

- برای مقادیر زیاد  $r_o / h$  درصد اختلاف تئوری کلاسیک کوچک‌تر از تئوری برشی است (در مقایسه با حل المان محدود).
- برای مقادیر کوچک  $r_o / h$  نتایج تئوری برشی از نتایج تئوری کلاسیک آن به خصوص در مددوم دقیق‌تر هستند.

---

<sup>1</sup> Small deflection

- با افزایش نسبت  $r_o/h$  قدر مطلق میرایی افزایش می‌یابد. قدر مطلق میرایی در مدد دوم بیشتر از مدد اول است.
- افزایش نسبت  $r_i/r_o$  موجب افزایش فرکانس می‌شود. نتایج تئوری کلاسیک در حالت الاستیک نسبت به مرجع [62] دقیق‌تر است.
- فرکانس‌های بی‌بعد تئوری کلاسیک در حالت الاستیک کوچک‌تر از حالت ویسکوالاستیک هستند. درصد اختلاف تئوری کلاسیک با حل عددی در حالت الاستیک کمتر از حالت ویسکوالاستیک است.
- با افزایش نسبت  $r_i/r_o$  برای نسبت‌های کوچک  $r_o/h$ ، دقت تئوری برشی افزایش و دقت تئوری کلاسیک کاهش می‌یابد.
- فرکانس بی‌بعد ویسکوالاستیک در تئوری برشی برابر با فرکانس بی‌بعد الاستیک می‌باشد.
- نسبت فرکانس بی‌بعد غیرخطی به خطی در بیشتر موارد ثابت و تقریباً برابر با یک است.
- با افزایش نسبت شعاع داخلی به خارجی قدر مطلق میرایی کاهش می‌یابد.

جدول (۲-۵) فرکانس‌های طبیعی بی‌بعد ورق حلقوی گیردار-گیردار با  $r_i/r_o = 0.1$

		مد اول				مد دوم			
r <sub>o</sub> /h		۵	۱۰	۲۰	۵۰	۵	۱۰	۲۰	۵۰
FE	$\omega$	۱.۳۴۰	۰.۸۲۳	۰.۴۴۱	۰.۱۷۹	۳.۰۴۵	۲.۰۸۴	۱.۱۸۶	۰.۴۹۳
FSDT	$\omega$	۱.۴۷۴	۰.۹۱۶	۰.۴۹۳	۰.۲۰۲	۳.۲۲۳	۲.۲۷۳	۱.۳۱۵	۰.۵۵۳
	$\alpha$	-۲.۱۴۸	-۲.۳۸۳	-۲.۸۹۲	-۴.۳۰۶	-۲.۷۱۲	-۳.۰۹۳	-۳.۴۶۹	-۴.۸۶۴
	$\frac{\omega_{NL}}{\omega}$	۱e-۷							
CPT	$\omega$	۱.۸۳۱	۰.۹۱۶	۰.۴۵۸	۰.۱۸۳	۵.۰۴۸	۲.۵۲۴	۱.۲۶۲	۰.۵۰۵
diff (FSDT-FE)		۱۰.۰۰	۱۱.۳۰	۱۱.۷۹	۱۲.۸۵	۵.۸۴	۹.۰۷	۱۰.۸۸	۱۲.۱۷
diff (CPT - FE)		۳۶.۶۴	۱۱.۳۰	۳.۸۵	۲.۲۴	۶۵.۷۸	۲۱.۱۱	۶.۴۱	۲.۴۳
FE	$\omega$	۱.۳۴۰	۰.۸۲۳	۰.۴۴۱	۰.۱۷۹	۳.۰۴۵	۲.۰۸۴	۱.۱۸۶	۰.۴۹۳
[62]	$\omega$	۱.۴۱۵	۰.۸۷۴	۰.۴۴۷	۰.۱۸۲	۳.۲۱۴	۲.۱۶۲	۱.۲۰۶	۰.۴۹۸
FSDT	$\omega$	۱.۴۷۴	۰.۹۱۶	۰.۴۹۳	۰.۲۰۲	۳.۲۲۳	۲.۲۷۳	۱.۳۱۵	۰.۵۵۳
	$\frac{\omega_{NL}}{\omega}$	۱.۰۰۰	۱.۰۰۰	۱.۰۰۰	۱.۰۰۰	۰.۹۹۹	۰.۹۹۹	۱.۰۰۰	۱.۰۰۰
[20]	$\omega$	۱.۸۰۹	۰.۹۰۴	۰.۴۵۲	۰.۱۸۱	۴.۹۹۶	۲.۴۹۸	۱.۲۴۹	۰.۴۹۹
diff (FSDT-FE)		۱۰.۰۰	۱۱.۳۰	۱۱.۷۹	۱۲.۸۵	۵.۸۴	۹.۰۷	۱۰.۸۸	۱۲.۱۷
diff (FSDT-[62])		۴.۱۷	۴.۸۱	۱۰.۲۹	۱۰.۹۹	۰.۲۸	۰.۱۳	۰.۰۴	۱۱.۰۴
diff ([20] - FE)		۳۵.۰۰	۹.۸۴	۲.۴۹	۱.۱۲	۶۴.۰۷	۱۹.۸۷	۰.۳۱	۱.۲۲
diff ([20] - [62])		۲۷.۸۴	۳.۴۳	۱.۱۲	۰.۵۵	۵۵.۴۵	۱۵.۰۴	۳.۵۷	۰.۲۰

ویسکو-الاستیک

الاستیک

جدول (۳-۵) فرکانس‌های طبیعی بی‌بعد ورق حلقوی گیردار-گیردار با  $r_i/r_o = 0.3$

		مد اول				مد دوم			
$r_o/h$		۵	۱۰	۲۰	۵۰	۵	۱۰	۲۰	۵۰
FE	$\omega$	۲.۰۳۵	۱.۳۲۱	۰.۷۲۶	۰.۲۹۸	۴.۳۷۴	۳.۲۱۷	۱.۹۲۳	۰.۸۱۷
FSDT	$\omega$	۲.۱۳۳	۱.۴۳۱	۰.۸۰۱	۰.۳۳۳	۴.۴۵۹	۳.۴۰۶	۲.۰۹۷	۰.۹۰۸
	$\alpha$	-۱.۷۸۴	-۲.۰۲۱	-۲.۳۴۳	-۳.۳۷۷	-۲.۱۲۰	-۲.۶۴۹	-۲.۸۹۵	-۳.۸۴۹
	$\frac{\omega_{NL}}{\omega}$	۱e-۷							
CPT	$\omega$	۳.۰۲۷	۱.۵۱۴	۰.۷۵۷	۰.۳۰۳	۸.۳۴۴	۴.۱۷۲	۲.۰۸۶	۰.۸۳۴
diff (FSDT-FE)		۴.۸۲	۸.۳۳	۱۰.۳۳	۱۱.۷۵	۱.۹۴	۰.۸۸	۹.۰۵	۱۱.۱۴
diff (CPT - FE)		۴۸.۷۵	۱۴.۶۱	۴.۲۷	۱.۶۸	۹۰.۷۶	۲۹.۶۹	۸.۴۸	۲.۰۸
FE	$\omega$	۲.۰۳۵	۱.۳۲۱	۰.۷۲۶	۰.۲۹۸	۴.۳۷۴	۳.۲۱۷	۱.۹۲۳	۰.۸۱۷
[62]	$\omega$	-	۱.۳۷۳	۰.۷۳۸	۰.۳۰۱	-	۳.۳۶۶	۱.۹۶۵	۰.۸۲۶
FSDT	$\omega$	۲.۱۳۳	۱.۴۳۱	۰.۸۰۱	۰.۳۳۳	۴.۴۵۹	۳.۴۰۶	۲.۰۹۷	۰.۹۰۸
	$\frac{\omega_{NL}}{\omega}$	۱.۰۰۰	۰.۹۹۹	۰.۹۹۹	۰.۹۹۹	۰.۹۹۹	۰.۹۹۹	۰.۹۹۹	۱.۰۰۰
[20]	$\omega$	۳.۰۰۷	۱.۵۰۴	۰.۷۵۱	۰.۳۰۱	۸.۳۱۱	۴.۱۵۶	۲.۰۷۸	۰.۸۳۱
diff (FSDT-FE)		۴.۸۲	۸.۳۳	۱۰.۳۳	۱۱.۷۵	۱.۹۴	۰.۸۸	۹.۰۵	۱۱.۱۴
diff (FSDT-[62])		-	۴.۲۲	۸.۵۴	۱۰.۶۳	-	۱.۱۹	۶.۷۲	۹.۹۳
diff ([20] - FE)		۴۷.۷۶	۱۳.۸۵	۳.۴۴	۱.۰۱	۹۰.۰۱	۲۹.۱۹	۸.۰۶	۱.۷۱
diff ([20] - [62])		-	۹.۵۴	۱.۷۶	-	-	۲۳.۴۷	۰.۷۵	۰.۶۱

جدول (۴-۵) فرکانس‌های طبیعی بی‌بعد ورق حلقوی گیردار-گیردار با  $r_i/r_o = 0.5$

		مد اول				مد دوم			
r <sub>o</sub> /h		۵	۱۰	۲۰	۵۰	۵	۱۰	۲۰	۵۰
FE	$\omega$	۳.۲۹۲	۲.۳۶۶	۱.۳۸۶	۰.۵۸۳	۶.۶۷۶	۰.۴۰۸	۳.۵۵۱	۱.۵۸۸
FSDT	$\omega$	۳.۳۴۱	۲.۵۰۱	۱.۵۱۰	۰.۶۴۷	۶.۶۶۵	۰.۵۸۳	۳.۸۰۶	۱.۷۵۳
	$\alpha$	-۱.۳۲۰	-۱.۶۳۰	-۱.۸۱۴	-۲.۴۵۸	-۱.۲۶۴	-۲.۰۹۲	-۲.۳۳۲	-۲.۸۶۰
	$\frac{\omega_{NL}}{\omega}$	۱e-۷							
CPT	$\omega$	۰.۹۳۳	۲.۹۶۷	۱.۴۸۳	۰.۵۹۳	۱۶.۳۵۶	۸.۱۷۸	۴.۰۸۹	۱.۶۳۶
diff (FSDT-FE)		۱.۴۹	۰.۷۱	۸.۹۵	۱۰.۹۸	۰.۱۶	۳.۲۴	۷.۱۸	۱۰.۳۹
diff (CPT - FE)		۸۰.۲۳	۲۵.۴۰	۷.۰۰	۱.۷۲	۱۴۵.۰۰	۵۱.۲۲	۱۵.۱۵	۳.۰۲
FE	$\omega$	۳.۲۹۲	۲.۳۶۶	۱.۳۸۶	۰.۵۸۳	۶.۶۷۶	۰.۴۰۸	۳.۵۵۱	۱.۵۸۸
[62]	$\omega$	-	۲.۴۹۵	۱.۴۲۲	۰.۵۹۱	-	۰.۷۳۳	۳.۶۶۲	۱.۶۱۰
FSDT	$\omega$	۳.۳۴۱	۲.۵۰۱	۱.۵۱۰	۰.۶۴۷	۶.۶۶۵	۰.۵۸۳	۳.۸۰۶	۱.۷۵۳
	$\frac{\omega_{NL}}{\omega}$	۱.۰۰۰	۱.۰۰۰	۱.۰۰۰	۰.۹۹۹	۱.۰۰۰	۰.۹۹۹	۰.۹۹۹	۰.۹۹۹
[20]	$\omega$	۰.۹۱۶	۲.۹۵۹	۱.۴۷۹	۰.۵۹۲	۱۶.۳۳۱	۸.۱۶۵	۴.۰۸۲	۱.۶۳۳
diff (FSDT-FE)		۱.۴۹	۰.۷۱	۸.۹۵	۱۰.۹۸	۰.۱۶	۳.۲۴	۷.۱۸	۱۰.۳۹
diff (FSDT-[62])		-	۰.۲۴	۶.۱۹	۹.۴۸	-	۲.۶۲	۳.۹۳	۸.۸۸
diff ([20] - FE)		۷۹.۷۱	۲۵.۰۶	۶.۷۱	۱.۰۴	۱۴۴.۶۲	۵۰.۹۸	۱۴.۹۵	۲.۸۳
diff ([20] - [62])		-	۱۸.۶۰	۴.۰۱	۰.۱۷	-	۴۲.۴۲	۱۱.۴۷	۱.۴۳

در جدول (۵-۵) فرکانس‌های طبیعی بی‌بعد خطی، نسبت فرکانس غیرخطی به خطی و میرایی، برای ورق حلقوی دو سر ساده ویسکوالاستیک و الاستیک برای نسبت‌های مختلف  $r_o/h$  که از روش‌های مختلف به دست آمده و همچنین درصد اختلاف آن‌ها با حل FE و مرجع [20] و [62] ارائه شده است.

با توجه به این جدول می‌توان دریافت که:

- فرکانس بی‌بعد ویسکوالاستیک در تئوری برشی برابر با فرکانس بی‌بعد الاستیک می‌باشد.
- مقدار فرکانس طبیعی بی‌بعد برای ورق دو سر ساده کوچک‌تر از ورق دو سر گیردار می‌باشد که می‌تواند به دلیل کاهش سفتی ورق باشد.
- در ورق دو سر ساده نتایج با حل المان محدود مطابقت بیشتری نسبت به ورق دو سر گیردار دارد.
- برای مقادیر زیاد  $r_o/h$ ، درصد اختلاف تئوری کلاسیک کوچک‌تر از تئوری برشی است.
- برای مقادیر کوچک  $r_o/h$ ، نتایج تئوری برشی از نتایج تئوری کلاسیک آن به خصوص در مدد دوم دقیق‌تر هستند.
- با افزایش نسبت  $r_o/h$ ، قدر مطلق میرایی افزایش می‌یابد. قدر مطلق میرایی در مدد دوم بیشتر از مدد اول است.
- قدر مطلق میرایی در ورق دو سر ساده کوچک‌تر از ورق دو سر گیردار می‌باشد.
- نسبت فرکانس بی‌بعد غیرخطی به خطی در بیشتر موارد ثابت و تقریباً برابر با یک است.

جدول (۵-۵) فرکانس‌های طبیعی بی بعد ورق حلقوی ساده-ساده با  $r_i / r_o = 0.3$

		مد اول				مد دوم			
r <sub>o</sub> /h		۵	۱۰	۲۰	۵۰	۵	۱۰	۲۰	۵۰
FE	$\omega$	۱.۲۱۵	۰.۶۷۲	۰.۳۴۶	۰.۱۴۱	۳.۷۷۲	۲.۳۹۱	۱.۳۰۷	۰.۵۴۳
FSDT	$\omega$	۱.۲۷۹	۰.۷۰۹	۰.۳۶۶	۰.۱۴۸	۳.۹۳۰	۲.۵۵۸	۱.۴۱۸	۰.۵۸۷
	$\alpha$	-۱.۳۹۰	-۰.۵۶۷	-۰.۱۱۸	-۰.۲۸۸	-۳.۱۸۰	-۱.۵۸۶	-۱.۹۷۰	-۲.۹۲۰
	$\frac{\omega_{NL}}{\omega}$	۱e-۸	۱e-۸	۱e-۸	۱e-۷	۱e-۸	۱e-۷	۱e-۷	۱e-۷
CPT	$\omega$	۱.۳۳۵	۰.۶۶۸	۰.۳۳۴	۰.۱۳۴	۰.۳۴۲	۲.۶۷۱	۱.۳۳۶	۰.۵۳۴
diff (FSDT-FE)		۰.۲۷	۰.۵۱	۰.۷۸	۴.۹۶	۴.۱۹	۶.۹۸	۸.۴۹	۸.۱۰
diff (CPT - FE)		۹.۸۸	۰.۶۰	۳.۴۷	۴.۹۶	۴۱.۶۲	۱۱.۷۱	۲.۲۲	۱.۶۶
FE	$\omega$	۱.۲۱۵	۰.۶۷۲	۰.۳۴۶	۰.۱۴۱	۳.۷۷۲	۲.۳۹۱	۱.۳۰۷	۰.۵۴۳
[62]	$\omega$	-	۰.۶۷۴	۰.۳۴۶	۰.۱۴۰	-	۲.۴۲۰	۱.۳۱۳	۰.۵۳۹
FSDT	$\omega$	۱.۲۷۹	۰.۷۰۹	۰.۳۶۶	۰.۱۴۸	۳.۹۳۰	۲.۵۵۸	۱.۴۱۸	۰.۵۸۷
	$\frac{\omega_{NL}}{\omega}$	۱.۰۰۰	۰.۹۹۹	۰.۹۹۹	۰.۹۹۹	۰.۹۹۹	۱.۰۰۰	۱.۰۰۰	۱.۰۰۰
[20]	$\omega$	۱.۴۱۶	۰.۷۰۸	۰.۳۵۳	۰.۱۴۱	۰.۴۰۹	۲.۷۲۹	۱.۳۶۵	۰.۵۴۵
diff (FSDT-FE)		۰.۲۷	۰.۵۱	۰.۷۸	۴.۹۶	۴.۱۹	۶.۹۸	۸.۴۹	۸.۱۰
diff (FSDT-[62])		-	۰.۱۹	۰.۷۸	۰.۷۱	-	۰.۷۰	۰.۰۰	۰.۹۱
diff ([20] - FE)		۱۶.۵۴	۰.۳۶	۲.۰۲	-	۴۴.۷۲	۱۴.۱۳	۴.۴۴	۰.۳۷
diff ([20] - [62])		-	۰.۰۴	۲.۰۲	۰.۷۱	-	۱۲.۷۷	۳.۹۶	۱.۱۱

در تئوری کلاسیک امکان محاسبه‌ی فرکانس‌های طبیعی شعاعی ورق وجود ندارد؛ در حالی که با استفاده از معادلات استخراج شده بر اساس تئوری مرتبه اول، امکان محاسبه‌ی فرکانس‌های شعاعی نیز وجود دارد. در جدول (۶-۵)، میرایی و فرکانس‌های شعاعی بی‌بعد اول و دوم برای نسبت-های مختلف  $r_o/h$  و درصد اختلاف آن‌ها با حل المان محدود ارائه شده است. این نتایج برای نسبت-های مختلف  $r_i/r_o$  در جدول (۷-۵) ارائه شده است. همان‌طور که مشاهده می‌شود، افزایش نسبت  $r_o/h$  برای نسبت ثابت  $r_i/r_o$  تأثیر زیادی بر روی فرکانس شعاعی بی‌بعد ندارد ولی قدر مطلق میرایی افزایش می‌یابد. با کاهش نسبت  $r_o/h$ ، دقت نتایج به خصوص در مد دوم بیشتر می‌باشد. افزایش نسبت  $r_i/r_o$  برای نسبت ثابت  $r_o/h$ ، باعث افزایش فرکانس شعاعی بی‌بعد می‌شود، همچنین قدر مطلق میرایی کاهش می‌یابد. با افزایش  $r_i/r_o$ ، دقت نتایج، به خصوص در مد دوم بیشتر می‌شود، مد دوم تقریباً دو برابر مد اول می‌باشد. قدر مطلق میرایی مد اول و دوم تقریباً یکسان است.

جدول (۶-۵) فرکانس‌های طبیعی شعاعی بی‌بعد ورق حلقوی گیردار-گیردار با  $0.3 r_i/r_o$

		مد اول				مد دوم			
$r_o/h$		۵	۱۰	۲۰	۵۰	۵	۱۰	۲۰	۵۰
FE	$\omega$	۵.۴۴۱	۵.۴۳۰	۵.۴۱۹	۵.۴۱۱	۱۰.۳۰۹	۱۰.۴۶۳	۱۰.۴۷۶	۱۰.۴۷۰
FSDT	$\omega$	۵.۲۲۰	۵.۱۹۱	۵.۱۷۳	۵.۱۶۲	۱۰.۳۰۸	۱۰.۳۵۱	۱۰.۳۳۹	۱۰.۳۲۳
	$\alpha$	-۲.۳۸۷	-۳.۶۵۶	-۵.۱۵۶	-۸.۲۵۲	-۲.۵۲۱	-۳.۷۱۵	-۵.۱۷۵	-۸.۲۵۹
	$\frac{\omega_{NL}}{\omega}$	۱e-۷							
		۰.۹۹۹	۰.۹۹۹	۱.۰۰۰	۱.۰۰۰	۱.۰۰۰	۰.۹۹۹	۰.۹۹۹	۰.۹۹۹
diff (FSDT-FE)		۴.۰۶	۴.۴۰	۴.۵۴	۴.۶۰	۰.۰۱	۱.۰۷	۱.۳۱	۱.۴۰

جدول (۷-۵) فرکانس‌های طبیعی شعاعی بی‌بعد ورق حلقوی گیردار-گیردار با  $r_o/h = 10$

		مد اول				مد دوم			
$r_i/r_o$		۰.۰۵	۰.۱	۰.۳	۰.۵	۰.۰۵	۰.۱	۰.۳	۰.۵
FE	$\omega$	۴.۴۴۳	۴.۵۳۹	۵.۴۳۰	۷.۳۹۲	۸.۱۵۹	۸.۴۲۴	۱۰.۴۶۳	۱۴.۴۶۷
	$\omega$	۳.۸۱۹	۴.۰۳۲	۵.۱۹۱	۷.۲۸۵	۷.۶۲۴	۸.۰۴۸	۱۰.۳۵۱	۱۴.۴۸۱
FSDT	$\alpha$	-۴.۹۸۱	-۴.۷۱۵	-۳.۶۵۶	-۲.۴۷۷	-۵.۰۲۲	-۴.۷۶۰	-۳.۷۱۵	-۲.۵۴۷
	$\frac{\omega_{NL}}{\omega}$	۱e-۷							
diff (FSDT-FE)		۱۴.۰۵	۱۱.۱۷	۴.۴۰	۱.۴۵	۶.۵۶	۴.۴۶	۱.۰۷	۰.۱۰

در جدول (۵-۸)، فرکانس‌های بی‌بعد و میرایی سیستم برای مقادیر مختلف پارامتر ویسکوالاستیک در بازه‌ی ( $7.8843 \times 10^{10} < \mu < 7.8843$ ) ارائه شده است. همان‌طور که مشاهده می‌شود، در بازه‌ی ( $n < 0 < n < 4$ )، با افزایش پارامتر ویسکوالاستیک، قدر مطلق میرایی سیستم افزایش می‌یابد یا پارامتر ویسکوالاستیک می‌تواند با سرعت بیشتری دامنه‌ی ارتعاش را کاهش دهد. اما با بیشتر افزایش یافتن مقدار  $n$ ، قدر مطلق میرایی سیستم نیز کاهش می‌یابد. برای مقادیر بزرگ  $n$ ، فرکانس بی‌بعد ویسکوالاستیک با فرکانس بی‌بعد الاستیک یکسان می‌باشد. برای مقادیر کوچک  $n$ ، انتظار می‌رود که فرکانس بی‌بعد الاستیک با فرکانس بی‌بعد ویسکوالاستیک نیز یکسان باشد، این تفاوت می‌تواند به دلیل عدم استفاده از رابطه‌ی (۵-۱) باشد.

جدول (۸-۵) فرکانس‌های طبیعی بی بعد ورق حلقوی گیردار-گیردار با  $r_i/r_o = 0.3$ ،  $r_o/h = 10$  و پارامترهای مختلف ویسکوالاستیک  $\mu = 7.8843 \times 10^{-7}$

n	۱۰	۸	۶	۵	۴	۲	۰
<b>۹۱۰۱</b>	-۲.۰۲۱	-۲.۰۲۱	-۲.۰۲۱	-۱.۲۵۴	-۶.۸۴۸	-۱.۳۴۷	-۱.۳۴۸
	۱e-۸	۱e-۶	۱e-۴	۱e-۲	۱e-۲	۱e-۳	۱e-۵
<b>۹۱۰۲</b>	۱.۴۳۱	۱.۴۳۱	۱.۴۳۱	۱.۴۳۰	۱.۴۰۴	۱.۲۲۱	۱.۲۲۱
	-۲.۶۴۹	-۲.۶۴۹	-۲.۶۴۹	-۲.۶۴۹	-۹.۶۶۶	-۲.۹۸۸	-۹.۸۸۹
<b>۹۱۰۳</b>	۱e-۸	۱e-۶	۱e-۴	۱e-۲	۱e-۲	۱e-۲	۱e-۵
	۳.۴۰۶	۳.۴۰۶	۳.۴۰۶	۳.۴۰۵	۳.۳۹۰	۲.۸۰۷	۲.۸۰۳

در جدول (۹-۵)، فرکانس‌های طبیعی ورق بر حسب هرتز، برای شرایط مرزی مختلف ارائه شده است. همان‌طور که مشاهده می‌شود، فرکانس مواد ویسکوالاستیک بیشتر از مواد الاستیک است. همچنین فرکانس ورق دو ساده کوچک‌تر از فرکانس ورق دو سر گیردار می‌باشد.

جدول (۹-۵) فرکانس‌های طبیعی ورق با شرایط مرزی مختلف بر حسب هرتز با  $r_o/h = 10$  و  $r_i/r_o = 0.3$

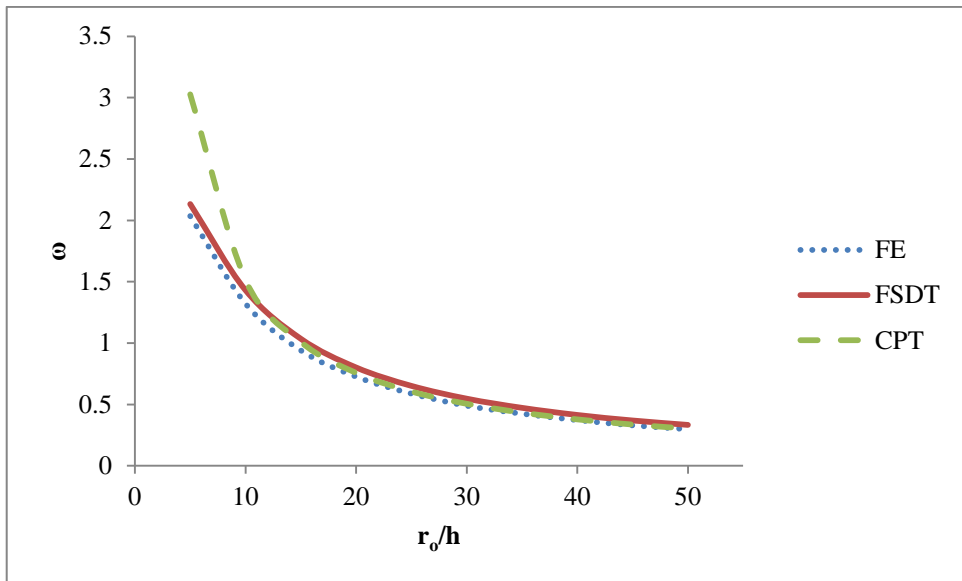
ویسکوالاستیک پیش‌نمایش	مد اول		مد دوم				
	C-C		S-S				
	FE	$\omega$	FE	$\omega$			
	۲۳۰۶۲.۰۰		۱۱۷۲۹.۰۰		۵۶۱۸۸.۰۰	۴۱۷۷۰.۰۰	
	FSDT	$\omega$	۲۴۹۹۲.۵۵		۱۲۳۸۵.۴۰	۵۹۴۹۵.۱۰	۴۴۶۸۸.۴۹
	CPT	$\omega$	۲۶۴۳۹.۷۳		۱۱۶۶۳.۶۲	۷۲۸۷۹.۹۰	۴۶۶۵۰.۲۰
	FE	$\omega$	۱۶۹۹۵.۰۰		۸۶۴۴.۰۰	۴۱۴۰۸.۰۰	۳۰۷۸۲.۰۰
	FSDT	$\omega$	۱۸۴۱۸.۴۷		۹۱۲۷.۵۲	۴۳۸۴۵.۴۳	۳۲۹۳۳.۵۷
	CPT	$\omega$	۱۹۳۵۰.۳۹		۹۱۱۳.۶۸	۵۳۴۹۴.۱۷	۳۵۱۳۴.۱۹

در جدول (۱۰-۵)، تغییرات فرکانس طبیعی با مدول الاستیسیته  $E_0$  ارائه شده است. همان‌طور که مشاهده می‌شود، برای مقادیر بزرگ  $E_0$ ، یک افزایش ناگهانی در فرکانس طبیعی رخ می‌دهد؛ در حالی که در مقادیر کوچک، تغییرات فرکانس قابل توجه نیست. همچنین مدول الاستیسیته  $E_0$ ، بر فرکانس بی‌بعد تأثیر ندارد.

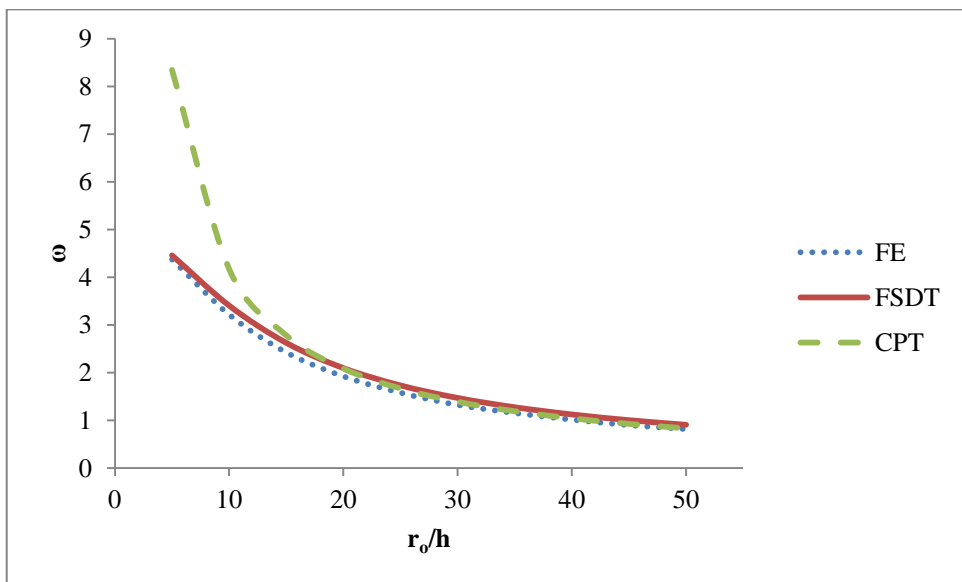
جدول (۱۰-۵) فرکانس‌های طبیعی بر حسب هرتز ورق حلقوی گیردار-گیردار با  $r_o/h = 10$  و  $r_i/r_o = 0.3$  و پارامترهای مختلف مدول الاستیسیته  $E_0$ ،  $E_0 = 2.4462 \times 10^9$

n	۱	۲	۳	۴	۵	۶	۷	۸	۹	۱۰
$\omega$	۲.۴۹	۷.۹۰	۲۴.۹۹	۷۹.۰۳	۲۴۹.۹۱	۷۹۰.۳۰	۲۴۹۹.۱۴	۷۹۰۲.۹۷	۲۴۹۹۱.۳۸	۷۹۰۳۰.۶۷

شکل (۱-۵) و (۲-۵) به ترتیب، اثر نسبت شعاع خارجی به ضخامت بر فرکانس طبیعی بی‌بعد اول و دوم ورق حلقوی گیردار-گیردار را بیان می‌کنند. با توجه به این نمودارها، با افزایش نسبت  $r_o/h$  فرکانس‌های طبیعی بی‌بعد ورق کاهش می‌یابند و شیب این تغییر در مددوم بیشتر می‌شود. در نسبت‌های زیاد، مقادیر فرکانس‌های تئوری برشی، کلاسیک و المان محدود در هر دو مدد تقريباً يکسان است، اما در نسبت‌های کم، تئوری کلاسیک فرکانس‌ها را بیشتر پیش‌بینی می‌کند. همچنین شیب نمودار برای مددوم تئوری کلاسیک در مقایسه با تئوری برشی مقدار بیشتری است. این اختلاف در نسبت‌های کم می‌تواند به دلیل در نظر نگرفتن اثر برش در تئوری کلاسیک باشد. همچنین نتایج تئوری برشی با المان محدود، دارای دقت مناسبی می‌باشد.

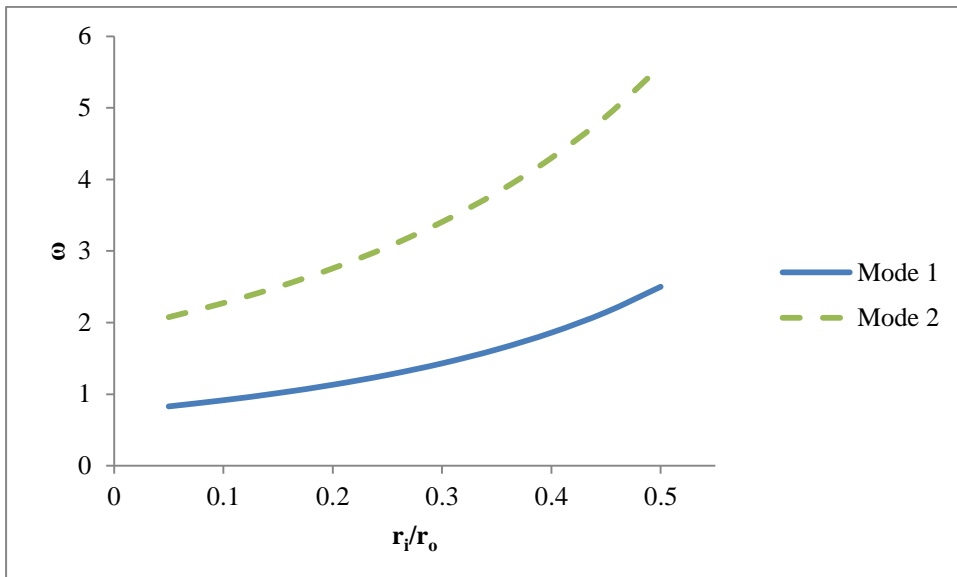


شکل (۱-۵) اثر  $r_0/h$  بر فرکانس طبیعی بی بعد اول برای ورق حلقوی گیردار-گیردار



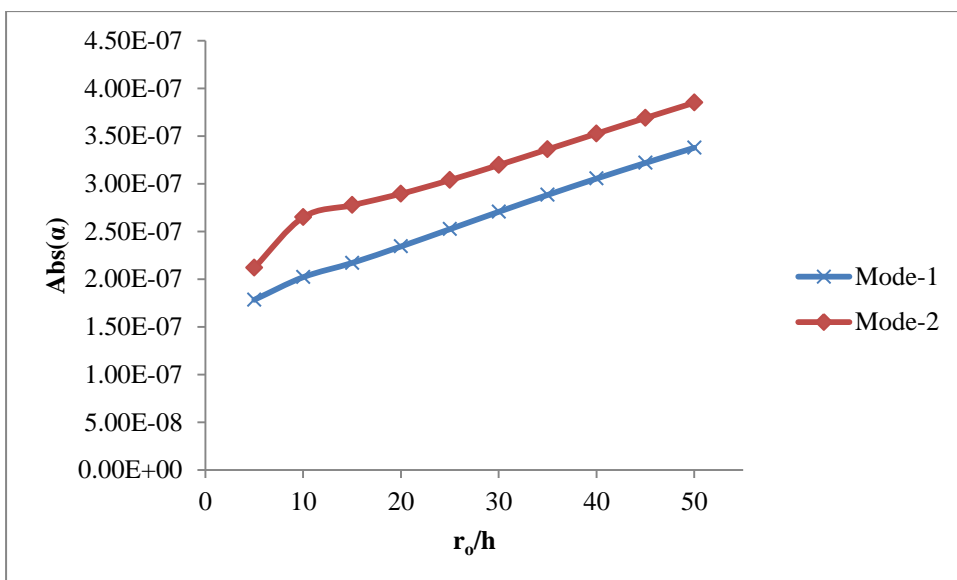
شکل (۲-۵) اثر  $r_0/h$  بر فرکانس طبیعی بی بعد دوم برای ورق حلقوی گیردار-گیردار

شکل (۳-۵) اثر نسبت شعاع داخلی به شعاع خارجی ورق حلقوی گیردار-گیردار را نشان می‌دهد. با افزایش شعاع داخلی، فرکانس طبیعی بی بعد ورق افزایش یافته و شیب این تغییر در مد دوم بیشتر است.



شکل (۳-۵) اثر نسبت  $r_i/r_o$  بر فرکانس طبیعی بی بعد برای ورق حلقوی گیردار-گیردار

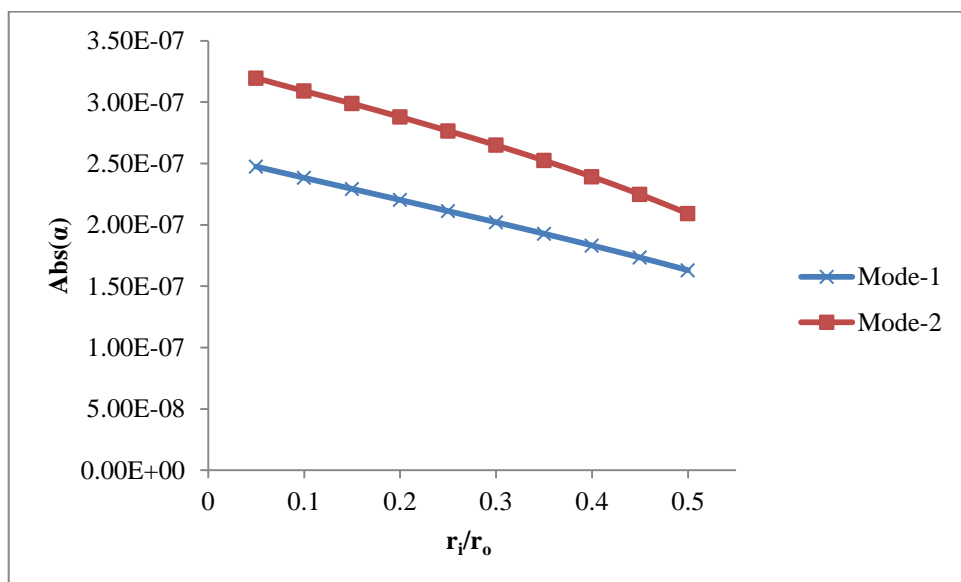
در شکل (۴-۵) اثر نسبت شعاع خارجی به ضخامت بر قدر مطلق میرایی ارائه شده است. همان‌طور که مشاهده می‌شود، با افزایش نسبت  $r_o/h$  قدر مطلق میرایی افزایش می‌یابد. قدر مطلق میرایی در مددوم بیشتر از مدد اول می‌باشد. افزایش قدر مطلق میرایی برای مدد اول و دوم تقریباً یکسان است.



شکل (۴-۵) اثر  $r_o/h$  بر قدر مطلق میرایی برای ورق حلقوی گیردار-گیردار

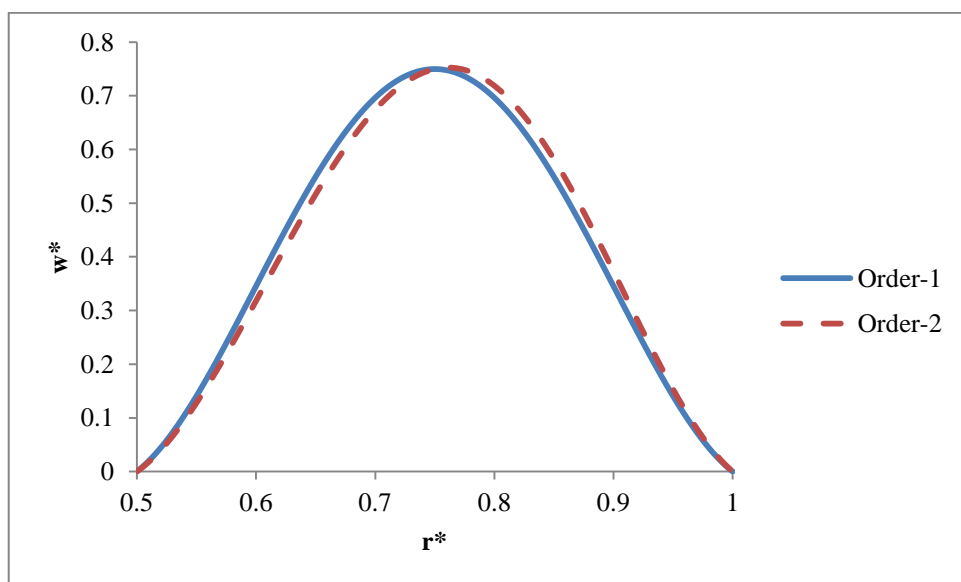
شکل (۵-۵) اثر نسبت شعاع داخلی به شعاع خارجی بر قدر مطلق میرایی ارائه شده است. همان‌طور که مشاهده می‌شود، با افزایش نسبت  $r_i/r_o$  قدر مطلق میرایی کاهش می‌یابد. شبیه این تغییر در مدد

دوم کمی بیشتر از مد اول می‌باشد.

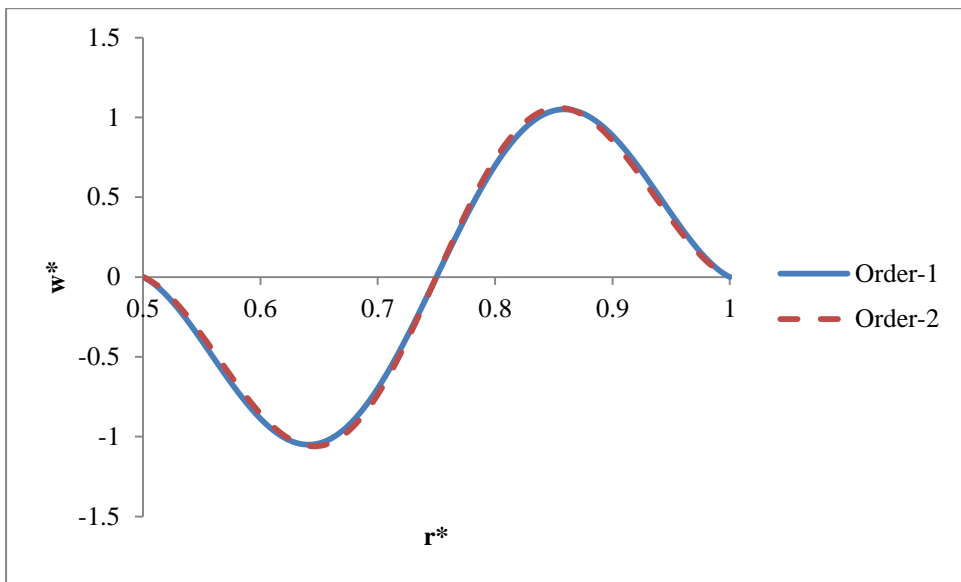


شکل (۵-۵) اثر  $r_i/r_o$  بر قدر مطلق میرایی برای ورق حلقوی گیردار-گیردار

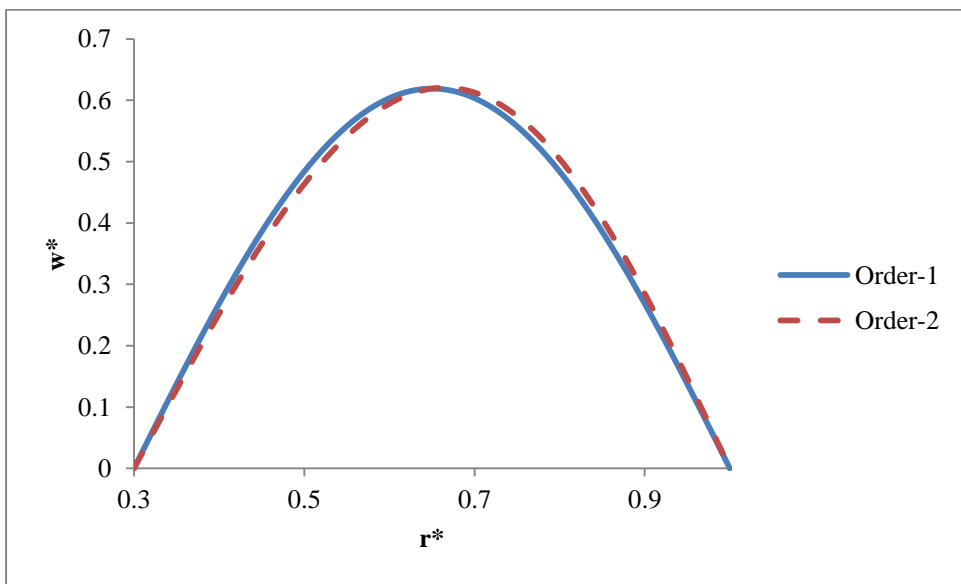
در شکل (۶-۵) و (۷-۵) به ترتیب، شکل مدهای اول و دوم برای ورق حلقوی گیردار-گیردار و در شکل (۸-۵) و (۹-۵) به ترتیب، شکل مدهای اول و دوم برای ورق حلقوی ساده-ساده با در نظر گرفتن حل معادلات مرتبه‌ی اول و دوم گزاره شده است.



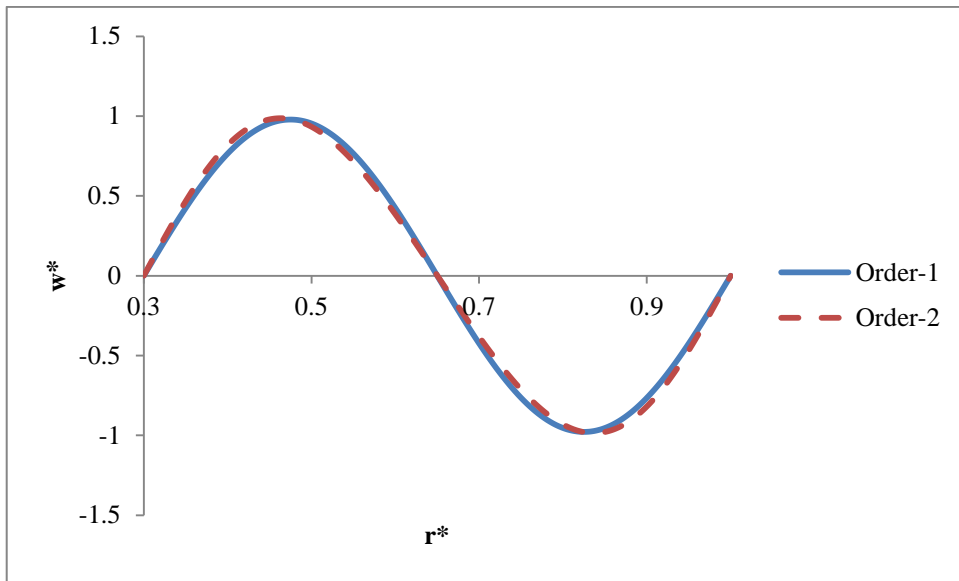
شکل (۶-۵) شکل مد اول برای ورق حلقوی گیردار-گیردار



شکل (۷-۵) شکل مد دوم برای ورق حلقوی گیردار-گیردار



شکل (۸-۵) شکل مد اول برای ورق حلقوی ساده-ساده



شکل (۹-۵) شکل مد دوم برای ورق حلقوی ساده-ساده

### ۳-۵-پاسخ بار دینامیکی

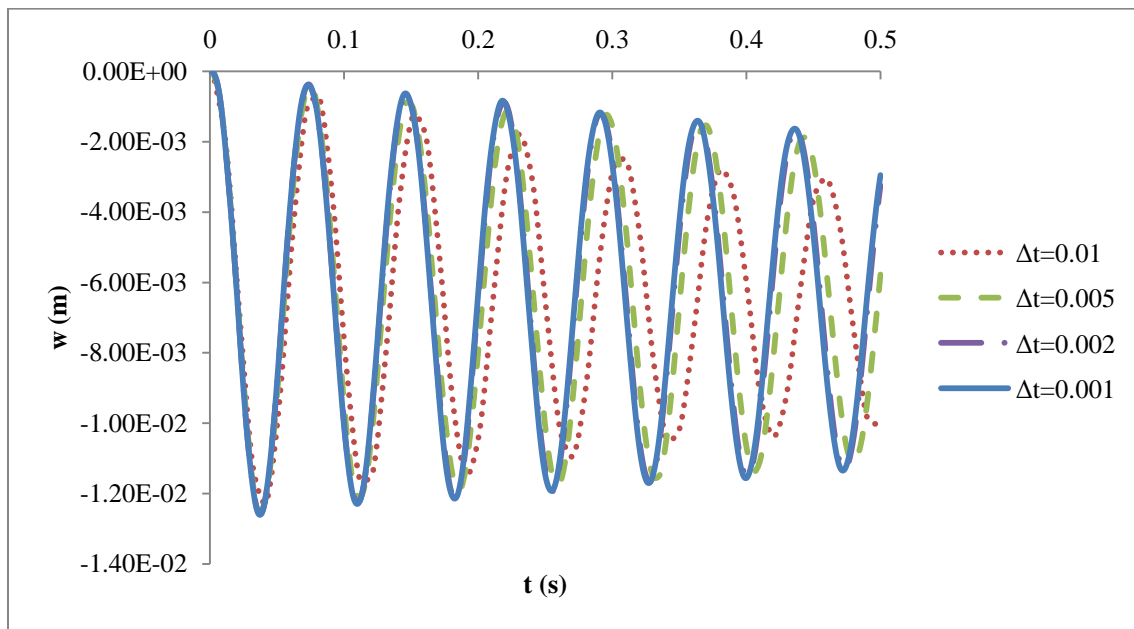
در این بخش به بررسی پاسخ ورق به بار عرضی تابع زمان پرداخته می‌شود. بار عرضی تعریف شده، یک بار فشاری گستردگی به مقدار  $4000$  پاسکال است که به مدت یک ثانیه به ورق وارد می‌شود. در تحلیل پاسخ مشخصات هندسی و خواص مکانیکی ورق به صورت زیر در نظر گرفته می‌شود.

جدول (۱۱-۵) مشخصات هندسی و مکانیکی ورق

$r_o = 0.15$	شعاع خارجی (m)
$r_i = 0.045$	شعاع داخلی (m)
$h = 0.015$	ضخامت (m)
$E_0 = 9.8e5, E_1 = 2.45e7$	مدول‌های ویسکوالاستیک (Pa)
$\mu = 2.744e5$	ضریب ویسکوالاستیک (Pa.s)
$\nu = 0.3$	ضریب پواسون
$\rho = 7800$	(Kg/m <sup>3</sup> )

شکل (۱۰-۵)، پاسخ عرضی ورق به روش عددی بهازای گام‌های زمانی مختلف را نشان می‌دهد. در

این تحلیل از المان Plane182 استفاده شده است. همان‌طور که مشاهده می‌شود، بهازای گام زمانی ۰.۰۰۲ ثانیه تغییر قابل ملاحظه‌ای در نتایج ایجاد نمی‌شود، از این‌رو گام زمانی ۰.۰۰۲ به عنوان گام زمانی بهینه استفاده شده است.



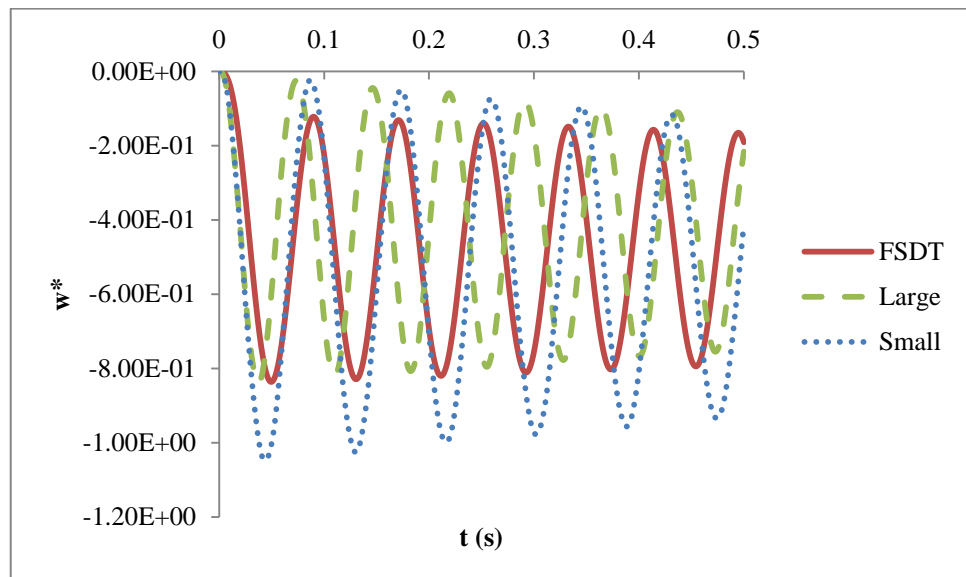
شکل (۱۰-۵) پاسخ عرضی ورق در ( $r=0.975\text{ m}$ ) بهازای گام‌های زمانی مختلف

شکل (۱۱-۵)، پاسخ عرضی در وسط شعاع داخلی و شعاع خارجی ( $r=0.975\text{ m}$ ) با استفاده از تئوری برشی مرتبه اول و حل عددی در دو حالت خیز کوتاه<sup>۱</sup> و خیز زیاد<sup>۲</sup> را نشان می‌دهد. بهمنظور مقایسه‌ی بهتر نتایج، ۰.۵ ثانیه از زمان بارگذاری نشان داده شده است. همان‌طور که مشاهده می‌شود، مقدار دامنه‌ی نوسانات در حل تئوری برشی نسبت به حل خیز کوتاه به حل خیز زیاد انسیس نزدیک‌تر است. همچنین فرکانس غیرخطی انسیس تابع دامنه نیرو است، بهدلیل اینکه، نیروی فشاری در حالت خیز زیاد عمود بر المان باقی می‌ماند [۶۰]. این مسئله در حل تحلیلی صرف نظر شده است. حل عددی، خیز را بیشتر از حل برشی نشان می‌دهد. شکل (۱۲-۵)، پاسخ عرضی در مرکز شعاع داخلی و خارجی با استفاده از تئوری برشی مرتبه اول و حل عددی در دو حالت خیز کوتاه و

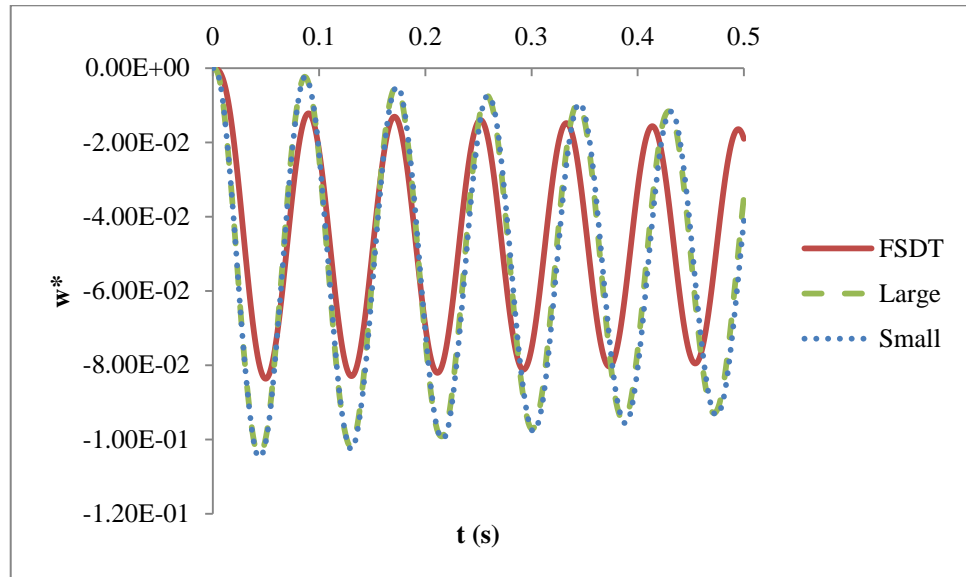
<sup>1</sup> Small deflection

<sup>2</sup> Large deflection

خیز زیاد با بار فشاری  $400$  پاسکال را نشان می‌دهد. همان‌طور که مشاهده می‌شود، در این حالت، حل خیز کوتاه با خیز زیاد یکسان می‌باشد.

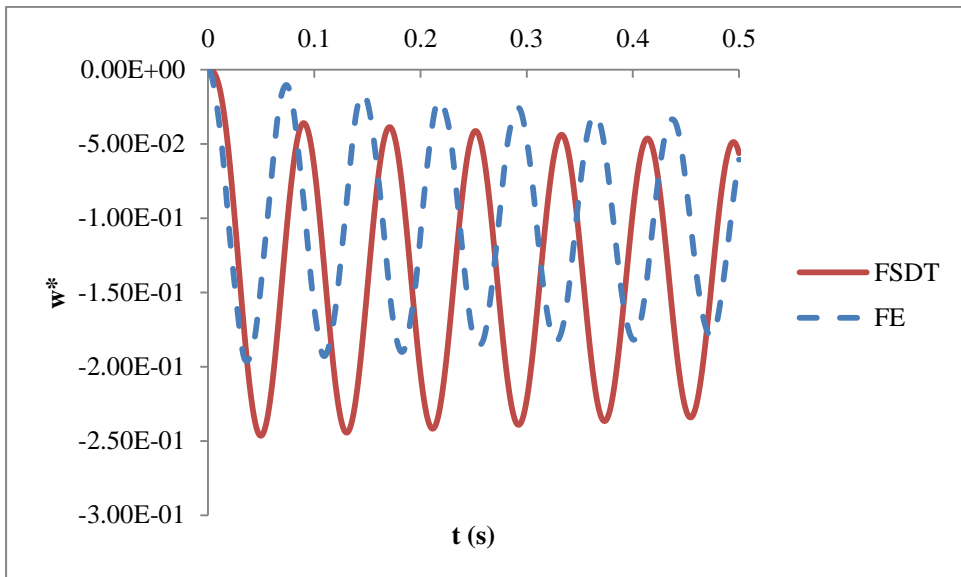


شکل (۱۱-۵) پاسخ عرضی ورق در ( $r=0.975\text{ m}$ ) به‌ازای بار  $4000$  پاسکال



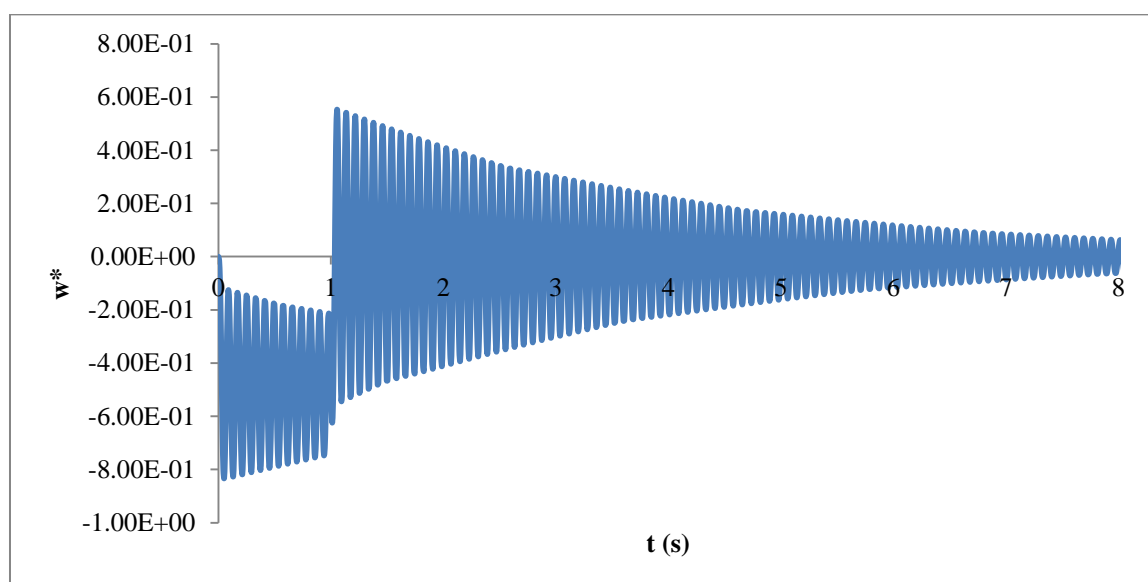
شکل (۱۲-۵) پاسخ عرضی ورق در ( $r=0.975\text{ m}$ ) به‌ازای بار  $4000$  پاسکال

شکل (۱۳-۵) پاسخ عرضی در نزدیک لبهٔ خارجی ( $r=0.14\text{ m}$ ) با استفاده از تئوری برشی مرتبه اول و حل عددی را نشان می‌دهد.

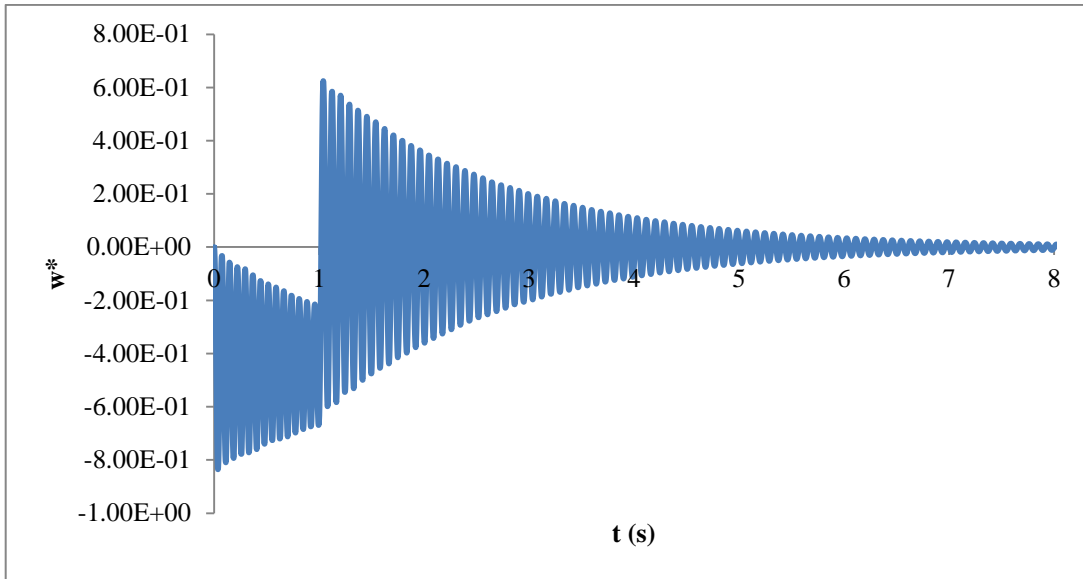


شکل (۱۳-۵) پاسخ عرضی ورق در ( $r=0.14$  m)

شکل (۱۴-۵) و (۱۵-۵) پاسخ عرضی ورق در ( $r=0.0975$  m) به ترتیب با حل تحلیلی تئوری برشی مرتبه اول و حل عددی به مدت ۸ ثانیه را نشان می‌دهند. به دلیل محدودیت سخت‌افزاری برای انجام محاسبات عددی، در اینجا مقدار گام زمانی  $0.005$  ثانیه در نظر گرفته شده است. در زمان اعمال بار، ورق حول خیز استاتیکی خود نوسان کرده و پس از حذف بار، خیز نوسانی ورق حول صفر ادامه می‌یابد.

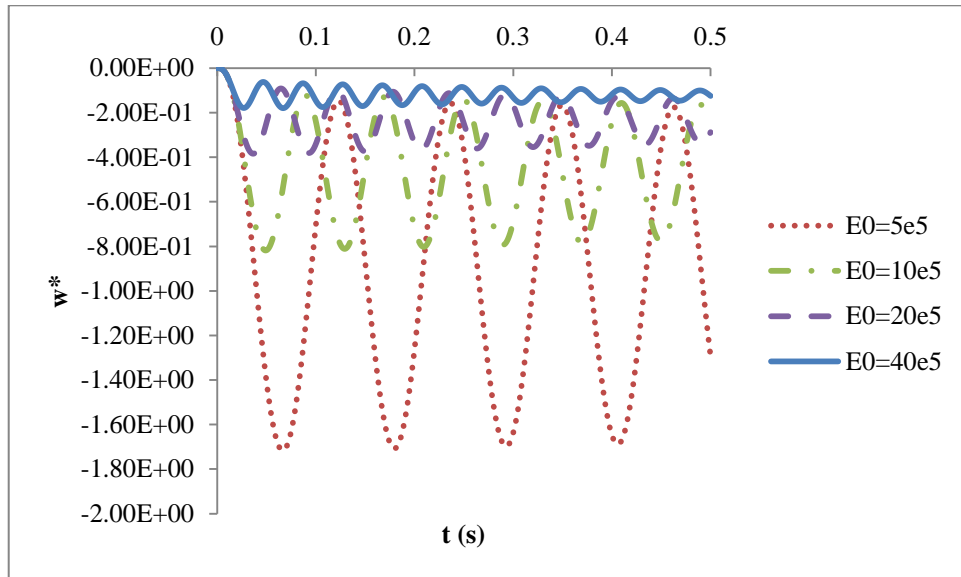


شکل (۱۴-۵) پاسخ عرضی ورق در ( $r=0.0975$  m)، تئوری برشی مرتبه اول



شکل (۱۵-۵) پاسخ عرضی ورق در ( $r=0..975 \text{ m}$ ، حل عددی

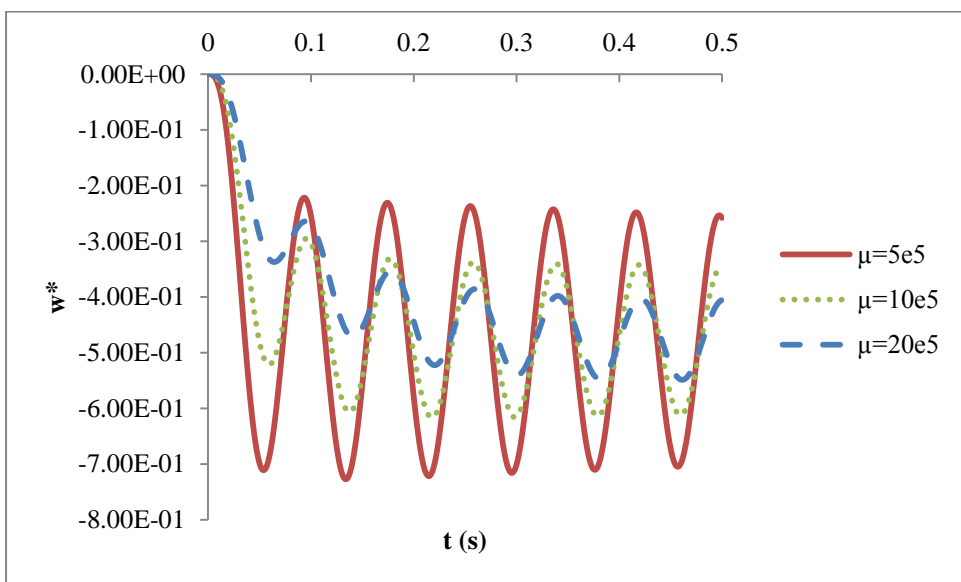
شکل (۱۶-۵) اثر مدول  $E_0$  را بر پاسخ عرضی ورق نشان می‌دهد. با افزایش  $E_0$  خیز عرضی ورق و همچنین مقدار متوسط، یعنی خیز استاتیکی به شدت کاهش یافته و فرکانس پاسخ افزایش می‌یابد.



شکل (۱۶-۵) اثر مدول  $E_0$  بر پاسخ عرضی ورق در ( $r=0..975 \text{ m}$ )

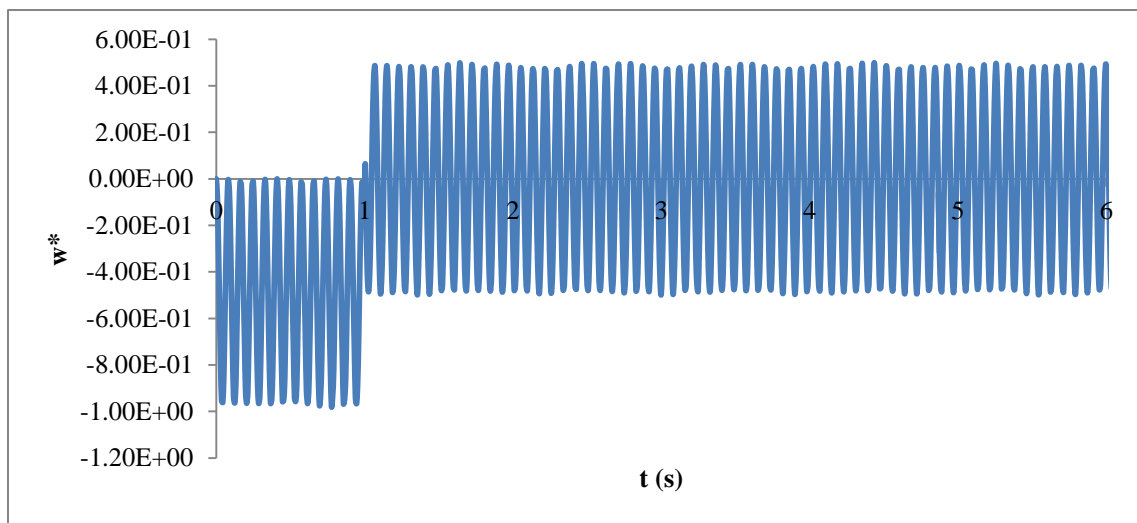
شکل (۱۷-۵) اثر ضریب ویسکوزیته را بر پاسخ عرضی ورق نشان می‌دهد. با افزایش مقدار ضریب ویسکوزیته، خیز نوسانات کاهش یافته، اما مقدار متوسط ثابت باقی می‌ماند. همچنین فرکانس

نوسانات ثابت باقی می‌ماند.



شکل (۱۷-۵) اثر ضریب ویسکوزیته ( $\mu$ ) بر پاسخ عرضی در ( $r=0..0.975$  m)

پاسخ عرضی ورق الستیک با قرار دادن  $0 \rightarrow \tau$  برای تئوری برشی به دست می‌آید. این نتیجه در شکل (۱۸-۵) ارائه شده است.



شکل (۱۸-۵) پاسخ عرضی ورق الستیک بر اساس تئوری برشی مرتبه اول در ( $r=0..0.975$  m)

#### ۴-۵- جمع‌بندی

در این فصل به بررسی نتایج حاصل از روش‌های ارائه شده در فصل‌های سوم و چهارم پرداخته شد.

نتایج فرکانس بی بعد، میرایی، نسبت فرکانس غیرخطی به خطی و همچنین تأثیر پارامترهای مختلف بر روی آن‌ها بررسی شد. در نهایت پاسخ دینامیکی سازه تعیین شد. در نتایج مربوط به تحلیل فرکانسی، حل تحلیلی تئوری برشی مرتبه اول با حل تحلیلی تئوری کلاسیک و حل عددی مقایسه شد.

# فصل ششم

## نتیجہ کری و پیشہ مادہ

## ۱-۶- مقدمه

در این پایان نامه، ارتعاشات آزاد ورق مدور متقارن محوری ویسکوالاستیک با خیز نسبتاً زیاد ارائه شد. در ابتدا، بر اساس تئوری تغییر شکل برشی مرتبه اول، معادلات حاکم بر ارتعاشات غیرخطی ورق استخراج شد. معادلات حاکم، معادلاتی با مشتقات جزئی نسبت به متغیرهای زمان و مکان با ضرایب متغیر بوده که به کمک اصل همیلتون تعیین شده‌اند. همچنین معادله حاکم بر ورق مدور ویسکوالاستیک در حالت خطی و بر اساس تئوری کلاسیک نیز به دست آمد. در تعیین حل این معادلات، از تئوری اغتشاشات استفاده شد. در نهایت میرایی و فرکانس‌های طبیعی بی‌بعد ورق با شرایط مرزی مختلف تعیین شد. در قسمت دیگر به حل ریاضی ورق حلقوی دو سر ساده تحت بار دینامیکی عرضی پرداخته شد. پاسخ سیستم از روش مدهای نرمال و تئوری اغتشاشات به دست آمد. نتایج برای ورق الاستیک نیز ارائه شد. حل عددی مسأله به کمک نرم‌افزار انسیس ارائه شد.

## ۲-۶- نتیجه‌گیری

- با استفاده از تغییر متغیر مناسب، معادلات حرکت که دارای ضرایب متغیر بودند به معادلاتی با ضرایب ثابت (در مرتبه یک) تبدیل شدند.
- فرکانس‌ها در مرتبه دو وابسته به  $\epsilon$  هستند. برای مشاهده وابستگی فرکانس به دامنه باید بسط را تا مرتبه سه نوشت.
- با استفاده از معادلات استخراج شده بر اساس تئوری برشی مرتبه اول، امکان محاسبه فرکانس‌های شعاعی علاوه بر فرکانس‌های عرضی وجود دارد.
- فرکانس بی‌بعد الاستیک و ویسکوالاستیک در تئوری برشی یکسان می‌باشد.
- فرکانس بی‌بعد الاستیک و ویسکوالاستیک در تئوری کلاسیک تقریباً یکسان است، این تفاوت ناشی از روش حل انتخابی می‌باشد.
- مشخصات مکانیکی به جز ویسکوزیته و ضریب پواسون، تأثیری در فرکانس بی‌بعد ندارند.

- افزایش یا کاهش ویسکوزیته در بازه‌ای خاص، منجر به تغییر در فرکانس بی‌بعد می‌شود. در مقادیر زیاد ویسکوزیته و در مقادیر کم (با احتساب  $G$  معادل)، فرکانس بی‌بعد ویسکوالاستیک و الاستیک یکسان است.
- با افزایش نسبت شعاع خارجی به ضخامت، درصد اختلاف تئوری برشی با حل عددی به خصوص در مد دوم افزایش می‌یابد.
- با افزایش نسبت شعاع خارجی به ضخامت، درصد اختلاف تئوری کلاسیک با حل عددی کاهش می‌یابد.
- در مقادیر کوچک نسبت شعاع خارجی به ضخامت، با افزایش نسبت شعاع داخلی به خارجی، در مقایسه با حل عددی، دقت تئوری برشی افزایش و دقت تئوری کلاسیک کاهش می‌یابد.
- در ورق حلقوی دو سر گیردار، تئوری تغییر شکل برشی در مد دوم به حل عددی نزدیک‌تر از مد اول است.
- با افزایش نسبت شعاع داخلی به خارجی، فرکانس بی‌بعد افزایش می‌یابد.
- با افزایش نسبت شعاع خارجی به ضخامت، فرکانس بی‌بعد کاهش می‌یابد.
- با افزایش نسبت شعاع خارجی به ضخامت، قدر مطلق میرایی افزایش می‌یابد.
- با افزایش نسبت شعاع داخلی به خارجی قدر مطلق میرایی کاهش می‌یابد.
- نسبت فرکانس بی‌بعد غیرخطی به خطی تا مرتبه دوم، وابسته به  $\epsilon$  است. با توجه به کوچک بودن  $\epsilon$ ، این نسبت در بیشتر موارد ثابت است.
- مقدار فرکانس طبیعی بی‌بعد برای ورق دو سر ساده کوچک‌تر از ورق دو سر گیردار می‌باشد که می‌تواند به دلیل کاهش سفتی ورق باشد.
- در ورق دو سر ساده نتایج با حل المان محدود مطابقت بیشتری نسبت به ورق دو سر گیردار دارد.
- قدر مطلق میرایی در ورق دو سر ساده کوچک‌تر از ورق دو سر گیردار می‌باشد.

- افزایش نسبت شعاع خارجی به ضخامت برای نسبت ثابت شعاع داخلی به خارجی، تأثیر زیادی بر روی فرکانس شعاعی بی بعد ندارد ولی قدر مطلق میرایی افزایش می یابد.
- افزایش نسبت شعاع داخلی به خارجی برای نسبت ثابت شعاع خارجی به ضخامت، باعث افزایش فرکانس شعاعی بی بعد می شود، همچنین قدر مطلق میرایی کاهش می یابد.
- در بازه‌ای محدود، با افزایش ویسکوزیته، قدر مطلق میرایی سیستم افزایش می یابد، اما با بیشتر افزایش یافتن مقدار آن، قدر مطلق میرایی سیستم کاهش می یابد.
- برای مقادیر بزرگ  $E_0$ ، یک افزایش ناگهانی در فرکانس طبیعی رخ می دهد؛ در حالی که در مقادیر کوچک، تغییرات فرکانس قابل توجه نیست.
- حل عددی، مقدار پاسخ عرضی را بیشتر از تئوری برشی پیش‌بینی می کند.
- افزایش مدول  $E_0$ ، مقدار دامنه نوسانات و مقدار متوسط را کاهش می دهد.
- افزایش ضریب ویسکوزیته، مقدار خیز نوسانات را کاهش، اما مقدار متوسط را تغییر نمی دهد.

### ۶-۳-پیشنهادها

جهت انجام مطالعه‌ی جامع‌تر در موضوع، موارد زیر قابل بررسی هستند.

- استفاده از تئوری کلاسیک برای ورق ویسکوالاستیک با خیز نسبتاً زیاد؛
- استفاده از تئوری‌های برشی مرتبه بالاتر؛
- در نظر گرفتن ماده به صورت  $FG$ ؛
- بررسی ورق ضخامت متغیر؛
- بررسی وابستگی فرکانس به دامنه؛
- بررسی پدیده‌ی پرش و رزونانس داخلی؛
- تحلیل ورق مدور ویسکوالاستیک به صورت چرخان؛
- تحلیل ورق مدور با هسته‌ی ویسکوالاستیک.

پوست الف

اصول و مکانیزمی خاطر

## الف-۱- مقدمه

به طور معمول با انجام تست‌های ساده‌ی آزمایشگاهی می‌توان ویژگی‌های مواد را که مرتبط با شرایط واقعی کار آن‌ها می‌باشد، مشخص کرد. تعیین خصوصیات مکانیکی مواد ویسکوالاستیک مشابه مواد الاستیک، اغلب شامل تست کشش محوری می‌باشد. با این تفاوت که باید جهت قابلیت مشاهده وابستگی زمانی پاسخ مواد، اصلاحاتی صورت گیرد. اگرچه تست‌های کشش ویسکوالاستیک زیادی وجود دارد، اما معمولاً فقط سه حالت خرزش، رهایش تنش و پاسخ دینامیکی به بارگذاری سینوسی مورد استفاده قرار می‌گیرند [6].

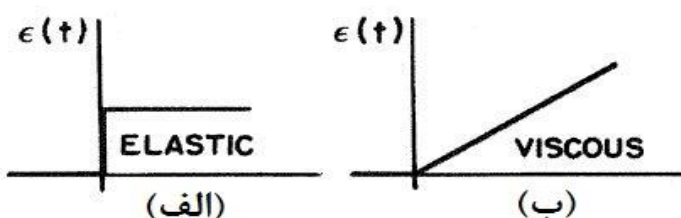
## الف-۱-۱- خرزش

تست خرزش شامل اندازه‌گیری کرنش وابسته به زمان  $\epsilon(t) = \delta(t)/L_0$ ، ناشی از تنش محوری ثابت  $\sigma(t) = \sigma_0 H(t)$  می‌باشد. به عبارت دیگر، تنش  $\sigma$  را به صورت یک تابع پله با مقدار اولیه  $\sigma_0$  فرض کنید که به صورت زیر بیان می‌شود.

$$\sigma(t) = \sigma_0 H(t) \quad (\text{الف-۱})$$

(الف-۱)، تابع پله‌ی واحد هویسايد<sup>۱</sup> است. در این حالت، اگر رابطه‌ی تنش-کرنش خطی باشد، با  $a$  برابر شدن تنش، کرنش نیز  $a$  برابر می‌شود [6].

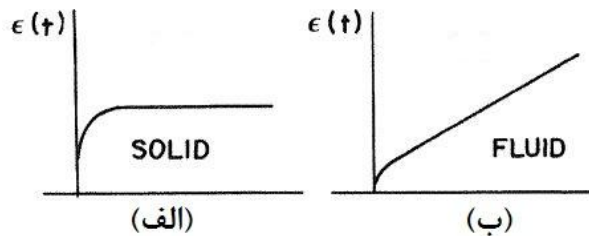
شکل (الف-۱) پاسخ مواد الاستیک ایده‌آل (الف) و مایع ایده‌آل (ب) را به تست خرزش نشان می‌دهد.



شکل (الف-۱) پاسخ الف- جامد الاستیک ایده‌آل، ب- مایع ایده‌آل به تست خرزش [3]

<sup>۱</sup> Heaviside

اما در واقعیت، کرنش در جامدات در مدت طولانی به یک مقدار حدی می‌رسد. کرنش در مایعات نیز تابعی از زمان می‌باشد (شکل (الف-۲)).



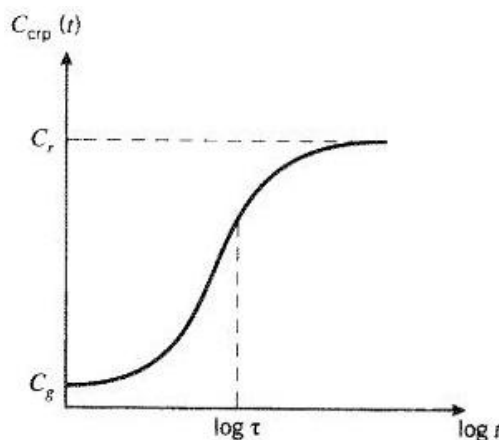
شکل (الف-۲) پاسخ الف- جامد الاستیک واقعی، ب- مایع واقعی به تست خزش [3]

نسبت کرنش به تنش کامپلینس<sup>۱</sup>  $C$  نامیده می‌شود. برای کرنش تابع زمان، که از تنش ثابت ناشی می‌شود، این نسبت را کامپلینس خزش می‌نامند و به صورت زیر نمایش می‌دهند [6].

$$C_{crp}(t) = \frac{\epsilon(t)}{\sigma_0} \quad (\text{الف-۲})$$

در مواد ویسکوالاستیک خطی، کامپلینس خزش مستقل از سطح تنش می‌باشد [5].

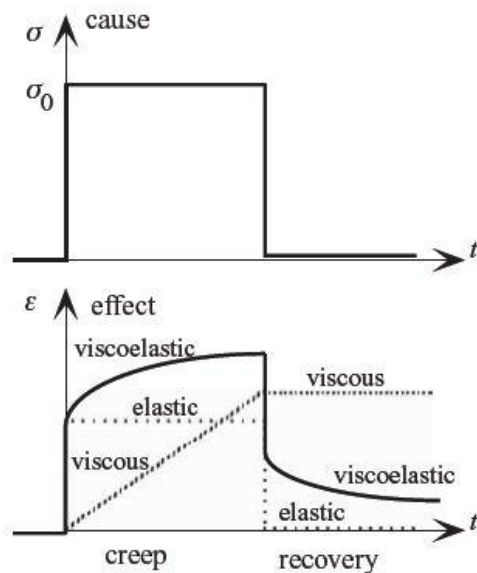
در شکل (الف-۳)، تابع کامپلینس خزش در مقابل لگاریتم زمان رسم شده است. نمودار از  $C_g$  (کامپلینس شیشه) شروع شده و در حالت تعادل به  $C_r$  (کامپلینس لاستیک) می‌رسد [6].



شکل (الف-۳) تابع کامپلینس خزشی [6]

<sup>۱</sup> Compliance

در نمودار فوق نقطه‌ای که با  $\log(\tau)$  نشان داده شده است، نقطه‌ی عطف نمودار می‌باشد.  $\tau$  زمان رهایش در فرآیند خرزش است.



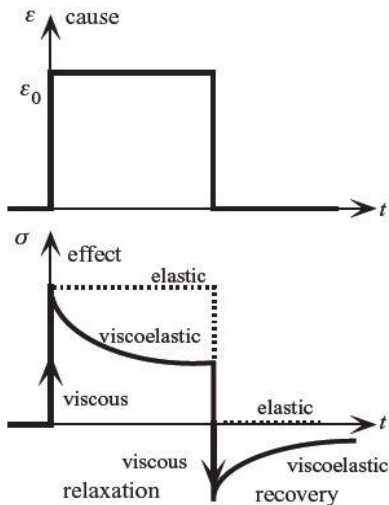
شکل (الف-۴) خرزش و بازگشت [5]

همان‌طور که در شکل (الف-۴) نمایش داده شده است، با برداشتن بار، کرنش به تدریج کاهش می‌یابد و به یک مقدار حدی می‌رسد که به آن پدیده‌ی بازگشت<sup>۱</sup> گفته می‌شود.

## الف-۱-۲- رهایش تنش

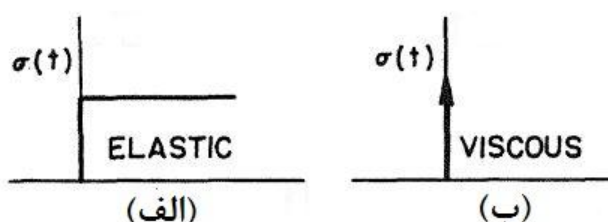
رهایش تنش، به معنای کاهش تدریجی تنش برای ماده‌ای تحت کرنش ثابت می‌باشد، اگر کرنش را به صورت یک تابع پله‌ای واحد به صورت  $(\sigma(t) = \sigma_0 H(t))$  فرض کنیم، تنش  $\sigma(t)$  در مواد ویسکوالاستیک به صورت نشان داده شده در شکل (الف-۵) کاهش می‌یابد.

<sup>۱</sup> Recovery



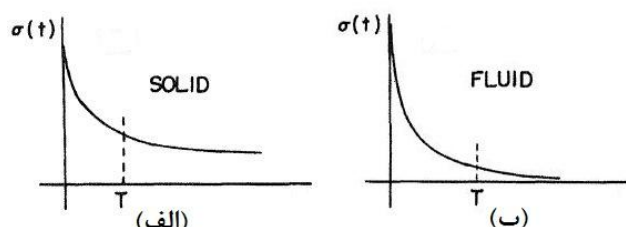
شکل (۷-۵) رهایش تنش و بازگشت [5]

شکل (۷-۶) پاسخ مواد جامد الاستیک ایدهآل (الف) و مایع ایدهآل (ب) را به تست رهایش نشان می‌دهد [3].



شکل (۷-۶) پاسخ الف- جامد الاستیک ایدهآل، ب- مایع ایدهآل به تست رهایش [3]

اما در واقعیت برای جامدات و مایعات چنین رفتاری مشاهده نمی‌شود. تنش در جامدات پس از مدت نسبتاً کوتاهی کاهش یافته و به یک مقدار حدی می‌رسد. تنش در مایعات نیز پس از مدت کوتاهی به صفر می‌رسد. (شکل الف-۷) این رفتارها را نشان می‌دهد.



شکل (۷-۷) پاسخ الف- جامد الاستیک واقعی، ب- مایع واقعی به تست رهایش [3]

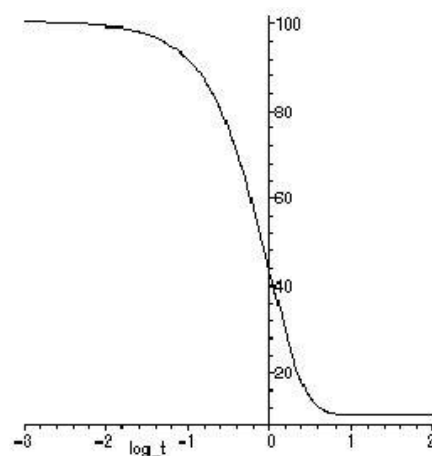
بنابراین همان‌طور که قبلاً نیز گفته شده است، تعیین جامد یا مایع بودن ماده، با توجه به زمان رهایش (زمان لازم برای اتمام یا ثبات تنش) انجام می‌شود [3].

نسبت تنش به کرنش<sub>0</sub><sup>۴</sup>، مدول رهایش نامیده شده و به صورت زیر نمایش داده می‌شود [6].

$$E_{rel}(t) = \frac{\sigma(t)}{\varepsilon_0} \quad (\text{الف-}3)$$

در مواد خطی مدول رهایش مستقل از سطح کرنش بوده و  $E_{rel}(t)$  تنها تابعی از زمان می‌باشد. خرشن و رهایش می‌توانند در تغییر شکل‌های برشی و یا بالک رخ دهند. تابع رهایش برای تنش برشی با  $G(t)$  نشان داده می‌شود. برای تغییر شکل بالک، مدول الاستیک بالک  $B$  (یا  $K$ ) نامیده می‌شود. تابع رهایش متناظر در بالک همانند مدول الاستیک بالک،  $C_E(t)$  نامیده می‌شود. اما در اینجا تنش لزوماً از نوع تنش هیدرواستاتیکی می‌باشد. فرق مشابهی نیز در کامپلینس‌های خرشن وجود دارد.  $C_B(t)$  برای خرشن در برش،  $C_g(t)$  برای خرشن در کشش و  $C_E(t)$  برای خرشن در تغییر شکل بالک تعريف می‌شود [5].

شکل (الف-۸) مدول رهایش را در مقابل لگاریتم زمان نشان می‌دهد. در این شکل  $E_g = 100$ ،  $E_r = 10$  و  $\tau = 1$  می‌باشند [6].

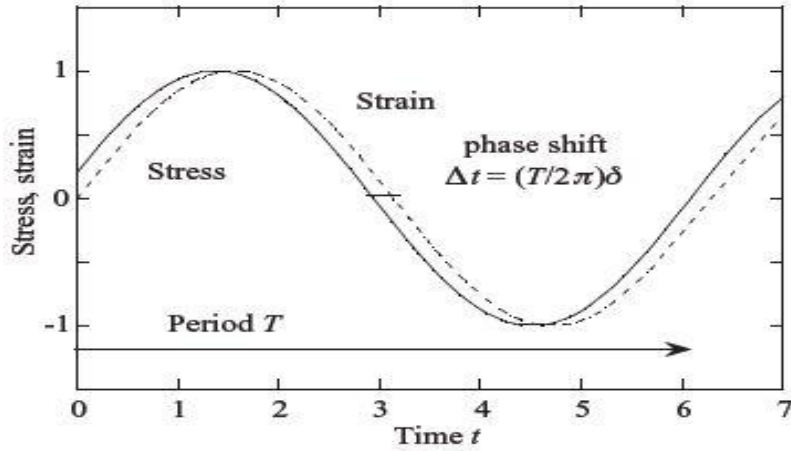


شکل (الف-۸) تابع مدول رهایش تنش [6]

خزش و رهایش هر دو مظہر یک مکانیسم مولکولی‌اند و انتظار می‌رود ( $E_{rel}(t)$  و  $C_{cp}(t)$  بهم مرتبط باشند. اگرچه در حالت کلی  $E_g = \frac{1}{C_g}$  و  $E_r = \frac{1}{C_r}$ ، اما نمی‌توان از آن رابطه‌ی  $E_{rel}(t) = \frac{1}{C_{cp}(t)}$  را نتیجه گرفت. بهویژه حرکت بهسوی حالت تعادل در پاسخ رهایش سریع‌تر از خزش می‌باشد [6].

### الف-۱-۳-پاسخ دینامیکی به بارگذاری سینوسی

تست‌های خزش و رهایش تنش برای مطالعه‌ی پاسخ مواد در زمان‌های طولانی (از چند دقیقه تا چند روز) مناسب می‌باشند، اما برای زمان‌های کوتاه‌تر (ثانیه یا کمتر)، پاسخ دقیقی ارائه نمی‌دهند. تست دینامیکی که در آن تنش (یا کرنش) حاصله از کرنش (یا تنش) سینوسی اندازه‌گیری می‌شود، اغلب برای یافتن پاسخ پلیمرها در بازه‌های کوتاه مدت مناسب می‌باشد. هنگامی که یک ماده‌ی ویسکوالاستیک تحت تنش متغیر سینوسی قرار می‌گیرد، سرانجام به یک حالت پایا می‌رسد که در آن کرنش حاصله نیز تابعی سینوسی، با همان فرکانس زاویه‌ای، اما با تأخیر فاز به اندازه‌ی زاویه  $\alpha$ ، می‌باشد. این تأخیر فاز مشابه تأخیر کرنش مشاهده شده در آزمایش خزش می‌باشد. همواره کرنش با فاز از تنش عقب می‌ماند، حتی اگر کرنش نسبت به تنش متغیر کنترل شده باشد (شکل (الف-۹)). در بارگذاری سیکلی پدیده‌ی هیسترسیس رخ می‌دهد که منجر به اتلاف انرژی می‌شود. تفاوت رفتار ماده در حالت استاتیک و دینامیک نیز با این تست مشخص می‌شود [6].



شکل (الف-۹) بارگذاری دینامیکی [5]

## الف-۲- اصل جمع آثار بولتزمن

در یک سیستم ویسکوالاستیک که تحت بار قرار گرفته است، به علت تغییرات آنتروپی، پس از توقف اعمال بار، پاسخ سیستم متوقف نمی‌شود. یعنی تغییر شکل چنین ماده‌ای فقط به تنش اعمالی واقعی وابسته نمی‌باشد، بلکه به سابقه‌ی تنش تحمل شده توسط آن نیز مرتبط می‌باشد [3].

در حالت تنش ثابت، افزایش کرنش و در حالت کرنش ثابت، کاهش تنش مشاهده می‌شود. حال اگر تنش یا کرنش دارای سابقه‌ی زمانی عمومی باشند و یا تنش و کرنش با هم تغییر کنند، پاسخ‌های مربوط به اغتشاشات خطی مختلف را می‌توان با هم جمع کرد. این روش به اصل جمع آثار بولتزمن معروف است. بولتزمن این اصل را به صورت زیر بیان می‌کند.

تنشی که در فاصله‌ی زمانی  $t$  در جسم ایجاد می‌شود، کاملاً به سابقه‌ی کرنش در فاصله‌ی  $[0, t]$  بستگی دارد. همین مطلب برای کرنش نیز صادق است. بنابراین، پس از تقسیم سابقه‌ی بارگذاری به مجموعه‌ای از بارگذاری‌های پله‌ای و تعیین پاسخ برای هر بخش، برای به دست آوردن پاسخ کلی، تک تک پاسخ‌ها با هم جمع می‌شوند.

برای آزمایش رهایش، نمو تنش در زمان  $\tau$  که  $\tau < t < 0$ ، از نمو کرنش به صورت زیر به دست می‌آید.

$$d\sigma(\tau) = E(t-\tau)d\varepsilon(\tau) \quad (\text{الف-}4)$$

تنش در زمان  $t$  با جمع کردن نمونه‌های تنش زمان‌های قبلی، به صورت زیر تعیین می‌شود.

$$\sigma(t) = \int_0^t E(t-\tau)d\varepsilon(\tau) = \int_0^t E(t-\tau) \frac{\partial\varepsilon(\tau)}{\partial\tau} d\tau \quad (\text{الف-}5)$$

در رابطه‌ی فوق  $E$  همان مدول رهایش است.

مشابه این مطلب برای کرنش نیز برقرار است. برای آزمایش خزش، نمو کرنش در زمان  $\tau$  برابر است با:

$$d\varepsilon(\tau) = D(t-\tau)d\sigma(\tau) \quad (\text{الف-}6)$$

و کرنش در زمان  $t$  برابر است با:

$$\varepsilon(t) = \int_0^t D(t-\tau)d\sigma(\tau) = \int_0^t D(t-\tau) \frac{\partial\sigma(\tau)}{\partial\tau} d\tau \quad (\text{الف-}7)$$

در رابطه‌ی فوق  $D$  کامپلینس خزش می‌باشد. بنابراین به کمک اصل فوق، اگر پاسخ سیستم به ورودی پله مشخص باشد، می‌توان پاسخ به هر ورودی دلخواه را نیز به دست آورد [5].

### الف-۳- معرفی مدل‌های مکانیکی مواد ویسکوالاستیک

#### الف-۳-۱- مدل ماکسول [3]

مدل ماکسول، شامل یک فنر و دمپر است که به صورت سری به یکدیگر متصل هستند.



شکل (۷-الف-۱۰) مدل ماکسول [۷]

در این مدل، تنش در هر المان مشابه و برابر با تنش اعمالی می‌باشد، در حالی که کرنش کلی برابر با مجموع کرنش هر المان می‌باشد. رابطه‌ی کلی تنش و کرنش برای این مدل را می‌توان به صورت زیر

نوشت.

$$\dot{\varepsilon} = \frac{\dot{\sigma}}{E} + \frac{\sigma}{\mu} \quad (\text{الف-} 8)$$

که نرخ کرنش از دو بخش تشکیل شده است. بخش اول، نرخ کرنش فنر، متناسب با مقدار تنش، هم‌فاز و وابسته به نرخ تنش می‌باشد و بخش دوم، نرخ کرنش دمپر که فقط به مقدار لحظه‌ای تنش پاسخ می‌دهد. حال با استفاده از معادله‌ی (الف-8) می‌توان پاسخ ماده را به تنش و کرنش پله‌ای ارزیابی کرد. بهمنظور حل این معادله، می‌توان آن را به صورت زیر به فضای لاپلاس منتقل نمود.

$$s\bar{\varepsilon}(s) - \varepsilon(0) = \frac{1}{E} [s\bar{\sigma}(s) - \sigma(0)] + \frac{1}{\mu}\bar{\sigma}(s) \quad (\text{الف-} 9)$$

حال با استفاده از این رابطه و بر اساس تست‌های خزش و رهایش، کامپلینس خزش و مدول رهایش برشی به صورت زیر تعیین می‌شوند.

برای محاسبه‌ی تابع کامپلینس خزش، پاسخ این مدل به تابع ورودی پله‌ای  $\sigma(t) = \sigma_0 H(t)$  با شرایط اولیه‌ی  $\varepsilon(0) = \varepsilon_0$  و  $\sigma(0) = \sigma_0$  به دست می‌آید.

$$\bar{\varepsilon}(s) = \frac{\varepsilon_0}{s} + \frac{\sigma_0}{\mu s^2} \quad (\text{الف-} 10)$$

لاپلاس معکوس معادله‌ی فوق را به صورت زیر خواهیم داشت.

$$\varepsilon(t) = \sigma_0 \left( \frac{1}{E} + \frac{t}{\mu} \right), \quad E = \frac{\sigma_0}{\varepsilon_0} \quad (\text{الف-} 11)$$

چون در لحظه‌ی صفر فقط فنر عکس العمل دارد و دمپر تأثیری ندارد، در نتیجه تابع کامپلینس خزش به صورت زیر به دست می‌آید.

$$C(t) = \frac{\varepsilon(t)}{\sigma_0} = \left( \frac{1}{E} + \frac{t}{\mu} \right) \quad (\text{الف-} 12)$$

پاسخ این مدل به کرنش ورودی پله‌ای  $\varepsilon(t) = \varepsilon_0 H(t)$  در فضای لابلس به صورت زیر است.

$$\bar{\sigma}(s) = \frac{\mu}{E + \mu s} \sigma(0) \quad \text{inverse} \rightarrow \sigma(t) = \sigma(0) \exp\left(\frac{-t}{\tau}\right), \quad \tau = \frac{\mu}{E} \quad (\text{الف-}13)$$

این معادله نشان می‌دهد که تنش به صورت نمایی و با مشخصه‌ی زمانی ثابت  $\tau = \frac{\mu}{E}$  کاهش می‌یابد،

که  $\tau$  ثابت و از خواص ماده می‌باشد و زمان رهایش است. بنابراین مدول رهایش به صورت زیر است.

$$E_{rel} = \frac{\sigma(t)}{\varepsilon_0} = \frac{\sigma(0)}{\varepsilon_0} \exp\left(\frac{-t}{\tau}\right) \quad (\text{الف-}14)$$

در مدل ماکسول دو کمبود مشاهده می‌شود:

۱) تحت شرایط ثابت،  $E = E$ ,  $\frac{d\varepsilon}{dt} = 0$ ,  $\frac{d\sigma}{dt} = 0$ , جریان نیوتونی مشهود است ( $\sigma = \sigma(t)$ ). این موضوع با توجه

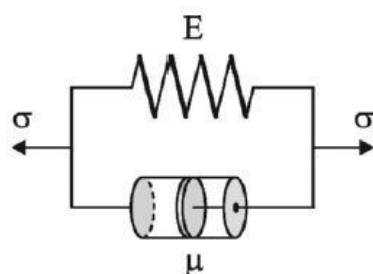
به رفتار پیچیده‌ی خزش برای ماده‌ی ویسکوالاستیک صحیح نمی‌باشد.

۲) رفتار رهایش را نمی‌توان به طور معمول با یک ترم نمایی کاهشی بیان کرد. زیرا لزوماً تنش در زمان بی‌نهایت به صفر میل نمی‌کند.

### الف-۳-۲-مدل کلوین-ویت [3]

مدلی دیگر با درجه پیچیدگی مشابه با مدل ماکسول، مدل کلوین-ویت می‌باشد، این مدل شامل

فنری الاستیک موازی با دمپری ویسکوز است.



شکل (الف-۱۱) مدل کلوین-ویت [7]

در این مدل برخلاف مدل ماکسول، تنش‌های فنر و دمپر با هم جمع می‌شوند و اما کرنش‌ها برای فنر و دمپر با هم برابرند. برخلاف مدل ماکسول، در مدل کلوین بر اثر اعمال تنش ناگهانی، بهدلیل موازی بودن فنر با دمپر، کرنش ناگهانی در همان لحظه مشاهده نمی‌شود. در حالی که در مدل ماکسول به دلیل آزاد بودن، بهصورت لحظه‌ای می‌توانست کرنشی متناسب با تنش اعمال شده‌ی ناگهانی از خود بروز دهد. رابطه‌ی کلی تنش-کرنش در این مدل بهصورت زیر است.

$$\sigma = E \varepsilon + \mu \dot{\varepsilon} \quad (\text{الف-15})$$

که بخش اول تنش مربوط به فنر و بخش دوم تنشی متناسب با نرخ کرنش و مربوط به المان دمپر می‌باشد.

در آزمایش خزش برای بررسی پاسخ مدل به تنش ورودی پله‌ای، با انتقال معادله‌ی (الف-15) به فضای لاپلاس با شرط اولیه  $\varepsilon(0) = 0$  خواهیم داشت.

$$\frac{\sigma_0}{s} = E \bar{\varepsilon}(s) + \mu [s \bar{\varepsilon}(s) - \varepsilon(0)] \rightarrow \bar{\varepsilon}(s) = \frac{\sigma_0}{s(E + \mu s)} \xrightarrow{\text{inverse}} \varepsilon(t) = \frac{\sigma_0}{E} \left(1 - e^{-\frac{t}{\tau}}\right) \quad (\text{الف-16})$$

که  $\tau = \frac{\mu}{E}$  زمان تأخیر<sup>۱</sup> است و بیان کننده‌ی شدت تغییرات در جایی است که تغییر شکل رخ می-

دهد. در آزمایش خزش، جایگزین کردن  $E$  با  $J$  کامپلینس فنر است، مناسب‌تر است.

$$\varepsilon(t) = J \sigma_0 \left(1 - e^{-\frac{t}{\tau}}\right) \quad (\text{الف-17})$$

بر اساس رابطه‌ی فوق، تابع کامپلینس خزش بهصورت زیر بهدست می‌آید.

$$J(t) = J \left(1 - e^{-\frac{t}{\tau}}\right) \quad (\text{الف-18})$$

با توجه به این‌که در کرنش ثابت دمپر عمل نمی‌کند، مدل کلوین نمی‌تواند رهایش تنش را تشریح

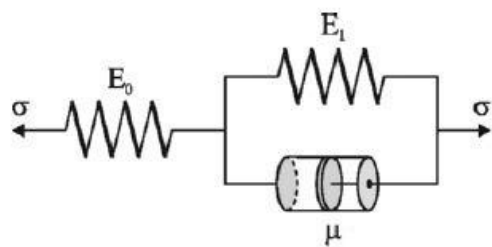
<sup>1</sup> Retardation time

کند.

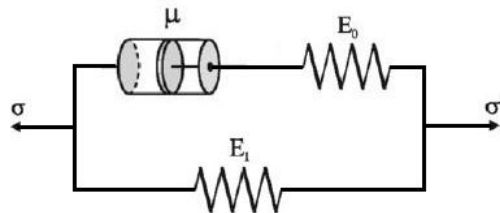
$$\frac{d\varepsilon}{dt} = 0 \rightarrow \sigma = E \varepsilon_0 \quad (\text{الف-}19)$$

### الف-۳-۳-جامد استاندارد خطی (مدل زنر) [3]

آنچه که به طور معمول جامد استاندارد سه المانی نامیده می‌شود، ترکیبی از المان کلوین-ویت به صورت سری با فنر (شکل (الف-۱۲)) و یا المان ماسکول موازی با فنر (شکل (الف-۱۳)) می‌باشد.



شکل (الف-۱۲) مدل جامد استاندارد خطی نوع اول [7]



شکل (الف-۱۳) مدل جامد استاندارد خطی نوع دوم [7]

یکی از ویژگی‌های بارز مدل جامد استاندارد خطی نوع اول، تقسیم‌بندی مشخص انواع کرنش در آن است. به طوری که کرنش الاستیک و کرنش ویسکوالاستیک با المان کلوین-ویت نشان داده می‌شود. در این مدل کرنش کل برابر با مجموع کرنش دو قسمت فنر و کلوین-ویت است.

معادله‌ی کلی تنش-کرنش برای این مدل به صورت زیر می‌باشد.

$$\left( \frac{1}{E_0} + \frac{1}{E_1} \right) \sigma + \frac{\mu}{E_0 E_1} \dot{\sigma} = \varepsilon + \frac{\mu}{E_1} \dot{\varepsilon} \quad (\text{الف-}20)$$

پاسخ مدل جامد استاندارد خطی نوع اول به تنش ورودی پله‌ای  $\sigma(t) = \sigma_0 H(t)$  در فضای لابلس

به صورت رابطه‌ی (الف-۲۱) است.

$$\bar{\varepsilon}(s) = \frac{\varepsilon(0)}{s + \tau^{-1}} + \frac{\sigma_0}{\mu} \left( 1 + \frac{E_1}{E_0} \right) \left( \frac{1}{s(s + \tau^{-1})} \right) \xrightarrow{\text{inverse}} \varepsilon(t) = \frac{\sigma_0}{E_0} + \frac{\sigma_0}{E_1} \left( 1 - e^{-\frac{t}{\tau}} \right) \quad (\text{الف-}21)$$

که  $\tau = \frac{\mu}{E_1}$  می‌باشد. بنابراین تابع کامپلینس خزش به صورت زیر تعریف می‌شود.

$$J(t) = \frac{1}{E_0} + \frac{1}{E_1} \left( 1 - e^{-\frac{t}{\tau}} \right) = J_g + J_1 \left( 1 - e^{-\frac{t}{\tau}} \right), \quad J_g = \frac{1}{E_0}, \quad J_1 = \frac{1}{E_1} \quad (\text{الف-}22)$$

پاسخ مدل جامد استاندارد خطی نوع اول به کرنش ورودی پله‌ای با شرط اولیه‌ی  $\sigma(0) = \sigma_0$  را به فضای لاپلاس منتقل کرده و در نهایت مدول رهایش را به صورت زیر خواهیم داشت.

$$\begin{aligned} G(t) &= \frac{\sigma(t)}{\sigma_0} = \frac{E_1}{1 + E_0 E_1} + \frac{E_0}{1 + E_0 E_1} \exp \left[ -\frac{E_0}{\mu} \left( 1 + \frac{E_1}{E_0} \right) t \right] \\ &= \frac{E_0 E_1}{1 + E_0 E_1} + \frac{E_0^2}{E_0 + E_1} \exp \left[ -\left( \frac{E_0 + E_1}{\mu} \right) t \right] \end{aligned} \quad (\text{الف-}23)$$

برای دومین مدل جامد استاندارد خطی رابطه‌ی کلی تنش-کرنش به صورت زیر است.

$$\sigma + \frac{\mu}{E_0} \dot{\sigma} = E_1 \varepsilon + \frac{\mu}{E_0} (E_0 + E_1) \dot{\varepsilon} \quad (\text{الف-}24)$$

بررسی پاسخ این مدل به تنش ورودی پله‌ای (آزمایش خزش):

$$\varepsilon(t) = \frac{\sigma_0}{E_0 + E_1} \left[ 1 + \frac{E_0}{E_1} \left( 1 - e^{-\frac{t}{\tau}} \right) \right] \quad (\text{الف-}25)$$

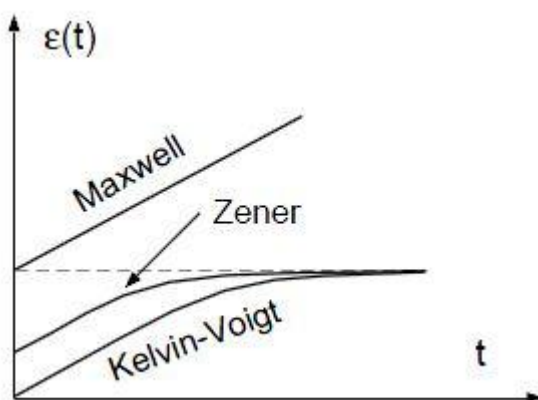
بررسی پاسخ این مدل به کرنش ورودی پله‌ای (آزمایش رهایش):

$$\sigma(t) = \sigma_0 \left[ E_1 + E_0 e^{-\frac{t}{\tau}} \right] \quad (\text{الف-}26)$$

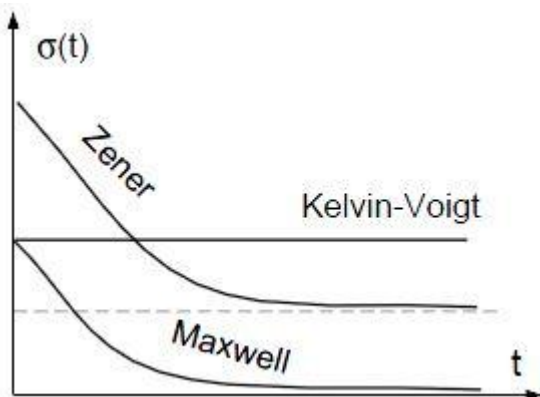
که در آن  $\tau = \frac{\mu}{E_0}$  زمان رهایش می‌باشد.

همان طور که می‌دانیم، مواد ویسکوالاستیک دو ویژگی منحصر به فرد دارند: خرش و رهایش. طبیعت ماده‌ی ویسکوالاستیک حکم می‌کند که تابع خرش در حالت پایا افزایش یابد و به یک مقدار نهایی برسد، همچنین تابع رهایش نیز با کاهش در حالت پایا به یک مقدار نهایی برسد.

شکل (الف-۱۴) کرنش بر حسب زمان و شکل (الف-۱۵) تنش بر حسب زمان برای مدل‌های ماکسول، کلوین-ویت و زنر می‌باشند.



شکل (الف-۱۴) تابع خرش برای سه مدل [63]



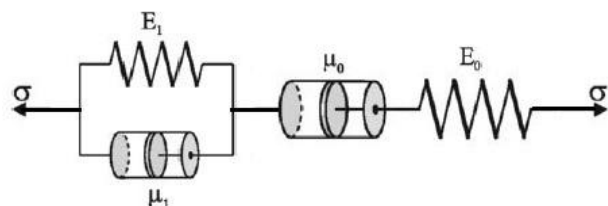
شکل (الف-۱۵) تابع رهایش برای سه مدل [63]

همان‌طور که قبلاً ذکر شد، تابع خرش پیش‌بینی شده توسط مدل ماکسول و تابع رهایش پیش‌بینی شده توسط مدل کلوین برای مواد ویسکوالاستیک نامناسب هستند. تابع خرش پیش‌بینی شده توسط مدل ماکسول با زمان افزایش می‌یابد (شکل (الف-۱۴)) و تابع رهایش پیش‌بینی شده توسط مدل

کلوین با زمان ثابت می‌ماند (شکل (الف-۱۵)). بنابراین هر دو مدل ماکسول و کلوین-ویت در رسیدن به خصوصیات مواد ویسکوالاستیک در محدوده‌ی زمان شکست خورده‌اند. از سوی دیگر مدل زنر توانست هر دو تابع خزش و رهایش را در حوزه‌ی زمان به‌خوبی پیش‌بینی کند [63].

### الف-۳-۴-مدل برگرز<sup>۱</sup> [3]

این مدل از ترکیب مدل ماکسول با کلوین-ویت (شکل (الف-۱۶)) به‌دست می‌آید. در این مدل، برای تنش ورودی، کرنش کل به‌صورت مجموع کرنش‌های هر قسمت می‌باشد.



شکل (الف-۱۶) مدل برگرز [7]

معادله‌ی بنیادین این مدل به‌صورت زیر است.

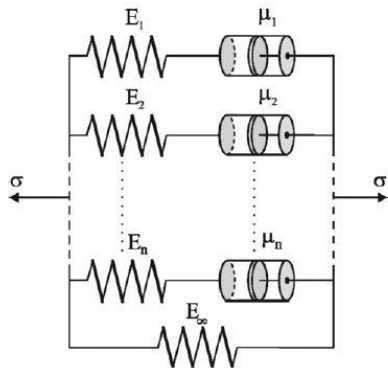
$$\sigma + \left[ \frac{\mu_1}{E_1} + \mu_0 \left( \frac{1}{E_0} + \frac{1}{E_1} \right) \right] \dot{\sigma} + \frac{\mu_0 \mu_1}{E_0 E_1} \ddot{\sigma} = \mu_0 \dot{\epsilon} + \frac{\mu_0 \mu_1}{E_1} \ddot{\epsilon} \quad (\text{الف-۲۷})$$

### الف-۳-۵-مدل ویچرت<sup>۲</sup> [3]

---

<sup>۱</sup> Burgers model

<sup>۲</sup> Wiechert Model



شکل (الف-۱۷) مدل ویچرت [7]

معمولاً پلیمرهای واقعی در زمان رهایش، با یک زمان رهایش که توسط مدل‌های بیان شده پیش‌بینی شده رها نمی‌شوند؛ بلکه طول‌های مختلفی از بخش‌های مولکولی در رهایش شرکت می‌کنند و بخش‌های ساده‌تر و کوتاه‌تر خیلی سریع‌تر از بخش‌های با طول بیشتر رها می‌شوند که این منجر به توزیعی در زمان رهایش می‌شود. برای رفع این مشکل، مهندسان مدل ویچرت را که مطابق شکل (الف-۱۷) دارای تعداد زیادی مدل ماکسول موازی با یک فنر می‌باشد، پیشنهاد کردند.

در این مدل، تنش کل برابر با مجموع تنش تک تک قسمت‌های موازی است. با استفاده از رابطه‌ی تنش-کرنش مربوط به مدل ماکسول، رابطه‌ی تنش-کرنش این مدل در فضای لابلاس به صورت زیر بیان می‌گردد.

$$\bar{\sigma}(s) = \bar{\sigma}_e + \sum_j \bar{\sigma}_j = E_e + \sum_j \frac{E_j s}{(s + \frac{E_j}{\mu_j})} \quad (\text{الف-}28)$$



پیوست ب

معادلات و پیکو الائچیک

$$\begin{aligned}
eq1 := & (72 h r^2 \beta t0 GsI + 96 h r^2 \beta t0) \left( \frac{\partial^3}{\partial t \partial r^2} u_0(r, t) \right) \\
& - \frac{72 h \rho r^2 \left( \frac{\partial^3}{\partial t^3} u_0(r, t) \right) \beta t0 GsI}{K0} \\
& + (72 h r^2 \beta t0 GsI + 96 h r^2 \beta t0) \left( \frac{\partial}{\partial r} w_0(r, t) \right) \left( \frac{\partial^3}{\partial t \partial r^2} w_0(r, t) \right) \\
& + (8 h^3 r^2 \beta t0 + 6 h^3 r^2 \beta t0 GsI) \left( \frac{\partial}{\partial r} w_1(r, t) \right) \left( \frac{\partial^3}{\partial t \partial r^2} w_1(r, t) \right) \\
& + (72 h r^2 Gs0 + 96 h r^2) \left( \frac{\partial^2}{\partial r^2} u_0(r, t) \right) \\
& + (96 h r \beta t0 + 72 h r \beta t0 GsI) \left( \frac{\partial^2}{\partial t \partial r} u_0(r, t) \right) - \frac{72 h \rho r^2 \left( \frac{\partial^2}{\partial t^2} u_0(r, t) \right) Gs0}{K0} + \left( \right. \\
& (72 h r^2 \beta t0 GsI + 96 h r^2 \beta t0) \left( \frac{\partial^2}{\partial t \partial r} w_0(r, t) \right) \\
& + (72 h r^2 Gs0 + 96 h r^2) \left( \frac{\partial}{\partial r} w_0(r, t) \right) \left( \frac{\partial^2}{\partial r^2} w_0(r, t) \right) \\
& + 144 h r \left( \frac{\partial}{\partial r} w_0(r, t) \right) \beta t0 \left( \frac{\partial^2}{\partial t \partial r} w_0(r, t) \right) + \left( \right. \\
& (8 h^3 r^2 \beta t0 + 6 h^3 r^2 \beta t0 GsI) \left( \frac{\partial^2}{\partial t \partial r} w_1(r, t) \right) \\
& + (8 h^3 r^2 + 6 h^3 r^2 Gs0) \left( \frac{\partial}{\partial r} w_1(r, t) \right) \left( \frac{\partial^2}{\partial r^2} w_1(r, t) \right) + \left( -48 h r^2 \beta t0 \right. \\
& + 12 \left( \frac{\partial}{\partial r} w_1(r, t) \right) h^3 r \beta t0 + 72 h w_1(r, t) r^2 \beta t0 GsI - 48 h w_1(r, t) r^2 \beta t0 \\
& + 72 h r^2 \beta t0 GsI) \left( \frac{\partial^2}{\partial t \partial r} w_1(r, t) \right) + (72 h r Gs0 + 96 r h) \left( \frac{\partial}{\partial r} u_0(r, t) \right) \\
& + (-72 h \beta t0 GsI - 96 h \beta t0) \left( \frac{\partial}{\partial t} u_0(r, t) \right) + 72 h r \left( \frac{\partial}{\partial r} w_0(r, t) \right)^2 \\
& + 6 \left( \frac{\partial}{\partial r} w_1(r, t) \right)^2 h^3 r + \left( (-48 h r^2 \beta t0 + 72 h r^2 \beta t0 GsI) \left( \frac{\partial}{\partial t} w_1(r, t) \right) \right. \\
& + 72 h w_1(r, t) r^2 Gs0 - 48 h r^2 - 48 h w_1(r, t) r^2 + 72 h r^2 Gs0) \left( \frac{\partial}{\partial r} w_1(r, t) \right) \\
& \left. - 96 h u_0(r, t) - 72 h u_0(r, t) Gs0 \right)
\end{aligned}$$

$$\begin{aligned}
eq2 := & (4 h^3 r^2 \beta t0 + 3 h^3 r^2 \beta t0 GsI) \left( \frac{\partial^3}{\partial t \partial r^2} u_1(r, t) \right) - \frac{3 \rho r^2 h^3 \left( \frac{\partial^3}{\partial t^3} u_1(r, t) \right) \beta t0 GsI}{K0} \\
& + (4 h^3 r^2 \beta t0 + 3 h^3 r^2 \beta t0 GsI) \left( \frac{\partial}{\partial r} w_1(r, t) \right) \left( \frac{\partial^3}{\partial t \partial r^2} w_0(r, t) \right) \\
& + (4 h^3 r^2 \beta t0 + 3 h^3 r^2 \beta t0 GsI) \left( \frac{\partial}{\partial r} w_0(r, t) \right) \left( \frac{\partial^3}{\partial t \partial r^2} w_1(r, t) \right) \\
& + (3 h^3 r^2 Gs0 + 4 h^3 r^2) \left( \frac{\partial^2}{\partial r^2} u_1(r, t) \right) \\
& + (3 h^3 r \beta t0 GsI + 4 h^3 r \beta t0) \left( \frac{\partial^2}{\partial t \partial r} u_1(r, t) \right) - \frac{3 \rho r^2 h^3 \left( \frac{\partial^2}{\partial t^2} u_1(r, t) \right) Gs0}{K0} + \left( \right. \\
& \left. (4 h^3 r^2 \beta t0 + 3 h^3 r^2 \beta t0 GsI) \left( \frac{\partial^2}{\partial t \partial r} w_1(r, t) \right) \right. \\
& \left. + (3 h^3 r^2 Gs0 + 4 h^3 r^2) \left( \frac{\partial}{\partial r} w_1(r, t) \right) \right) \left( \frac{\partial^2}{\partial r^2} w_0(r, t) \right) + \left( \right. \\
& \left. (4 h^3 r^2 \beta t0 + 3 h^3 r^2 \beta t0 GsI) \left( \frac{\partial^2}{\partial r^2} w_1(r, t) \right) + 6 \left( \frac{\partial}{\partial r} w_1(r, t) \right) h^3 r \beta t0 \right. \\
& \left. - 36 h r^2 KS \beta t0 - 36 h r^2 KS w_1(r, t) \beta t0 \right) \left( \frac{\partial^2}{\partial t \partial r} w_0(r, t) \right) \\
& + (3 h^3 r^2 Gs0 + 4 h^3 r^2) \left( \frac{\partial}{\partial r} w_0(r, t) \right) \left( \frac{\partial^2}{\partial r^2} w_1(r, t) \right) \\
& + 6 h^3 \left( \frac{\partial}{\partial r} w_0(r, t) \right) \left( \frac{\partial^2}{\partial t \partial r} w_1(r, t) \right) r \beta t0 + (4 h^3 r + 3 h^3 r Gs0) \left( \frac{\partial}{\partial r} u_1(r, t) \right) \\
& + (-36 h r^2 KS \beta t0 - 4 h^3 \beta t0 - 3 h^3 \beta t0 GsI) \left( \frac{\partial}{\partial t} u_1(r, t) \right) + \left( \right. \\
& \left. 6 h^3 \left( \frac{\partial}{\partial r} w_1(r, t) \right) r - 36 h r^2 KS \left( \frac{\partial}{\partial t} w_1(r, t) \right) \beta t0 - 36 h r^2 KS - 36 h r^2 KS w_1(r, t) \right) \\
& \left( \frac{\partial}{\partial r} w_0(r, t) \right) - 3 h^3 u_1(r, t) Gs0 - 36 h r^2 KS u_1(r, t) - 4 h^3 u_1(r, t)
\end{aligned}$$

$$\begin{aligned}
eq3 := & 72 KS h w_1(r, t) u_1(r, t) + 72 KS h u_1(r, t) - \frac{72 r \text{FF}(r, t) Gs0}{K0} \\
& + 72 h \left( \frac{\partial}{\partial r} w_1(r, t) \right) KS r u_1(r, t) - \frac{72 r \left( \frac{\partial}{\partial t} \text{FF}(r, t) \right) \beta t0 GsI}{K0} \\
& + 72 KS h \left( \frac{\partial}{\partial t} w_1(r, t) \right) u_1(r, t) \beta t0 + \left( (4 h^3 + 12 h^3 Gs0) \left( \frac{\partial}{\partial r} w_1(r, t) \right) \right. \\
& \left. + 72 h r KS \left( \frac{\partial}{\partial t} w_1(r, t) \right) \beta t0 + 72 h r KS w_1(r, t) + 72 h r KS \right) \left( \frac{\partial}{\partial r} u_1(r, t) \right)
\end{aligned}$$

$$\begin{aligned}
& + \left( 72 K S h w_1(r, t) \beta t0 + 72 h \left( \frac{\partial}{\partial r} w_1(r, t) \right) K S r \beta t0 + 72 K S h \beta t0 \right) \left( \frac{\partial}{\partial t} u_1(r, t) \right) \\
& + (48 h + 36 h Gs0) \left( \frac{\partial}{\partial r} w_0(r, t) \right)^3 + \left( (12 h^3 + 9 h^3 Gs0) \left( \frac{\partial}{\partial r} w_1(r, t) \right)^2 + \left( \right. \right. \\
& (144 h r K S \beta t0 - 48 h r \beta t0 + 72 h r \beta t0 Gs1) \left( \frac{\partial}{\partial t} w_1(r, t) \right) - 48 r h \\
& + 72 h w_1(r, t) r Gs0 + 144 h r K S + 144 h r K S w_1(r, t) - 48 h w_1(r, t) r \\
& + 72 h r Gs0) \left( \frac{\partial}{\partial r} w_1(r, t) \right) + (144 K S h w_1(r, t) \beta t0 + 72 h \beta t0 Gs1 \\
& + 72 h w_1(r, t) \beta t0 Gs1 - 48 h \beta t0 + 144 K S h \beta t0 - 48 h w_1(r, t) \beta t0) \\
& \left. \left( \frac{\partial}{\partial t} w_1(r, t) \right) + 72 h w_1(r, t) Gs0 - 48 h w_1(r, t) - 24 h w_1(r, t)^2 + 72 K S h \right. \\
& \left. + 72 K S h w_1(r, t)^2 + 36 h w_1(r, t)^2 Gs0 + 144 K S h w_1(r, t) \right) \left( \frac{\partial}{\partial r} w_0(r, t) \right) \\
& + (144 h Gs0 + 48 h) \left( \frac{\partial}{\partial r} w_0(r, t) \right) \left( \frac{\partial}{\partial r} u_0(r, t) \right) \\
& + (96 h r \beta t0 + 72 h r \beta t0 Gs1) \left( \frac{\partial}{\partial r} w_0(r, t) \right) \left( \frac{\partial^3}{\partial t \partial r^2} u_0(r, t) \right) \\
& + (6 h^3 r \beta t0 Gs1 + 8 h^3 r \beta t0) \left( \frac{\partial}{\partial r} w_1(r, t) \right) \left( \frac{\partial^3}{\partial t \partial r^2} u_1(r, t) \right) \\
& - \frac{72 \rho r h \left( \frac{\partial^2}{\partial t^2} w_0(r, t) \right) Gs0}{K0} + \left( (96 h r \beta t0 + 72 h r \beta t0 Gs1) \left( \frac{\partial}{\partial r} u_0(r, t) \right) \right. \\
& \left. + (144 h r \beta t0 + 108 h r \beta t0 Gs1) \left( \frac{\partial}{\partial r} w_0(r, t) \right)^2 \right. \\
& \left. + (12 h^3 r \beta t0 + 9 h^3 r \beta t0 Gs1) \left( \frac{\partial}{\partial r} w_1(r, t) \right)^2 - 24 h w_1(r, t)^2 r \beta t0 \right. \\
& \left. + 144 h r K S w_1(r, t) \beta t0 - 48 h w_1(r, t) r \beta t0 + 72 h r K S \beta t0 - 48 h u_0(r, t) \beta t0 \right. \\
& \left. + 72 h u_0(r, t) \beta t0 Gs1 + 36 h w_1(r, t)^2 r \beta t0 Gs1 + 72 h w_1(r, t) r \beta t0 Gs1 \right. \\
& \left. + 72 h r K S w_1(r, t)^2 \beta t0 \right) \left( \frac{\partial^3}{\partial t \partial r^2} w_0(r, t) \right) + \left( \right. \\
& (6 h^3 r \beta t0 Gs1 + 8 h^3 r \beta t0) \left( \frac{\partial}{\partial r} u_1(r, t) \right) \\
& + (24 h^3 r \beta t0 + 18 h^3 r \beta t0 Gs1) \left( \frac{\partial}{\partial r} w_1(r, t) \right) \left( \frac{\partial}{\partial r} w_0(r, t) \right) + 6 h^3 u_1(r, t) \beta t0 Gs1 \\
& \left. - 4 h^3 u_1(r, t) \beta t0 \right) \left( \frac{\partial^3}{\partial t \partial r^2} w_1(r, t) \right) + \left( \right. \\
& (96 h r \beta t0 + 72 h r \beta t0 Gs1) \left( \frac{\partial^2}{\partial t \partial r} w_0(r, t) \right) + (72 h r Gs0 + 96 r h) \left( \frac{\partial}{\partial r} w_0(r, t) \right) \left. \right)
\end{aligned}$$

$$\begin{aligned}
& \left( \frac{\partial^2}{\partial r^2} u_0(r, t) \right) + \left( (96 h r \beta t0 + 72 h r \beta t0 GsI) \left( \frac{\partial^2}{\partial r^2} w_0(r, t) \right) \right. \\
& + (144 h \beta t0 GsI + 48 h \beta t0) \left( \frac{\partial}{\partial r} w_0(r, t) \right) \left( \frac{\partial^2}{\partial t \partial r} u_0(r, t) \right) + \\
& \left( (6 h^3 r \beta t0 GsI + 8 h^3 r \beta t0) \left( \frac{\partial^2}{\partial t \partial r} w_1(r, t) \right) + (8 h^3 r + 6 h^3 r Gs0) \left( \frac{\partial}{\partial r} w_1(r, t) \right) \right) \\
& \left( \frac{\partial^2}{\partial r^2} u_1(r, t) \right) + \left( (6 h^3 r \beta t0 GsI + 8 h^3 r \beta t0) \left( \frac{\partial^2}{\partial r^2} w_1(r, t) \right) \right. \\
& + (12 h^3 \beta t0 GsI + 4 h^3 \beta t0) \left( \frac{\partial}{\partial r} w_1(r, t) \right) + 72 h r KS w_1(r, t) \beta t0 + 72 h r KS \beta t0 \\
& \left( \frac{\partial^2}{\partial t \partial r} u_1(r, t) \right) + \left( (216 h r \beta t0 GsI + 288 h r \beta t0) \left( \frac{\partial}{\partial r} w_0(r, t) \right) \left( \frac{\partial^2}{\partial t \partial r} w_0(r, t) \right) \right. \\
& + (24 h^3 r \beta t0 + 18 h^3 r \beta t0 GsI) \left( \frac{\partial}{\partial r} w_1(r, t) \right) \left( \frac{\partial^2}{\partial t \partial r} w_1(r, t) \right) \\
& + (72 h r Gs0 + 96 r h) \left( \frac{\partial}{\partial r} u_0(r, t) \right) + (-48 h \beta t0 + 72 h \beta t0 GsI) \left( \frac{\partial}{\partial t} u_0(r, t) \right) \\
& + (108 h r Gs0 + 144 r h) \left( \frac{\partial}{\partial r} w_0(r, t) \right)^2 + (9 h^3 r Gs0 + 12 h^3 r) \left( \frac{\partial}{\partial r} w_1(r, t) \right)^2 + \\
& 144 h r KS \beta t0 + 72 h r \beta t0 GsI - 48 h w_1(r, t) r \beta t0 + 144 h r KS w_1(r, t) \beta t0 \\
& + 72 h w_1(r, t) r \beta t0 GsI - 48 h r \beta t0) \left( \frac{\partial}{\partial t} w_1(r, t) \right) + 72 h r KS w_1(r, t)^2 \\
& + 72 h w_1(r, t) r Gs0 + 72 h u_0(r, t) Gs0 + 36 h w_1(r, t)^2 r Gs0 - 48 h u_0(r, t) \\
& \left. + 72 h r KS + 144 h r KS w_1(r, t) - 24 h w_1(r, t)^2 r - 48 h w_1(r, t) r \right) \left( \frac{\partial^2}{\partial r^2} w_0(r, t) \right) \\
& + \left( (24 h^3 r \beta t0 + 18 h^3 r \beta t0 GsI) \left( \frac{\partial}{\partial r} w_1(r, t) \right) \left( \frac{\partial^2}{\partial r^2} w_1(r, t) \right) \right. \\
& + (144 h \beta t0 GsI + 48 h \beta t0) \left( \frac{\partial}{\partial r} u_0(r, t) \right) \\
& + (144 h \beta t0 + 108 h \beta t0 GsI) \left( \frac{\partial}{\partial r} w_0(r, t) \right)^2 \\
& + (9 h^3 \beta t0 GsI + 12 h^3 \beta t0) \left( \frac{\partial}{\partial r} w_1(r, t) \right)^2 + (144 h r KS \beta t0 + 72 h r \beta t0 GsI \\
& - 48 h w_1(r, t) r \beta t0 + 144 h r KS w_1(r, t) \beta t0 + 72 h w_1(r, t) r \beta t0 GsI \\
& - 48 h r \beta t0) \left( \frac{\partial}{\partial r} w_1(r, t) \right) + 144 KS h w_1(r, t) \beta t0 + 72 h w_1(r, t) \beta t0 GsI \\
& \left. + 36 h w_1(r, t)^2 \beta t0 GsI + 72 KS h w_1(r, t)^2 \beta t0 + 72 KS h \beta t0 - 24 h w_1(r, t)^2 \beta t0 \right)
\end{aligned}$$

$$\begin{aligned}
& -48 h w_1(r, t) \beta t0 \left( \frac{\partial^2}{\partial t \partial r} w_0(r, t) \right) + \left( \right. \\
& \left. (24 h^3 r \beta t0 + 18 h^3 r \beta t0 GsI) \left( \frac{\partial}{\partial r} w_0(r, t) \right) \left( \frac{\partial^2}{\partial t \partial r} w_1(r, t) \right) \right. \\
& + (8 h^3 r + 6 h^3 r Gs0) \left( \frac{\partial}{\partial r} u_1(r, t) \right) + (-4 h^3 \beta t0 + 6 h^3 \beta t0 GsI) \left( \frac{\partial}{\partial t} u_1(r, t) \right) \\
& + (24 h^3 r + 18 h^3 r Gs0) \left( \frac{\partial}{\partial r} w_1(r, t) \right) \left( \frac{\partial}{\partial r} w_0(r, t) \right) + 6 h^3 u_1(r, t) Gs0 \\
& - 4 h^3 u_1(r, t) \left( \frac{\partial^2}{\partial r^2} w_1(r, t) \right) + \left( (12 h^3 \beta t0 GsI + 4 h^3 \beta t0) \left( \frac{\partial}{\partial r} u_1(r, t) \right) + \left( \right. \right. \\
& \left. \left. (18 h^3 \beta t0 GsI + 24 h^3 \beta t0) \left( \frac{\partial}{\partial r} w_1(r, t) \right) + 144 h r KS \beta t0 + 72 h r \beta t0 GsI \right. \right. \\
& - 48 h w_1(r, t) r \beta t0 + 144 h r KS w_1(r, t) \beta t0 + 72 h w_1(r, t) r \beta t0 GsI \\
& - 48 h r \beta t0 \left( \frac{\partial}{\partial r} w_0(r, t) \right) + 72 h KS r u_1(r, t) \beta t0 \left( \frac{\partial^2}{\partial t \partial r} w_1(r, t) \right) \\
& \left. \left. - \frac{72 \rho r h \left( \frac{\partial^3}{\partial t^3} w_0(r, t) \right) \beta t0 GsI}{K0} \right) \right)
\end{aligned}$$

$$\begin{aligned}
eq4 := & 960 h u_0(r, t) + (120 h^3 r \beta t0 GsI + 160 h^3 r \beta t0) \left( \frac{\partial}{\partial r} w_1(r, t) \right) \left( \frac{\partial^3}{\partial t \partial r^2} u_0(r, t) \right) \\
& - 1440 h u_0(r, t) Gs0 + 960 h u_0(r, t) w_1(r, t) - 960 h w_1(r, t)^3 r - 2880 h w_1(r, t)^2 r \\
& - 1920 h w_1(r, t) r - \frac{720 h r FF(r, t) Gs0}{K0} - 1440 h r KS \left( \frac{\partial}{\partial r} w_0(r, t) \right) u_1(r, t) \\
& - 1440 h w_1(r, t) r Gs0 - 2160 h w_1(r, t)^2 r Gs0 - 1440 h u_0(r, t) w_1(r, t) Gs0 \\
& - 720 h w_1(r, t)^3 r Gs0 - 1440 h r KS \left( \frac{\partial}{\partial r} w_0(r, t) \right) \left( \frac{\partial}{\partial t} u_1(r, t) \right) \beta t0 \\
& - \frac{720 h r \left( \frac{\partial}{\partial t} FF(r, t) \right) \beta t0 GsI}{K0} + \left( (240 h^3 Gs0 + 80 h^3) \left( \frac{\partial}{\partial r} w_1(r, t) \right) \right. \\
& + (-1440 h r \beta t0 GsI + 960 h r \beta t0) \left( \frac{\partial}{\partial t} w_1(r, t) \right) + 960 r h - 1440 h w_1(r, t) r Gs0 \\
& - 1440 h r Gs0 + 960 h w_1(r, t) r \left( \frac{\partial}{\partial r} u_0(r, t) \right) + \\
& (960 h w_1(r, t) \beta t0 - 1440 h w_1(r, t) \beta t0 GsI + 960 h \beta t0 - 1440 h \beta t0 GsI) \\
& \left( \frac{\partial}{\partial t} u_0(r, t) \right) + \left( (180 h^3 Gs0 + 240 h^3) \left( \frac{\partial}{\partial r} w_1(r, t) \right) \right. \\
& + (-720 h r \beta t0 GsI + 480 h r \beta t0 - 1440 h r KS \beta t0) \left( \frac{\partial}{\partial t} w_1(r, t) \right) \\
& - 720 h w_1(r, t) r Gs0 - 1440 h r KS w_1(r, t) - 1440 h r KS - 720 h r Gs0
\end{aligned}$$

$$\begin{aligned}
& + 480 h w_1(r, t) r + 480 r h \left( \frac{\partial}{\partial r} w_0(r, t) \right)^2 + (9 h^5 Gs0 + 12 h^5) \left( \frac{\partial}{\partial r} w_1(r, t) \right)^3 + \left( \right. \\
& (120 h^3 Ks r \beta t0 + 60 h^3 r \beta t0 Gs1 - 40 h^3 r \beta t0) \left( \frac{\partial}{\partial t} w_1(r, t) \right) - 40 h^3 r w_1(r, t) \\
& \left. + 60 h^3 r Gs0 + 120 h^3 Ks r w_1(r, t) + 60 h^3 r w_1(r, t) Gs0 - 40 h^3 r + 120 h^3 Ks r \right) \\
& \left( \frac{\partial}{\partial r} w_1(r, t) \right)^2 + \left( (240 Ks h^3 \beta t0 + 120 h^3 w_1(r, t) \beta t0 Gs1 + 240 Ks h^3 w_1(r, t) \beta t0 \right. \\
& - 80 h^3 \beta t0 - 80 h^3 w_1(r, t) \beta t0 + 120 h^3 \beta t0 Gs1) \left( \frac{\partial}{\partial t} w_1(r, t) \right) \\
& + 60 h^3 w_1(r, t)^2 Gs0 - 80 h^3 w_1(r, t) + 120 Ks h^3 - 40 h^3 w_1(r, t)^2 \\
& \left. + 120 h^3 w_1(r, t) Gs0 + 240 Ks h^3 w_1(r, t) + 120 Ks h^3 w_1(r, t)^2 \right) \left( \frac{\partial}{\partial r} w_1(r, t) \right) + \left( \right. \\
& - 4320 h w_1(r, t) r \beta t0 Gs1 - 1440 h r \beta t0 Gs1 - 2160 h w_1(r, t)^2 r \beta t0 Gs1 \\
& - 1920 h r \beta t0 - 5760 h w_1(r, t) r \beta t0 - 2880 h w_1(r, t)^2 r \beta t0 + 960 h u_0(r, t) \beta t0 \\
& \left. - 1440 h u_0(r, t) \beta t0 Gs1 \right) \left( \frac{\partial}{\partial t} w_1(r, t) \right) + \left( \right. \\
& (120 h^3 r \beta t0 Gs1 + 160 h^3 r \beta t0) \left( \frac{\partial}{\partial r} u_1(r, t) \right) \\
& + (360 h^3 r \beta t0 Gs1 + 480 h^3 r \beta t0) \left( \frac{\partial}{\partial r} w_1(r, t) \right) \left( \frac{\partial}{\partial r} w_0(r, t) \right) \\
& \left. + 120 h^3 u_1(r, t) \beta t0 Gs1 - 80 h^3 u_1(r, t) \beta t0 \right) \left( \frac{\partial^3}{\partial t \partial r^2} w_0(r, t) \right) + \left( \right. \\
& (120 h^3 r \beta t0 Gs1 + 160 h^3 r \beta t0) \left( \frac{\partial}{\partial r} u_0(r, t) \right) \\
& + (180 h^3 r \beta t0 Gs1 + 240 h^3 r \beta t0) \left( \frac{\partial}{\partial r} w_0(r, t) \right)^2 \\
& \left. + (27 h^5 r \beta t0 Gs1 + 36 h^5 r \beta t0) \left( \frac{\partial}{\partial r} w_1(r, t) \right)^2 + 60 h^3 r w_1(r, t)^2 \beta t0 Gs1 \right. \\
& - 40 h^3 r w_1(r, t)^2 \beta t0 + 120 h^3 u_0(r, t) \beta t0 Gs1 + 120 h^3 Ks r w_1(r, t)^2 \beta t0 \\
& - 80 h^3 u_0(r, t) \beta t0 + 240 h^3 Ks r w_1(r, t) \beta t0 + 120 h^3 r w_1(r, t) \beta t0 Gs1 \\
& \left. - 80 h^3 r w_1(r, t) \beta t0 + 120 h^3 Ks r \beta t0 \right) \left( \frac{\partial^3}{\partial t \partial r^2} w_1(r, t) \right) + \left( \right. \\
& (120 h^3 r \beta t0 Gs1 + 160 h^3 r \beta t0) \left( \frac{\partial^2}{\partial t \partial r} w_1(r, t) \right) \\
& + (120 h^3 r Gs0 + 160 h^3 r) \left( \frac{\partial}{\partial r} w_1(r, t) \right) \left( \frac{\partial^2}{\partial r^2} u_0(r, t) \right) + \left( \right. \\
& (120 h^3 r \beta t0 Gs1 + 160 h^3 r \beta t0) \left( \frac{\partial^2}{\partial r^2} w_1(r, t) \right)
\end{aligned}$$

$$\begin{aligned}
& + (80 h^3 \beta t0 + 240 h^3 \beta t0 GsI) \left( \frac{\partial}{\partial r} w_1(r, t) \right) + 960 h r \beta t0 + 960 h w_1(r, t) r \beta t0 \\
& - 1440 h w_1(r, t) r \beta t0 GsI - 1440 h r \beta t0 GsI \left( \frac{\partial^2}{\partial t \partial r} u_0(r, t) \right) + \left( \right. \\
& (54 h^5 r \beta t0 GsI + 72 h^5 r \beta t0) \left( \frac{\partial}{\partial r} w_1(r, t) \right) \left( \frac{\partial^2}{\partial t \partial r} w_1(r, t) \right) \\
& + (120 h^3 r Gs0 + 160 h^3 r) \left( \frac{\partial}{\partial r} u_0(r, t) \right) \\
& + (-80 h^3 \beta t0 + 120 h^3 \beta t0 GsI) \left( \frac{\partial}{\partial t} u_0(r, t) \right) \\
& + (240 h^3 r + 180 h^3 r Gs0) \left( \frac{\partial}{\partial r} w_0(r, t) \right)^2 + (36 h^5 r + 27 h^5 r Gs0) \left( \frac{\partial}{\partial r} w_1(r, t) \right)^2 \\
& + (240 h^3 KS r \beta t0 + 240 h^3 KS r w_1(r, t) \beta t0 - 80 h^3 r \beta t0 + 120 h^3 r \beta t0 GsI \\
& - 80 h^3 r w_1(r, t) \beta t0 + 120 h^3 r w_1(r, t) \beta t0 GsI) \left( \frac{\partial}{\partial t} w_1(r, t) \right) - 80 h^3 u_0(r, t) \\
& + 240 h^3 KS r w_1(r, t) + 120 h^3 KS r w_1(r, t)^2 + 60 h^3 r w_1(r, t)^2 Gs0 \\
& + 120 h^3 u_0(r, t) Gs0 + 120 h^3 r w_1(r, t) Gs0 - 40 h^3 r w_1(r, t)^2 + 120 h^3 KS r \\
& - 80 h^3 r w_1(r, t) \left( \frac{\partial^2}{\partial r^2} w_1(r, t) \right) + \left( \right. \\
& (120 h^3 r \beta t0 GsI + 160 h^3 r \beta t0) \left( \frac{\partial^2}{\partial t \partial r} w_0(r, t) \right) \\
& + (120 h^3 r Gs0 + 160 h^3 r) \left( \frac{\partial}{\partial r} w_0(r, t) \right) \left( \frac{\partial^2}{\partial r^2} u_1(r, t) \right) + \left( \right. \\
& (120 h^3 r \beta t0 GsI + 160 h^3 r \beta t0) \left( \frac{\partial^2}{\partial r^2} w_0(r, t) \right) \\
& + (80 h^3 \beta t0 + 240 h^3 \beta t0 GsI) \left( \frac{\partial}{\partial r} w_0(r, t) \right) \left( \frac{\partial^2}{\partial t \partial r} u_1(r, t) \right) + \left( \right. \\
& (360 h^3 r \beta t0 GsI + 480 h^3 r \beta t0) \left( \frac{\partial}{\partial r} w_1(r, t) \right) \left( \frac{\partial^2}{\partial t \partial r} w_0(r, t) \right) \\
& + (360 h^3 r \beta t0 GsI + 480 h^3 r \beta t0) \left( \frac{\partial}{\partial r} w_0(r, t) \right) \left( \frac{\partial^2}{\partial t \partial r} w_1(r, t) \right) \\
& + (120 h^3 r Gs0 + 160 h^3 r) \left( \frac{\partial}{\partial r} u_1(r, t) \right) \\
& + (-80 h^3 \beta t0 + 120 h^3 \beta t0 GsI) \left( \frac{\partial}{\partial t} u_1(r, t) \right) \\
& + (360 h^3 r Gs0 + 480 h^3 r) \left( \frac{\partial}{\partial r} w_1(r, t) \right) \left( \frac{\partial}{\partial r} w_0(r, t) \right) - 80 h^3 u_1(r, t) \\
& \left. + 120 h^3 u_1(r, t) Gs0 \right) \left( \frac{\partial^2}{\partial r^2} w_0(r, t) \right) + \left( \right.
\end{aligned}$$

$$\begin{aligned}
& (360 h^3 r \beta t0 GsI + 480 h^3 r \beta t0) \left( \frac{\partial}{\partial r} w_0(r, t) \right) \left( \frac{\partial^2}{\partial r^2} w_1(r, t) \right) \\
& + (80 h^3 \beta t0 + 240 h^3 \beta t0 GsI) \left( \frac{\partial}{\partial r} u_1(r, t) \right) + \left( \right. \\
& (360 h^3 \beta t0 GsI + 480 h^3 \beta t0) \left( \frac{\partial}{\partial r} w_1(r, t) \right) - 1440 h r \beta t0 GsI \\
& + 960 h w_1(r, t) r \beta t0 - 2880 h r KS \beta t0 - 1440 h w_1(r, t) r \beta t0 GsI \\
& - 2880 h r KS w_1(r, t) \beta t0 + 960 h r \beta t0 \left( \frac{\partial}{\partial r} w_0(r, t) \right) - 1440 h KS r u_1(r, t) \beta t0 \Big) \\
& \left( \frac{\partial^2}{\partial t \partial r} w_0(r, t) \right) + \left( (80 h^3 \beta t0 + 240 h^3 \beta t0 GsI) \left( \frac{\partial}{\partial r} u_0(r, t) \right) \right. \\
& + (180 h^3 \beta t0 GsI + 240 h^3 \beta t0) \left( \frac{\partial}{\partial r} w_0(r, t) \right)^2 \\
& + (27 h^5 \beta t0 GsI + 36 h^5 \beta t0) \left( \frac{\partial}{\partial r} w_1(r, t) \right)^2 + (240 h^3 KS r \beta t0 \\
& + 240 h^3 KS r w_1(r, t) \beta t0 - 80 h^3 r \beta t0 + 120 h^3 r \beta t0 GsI - 80 h^3 r w_1(r, t) \beta t0 \\
& + 120 h^3 r w_1(r, t) \beta t0 GsI) \left( \frac{\partial}{\partial r} w_1(r, t) \right) + 120 h^3 w_1(r, t) \beta t0 GsI \\
& + 120 KS h^3 w_1(r, t)^2 \beta t0 - 40 h^3 w_1(r, t)^2 \beta t0 + 120 KS h^3 \beta t0 \\
& + 240 KS h^3 w_1(r, t) \beta t0 - 80 h^3 w_1(r, t) \beta t0 + 60 h^3 w_1(r, t)^2 \beta t0 GsI \Big) \\
& \left( \frac{\partial^2}{\partial t \partial r} w_1(r, t) \right) + (240 h^3 Gs0 + 80 h^3) \left( \frac{\partial}{\partial r} w_0(r, t) \right) \left( \frac{\partial}{\partial r} u_1(r, t) \right) \\
& + (120 h^3 r \beta t0 GsI + 160 h^3 r \beta t0) \left( \frac{\partial}{\partial r} w_0(r, t) \right) \left( \frac{\partial^3}{\partial t \partial r^2} u_1(r, t) \right) \\
& \left. - \frac{120 \rho r h^3 \left( \frac{\partial^2}{\partial t^2} w_1(r, t) \right) Gs0}{K0} - \frac{120 \rho r h^3 \left( \frac{\partial^3}{\partial t^3} w_1(r, t) \right) \beta t0 GsI}{K0} \right)
\end{aligned}$$



پیوست ج

معادلات مرتبہ ۳

برای به دست آوردن معادلات مرتبه سه، مؤلفه های دامنه ای ارتعاشات به صورت زیر در نظر گرفته

می شود.

$$\begin{aligned} u_0^*(X, t^*; \varepsilon) &= \varepsilon(u_{00}(X, T_0, T_1, T_2) + \varepsilon u_{01}(X, T_0, T_1, T_2) + \varepsilon^2 u_{02}(X, T_0, T_1, T_2)) \\ u_1^*(X, t^*; \varepsilon) &= \varepsilon(u_{10}(X, T_0, T_1, T_2) + \varepsilon u_{11}(X, T_0, T_1, T_2) + \varepsilon^2 u_{12}(X, T_0, T_1, T_2)) \\ w_0^*(X, t^*; \varepsilon) &= \varepsilon(w_{00}(X, T_0, T_1, T_2) + \varepsilon w_{01}(X, T_0, T_1, T_2) + \varepsilon^2 w_{02}(X, T_0, T_1, T_2)) \\ w_1^*(X, t^*; \varepsilon) &= \varepsilon(w_{10}(X, T_0, T_1, T_2) + \varepsilon w_{11}(X, T_0, T_1, T_2) + \varepsilon^2 w_{12}(X, T_0, T_1, T_2)) \end{aligned} \quad (1-\varepsilon)$$

که  $T_2 = \varepsilon^2 t^*$  و  $T_1 = \varepsilon t^*$ ,  $T_0 = t^*$  است. با توجه به این تعریف ها، اپراتور های مشتق زمانی به صورت

زیر تعریف می شوند.

$$\begin{aligned} \frac{\partial}{\partial t^*} &= \frac{\partial}{\partial T_0} + \varepsilon \frac{\partial}{\partial T_1} + \varepsilon^2 \frac{\partial}{\partial T_2} \\ \frac{\partial^2}{\partial t^{*2}} &= \frac{\partial^2}{\partial T_0^2} + 2\varepsilon \frac{\partial^2}{\partial T_0 \partial T_1} + \varepsilon^2 \left( 2 \frac{\partial^2}{\partial T_0 \partial T_2} + \frac{\partial^2}{\partial T_1^2} \right) \\ \frac{\partial^3}{\partial t^{*3}} &= \frac{\partial^3}{\partial T_0^3} + 3\varepsilon \frac{\partial^3}{\partial T_0^2 \partial T_1} + 3\varepsilon^2 \left( \frac{\partial^3}{\partial T_0^2 \partial T_2} + \frac{\partial^3}{\partial T_0 \partial T_1^2} \right) \end{aligned} \quad (2-\varepsilon)$$

با جایگذاری روابط (ج-۱) و (ج-۲) در معادلات (۳-۳) تا (۶-۳) و جداسازی معادلات براساس

مرتبه های  $\varepsilon^1$ ,  $\varepsilon^2$  و  $\varepsilon^3$  معادلات زیر حاصل می شود.

معادلات مرتبه یک:

$$eq_1 : L_1[u_{00}, w_{10}] = 0 \\ L_1[u_{00}, w_{10}] = -72\varepsilon \frac{\partial^2 g_1[u_{00}]}{\partial T_0^2} + 12 \frac{\partial g_3[w_{10}]}{\partial X} + 12 \frac{\partial^2 g_2[u_{00}]}{\partial X^2} \quad (3-\varepsilon)$$

$$eq_2 : L_2[u_{10}, w_{00}] = 0 \\ L_2[u_{10}, w_{00}] = -3eh^{*2} \frac{\partial^2 g_1[u_{10}]}{\partial T_0^2} + \frac{h^{*2}}{2} \frac{\partial^2 g_2[u_{10}]}{\partial X^2} - 36Ks \left( g_4[u_{10}] + \frac{\partial g_4[w_{00}]}{\partial X} \right) \quad (4-\varepsilon)$$

$$eq_3 : L_3[u_{10}, w_{00}] - 72g_1[Q^*] = 0$$

$$L_3[u_{10}, w_{00}] = -72eh^* \frac{\partial^2 g_1[w_{00}]}{\partial T_0^2} + 72h^* Ks \left( \frac{\partial g_4[u_{10}]}{\partial X} + \frac{\partial^2 g_4[w_{00}]}{\partial X^2} \right) \quad (\Delta - \zeta)$$

$$eq_4 : L_4[u_{00}, w_{10}] - 720g_1[Q^*] = 0$$

$$L_4[u_{00}, w_{10}] = -120eh^{*2} \frac{\partial^2 g_1[w_{10}]}{\partial T_0^2} - 240 \left( \frac{\partial g_3[w_{00}]}{\partial X} + g_2[w_{10}] \right) + 120h^{*2} Ks \frac{\partial^2 g_4[w_{10}]}{\partial X^2} \quad (\varepsilon - \zeta)$$

معادلات مرتبه دو:

$$eq_1 : L_1[u_{01}, w_{11}] + 2X(L_1[u_{00}, w_{10}]) + f_1 = 0$$

$$f_1 = -144e g_{10}[u_{00}] + 12 \frac{\partial g_2[u_{00}]}{\partial X} + 12 \frac{\partial^2 g_2[w_{00}]}{\partial X^2} \frac{\partial w_{00}}{\partial X} + 12\beta \left( b_1 g_{11}[w_{10}] + a_1 \frac{\partial g_{11}[u_{00}]}{\partial X} \right) + 12g_5[w_{00}] + \left( 12\beta g_3[w_{10}] + h^{*2} \frac{\partial^2 g_2[w_{10}]}{\partial X^2} \right) \frac{\partial w_{10}}{\partial X} + h^{*2} g_5[w_{10}] + 12\beta b_1 w_{10} \frac{\partial^2 w_{10}}{\partial X \partial T_0} \quad (\forall - \zeta)$$

$$eq_2 : L_2[u_{11}, w_{01}] + 2X(L_2[u_{10}, w_{01}]) + f_2 = 0$$

$$f_2 = -6eh^{*2} g_{10}[u_{10}] + \left( \frac{h^{*2}}{2} \frac{\partial^2 g_2[w_{10}]}{\partial X^2} - 36Ks g_4[w_{10}] \right) \frac{\partial w_{00}}{\partial X} + \frac{h^{*2}}{2} \frac{\partial^2 g_2[w_{00}]}{\partial X^2} \frac{\partial w_{10}}{\partial X}$$

$$- 36Ks \left( \beta \left( w_{10} \frac{\partial^2 w_{00}}{\partial X \partial T_0} + \frac{\partial u_{10}}{\partial T_1} \right) + g_{11}[w_{00}] \right) + \frac{h^{*2}}{2} g_{21}[w_{10}, w_{00}] + \frac{h^{*2}}{2} \left( \frac{\partial g_2[u_{10}]}{\partial X} + \beta a_1 \frac{\partial g_{11}[u_{10}]}{\partial X} \right) \quad (\lambda - \zeta)$$

$$\begin{aligned}
eq_3 : & L_3[u_{11}, w_{01}] + X \left( L_3[u_{10}, w_{00}] - 72g_1[Q^*] \right) + f_3 = 0 \\
f_3 = & -144eh^* g_{10}[w_{00}] + 12h^* \frac{\partial^2 g_2[w_{00}]}{\partial X^2} \frac{\partial u_{00}}{\partial X} + h^{*3} \left( \frac{\partial^2 g_2[u_{10}]}{\partial X^2} \frac{\partial w_{10}}{\partial X} + \frac{\partial^2 g_2[w_{10}]}{\partial X^2} \frac{\partial u_{10}}{\partial X} \right) \\
& + 72h^* Ks \left( u_{10} \frac{\partial g_4[w_{10}]}{\partial X} + \frac{\partial g_4[w_{00}]}{\partial X} + g_4[u_{10}] \right) + h^{*2} g_{21}[w_{10}, u_{10}] + 72\beta h^* Ks g_{11}[u_{10}] \\
& + 12h^* \left( \frac{\partial^2 g_2[u_{00}]}{\partial X^2} + \frac{\partial g_3[w_{10}]}{\partial X} + 12Ks \frac{\partial g_4[w_{10}]}{\partial X} \right) \frac{\partial w_{00}}{\partial X} + 72Ks g_{22}[w_{10}, u_{10}] \\
& + 12\beta h^* (b_1 + 12Ks) \left( \frac{\partial^2 w_{00}}{\partial X \partial T_0} \frac{\partial w_{10}}{\partial X} + \frac{\partial^2 w_{00}}{\partial X^2} \frac{\partial w_{10}}{\partial T_0} \right) + 12g_{21}[w_{00}, u_{00}] \\
& + 12h^* w_{10} \left( \frac{\partial^2 g_3[w_{00}]}{\partial X^2} + 6Ks \left( 2 \frac{\partial^2 g_4[w_{00}]}{\partial X^2} + \frac{\partial g_4[u_{10}]}{\partial X} \right) \right) + 72\beta h^* Ks \frac{\partial g_{11}[w_{00}]}{\partial X}
\end{aligned} \tag{4-2}$$

$$\begin{aligned}
eq_4 : & L_4[u_{01}, w_{11}] + X \left( L_4[u_{00}, w_{10}] - 720g_1[Q^*] \right) + f_4 = 0 \\
f_4 = & -240eh^{*2} g_{10}[w_{10}] - 240\beta b_1 g_{11}[u_{00}] + 120\beta h^{*2} Ks \frac{\partial g_{11}[w_{10}]}{\partial X} - 240\beta a_1 \frac{\partial w_{10}}{\partial T_1} + \\
& 20h^{*2} \left( \frac{\partial^2 g_2[w_{00}]}{\partial X^2} \frac{\partial u_{10}}{\partial X} + \frac{\partial^2 g_2[u_{10}]}{\partial X^2} \frac{\partial w_{00}}{\partial X} + \frac{\partial^2 g_2[u_{00}]}{\partial X^2} \frac{\partial w_{10}}{\partial X} + \frac{\partial^2 g_2[w_{10}]}{\partial X^2} \frac{\partial u_{00}}{\partial X} \right) \\
& - 240g_3[w_{10}] \frac{\partial u_{00}}{\partial X} + 20h^* (g_{21}[u_{00}, w_{10}] + g_{21}[w_{00}, u_{10}]) + 120h^{*2} Ks \frac{\partial g_4[w_{10}]}{\partial X} \\
& - 360g_{16}[w_{10}] w_{10} + 20h^{*2} \left( \frac{\partial^2 g_3[w_{10}]}{\partial X^2} + 12Ks \frac{\partial^2 g_4[w_{10}]}{\partial X^2} \right) w_{10} \\
& - 120g_{15}[w_{00}] + 10h^{*2} g_{15}[w_{10}] + 20\beta h^{*2} (b_1 + 12Ks) \frac{\partial^2 w_{10}}{\partial X^2} \frac{\partial w_{10}}{\partial T_0} - 240g_3[u_{00}] \\
& - 240\beta \left( w_{10} b_1 \frac{\partial^2 u_{00}}{\partial X \partial T_0} + 6Ks \frac{\partial u_{10}}{\partial T_0} \frac{\partial w_{00}}{\partial X} \right) - 1440Ks \frac{\partial g_4[w_{00}]}{\partial X} u_{10}
\end{aligned} \tag{1-2}$$

معادلات دوم و سوم مرتبه سه:

$$\begin{aligned}
 eq_2 : & L_2[u_{12}, w_{02}] + X^2 L_2[u_{10}, w_{00}] + 2X \left( L_2[u_{11}, w_{01}] + f_2 - h^{*2} \left( 3 \frac{\partial g_1[u_{10}]}{\partial X} + 4 \frac{\partial g_4[u_{10}]}{\partial X} \right) \right) + f_{22} = 0 \\
 f_{22} = & -3eh^{*2} \left( 2(g_{10}[u_{11}] + g_{12}[u_{10}]) + g_{18}[u_{10}] \right) + \frac{h^{*2}}{2} \left( \frac{\partial^2 g_2[w_{00}]}{\partial X^2} \frac{\partial w_{11}}{\partial X} + \frac{\partial^2 g_2[w_{01}]}{\partial X^2} \frac{\partial w_{10}}{\partial X} \right) \\
 & + \left( \frac{h^{*2}}{2} \frac{\partial^2 g_2[w_{10}]}{\partial X^2} - 36Ks g_4[w_{10}] \right) \frac{\partial w_{01}}{\partial X} + \left( \frac{h^{*2}}{2} \frac{\partial^2 g_2[w_{11}]}{\partial X^2} - 36Ks g_4[w_{11}] + 6h^{*2} \frac{\partial g_4[w_{10}]}{\partial X} \right) \frac{\partial w_{00}}{\partial X} \\
 & + \frac{h^{*2}}{2} \left( \frac{\partial g_2[u_{11}]}{\partial X} - g_2[u_{10}] + g_{21}[w_{00}, w_{11}] \right) + \frac{\partial^2 w_{10}}{\partial X \partial T_0} \frac{\partial^2 w_{01}}{\partial X^2} + 6\beta h^{*2} \frac{\partial^2 w_{00}}{\partial X \partial T_0} \frac{\partial w_{10}}{\partial X} \\
 & + \frac{h^{*2}}{2} \beta a_1 \left( g_{11}[u_{10}] + \frac{\partial g_3[u_{10}]}{\partial X} + \frac{\partial g_{11}[u_{11}]}{\partial X} + \frac{\partial}{\partial X} \left( \frac{\partial^2 w_{00}}{\partial X \partial T_1} \frac{\partial w_{10}}{\partial X} + \frac{\partial^2 w_{10}}{\partial X \partial T_1} \frac{\partial w_{00}}{\partial X} \right) \right) \\
 & - 36\beta Ks \left( g_{11}[w_{01}] + g_{13}[w_{00}] + w_{10}g_{11}[w_{00}] + \frac{\partial u_{10}}{\partial T_2} + \frac{\partial u_{11}}{\partial T_1} + \frac{\partial w_{10}}{\partial T_1} \frac{\partial w_{00}}{\partial X} + w_{11} \frac{\partial^2 w_{00}}{\partial X \partial T_0} \right)
 \end{aligned} \tag{11-٤}$$

$$\begin{aligned}
eq_3 : & L_3[u_{12}, w_{02}] + X \left( L_3[u_{11}, w_{01}] + f_3 - 72h^* K s \left( g_4[u_{10}] + \frac{\partial g_4[w_{00}]}{\partial X} \right) \right) + f_{33} = 0 \\
f_{33} = & -72e h^* \left( 2(g_{10}[w_{01}] + g_{12}[w_{00}]) + g_{18}[w_{00}] \right) + \\
& 12h^* \left( \left( 4 \left( \frac{\partial g_4[w_{00}]}{\partial X} + 3 \frac{\partial g_2[w_{00}]}{\partial X} \right) + \frac{\partial^2 g_2[w_{01}]}{\partial X^2} \right) \frac{\partial u_{00}}{\partial X} + \frac{\partial^2 g_2[w_{00}]}{\partial X^2} \frac{\partial u_{01}}{\partial X} \right) \\
& + h^{*2} \left( 3g_{21}[w_{00}, w_{10}] + h^* \frac{\partial^2 g_2[u_{11}]}{\partial X^2} \right) \frac{\partial w_{10}}{\partial X} + h^* \left( 18 \frac{\partial^2 g_2[w_{00}]}{\partial X^2} + \left( h^{*2} \frac{\partial^2 g_2[w_{10}]}{\partial X^2} + 72Ks g_4[w_{10}] \right) \frac{\partial u_{11}}{\partial X} \right) \\
& + 4h^{*3} \left( \frac{\partial g_4[u_{10}]}{\partial X} + 3 \frac{\partial g_2[u_{10}]}{\partial X} \right) \frac{\partial w_{10}}{\partial X} + \left( 72h^* K s g_4[w_{11}] + h^{*3} \frac{\partial^2 g_2[w_{11}]}{\partial X^2} \right) \frac{\partial u_{10}}{\partial X} + \frac{3h^{*3}}{2} \frac{\partial^2 g_2[w_{00}]}{\partial X^2} \\
& + h^{*3} \left( \frac{\partial^2 g_2[u_{10}]}{\partial X^2} \frac{\partial w_{11}}{\partial X} + 3 \frac{\partial^2 g_2[w_{10}]}{\partial X^2} \frac{\partial w_{10}}{\partial X} \right) + 12 \left( g_{21}[w_{00}, u_{01}] + g_{21}[w_{01}, u_{00}] \right) + w_{10} g_{20}[w_{00}, w_{10}] \\
& + 12h^* \left( \frac{\partial g_3[w_{10}]}{\partial X} + 12Ks \frac{\partial g_4[w_{10}]}{\partial X} + \frac{\partial^2 g_2[u_{00}]}{\partial X^2} \right) \frac{\partial w_{01}}{\partial X} + 72h^* K s \frac{\partial g_4[w_{01}]}{\partial X} + h^{*3} u_{10} \frac{\partial^2 g_3[w_{10}]}{\partial X^2} \\
& + 12h^* \left( \frac{\partial^2 g_2[u_{01}]}{\partial X^2} + g_3[w_{10}] \right) + 12Ks \left( g_4[w_{10}] + \frac{\partial g_4[w_{11}]}{\partial X} \right) \frac{\partial w_{00}}{\partial X} + 3h^{*2} g_5[w_{10}] \\
& + 72h^* K s \left( g_4[u_{11}] + g_4[w_{10}] u_{10} \right) + 12h^* w_{10} \left( \frac{\partial^2 g_3[w_{01}]}{\partial X^2} + 12Ks \frac{\partial^2 g_4[w_{01}]}{\partial X^2} \right) + 36h^* g_5[w_{00}] \tag{19-2} \\
& + 6h^* \left( w_{10}^2 + 2(u_{00} + w_{11}) \right) \frac{\partial^2 g_3[w_{00}]}{\partial X^2} + 72h^* K s \left( \left( w_{10}^2 + 2w_{11} \right) \frac{\partial^2 g_4[w_{00}]}{\partial X^2} + \frac{\partial g_4[w_{10}]}{\partial X} u_{11} + g_4[u_{10}] \frac{\partial w_{11}}{\partial X} \right) \\
& + h^{*2} \left( g_{21}[w_{10}, u_{11}] + g_{21}[w_{11}, u_{10}] \right) + 12h^* \left( g_3[w_{10}] + 12Ks g_4[w_{10}] \right) \frac{\partial w_{10}}{\partial X} + g_{20}[w_{01}, w_{10}] + g_{20}[w_{00}, w_{11}] \\
& + 72\beta h^* K s \left( \frac{\partial}{\partial X} \left( w_{10} \frac{\partial u_{11}}{\partial T_0} \right) + \frac{\partial^2}{\partial X \partial T_0} (u_{10} w_{11}) + w_{10} \frac{\partial u_{10}}{\partial T_0} \right) + 12\beta h^* (b_1 + 12Ks) \left( w_{10} \frac{\partial^2 w_{10}}{\partial X \partial T_0} + \frac{\partial^2 w_{00}}{\partial X \partial T_0} \right) \\
& + \beta h^* \left( 4(1 + 3G_1^*) \left( \frac{\partial^2 w_{10}}{\partial X \partial T_0} \frac{\partial u_{10}}{\partial X} + 12 \frac{\partial^2 u_{00}}{\partial X \partial T_0} \right) + b_1 \left( 12 \frac{\partial^2 w_{00}}{\partial X^2} \frac{\partial u_{00}}{\partial T_0} + h^{*2} \frac{\partial^2 w_{10}}{\partial X^2} \frac{\partial u_{10}}{\partial T_0} \right) \right) \\
& + 12\beta h^* (b_1 + 12Ks) \left( \frac{\partial}{\partial T_1} \left( w_{10} \frac{\partial^2 w_{00}}{\partial X^2} \right) + g_{11}[w_{00}] \frac{\partial w_{10}}{\partial X} + g_{11}[w_{10}] \right) + 12\beta h^* a_1 \frac{\partial}{\partial X} \left( \frac{\partial}{\partial T_1} \left( \frac{\partial w_{00}}{\partial X} \frac{\partial u_{00}}{\partial X} \right) \right) \\
& + \beta h^{*3} a_1 \left( \frac{\partial^2}{\partial X \partial T_1} \left( \frac{\partial w_{10}}{\partial X} \frac{\partial u_{10}}{\partial X} \right) + g_{11}[w_{10}] \frac{\partial^2 u_{10}}{\partial X^2} \right) + 72\beta h^* K s \left( \frac{\partial}{\partial X} \left( u_{10} \frac{\partial w_{10}}{\partial T_1} \right) + \frac{\partial w_{10}}{\partial X} \frac{\partial u_{10}}{\partial T_1} \right) \\
& + 72\beta h^* K s \left( g_{13}[u_{10}] + g_{11}[w_{00}] + g_{11}[u_{11}] + \frac{\partial u_{10}}{\partial T_1} + \frac{\partial}{\partial X} (g_{13}[w_{00}] + g_{11}[w_{01}]) \right)
\end{aligned}$$

که در آن:

$$\begin{aligned}
 a_0 &= 8 + 6G_0^*; a_1 = 8 + 6G_1^*; b_0 = -4 + 6G_0^*; b_1 = -4 + 6G_1^* \\
 g_1[\bullet] &= G_0^*(\bullet) + \beta G_1^* \frac{\partial(\bullet)}{\partial T_0}; g_2[\bullet] = a_0(\bullet) + \beta a_1 \frac{\partial(\bullet)}{\partial T_0}; g_3[\bullet] = b_0(\bullet) + \beta b_1 \frac{\partial(\bullet)}{\partial T_0} \\
 g_4[\bullet] &= (\bullet) + \beta \frac{\partial(\bullet)}{\partial T_0}; g_5[\bullet] = \beta a_1 \frac{\partial^2(\bullet)}{\partial X \partial T_0} \frac{\partial^2(\bullet)}{\partial X^2}; \\
 g_{10}[\bullet] &= G_0^* \frac{\partial^2(\bullet)}{\partial T_0 \partial T_1} + \frac{3}{2} \beta G_1^* \frac{\partial^3(\bullet)}{\partial T_0^2 \partial T_1}; g_{11}[\bullet] = \frac{\partial^2(\bullet)}{\partial X \partial T_1} \\
 g_{12}[\bullet] &= G_0^* \frac{\partial^2(\bullet)}{\partial T_0 \partial T_2} + \frac{3}{2} \beta G_1^* \frac{\partial^3(\bullet)}{\partial T_0^2 \partial T_2}; g_{13}[\bullet] = \frac{\partial^2(\bullet)}{\partial X \partial T_2} \\
 g_{15}[\bullet] &= \left[ (b_0 + 12Ks) \frac{\partial(\bullet)}{\partial X} + 2\beta(b_1 + 12Ks) \frac{\partial^2(\bullet)}{\partial X \partial T_0} \right] \frac{\partial(\bullet)}{\partial X} \\
 g_{16}[\bullet] &= a_0(\bullet) + 2\beta a_1 \frac{\partial(\bullet)}{\partial T_0}; g_{17}[\bullet] = \left[ \frac{\partial(\bullet)}{\partial X} + 2\beta \frac{\partial^2(\bullet)}{\partial X \partial T_0} \right] \frac{\partial(\bullet)}{\partial X} \\
 g_{18}[\bullet] &= G_0^* \frac{\partial^2(\bullet)}{\partial T_1^2} + 3\beta G_1^* \frac{\partial^3(\bullet)}{\partial T_1^2 \partial T_0} \\
 g_{20}[\bullet, \Delta] &= 12\beta h^*(b_1 + 12Ks) \left( \frac{\partial^2(\bullet)}{\partial X \partial T_0} \frac{\partial(\Delta)}{\partial X} + \frac{\partial^2(\bullet)}{\partial X^2} \frac{\partial(\Delta)}{\partial T_0} \right) \\
 g_{21}[\bullet, \Delta] &= \beta h^* a_1 \left( \frac{\partial^2(\bullet)}{\partial X \partial T_0} \frac{\partial^2(\Delta)}{\partial X^2} + \frac{\partial^2(\Delta)}{\partial X \partial T_0} \frac{\partial^2(\bullet)}{\partial X^2} \right) \\
 g_{22}[\bullet, \Delta] &= \beta h^* \left( \frac{\partial(\bullet)}{\partial X} \frac{\partial(\Delta)}{\partial T_0} + \frac{\partial(\Delta)}{\partial X} \frac{\partial(\bullet)}{\partial T_0} \right)
 \end{aligned} \tag{۱۳-ج}$$

حل معادلات مرتبه یک و دو به صورت زیر در نظر گرفته می‌شوند.

$$\begin{aligned}
 \begin{cases} u_{10}(X, T_0, T_1, T_2) \\ w_{00}(X, T_0, T_1, T_2) \end{cases} &= C_4(T_1, T_2) \begin{cases} y_2(X) \\ y_3(X) \end{cases} e^{(i\omega_r T_0)} + C.C. \\
 \begin{cases} u_{00}(X, T_0, T_1, T_2) \\ w_{10}(X, T_0, T_1, T_2) \end{cases} &= C_8(T_1, T_2) \begin{cases} y_1(X) \\ y_4(X) \end{cases} e^{(i\omega_a T_0)} + C.C.
 \end{aligned} \tag{۱۴-ج}$$

$$\begin{aligned} \left\{ \begin{array}{l} u_{11}(X, T_0, T_1) \\ w_{01}(X, T_0, T_1) \end{array} \right\} &= \left\{ \begin{array}{l} au_{21}(X) \\ aw_{31}(X) \end{array} \right\} e^{i(\omega_{ax} + \omega_{tr})T_0} + \left\{ \begin{array}{l} au_{22}(X) \\ aw_{32}(X) \end{array} \right\} e^{i(\omega_{ax} - \omega_{tr})T_0} + C.C. \\ \left\{ \begin{array}{l} u_{01}(X, T_0, T_1) \\ w_{11}(X, T_0, T_1) \end{array} \right\} &= \left\{ \begin{array}{l} au_{11}(X) \\ aw_{41}(X) \end{array} \right\} e^{i(\omega_{ax} + \omega_{tr})T_0} + \left\{ \begin{array}{l} au_{12}(X) \\ aw_{42}(X) \end{array} \right\} e^{i(\omega_{ax} - \omega_{tr})T_0} + \left\{ \begin{array}{l} au_{13}(X) \\ aw_{43}(X) \end{array} \right\} + C.C. \end{aligned} \quad (15-ج)$$

با جایگذاری روابط (ج-15) و (ج-16) در معادلات (ج-11) و (ج-12) جملات سکولار معادلات دوم و

سوم مرتبه ۳ به صورت زیر به دست می‌آید.

$$\begin{aligned} -72. Ks \beta X \left( \frac{\partial}{\partial T1} C4 \right) \left( \frac{\partial}{\partial X} y3 \right) + 3. I hs^2 \beta Gs1 B8 \left( \frac{\partial^2}{\partial X^2} y44 \right) \left( \frac{\partial}{\partial X} aw31 \right) \omega_{tr} \\ + 3. I hs^2 \beta Gs1 B8 \left( \frac{\partial}{\partial X} y44 \right) \left( \frac{\partial^2}{\partial X^2} aw31 \right) \omega_{tr} - 9. I hs^2 e \beta Gs1 \left( \frac{\partial^2}{\partial T1^2} C4 \right) \omega_{tr} y2 \\ + 3. I hs^2 \beta Gs1 X^2 C4 \omega_{tr} \left( \frac{\partial^2}{\partial X^2} y2 \right) + 3. I hs^2 \beta Gs1 \left( \frac{\partial^2}{\partial X^2} aw42 \right) B4 \omega_{tr} \left( \frac{\partial}{\partial X} y33 \right) \\ + 3. I hs^2 \beta Gs1 \left( \frac{\partial}{\partial X} aw42 \right) B4 \omega_{tr} \left( \frac{\partial^2}{\partial X^2} y33 \right) \\ + 3. I hs^2 \beta Gs1 \left( \frac{\partial}{\partial X} aw43 \right) C4 \omega_{tr} \left( \frac{\partial^2}{\partial X^2} y3 \right) \\ + 3. I hs^2 \beta Gs1 \left( \frac{\partial}{\partial X} aw46 \right) C4 \omega_{tr} \left( \frac{\partial^2}{\partial X^2} y3 \right) \\ + 3. I hs^2 \beta Gs1 C8 \left( \frac{\partial^2}{\partial X^2} y4 \right) \left( \frac{\partial}{\partial X} aw34 \right) \omega_{tr} \\ + 3. I hs^2 \beta Gs1 C8 \left( \frac{\partial}{\partial X} y4 \right) \left( \frac{\partial^2}{\partial X^2} aw34 \right) \omega_{tr} \\ + 3. I hs^2 \beta Gs1 \left( \frac{\partial^2}{\partial X^2} aw46 \right) C4 \omega_{tr} \left( \frac{\partial}{\partial X} y3 \right) + 9. hs^2 e \beta Gs1 \left( \frac{\partial}{\partial T2} C4 \right) \omega_{tr}^2 y2 \\ + 4. I hs^2 \beta X C4 \omega_{tr} \left( \frac{\partial}{\partial X} y2 \right) - 4. hs^2 C4 y2 - 36. I Ks \beta B4 \left( \frac{\partial}{\partial X} y33 \right) aw42 \omega_{tr} \\ - 36. Ks \beta \left( \frac{\partial}{\partial T2} C4 \right) y2 - 3. hs^2 Gs0 C4 y2 - 36. Ks X^2 C4 y2 \\ - 36. Ks X^2 C4 \left( \frac{\partial}{\partial X} y3 \right) + 6. hs^2 \beta Gs1 X \left( \frac{\partial}{\partial T1} C4 \right) \left( \frac{\partial^2}{\partial X^2} y2 \right) \\ + 4. I hs^2 \beta B4 \left( \frac{\partial^2}{\partial X^2} y33 \right) \left( \frac{\partial}{\partial X} aw42 \right) \omega_{tr} + 4. I hs^2 \beta \left( \frac{\partial^2}{\partial X^2} aw42 \right) B4 \omega_{tr} \left( \frac{\partial}{\partial X} y33 \right) \\ + 4. I hs^2 \beta C8 \left( \frac{\partial^2}{\partial X^2} y4 \right) \left( \frac{\partial}{\partial X} aw34 \right) \omega_{tr} + 4. I hs^2 \beta \left( \frac{\partial^2}{\partial X^2} aw46 \right) C4 \omega_{tr} \left( \frac{\partial}{\partial X} y3 \right) \end{aligned} \quad (16-ج)$$

$$\begin{aligned}
& + 4. I hs^2 \beta C8 \left( \frac{\partial}{\partial X} y4 \right) \left( \frac{\partial^2}{\partial X^2} aw34 \right) \omega_{tr} + 4. I hs^2 \beta \left( \frac{\partial}{\partial X} aw46 \right) C4 \omega_{tr} \left( \frac{\partial^2}{\partial X^2} y3 \right) \\
& + 4. I hs^2 \beta B8 \left( \frac{\partial}{\partial X} y44 \right) \left( \frac{\partial^2}{\partial X^2} aw31 \right) \omega_{tr} + 4. I hs^2 \beta B8 \left( \frac{\partial^2}{\partial X^2} y44 \right) \left( \frac{\partial}{\partial X} aw31 \right) \omega_{tr} \\
& + 4. I hs^2 \beta \left( \frac{\partial^2}{\partial X^2} aw43 \right) C4 \omega_{tr} \left( \frac{\partial}{\partial X} y3 \right) + 4. I hs^2 \beta \left( \frac{\partial}{\partial X} aw43 \right) C4 \omega_{tr} \left( \frac{\partial^2}{\partial X^2} y3 \right) \\
& + 4. I hs^2 \beta X^2 C4 \omega_{tr} \left( \frac{\partial^2}{\partial X^2} y2 \right) + 3. hs^2 Gs0 X C4 \left( \frac{\partial}{\partial X} y2 \right) - 72. Ks \beta X \left( \frac{\partial}{\partial T1} C4 \right) y2 \\
& + 3. I hs^2 \beta Gs1 X C4 \omega_{tr} \left( \frac{\partial}{\partial X} y2 \right) + 3. I hs^2 e \beta Gs1 X^2 C4 \omega_{tr}^3 y2 \\
& - 12. I hs^2 e Gs0 X \left( \frac{\partial}{\partial T1} C4 \right) \omega_{tr} y2 + 18. hs^2 e \beta Gs1 X \left( \frac{\partial}{\partial T1} C4 \right) \omega_{tr}^2 y2 \\
& - 36. Ks \left( \frac{\partial}{\partial X} aw31 \right) B8 y44 - 36. Ks B4 \left( \frac{\partial}{\partial X} y33 \right) aw42 \\
& - 6. I hs^2 e Gs0 \left( \frac{\partial}{\partial T2} C4 \right) \omega_{tr} y2 + 3. hs^2 e Gs0 X^2 C4 \omega_{tr}^2 y2 \\
& - 36. I Ks \beta X^2 C4 \omega_{tr} y2 - 3. I hs^2 \beta Gs1 C4 \omega_{tr} y2 - 36. Ks C4 \left( \frac{\partial}{\partial X} y3 \right) aw46 \\
& - 36. I Ks \beta C4 \omega_{tr} \left( \frac{\partial}{\partial X} y3 \right) aw46 - 36. Ks \beta \left( \frac{\partial}{\partial T2} C4 \right) \left( \frac{\partial}{\partial X} y3 \right) \\
& + 4. hs^2 \left( \frac{\partial}{\partial X} aw31 \right) B8 \left( \frac{\partial^2}{\partial X^2} y44 \right) + 4. hs^2 B8 \left( \frac{\partial}{\partial X} y44 \right) \left( \frac{\partial^2}{\partial X^2} aw31 \right) \\
& + 4. hs^2 \beta \left( \frac{\partial}{\partial T2} C4 \right) \left( \frac{\partial^2}{\partial X^2} y2 \right) + 4. hs^2 X^2 C4 \left( \frac{\partial^2}{\partial X^2} y2 \right) \\
& + 4. hs^2 \left( \frac{\partial}{\partial X} aw42 \right) B4 \left( \frac{\partial^2}{\partial X^2} y33 \right) + 4. hs^2 B4 \left( \frac{\partial}{\partial X} y33 \right) \left( \frac{\partial^2}{\partial X^2} aw42 \right) \\
& + 4. hs^2 \left( \frac{\partial}{\partial X} aw46 \right) C4 \left( \frac{\partial^2}{\partial X^2} y3 \right) + 4. hs^2 C4 \left( \frac{\partial}{\partial X} y3 \right) \left( \frac{\partial^2}{\partial X^2} aw46 \right) \\
& + 4. hs^2 \left( \frac{\partial}{\partial X} aw43 \right) C4 \left( \frac{\partial^2}{\partial X^2} y3 \right) + 4. hs^2 C8 \left( \frac{\partial}{\partial X} y4 \right) \left( \frac{\partial^2}{\partial X^2} aw34 \right) \\
& + 4. hs^2 \left( \frac{\partial}{\partial X} aw34 \right) C8 \left( \frac{\partial^2}{\partial X^2} y4 \right) + 4. hs^2 C4 \left( \frac{\partial}{\partial X} y3 \right) \left( \frac{\partial^2}{\partial X^2} aw43 \right) \\
& - 36. I Ks \beta \left( \frac{\partial}{\partial X} aw34 \right) \omega_{tr} C8 y4 - 36. Ks \left( \frac{\partial}{\partial X} aw34 \right) C8 y4 \\
& - 36. Ks C4 \left( \frac{\partial}{\partial X} y3 \right) aw43 + 3. hs^2 Gs0 \left( \frac{\partial}{\partial X} aw46 \right) C4 \left( \frac{\partial^2}{\partial X^2} y3 \right) \\
& + 3. hs^2 Gs0 C4 \left( \frac{\partial}{\partial X} y3 \right) \left( \frac{\partial^2}{\partial X^2} aw46 \right) + 3. hs^2 Gs0 C8 \left( \frac{\partial}{\partial X} y4 \right) \left( \frac{\partial^2}{\partial X^2} aw34 \right) \\
& + 3. hs^2 Gs0 \left( \frac{\partial}{\partial X} aw34 \right) C8 \left( \frac{\partial^2}{\partial X^2} y4 \right) + 3. hs^2 Gs0 B8 \left( \frac{\partial}{\partial X} y44 \right) \left( \frac{\partial^2}{\partial X^2} aw31 \right)
\end{aligned}$$

$$\begin{aligned}
& + 3. hs^2 Gs0 \left( \frac{\partial}{\partial X} aw31 \right) B8 \left( \frac{\partial^2}{\partial X^2} y44 \right) + 3. hs^2 Gs0 X^2 C4 \left( \frac{\partial^2}{\partial X^2} y2 \right) \\
& + 3. hs^2 \beta Gs1 \left( \frac{\partial}{\partial T2} C4 \right) \left( \frac{\partial^2}{\partial X^2} y2 \right) + 8. hs^2 \beta X \left( \frac{\partial}{\partial T1} C4 \right) \left( \frac{\partial^2}{\partial X^2} y2 \right) \\
& + 3. hs^2 Gs0 B4 \left( \frac{\partial}{\partial X} y33 \right) \left( \frac{\partial^2}{\partial X^2} aw42 \right) + 3. hs^2 Gs0 \left( \frac{\partial}{\partial X} aw42 \right) B4 \left( \frac{\partial^2}{\partial X^2} y33 \right) \\
& + 3. hs^2 Gs0 C4 \left( \frac{\partial}{\partial X} y3 \right) \left( \frac{\partial^2}{\partial X^2} aw43 \right) + 3. hs^2 Gs0 \left( \frac{\partial}{\partial X} aw43 \right) C4 \left( \frac{\partial^2}{\partial X^2} y3 \right) \\
& - 3. hs^2 e Gs0 \left( \frac{\partial^2}{\partial T1^2} C4 \right) y2 + 4. hs^2 X C4 \left( \frac{\partial}{\partial X} y2 \right) + 4. hs^2 \beta \left( \frac{\partial}{\partial T1} C4 \right) \left( \frac{\partial}{\partial X} y2 \right) \\
& - 4. I hs^2 \beta C4 \omega_{tr} y2 - 36. I Ks \beta X^2 C4 \omega_{tr} \left( \frac{\partial}{\partial X} y3 \right) \\
& + 3. I hs^2 \beta Gs1 \left( \frac{\partial^2}{\partial X^2} aw43 \right) C4 \omega_{tr} \left( \frac{\partial}{\partial X} y3 \right) - 36. I Ks \beta \left( \frac{\partial}{\partial X} aw31 \right) \omega_{tr} B8 y44 \\
& - 36. I Ks \beta C4 \omega_{tr} \left( \frac{\partial}{\partial X} y3 \right) aw43 + 3. hs^2 \beta Gs1 \left( \frac{\partial}{\partial T1} C4 \right) \left( \frac{\partial}{\partial X} y2 \right)
\end{aligned}$$

$$\begin{aligned}
& - 72. I \beta Gs1 B4 \left( \frac{\partial}{\partial X} y33 \right) \left( \frac{\partial}{\partial X} aw42 \right) \omega_{tr} - 144. I Ks \beta B4 \left( \frac{\partial}{\partial X} y33 \right) \left( \frac{\partial}{\partial X} aw42 \right) \omega_{tr} \\
& - 72. I Ks \beta \left( \frac{\partial}{\partial X} aw42 \right) \omega_{tr} B4 y22 - 72. I Ks \beta B4 \left( \frac{\partial}{\partial X} y22 \right) aw42 \omega_{tr} \\
& - 72. I Ks \beta C4 \omega_{tr} \left( \frac{\partial}{\partial X} y2 \right) aw43 - 72. I Ks \beta C4 \omega_{tr} y2 \left( \frac{\partial}{\partial X} aw43 \right) \\
& - 72. I \beta Gs1 \left( \frac{\partial}{\partial X} aw43 \right) C4 \omega_{tr} \left( \frac{\partial}{\partial X} y3 \right) - 144. I Ks \beta \left( \frac{\partial}{\partial X} aw43 \right) C4 \omega_{tr} \left( \frac{\partial}{\partial X} y3 \right) \\
& - 72. Gs0 B8 \left( \frac{\partial}{\partial X} y44 \right) \left( \frac{\partial}{\partial X} aw31 \right) - 144. Ks B8 \left( \frac{\partial}{\partial X} y44 \right) \left( \frac{\partial}{\partial X} aw31 \right) \\
& - 144. Ks C8 \left( \frac{\partial}{\partial X} y4 \right) \left( \frac{\partial}{\partial X} aw34 \right) - 72. Gs0 C8 \left( \frac{\partial}{\partial X} y4 \right) \left( \frac{\partial}{\partial X} aw34 \right) \\
& + 48. B4 \left( \frac{\partial^2}{\partial X^2} y33 \right) aw42 + 48. C4 \left( \frac{\partial^2}{\partial X^2} y3 \right) aw43 - 96. C8 \left( \frac{\partial}{\partial X} y1 \right) \left( \frac{\partial^2}{\partial X^2} aw34 \right) \\
& - 96. C4 \left( \frac{\partial}{\partial X} y3 \right) \left( \frac{\partial^2}{\partial X^2} au16 \right) + 48. \left( \frac{\partial^2}{\partial X^2} aw34 \right) C8 y4 + 48. C4 \left( \frac{\partial^2}{\partial X^2} y3 \right) aw46 \\
& - 96. \left( \frac{\partial}{\partial X} au12 \right) B4 \left( \frac{\partial^2}{\partial X^2} y33 \right) - 96. \left( \frac{\partial}{\partial X} au16 \right) C4 \left( \frac{\partial^2}{\partial X^2} y3 \right) \\
& - 96. \left( \frac{\partial}{\partial X} aw34 \right) C8 \left( \frac{\partial^2}{\partial X^2} y1 \right) - 72. Ks \left( \frac{\partial}{\partial X} aw42 \right) B4 y22
\end{aligned} \tag{14-2}$$

$$\begin{aligned}
& - 72. Ks B4 \left( \frac{\partial}{\partial X} y22 \right) aw42 - 144. Ks \left( \frac{\partial}{\partial X} aw42 \right) B4 \left( \frac{\partial}{\partial X} y33 \right) \\
& - 72. Gs0 \left( \frac{\partial}{\partial X} aw42 \right) B4 \left( \frac{\partial}{\partial X} y33 \right) - 72. I Ks \beta au21 \omega_{tr} B8 \left( \frac{\partial}{\partial X} y44 \right) \\
& - 72. I Ks \beta \left( \frac{\partial}{\partial X} au21 \right) \omega_{tr} B8 y44 - 72. I \beta Gs1 C8 \left( \frac{\partial}{\partial X} y4 \right) \left( \frac{\partial}{\partial X} aw34 \right) \omega_{tr} \\
& - 144. I Ks \beta C8 \left( \frac{\partial}{\partial X} y4 \right) \left( \frac{\partial}{\partial X} aw34 \right) \omega_{tr} + 48. I \beta \left( \frac{\partial}{\partial X} aw46 \right) C4 \omega_{tr} \left( \frac{\partial}{\partial X} y3 \right) \\
& + 48. I \beta C8 \left( \frac{\partial}{\partial X} y4 \right) \left( \frac{\partial}{\partial X} aw34 \right) \omega_{tr} + 48. I \beta C4 \omega_{tr} \left( \frac{\partial^2}{\partial X^2} y3 \right) aw46 \\
& - 96. I \beta C8 \left( \frac{\partial^2}{\partial X^2} y1 \right) \left( \frac{\partial}{\partial X} aw34 \right) \omega_{tr} - 96. I \beta C8 \left( \frac{\partial}{\partial X} y1 \right) \left( \frac{\partial^2}{\partial X^2} aw34 \right) \omega_{tr} \\
& + 48. I \beta \left( \frac{\partial^2}{\partial X^2} aw34 \right) \omega_{tr} C8 y4 - 96. I \beta \left( \frac{\partial}{\partial X} au16 \right) C4 \omega_{tr} \left( \frac{\partial^2}{\partial X^2} y3 \right) \\
& - 96. I \beta \left( \frac{\partial^2}{\partial X^2} au16 \right) C4 \omega_{tr} \left( \frac{\partial}{\partial X} y3 \right) \\
& - 216. Gs0 C4^2 \left( \frac{\partial}{\partial X} y3 \right) B4 \left( \frac{\partial}{\partial X} y33 \right) \left( \frac{\partial^2}{\partial X^2} y3 \right) \\
& - 96. I \beta \left( \frac{\partial}{\partial X} au12 \right) B4 \omega_{tr} \left( \frac{\partial^2}{\partial X^2} y33 \right) - 96. I \beta B4 \left( \frac{\partial}{\partial X} y33 \right) \left( \frac{\partial^2}{\partial X^2} au12 \right) \omega_{tr} \\
& - 96. I \beta \left( \frac{\partial}{\partial X} au13 \right) C4 \omega_{tr} \left( \frac{\partial^2}{\partial X^2} y3 \right) - 96. I \beta \left( \frac{\partial^2}{\partial X^2} au13 \right) C4 \omega_{tr} \left( \frac{\partial}{\partial X} y3 \right) \\
& + 48. I \beta aw42 \omega_{tr} B4 \left( \frac{\partial^2}{\partial X^2} y33 \right) + 48. I \beta C4 \omega_{tr} \left( \frac{\partial^2}{\partial X^2} y3 \right) aw43 \\
& + 48. C4 \left( \frac{\partial^2}{\partial X^2} y3 \right) C8 y4 B8 y44 - 96. I \beta B8 \left( \frac{\partial^2}{\partial X^2} y11 \right) \left( \frac{\partial}{\partial X} aw31 \right) \omega_{tr} \\
& - 96. I \beta B8 \left( \frac{\partial}{\partial X} y11 \right) \left( \frac{\partial^2}{\partial X^2} aw31 \right) \omega_{tr} + 48. I \beta \left( \frac{\partial^2}{\partial X^2} aw31 \right) \omega_{tr} B8 y44 \\
& - 72. Ks \left( \frac{\partial}{\partial X} au21 \right) B8 y44 - 72. Ks B8 \left( \frac{\partial}{\partial X} y44 \right) au21 - 72. Ks \left( \frac{\partial}{\partial X} aw43 \right) C4 y2 \\
& - 72. Ks C4 \left( \frac{\partial}{\partial X} y2 \right) aw43 - 72. Gs0 \left( \frac{\partial}{\partial X} aw43 \right) C4 \left( \frac{\partial}{\partial X} y3 \right) \\
& - 144. Ks \left( \frac{\partial}{\partial X} aw43 \right) C4 \left( \frac{\partial}{\partial X} y3 \right) - 72. Ks \left( \frac{\partial}{\partial X} aw46 \right) C4 y2 \\
& - 72. Ks C4 \left( \frac{\partial}{\partial X} y2 \right) aw46 - 72. Gs0 \left( \frac{\partial}{\partial X} aw46 \right) C4 \left( \frac{\partial}{\partial X} y3 \right) \\
& - 144. Ks \left( \frac{\partial}{\partial X} aw46 \right) C4 \left( \frac{\partial}{\partial X} y3 \right) - 6. I hs^2 \beta Gs1 B8 \left( \frac{\partial}{\partial X} y44 \right) \left( \frac{\partial^2}{\partial X^2} au21 \right) \omega_{tr} \\
& - 6. I hs^2 \beta Gs1 \left( \frac{\partial}{\partial X} au21 \right) \omega_{tr} B8 \left( \frac{\partial^2}{\partial X^2} y44 \right)
\end{aligned}$$

$$\begin{aligned}
& -6. I hs^2 \beta Gs1 \left( \frac{\partial}{\partial X} aw46 \right) C4 \omega_{tr} \left( \frac{\partial^2}{\partial X^2} y2 \right) \\
& -6. I hs^2 \beta Gs1 C4 \omega_{tr} \left( \frac{\partial}{\partial X} y2 \right) \left( \frac{\partial^2}{\partial X^2} aw46 \right) \\
& -6. I hs^2 \beta Gs1 B4 \left( \frac{\partial^2}{\partial X^2} y22 \right) \left( \frac{\partial}{\partial X} aw42 \right) \omega_{tr} \\
& -6. I hs^2 \beta Gs1 B4 \omega_{tr} \left( \frac{\partial}{\partial X} y22 \right) \left( \frac{\partial^2}{\partial X^2} aw42 \right) \\
& -6. I hs^2 \beta Gs1 C4 \omega_{tr} \left( \frac{\partial}{\partial X} y2 \right) \left( \frac{\partial^2}{\partial X^2} aw43 \right) \\
& -6. I hs^2 \beta Gs1 \left( \frac{\partial}{\partial X} aw43 \right) C4 \omega_{tr} \left( \frac{\partial^2}{\partial X^2} y2 \right) \\
& -18. hs^2 Gs0 C8 \left( \frac{\partial}{\partial X} y4 \right) C4 \left( \frac{\partial}{\partial X} y3 \right) B8 \left( \frac{\partial^2}{\partial X^2} y44 \right) \\
& -24. I hs^2 \beta B8 \left( \frac{\partial}{\partial X} y44 \right) C8 \left( \frac{\partial^2}{\partial X^2} y4 \right) C4 \omega_{tr} \left( \frac{\partial}{\partial X} y3 \right) \\
& -18. I hs^2 \beta Gs1 C8 \left( \frac{\partial}{\partial X} y4 \right) B8 \left( \frac{\partial^2}{\partial X^2} y44 \right) C4 \omega_{tr} \left( \frac{\partial}{\partial X} y3 \right) \\
& -144. I Ks \beta C4 \omega_{tr} \left( \frac{\partial^2}{\partial X^2} y3 \right) C8 y4 B8 y44 \\
& -18. I hs^2 \beta Gs1 B8 \left( \frac{\partial}{\partial X} y44 \right) C8 \left( \frac{\partial^2}{\partial X^2} y4 \right) C4 \omega_{tr} \left( \frac{\partial}{\partial X} y3 \right) \\
& -24. I hs^2 \beta C8 \left( \frac{\partial}{\partial X} y4 \right) B8 \left( \frac{\partial^2}{\partial X^2} y44 \right) C4 \omega_{tr} \left( \frac{\partial}{\partial X} y3 \right) \\
& -6. I hs^2 \beta Gs1 C8 \left( \frac{\partial}{\partial X} y4 \right) \left( \frac{\partial^2}{\partial X^2} au24 \right) \omega_{tr} \\
& -6. I hs^2 \beta Gs1 \left( \frac{\partial}{\partial X} au24 \right) \omega_{tr} C8 \left( \frac{\partial^2}{\partial X^2} y4 \right) \\
& -18. I hs^2 \beta Gs1 C8 \left( \frac{\partial}{\partial X} y4 \right) B8 \left( \frac{\partial}{\partial X} y44 \right) C4 \omega_{tr} \left( \frac{\partial^2}{\partial X^2} y3 \right) \\
& +48. I \beta C4 \omega_{tr} \left( \frac{\partial^2}{\partial X^2} y3 \right) C8 y4 B8 y44 - 72. I \beta Gs1 C4 \omega_{tr} \left( \frac{\partial^2}{\partial X^2} y3 \right) C8 y4 B8 y44 \\
& -24. I hs^2 \beta C8 \left( \frac{\partial}{\partial X} y4 \right) B8 \left( \frac{\partial}{\partial X} y44 \right) C4 \omega_{tr} \left( \frac{\partial^2}{\partial X^2} y3 \right) \\
& -18. hs^2 Gs0 B8 \left( \frac{\partial}{\partial X} y44 \right) C4 \left( \frac{\partial}{\partial X} y3 \right) C8 \left( \frac{\partial^2}{\partial X^2} y4 \right) \\
& -18. hs^2 Gs0 C8 \left( \frac{\partial}{\partial X} y4 \right) B8 \left( \frac{\partial}{\partial X} y44 \right) C4 \left( \frac{\partial^2}{\partial X^2} y3 \right) \\
& -144. Ks C8 \left( \frac{\partial}{\partial X} y4 \right) C4 \left( \frac{\partial}{\partial X} y3 \right) B8 y44 - 144. Ks B8 \left( \frac{\partial}{\partial X} y44 \right) C4 \left( \frac{\partial}{\partial X} y3 \right) C8 y4
\end{aligned}$$

$$\begin{aligned}
& - 72. Gs0 B8 \left( \frac{\partial}{\partial X} y44 \right) C4 \left( \frac{\partial}{\partial X} y3 \right) C8 y4 \\
& - 72. Gs0 C8 \left( \frac{\partial}{\partial X} y4 \right) C4 \left( \frac{\partial}{\partial X} y3 \right) B8 y44 - 216. e \beta Gs1 \left( \frac{\partial}{\partial T2} C4 \right) \omega_{tr}^2 y3 \\
& + 144. I e Gs0 \left( \frac{\partial}{\partial T2} C4 \right) \omega_{tr} y3 + 48. C8 \left( \frac{\partial}{\partial X} y4 \right) \left( \frac{\partial}{\partial X} aw34 \right) \\
& + 48. \left( \frac{\partial}{\partial X} aw42 \right) B4 \left( \frac{\partial}{\partial X} y33 \right) + 48. \left( \frac{\partial}{\partial X} aw43 \right) C4 \left( \frac{\partial}{\partial X} y3 \right) \\
& - 216. I \beta Gs1 B4 \left( \frac{\partial}{\partial X} y33 \right) C4^2 \left( \frac{\partial^2}{\partial X^2} y3 \right) \omega_{tr} \left( \frac{\partial}{\partial X} y3 \right) \\
& - 108. I \beta Gs1 C4^2 \left( \frac{\partial}{\partial X} y3 \right)^2 B4 \omega_{tr} \left( \frac{\partial^2}{\partial X^2} y33 \right) \\
& - 288. I \beta B4 \left( \frac{\partial}{\partial X} y33 \right) C4^2 \left( \frac{\partial^2}{\partial X^2} y3 \right) \omega_{tr} \left( \frac{\partial}{\partial X} y3 \right) \\
& - 6. hs^2 Gs0 B8 \left( \frac{\partial}{\partial X} y44 \right) \left( \frac{\partial^2}{\partial X^2} au21 \right) - 6. hs^2 Gs0 \left( \frac{\partial}{\partial X} au21 \right) B8 \left( \frac{\partial^2}{\partial X^2} y44 \right) \\
& - 6. hs^2 Gs0 \left( \frac{\partial}{\partial X} au24 \right) C8 \left( \frac{\partial^2}{\partial X^2} y4 \right) - 6. hs^2 Gs0 C8 \left( \frac{\partial}{\partial X} y4 \right) \left( \frac{\partial^2}{\partial X^2} au24 \right) \\
& - 6. hs^2 Gs0 C4 \left( \frac{\partial}{\partial X} y2 \right) \left( \frac{\partial^2}{\partial X^2} aw46 \right) - 6. hs^2 Gs0 \left( \frac{\partial}{\partial X} aw46 \right) C4 \left( \frac{\partial^2}{\partial X^2} y2 \right) \\
& - 288. C4^2 \left( \frac{\partial}{\partial X} y3 \right) B4 \left( \frac{\partial}{\partial X} y33 \right) \left( \frac{\partial^2}{\partial X^2} y3 \right) - 108. Gs0 C4^2 \left( \frac{\partial}{\partial X} y3 \right)^2 B4 \left( \frac{\partial^2}{\partial X^2} y33 \right) \\
& - 6. hs^2 Gs0 \left( \frac{\partial}{\partial X} aw42 \right) B4 \left( \frac{\partial^2}{\partial X^2} y22 \right) - 6. hs^2 Gs0 B4 \left( \frac{\partial}{\partial X} y22 \right) \left( \frac{\partial^2}{\partial X^2} aw42 \right) \\
& - 6. hs^2 Gs0 C4 \left( \frac{\partial}{\partial X} y2 \right) \left( \frac{\partial^2}{\partial X^2} aw43 \right) - 6. hs^2 Gs0 \left( \frac{\partial}{\partial X} aw43 \right) C4 \left( \frac{\partial^2}{\partial X^2} y2 \right) \\
& - 72. Ks \beta X \left( \frac{\partial}{\partial T1} C4 \right) \left( \frac{\partial^2}{\partial X^2} y3 \right) - 72. I Ks \beta C4 \omega_{tr} y2 \left( \frac{\partial}{\partial X} aw46 \right) \\
& - 72. I Ks \beta C4 \omega_{tr} \left( \frac{\partial}{\partial X} y2 \right) aw46 - 144. I Ks \beta \left( \frac{\partial}{\partial X} aw46 \right) C4 \omega_{tr} \left( \frac{\partial}{\partial X} y3 \right) \\
& - 72. I \beta Gs1 \left( \frac{\partial}{\partial X} aw46 \right) C4 \omega_{tr} \left( \frac{\partial}{\partial X} y3 \right) + 48. I \beta \left( \frac{\partial}{\partial X} aw42 \right) B4 \omega_{tr} \left( \frac{\partial}{\partial X} y33 \right) \\
& + 48. I \beta \left( \frac{\partial}{\partial X} aw43 \right) C4 \omega_{tr} \left( \frac{\partial}{\partial X} y3 \right) - 96. B4 \left( \frac{\partial}{\partial X} y33 \right) \left( \frac{\partial^2}{\partial X^2} au12 \right) \\
& - 96. \left( \frac{\partial}{\partial X} au13 \right) C4 \left( \frac{\partial^2}{\partial X^2} y3 \right) - 96. C4 \left( \frac{\partial}{\partial X} y3 \right) \left( \frac{\partial^2}{\partial X^2} au13 \right) \\
& - 96. B8 \left( \frac{\partial}{\partial X} y11 \right) \left( \frac{\partial^2}{\partial X^2} aw31 \right) - 96. \left( \frac{\partial}{\partial X} aw31 \right) B8 \left( \frac{\partial^2}{\partial X^2} y11 \right) \\
& + 48. \left( \frac{\partial^2}{\partial X^2} aw31 \right) B8 y44 + 48. B8 \left( \frac{\partial}{\partial X} y44 \right) C4 \left( \frac{\partial}{\partial X} y3 \right) C8 y4
\end{aligned}$$

$$\begin{aligned}
& + 48. C8 \left( \frac{\partial}{\partial X} y4 \right) C4 \left( \frac{\partial}{\partial X} y3 \right) B8 y44 + 48. I \beta B8 \left( \frac{\partial}{\partial X} y44 \right) \left( \frac{\partial}{\partial X} aw31 \right) \omega_{tr} \\
& + 48. I \beta C8 \left( \frac{\partial}{\partial X} y4 \right) C4 \omega_{tr} \left( \frac{\partial}{\partial X} y3 \right) B8 y44 \\
& - 144. I Ks \beta C8 \left( \frac{\partial}{\partial X} y4 \right) C4 \omega_{tr} \left( \frac{\partial}{\partial X} y3 \right) B8 y44 \\
& - 72. I \beta Gs1 C8 \left( \frac{\partial}{\partial X} y4 \right) C4 \omega_{tr} \left( \frac{\partial}{\partial X} y3 \right) B8 y44 \\
& - 72. I \beta Gs1 B8 \left( \frac{\partial}{\partial X} y44 \right) C4 \omega_{tr} \left( \frac{\partial}{\partial X} y3 \right) C8 y4 \\
& - 144. I Ks \beta B8 \left( \frac{\partial}{\partial X} y44 \right) C4 \omega_{tr} \left( \frac{\partial}{\partial X} y3 \right) C8 y4 - 72. I Ks \beta \left( \frac{\partial}{\partial X} au24 \right) \omega_{tr} C8 y4 \\
& - 72. I Ks \beta au24 \omega_{tr} C8 \left( \frac{\partial}{\partial X} y4 \right) - 72. I \beta Gs1 aw42 \omega_{tr} B4 \left( \frac{\partial^2}{\partial X^2} y33 \right) \\
& - 144. I Ks \beta aw42 \omega_{tr} B4 \left( \frac{\partial^2}{\partial X^2} y33 \right) - 8. I hs^2 \beta B4 \left( \frac{\partial^2}{\partial X^2} y22 \right) \left( \frac{\partial}{\partial X} aw42 \right) \omega_{tr} \\
& - 8. I hs^2 \beta B4 \omega_{tr} \left( \frac{\partial}{\partial X} y22 \right) \left( \frac{\partial^2}{\partial X^2} aw42 \right) - 8. I hs^2 \beta C4 \omega_{tr} \left( \frac{\partial}{\partial X} y2 \right) \left( \frac{\partial^2}{\partial X^2} aw43 \right) \\
& - 8. I hs^2 \beta \left( \frac{\partial}{\partial X} aw43 \right) C4 \omega_{tr} \left( \frac{\partial^2}{\partial X^2} y2 \right) - 144. I Ks \beta C4 \omega_{tr} \left( \frac{\partial^2}{\partial X^2} y3 \right) aw43 \\
& - 72. I \beta Gs1 C4 \omega_{tr} \left( \frac{\partial^2}{\partial X^2} y3 \right) aw43 - 72. I \beta Gs1 \left( \frac{\partial}{\partial X} au16 \right) C4 \omega_{tr} \left( \frac{\partial^2}{\partial X^2} y3 \right) \\
& - 72. I \beta Gs1 \left( \frac{\partial^2}{\partial X^2} au16 \right) C4 \omega_{tr} \left( \frac{\partial}{\partial X} y3 \right) - 8. I hs^2 \beta B8 \left( \frac{\partial}{\partial X} y44 \right) \left( \frac{\partial^2}{\partial X^2} au21 \right) \omega_{tr} \\
& - 8. I hs^2 \beta \left( \frac{\partial}{\partial X} au21 \right) \omega_{tr} B8 \left( \frac{\partial^2}{\partial X^2} y44 \right) - 144. I Ks \beta \left( \frac{\partial^2}{\partial X^2} aw34 \right) \omega_{tr} C8 y4 \\
& - 72. I \beta Gs1 \left( \frac{\partial^2}{\partial X^2} aw34 \right) \omega_{tr} C8 y4 - 144. I \beta C4^2 \left( \frac{\partial}{\partial X} y3 \right)^2 B4 \left( \frac{\partial^2}{\partial X^2} y33 \right) \omega_{tr} \\
& - 24. hs^2 C8 \left( \frac{\partial}{\partial X} y4 \right) B8 \left( \frac{\partial}{\partial X} y44 \right) C4 \left( \frac{\partial^2}{\partial X^2} y3 \right) \\
& - 144. Ks C4 \left( \frac{\partial^2}{\partial X^2} y3 \right) C8 y4 B8 y44 \\
& - 24. hs^2 C8 \left( \frac{\partial}{\partial X} y4 \right) C4 \left( \frac{\partial}{\partial X} y3 \right) B8 \left( \frac{\partial^2}{\partial X^2} y44 \right) \\
& - 24. hs^2 B8 \left( \frac{\partial}{\partial X} y44 \right) C4 \left( \frac{\partial}{\partial X} y3 \right) C8 \left( \frac{\partial^2}{\partial X^2} y4 \right) \\
& - 72. Gs0 C4 \left( \frac{\partial^2}{\partial X^2} y3 \right) C8 y4 B8 y44 - 72. I \beta Gs1 \left( \frac{\partial}{\partial X} au13 \right) C4 \omega_{tr} \left( \frac{\partial^2}{\partial X^2} y3 \right) \\
& - 72. I \beta Gs1 \left( \frac{\partial^2}{\partial X^2} au13 \right) C4 \omega_{tr} \left( \frac{\partial}{\partial X} y3 \right) - 8. I hs^2 \beta C4 \omega_{tr} \left( \frac{\partial}{\partial X} y2 \right) \left( \frac{\partial^2}{\partial X^2} aw46 \right)
\end{aligned}$$

$$\begin{aligned}
& - 8. I hs^2 \beta \left( \frac{\partial}{\partial X} aw46 \right) C4 \omega_{tr} \left( \frac{\partial^2}{\partial X^2} y2 \right) - 72. I \beta GsI C4 \omega_{tr} \left( \frac{\partial^2}{\partial X^2} y3 \right) aw46 \\
& - 144. I Ks \beta C4 \omega_{tr} \left( \frac{\partial^2}{\partial X^2} y3 \right) aw46 - 72. I \beta GsI \left( \frac{\partial^2}{\partial X^2} au12 \right) B4 \omega_{tr} \left( \frac{\partial}{\partial X} y33 \right) \\
& - 72. I \beta GsI B4 \left( \frac{\partial^2}{\partial X^2} y33 \right) \left( \frac{\partial}{\partial X} au12 \right) \omega_{tr} - 8. I hs^2 \beta \left( \frac{\partial}{\partial X} au24 \right) \omega_{tr} C8 \left( \frac{\partial^2}{\partial X^2} y4 \right) \\
& - 8. I hs^2 \beta C8 \left( \frac{\partial}{\partial X} y4 \right) \left( \frac{\partial^2}{\partial X^2} au24 \right) \omega_{tr} + 216. I e \beta GsI \left( \frac{\partial^2}{\partial TI^2} C4 \right) \omega_{tr} y3 \\
& - 72. I \beta GsI C8 \left( \frac{\partial^2}{\partial X^2} yI \right) \left( \frac{\partial}{\partial X} aw34 \right) \omega_{tr} - 72. I \beta GsI C8 \left( \frac{\partial}{\partial X} yI \right) \left( \frac{\partial^2}{\partial X^2} aw34 \right) \omega_{tr} \\
& - 144. I Ks \beta \left( \frac{\partial^2}{\partial X^2} aw31 \right) \omega_{tr} B8 y44 - 72. I \beta GsI \left( \frac{\partial^2}{\partial X^2} aw31 \right) \omega_{tr} B8 y44 \\
& - 72. I \beta GsI B8 \left( \frac{\partial}{\partial X} y11 \right) \left( \frac{\partial^2}{\partial X^2} aw31 \right) \omega_{tr} \\
& - 72. I \beta GsI B8 \left( \frac{\partial^2}{\partial X^2} y11 \right) \left( \frac{\partial}{\partial X} aw31 \right) \omega_{tr} - 72. Ks C8 \left( \frac{\partial}{\partial X} y4 \right) au24 \\
& - 72. Ks \left( \frac{\partial}{\partial X} au24 \right) C8 y4 + 48. \left( \frac{\partial}{\partial X} aw46 \right) C4 \left( \frac{\partial}{\partial X} y3 \right) - 72. Ks \beta \left( \frac{\partial}{\partial TI} C4 \right) y2 \\
& - 72. Ks \beta \left( \frac{\partial}{\partial T2} C4 \right) \left( \frac{\partial}{\partial X} y2 \right) - 72. Ks \beta \left( \frac{\partial}{\partial TI} C4 \right) \left( \frac{\partial}{\partial X} y3 \right) \\
& + 144. I e Gs0 X \left( \frac{\partial}{\partial TI} C4 \right) \omega_{tr} y3 - 216. e \beta GsI X \left( \frac{\partial}{\partial TI} C4 \right) \omega_{tr}^2 y3 \\
& + 48. I \beta B8 \left( \frac{\partial}{\partial X} y44 \right) C4 \omega_{tr} \left( \frac{\partial}{\partial X} y3 \right) C8 y4 - 72. Ks \beta X \left( \frac{\partial}{\partial TI} C4 \right) \left( \frac{\partial}{\partial X} y2 \right) \\
& - 72. Gs0 \left( \frac{\partial^2}{\partial X^2} aw31 \right) B8 y44 - 144. Ks \left( \frac{\partial^2}{\partial X^2} aw31 \right) B8 y44 \\
& - 72. Gs0 B8 \left( \frac{\partial}{\partial X} y11 \right) \left( \frac{\partial^2}{\partial X^2} aw31 \right) - 72. Gs0 \left( \frac{\partial}{\partial X} aw31 \right) B8 \left( \frac{\partial^2}{\partial X^2} y11 \right) \\
& - 72. Gs0 \left( \frac{\partial}{\partial X} aw34 \right) C8 \left( \frac{\partial^2}{\partial X^2} yI \right) - 72. Gs0 C8 \left( \frac{\partial}{\partial X} yI \right) \left( \frac{\partial^2}{\partial X^2} aw34 \right) \\
& - 72. Gs0 \left( \frac{\partial^2}{\partial X^2} aw34 \right) C8 y4 - 144. Ks \left( \frac{\partial^2}{\partial X^2} aw34 \right) C8 y4 \\
& - 8. hs^2 \left( \frac{\partial}{\partial X} aw42 \right) B4 \left( \frac{\partial^2}{\partial X^2} y22 \right) - 8. hs^2 B4 \left( \frac{\partial}{\partial X} y22 \right) \left( \frac{\partial^2}{\partial X^2} aw42 \right) \\
& - 144. Ks B4 \left( \frac{\partial^2}{\partial X^2} y33 \right) aw42 - 72. Gs0 B4 \left( \frac{\partial^2}{\partial X^2} y33 \right) aw42 \\
& - 72. Gs0 \left( \frac{\partial}{\partial X} au12 \right) B4 \left( \frac{\partial^2}{\partial X^2} y33 \right) - 72. Gs0 B4 \left( \frac{\partial}{\partial X} y33 \right) \left( \frac{\partial^2}{\partial X^2} au12 \right) \\
& - 72. Gs0 C4 \left( \frac{\partial}{\partial X} y3 \right) \left( \frac{\partial^2}{\partial X^2} au13 \right) - 72. Gs0 \left( \frac{\partial}{\partial X} au13 \right) C4 \left( \frac{\partial^2}{\partial X^2} y3 \right)
\end{aligned}$$

$$\begin{aligned}
& - 72. Gs0 C4 \left( \frac{\partial}{\partial X} y3 \right) \left( \frac{\partial^2}{\partial X^2} au16 \right) - 72. Gs0 \left( \frac{\partial}{\partial X} au16 \right) C4 \left( \frac{\partial^2}{\partial X^2} y3 \right) \\
& - 8. hs^2 C4 \left( \frac{\partial}{\partial X} y2 \right) \left( \frac{\partial^2}{\partial X^2} aw43 \right) - 8. hs^2 \left( \frac{\partial}{\partial X} aw43 \right) C4 \left( \frac{\partial^2}{\partial X^2} y2 \right) \\
& - 72. Gs0 C4 \left( \frac{\partial^2}{\partial X^2} y3 \right) aw43 - 144. Ks C4 \left( \frac{\partial^2}{\partial X^2} y3 \right) aw43 \\
& - 8. hs^2 C4 \left( \frac{\partial}{\partial X} y2 \right) \left( \frac{\partial^2}{\partial X^2} aw46 \right) - 8. hs^2 \left( \frac{\partial}{\partial X} aw46 \right) C4 \left( \frac{\partial^2}{\partial X^2} y2 \right) \\
& - 72. Gs0 C4 \left( \frac{\partial^2}{\partial X^2} y3 \right) aw46 - 144. Ks C4 \left( \frac{\partial^2}{\partial X^2} y3 \right) aw46 \\
& - 8. hs^2 B8 \left( \frac{\partial}{\partial X} y44 \right) \left( \frac{\partial^2}{\partial X^2} au21 \right) - 8. hs^2 \left( \frac{\partial}{\partial X} au21 \right) B8 \left( \frac{\partial^2}{\partial X^2} y44 \right) \\
& - 8. hs^2 C8 \left( \frac{\partial}{\partial X} y4 \right) \left( \frac{\partial^2}{\partial X^2} au24 \right) - 8. hs^2 \left( \frac{\partial}{\partial X} au24 \right) C8 \left( \frac{\partial^2}{\partial X^2} y4 \right) \\
& + 72. e Gs0 \left( \frac{\partial^2}{\partial T I^2} C4 \right) y3 - 72. Ks \beta \left( \frac{\partial}{\partial T 2} C4 \right) \left( \frac{\partial^2}{\partial X^2} y3 \right) \\
& - 144. C4^2 \left( \frac{\partial}{\partial X} y3 \right)^2 B4 \left( \frac{\partial^2}{\partial X^2} y33 \right) - 144. I Ks \beta B8 \left( \frac{\partial}{\partial X} y44 \right) \left( \frac{\partial}{\partial X} aw31 \right) \omega_{tr} \\
& - 72. I \beta Gs1 B8 \left( \frac{\partial}{\partial X} y44 \right) \left( \frac{\partial}{\partial X} aw31 \right) \omega_{tr} + 48. B8 \left( \frac{\partial}{\partial X} y44 \right) \left( \frac{\partial}{\partial X} aw31 \right)
\end{aligned}$$

منابع

- [1] Wang G., Veeramani S. and Wereley N.M. (2000) “Analysis of Sandwich Plates with Isotropic Face Plates and a Viscoelastic Core” **J. of Vibration and Acoustics**, 122, 3, pp. 305-312.
- [2] Montgomery T.Sh., William J.M. (2005), “**Introduction to polymer viscoelasticity**”, John Wiley & Sons, New York.
- [3] Riande E., Diaz-Calleja R., Prolongo M.G., Masegosa R.M. and Salom C. (2000), “**Polymer Viscoelasticity; Stress and Strain in practice**”, Marcel Dekker INC., New York.
- [4] Nhan P.T. (1956), “**Understanding viscoelasticity; Basic of rheology**”, Springer, Berlin.
- [5] Lakes R. (2009), “**Viscoelastic materials**”, Cambridge University Press, New York.
- [6] Roylance D. (2001), “**Engineering Viscoelasticity**”, Cambridge, MA 02139.
- [7] Brinson H.F., Brinson L.C. (2008), “**Polymer engineering science and viscoelasticity**”, Springer, New York.
- [8] Christensen R. M. (1982), “**Theory of Viscoelasticity: An Introduction**”, Academic Press, New York.
- [9] Nayfeh A.H., Pai P.F. (2004), “**Linear and nonlinear structural mechanics**”, John Wiley & Sons, Hoboken, New Jersey.
- [10] Hagedorn P., DasGupta A. (2007), “**Vibrations and waves in continuous mechanical systems**”, John Wiley & Sons, Hoboken, New Jersey.
- [11] Ventsel E., Krauthammer T. (2001), “**Thin plates and shells: theory, analysis, and applications**”, New York.
- [12] Nishawala V.V., (2011), Master Thesis, “A study of large deflection of beams and plates”, Mech. Depart., Rutgers , The State University of New Jersey.
- [13] Malatkar P., (2003), PhD. Thesis, “Nonlinear vibrations of cantilever beams and plates”, Virginia Polytechnic Institute and State University, Blacksburg, Virginia.
- [14] Evan-Iwanowski R.M. (1976), “**Resonance oscillations in mechanical systems**”,

Elsevier Science, London.

[15] Nayfeh A.H., Mook D.T. (1979), “**Nonlinear oscillations**”, John Wiley & Sons, New York.

[16] Moon F.C. (1987), “**Chaotic Vibrations: An introduction for applied scientists and engineers**”, John Wiley & Sons, New York.

[17] Wang C. M., Reddy J. N. and Lee K. H. (2000), “**Shear deformable beams and plates: Relationships with classical solutions**”, Elsevier, Amsterdam - Lausanne - New York – oxford – Shannon – Singapore - Tokyo.

[18] Chu H-H, Herrmann G. (1956) “Influence of large amplitude on free flexural vibrations of rectangular elastic plates” **J. App1 Mech.**, 23, pp. 532-540.

[19] Yamaki N. (1961) “Influence of large amplitudes on flexural vibrations of elastic plates” **ZAMM-Journal of Applied Mathematics and Mechanics**, 41, 12, pp. 501-510.

[20] Leissa A. W. (1969), “**Vibration of plates**”, NASA SP-160, Office of Technology Utilization, Washington, DC.

[21] Robertson S. R. (1971) “Forced axisymmetric motion of circular, viscoelastic plates” **Journal of Sound and vibration**, 17, 3, pp. 363-381.

[22] Kung G., Pao Y.-H. (1972) “Nonlinear flexural vibrations of a clamped circular plate” **Journal of Applied Mechanics**, 39, 4, pp. 1050-1054.

[23] Rehfield L. (1974) “Large amplitude forced vibrations of elastic structures” **AIAA Journal**, 12, 3, pp. 388-390.

[24] Sridhar S., Mook D., Nayfeh A. (1975) “Non-linear resonances in the forced responses of plates, part 1: Symmetric responses of circular plates” **Journal of Sound and Vibration**, 41, 3, pp. 359-373.

[25] Alwar R. S. and Nath Y. (1977) “Non-Linear dynamic response of circular plates subjected to transient loads” **Journal of the Franklin Institute**, 303, 6, pp.527-542.

[26] Sridhar S., Mook D., Nayfeh A. (1978) “Non-linear resonances in the forced

responses of plates, part II: asymmetric responses of circular plates" **Journal of Sound and Vibration**, 59, 2, pp. 159-170.

[27] Nagaya K. (1979) "Vibration of a viscoelastic plate having a circular outer boundary and an eccentric circular inner boundary for various edge conditions" **Journal of Sound and vibration**, 63, 1, pp.73-85.

[28] Bailey P. B. and chen P. J. (1987) "Natural modes of vibration of linear viscoelastic circular plates with free edges" **International Journal of Solids and Structures**, 23, 6, pp. 785-795.

[29] Wang Y. Z. and Tsai T. J. (1988) "Static and dynamic analysis of a viscoelastic plate by the finite element method" **Journal of Applied Acoustics**, 25, 2, pp. 77-94.

[30] Weisnel G. N. (1989) "Natural frequency information for circular and annular plates" **Journal of Sound and Vibration**, 133, 1, pp. 129-137.

[31] Cederbaum G. and Aboudi J. (1989) "Dynamic response of viscoelastic laminated plates" **Journal of Sound and Vibration**, 133, 2, pp. 55-64.

[32] Aboudi J., Cederbaum G., Elishakoff I. (1990) "Dynamic stability analysis of viscoelastic plates by Lyapunov exponents" **Journal of Sound and Vibration**, 139, 3, pp. 459-467.

[33] Hadian J. and Nayfeh A. H. (1990) "Modal interaction in circular plates" **Journal of Sound and Vibration**, 142, 2, pp. 279-292.

[34] Cederbaum G. and Drawshi M. (1994) "Multiple equilibrium states in the analysis of viscoelastic nonlinear circular plates" **International Journal of Mechanical Sciences**, 36, 2, pp. 149-155.

[35] Liew K. M., Xiang Y., Kitipornchai S. (1995) "Research on thick plate vibration: a literature survey" **Journal of Sound and Vibration**, 180, 1, pp. 163-176.

[36] Romanelli E., Rossi R. E., Laura P. A. A. and Gutierrez R. H. (1998) "Transverse vibrations of a circular annular plate with an intermediate circular support and a free inner edge" **Journal of Sound and Vibration**, 212, 3, pp. 564-571.

[37] Esmailzadeh E., Jalali M. A. (1999) "Nonlinear oscillation of viscoelastic

rectangular plates" **Journal of Nonlinear Dynamics**, 18, 4, pp. 311-319.

[38] Touzé C., Thomas O., Chaigne A. (2002) "Asymmetric non-linear forced vibrations of free-edge circular plates. Part 1: Theory" **Journal of Sound and Vibration**, 258, 4, pp. 649-676.

[39] Thomas O., Touzé C., Chaigne A. (2003) "Asymmetric non-linear forced vibrations of free-edge circular plates. Part II: experiments" **Journal of Sound and Vibration**, 265, 5, pp. 1075-1101.

[40] Lee W., Yeo M. (2003) "Non-linear interactions in asymmetric vibrations of a circular plate" **Journal of sound and vibration**, 263, 5, pp. 1017-1030.

[41] Salehi M. and Aghaei H. (2005) "Dynamic relaxation large deflection analysis of non-axisymmetric circular viscoelastic plates" **Journal of Computers & Structures**, 83, 23, pp. 1878-1890.

[42] Allahverdizadeh A., Naei M. H., Rastgo A. (2006) "The effects of large vibration amplitudes on the stresses of thin circular functionally graded plates" **International Journal of Mechanics and Materials in Design**, 3, 2, pp. 161-174.

[43] شوشتاری ع. و اسماعیلزاده خادم س.، (۱۳۸۵) "ارتعاشات غیرخطی یک صفحه مستطیل شکل ویسکوالاستیک براساس تئوری تغییر شکل برشی مرتبه اول" **مجله مکانیک و هوافضا**، شماره ۲، دوره ۱، ص.ص. ۷۷-۹۴

[44] Gupta A. K. (2010) "Vibration analysis of visco-elastic rectangular plate with thickness varies linearly in one and parabolically in other direction" **Advanced Studies in Theoretical Physics**, 4, 15, pp. 743-758.

[45] Gupta A. K., Kumar L. (2010) "Vibration of non-homogeneous visco-elastic circular plate of linearly varying thickness in steady state temperature field" **Journal of Theoretical and Applied Mechanics**, 48, 1, pp. 255-266.

[46] Assie A. E., Eltaher M. A. and Mahmoud F. F. (2011) "Behavior of a viscoelastic composite plates under transient load" **J. Mech. Sci. Technol.**, 25, 5, pp. 1129-1140.

[47] جلالی ا. و اسماعیلزاده خادم س، (۱۳۹۱) "تحلیل ارتعاشات غیرخطی و پایداری دینامیکی میکروورق ویسکوالاستیک نانو کامپوزیتی تحت میدان الکترواستاتیک" **مجله مکانیک هواشناسی**، شماره ۸، دوره ۳، ص.ص. ۶۸-۵۱

[48] Khalfi B. and Ross A. (2013) "Transient response of a plate with partial constrained viscoelastic layer damping" **International Journal of Mechanical Sciences**, 68, pp. 304-312.

[49] Shariyat M., Jafari A. A. and Alipour M. M. (2013) "Investigation of the thickness variability and material heterogeneity effects on free vibration of the viscoelastic circular plates" **Journal of Acta Mechanica Solida Sinica**, 26, 1, pp. 83-98.

[50] Chen C.-F., Li I.-W. (2014) "Linear Analytical Solutions of Mechanical Sensitivity in Large Deflection of Unsymmetrically Layered Piezoelectric Plate under Pretension" **Journal of Advances in Mechanical Engineering**, 6, pp. 403827.

[51] Ghaheri A., Nosier A. (2015) "Nonlinear forced vibrations of thin circular functionally graded plates" **Journal of Science and Technology of Composite**, 1, 2, pp. 1-10.

[52] Younesian D. and Norouzi H. (2015) "Frequency analysis of the nonlinear viscoelastic plates subjected to subsonic flow and external loads" **Journal of Thin-Walled Structures**, 92, pp. 65-75.

[53] Swaminathan K., Naveenkumar D., Zenkour A., Carrera E. (2015) "Stress, vibration and buckling analyses of FGM plates—A state-of-the-art review" **Journal of Composite Structures**, 120, pp. 10-31.,

[54] Amabili M. (2016) "Nonlinear vibrations of viscoelastic rectangular plates" **Journal of Sound and Vibration**, 362, pp. 142-156.

[55] Amabili M., (2008), "Nonlinear vibrations and stability of shells and plates", Cambridge University Press, New York.

[56] Boresi A. P., Chong K.P., (2000) "Elasticity in engineering mechanics" Second Edition, John Wiley & Sons, New York.

- [57] Hosseini-Hashemi S., Bedroud M., Nazemnezhad R. (2013) “An exact analytical solution for free vibration of functionally graded circular/annular Mindlin nanoplates via nonlocal elasticity” **Journal of Composite Structures**, 103, pp. 108-118.
- [58] Rao S. S., (2007), “**Vibration of continuous systems**”, John Wiley & Sons, New Jersey.
- [59] Nayfeh A.H. (1993), “**Introduction to perturbation techniques**”, John Wiley & Sons, New York.
- [60] Ansys user manual
- [61] Marynowski K., (2005) “**Dynamics of the Axially Moving Orthotropic Web**” first ed., Springer, 38, Berlin.
- [62] Liu C.-F. and G.-T. Chen (1995) "A simple finite element analysis of axisymmetric vibration of annular and circular plates" **International journal of mechanical sciences**, **37**, 8, pp. 861-871.
- [63] Wang G., (2001), PhD. thesis, “Analyses of Sandwich Beams and Plates with Viscoelastic Cores”, Mech. depart. University of Maryland.



## **Abstract**

In this research, the mathematical solution for axisymmetric vibration of annular viscoelastic plates with moderately large deformation under transverse load has been taken. The viscoelastic behavior has been assumed the standard linear solid in shear and elastic in bulk. The governing equations which are four coupled nonlinear partial differential equations with variable coefficients have been extracted using the Hamilton's principle by considering the first order shear deformation theory. The perturbation technique has been used for determining frequencies and transient response. The numerical analysis has been done by using ANSYS software. The sensitivity analysis has been performed and the effects of the geometrical and materials parameters on the frequency and response have been studied. Also a comparison between the classical and shear deformation theory and a discussion about the nonlinearity effect on the results has been presented.

**Key words:** annular viscoelastic plate, First order shear deformation theory, Perturbation theory, Moderately large deformation





**Shahrood University of Technology**

**Faculty of Mechanical & Mechatronics Engineering**

**M Sc Thesis Mechanical Engineering Applied Mechanics**

**Vibrations analysis of an axisymmetric circular viscoelastic plate with moderately large deformation using first order shear deformation theory**

**By: Reza Valizadeh**

**Supervisor:**

**Dr. Hamid Reza Eipakchi**

**September 2016**